# Bulletin de l'Union des Physiciens

Association de professeurs de Physique et de Chimie

## **AVERTISSEMENT AUX LECTEURS**

Nous avons décidé, pour l'impression de ce bulletin, de respecter les normes de la typographie nouvelle et de noter les grandeurs vectorielles en caractères gras sans les surmonter de flèches. Ces normes ont surtout comme intérêt de simplifier la tâche de composition.

D. MAURAS.

## Concours Général 1983

## COMPOSITION DE SCIENCES PHYSIQUES

(classes terminales C. D et E)

(Durée : 6 heures)

Matériel à prévoir : 1 feuille de papier millimétré.

## CONVERSION DE L'ENERGIE SOLAIRE

De nombreuses questions de ce problème sont indépendantes. Des données numériques utiles pour la résolution du problème sont rassemblées dans le tableau suivant :

| constante de Planck                      | h              | $= 6,63 \ 10^{-34} \ \text{J. s};$                         |
|--|----------------|--|
| - constante de Boltzmann                 | k              | $= 1,38 \ 10^{-23} \ \mathrm{J. K^{-1}};$                  |
| - constante de Stefan                    | σ              | $= 5,67 \ 10^{-8} \ \text{W. m}^{-2} \cdot \text{K}^{-4};$ |
| — vitesse de la lumière dans le vide     | c              | $= 3 10^8 \text{ m. s}^{-1};$                              |
| — charge de l'électron                   | e              | $= 1,6 \ 10^{-19} \ C$ ;                                   |
| — masse de l'électron                    | m              | $= 0.9  10^{-30}  \text{kg}$ ;                             |
| <ul> <li>constante d'Avogadro</li> </ul> | $\mathfrak{N}$ | $= 6.0 \ 10^{23}$ ;  |
| — masse volumique de l'eau               | Q              | $= 10^3 \text{ kg. m}^{-3}$ ;                              |
| - intensité de la pesanteur              | g              | $= 9.81 \text{ m. s}^{-2}$ .                               |
|  |                |  |

I

## CONVERSION PHOTOVOLTAÏOUE

A. Nature des porteurs de charge dans les solides

1º Dans un métal, tel que le cuivre, les porteurs de charge sont des électrons « libres » de charge électrique q = -e, de masse m, au nombre de n par unité de volume. Ne tenant pas compte de l'agitation thermique désordonnée, on suppose que sous l'action d'un champ électrique  $\stackrel{\rightarrow}{\mathcal{E}}$  ils se déplacent tous à la même vitesse d'ensemble  $\mathbf{v}$ . En plus de la force électrique, chaque porteur est soumis

à une force de frottement  $-\frac{m\mathbf{v}}{\tau}$  représentant l'effet des collisions

sur les ions du réseau; au est une constante caractéristique du milieu conducteur. On néglige les forces de gravitation.

- a) Ecrire la relation fondamentale de la dynamique pour un électron.
- b) Appliquer cette relation au régime permanent ( $\mathbf{v} = c^{\text{te}}$ ). En déduire l'expression de la mobilité  $\mu$  des porteurs définie par  $\mathbf{v} = \mu \vec{\mathcal{E}}$ . Par définition le vecteur densité de courant est  $\mathbf{j} = n \ q \ \mathbf{v}$ ; exprimer la conductivité  $\sigma$ , coefficient de proportionnalité entre  $\mathbf{j}$  et  $\vec{\mathcal{E}}$ , en fonction de q, m,  $\tau$  et n.
  - c) Donner la dimension de la constante τ.
- $2^{\circ}$  Pour déterminer n on utilise l'effet Hall. Un ruban homogène en cuivre, d'épaisseur a=0.1 mm, de largeur b=1 cm est parcouru par un courant continu d'intensité I=10 A dans le sens de sa longueur.
- a) Etablir la relation entre l'intensité I du courant et le module v de la vitesse d'ensemble des électrons.
- b) Le ruban est placé dans un champ magnétique uniforme perpendiculaire à son plan (B = 1 T). Montrer qu'il apparaît un champ électrique transversal  $\overrightarrow{\mathcal{E}}_H$ . Faire un schéma illustrant les forces auxquelles les électrons sont soumis. Calculer en régime permanent la différence de potentiel  $U_H$  apparue entre les bords du ruban; on exprimera  $U_H$  en fonction de I, B, n, a et e.
- c) On mesure une tension de Hall  $\rm U_H=6.25\,10^{-6}$  volt, en déduire le nombre n d'électrons libres par unité de volume. La masse atomique du cuivre étant 63,5 g et sa masse volumique 8,9 g. cm<sup>-3</sup>, calculer le nombre moyen d'électrons libres par atome de cuivre.
- A 20°C, la conductivité du cuivre est  $\sigma=5,98\,10^7\,\Omega^{-1}\,m^{-1}$ . Calculer la mobilité  $\mu$  des électrons et leur vitesse d'ensemble dans le ruban parcouru par le courant d'intensité I=10 A.
- d) Evaluer la constante  $\tau$ . Quelle interprétation physique pouvez-vous donner de cette constante ?
- $3^{\circ}$  Le fait que les électrons sont responsables de la conduction dans les métaux a été montré par une expérience de Tolman et Stewart dont le principe est le suivant. On déplace un fil homogène rectiligne de longueur l avec la vitesse constante  $\mathbf{v}_0$  dans la direction de son axe. A l'instant zéro on freine brusquement le fil; on supposera que la vitesse décroît linéairement en fonction du temps pendant une durée T=0.1 s.

- a) Expliquer qualitativement pourquoi, au bout d'un temps très court, il s'établit au cours du freinage un régime permanent pour lequel il n'y a pas de mouvement d'ensemble des électrons par rapport au fil.
- b) Calculer la tension  $U_T$  apparue entre les extrémités du fil pendant ce régime. Préciser le signe de cette tension compte tenu du sens de  $v_0$ .
- c) En pratique le fil de longueur  $l=470~\rm m$  est bobiné sur un cylindre de rayon  $r=5~\rm cm$  tournant autour de son axe à la vitesse angulaire de  $10\,500~\rm tours$  par minute. On mesure  $\rm U_T=1,5\,10^{-6}$  volt. En déduire le rapport charge sur masse des porteurs libres. Conclusion.
- 4º Dans un semi-conducteur, il y a deux types de porteurs : les électrons de charge  $q_n=-e$  en nombre n par unité de volume, de vitesse d'ensemble  $\mathbf{y}_n$  et les « trous » de charge  $q_p=+e$  de vitesse d'ensemble  $\mathbf{v}_n$  en nombre p par unité de volume.

Par définition : 
$$\mathbf{j} = n q_n \mathbf{v}_n + p q_p \mathbf{v}_p$$

a) Calculer la conductivité  $\sigma$  du silicium intrinsèque à 20°C pour lequel  $n=p=1,5\,10^{16}$  m<sup>-3</sup>. Les valeurs absolues des mobilités sont en m² V<sup>-1</sup> s<sup>-1</sup> :

$$\mu_n = 0.145 \left( \frac{300}{T} \right)^{2.6} \quad \mu_p = 4.510^{-2} \left( \frac{300}{T} \right)^{2.3}$$

où T est la température absolue.

Comparer au cas du cuivre.

- b) Dans le cas où un type de porteurs est majoritaire, quels renseignements fournit la mesure de la tension de Hall?
  - B. Etude d'un semi-conducteur Effet photovoltaique

5° Le silicium est un élément de numéro atomique 14 et de nombre de masse 28. Combien d'électrons y a-t-il dans un atome de silicium? Connaissant les énergies de première, seconde, troisième, quatrième et cinquième ionisation du silicium:

$$U_1 = 8.2 \text{ eV},$$
  $U_2 = 16.3 \text{ eV},$   $U_3 = 33.5 \text{ eV},$   $U_4 = 45.1 \text{ eV},$   $U_5 = 166.7 \text{ eV}$ 

en déduire la constitution électronique externe de cet élément, c'està-dire sa valence.

6º Dans le cristal de silicium il y a N = 5 10<sup>28</sup> atomes par m³. Le passage de l'atome libre à l'atome lié dans le cristal entraîne une modification des niveaux d'énergie. Pour les électrons périphériques il apparaît une multitude de niveaux d'énergie électroniques groupés en deux bandes d'énergie permise : la bande de valence et la bande de conduction séparées par une région vide de niveaux d'énergie appelée

bande interdite de largeur  $E_g=1,1\,\mathrm{eV}$  (énergie de gap). Chaque niveau d'énergie ne peut être occupé que par deux électrons au maximum. Les bandes d'énergie sont communes à l'ensemble des atomes et sont représentées symboliquement par la fig. 1.

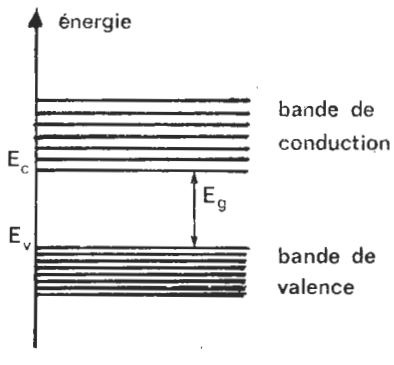


Fig. 1

a) Tout photon ayant une énergie suffisante pourra extraire un électron de la bande de valence et le faire passer dans la bande de conduction. La lumière visible du rayonnement solaire convient-elle comme extracteur?

Lorsqu'un électron passe dans la bande de conduction, il devient un électron « libre », il laisse dans la bande de valence un trou. Si un autre électron de la bande de valence vient remplacer l'électron manquant, tout se passe comme si un « trou positif » de charge +e s'était déplacé dans le réseau. On admettra que les deux types de porteurs, trous et électrons libres, peuvent être traités comme des particules de même masse m assimilée à la masse de l'électron.

b) On considère le cristal en équilibre à la température absolue T. Etant donné un niveau énergétique quelconque E, la probabilité pour que ce niveau soit occupé par un électron est donnée par la loi de distribution de Fermi-Dirac :

$$f\left(\mathrm{E}
ight) = rac{1}{1 + e^{\mathrm{E} - \mathrm{E_F}/k\mathrm{T}}}$$
  $k$  constante de Boltzmann,  $\mathrm{E_F}$  énergie du « niveau de Fermi ».

Tracer l'allure des courbes (papier millimétré inutile) représentant la loi f(E) en fonction de E pour T=0 K et T=300 K. On

prendra 
$$\frac{E_F}{k} = 50\,000 \text{ K}.$$

Quelle est la probabilité  $\varphi(E)$  pour qu'un niveau énergétique E de la bande de valence soit occupé par un trou ? Représenter graphiquement  $\varphi(E)$  en fonction de E pour T=0 K et T=300 K.

 $7^{\circ}$  Dans le silicium intrinsèque en équilibre (indice i signifiant intrinsèque) il y autant d'électrons libres que de trous. Leurs nombres par unité de volume sont donnés respectivement par :

E<sub>F</sub>; énergie du niveau de Fermi,

 $n_i = N_C e^{E_{X_i} - E_C/kT}$   $E_C$  énergie minimale de la bande de conduction,  $E_V$  énergie maximale de la bande de valence,

$$p_i = N_V e^{E_V - E_{Fi}/kT}$$

$$N_C = N_V = 2\left(\frac{2\pi m kT}{h^2}\right)^{3/2}$$

$$h \text{ constante de Planck.}$$

- a) Exprimer l'énergie de Fermi  $E_{\mathrm{F}i}$  en fonction de  $E_V$  et  $E_C$ . Situer le niveau de Fermi sur le diagramme de la fig. 1. Comment seront remplies les bandes de valence et de conduction à  $T=0~\mathrm{K}$  et à une température T?
- b) Exprimer la loi de variation de  $n_i$  en fonction de l'énergie de gap  $\mathbf{E}_g$  et de la température absolue T. Calculer numériquement  $n_i$  à 300 K.
- 8º a) Le semi-conducteur est dopé lorsqu'on remplace dans le cristal quelques atomes de silicium par des atomes d'impuretés dits atomes donneurs ou accepteurs selon qu'ils introduisent des électrons libres en excès (semi-conducteur dopé de type N) ou des trous en excès (semi-conducteur dopé de type P). On admettra que le nombre de porteurs excédentaires est égal au nombre d'atomes d'impuretés.

Dans ces conditions le nombre d'électrons libres et de trous par unité de volume est toujours donné à l'équilibre par :

$$n = N_C e^{E_F - E_C/kT} \qquad p = N_V e^{E_V - E_F/kT}$$

E<sub>F</sub> étant le niveau de Fermi du semi-conducteur dopé.

Exprimer le produit n p.

- b) Calculer les nombres n et p à 300 K dans un cristal de silicium contenant un atome de phosphore (donneur) pour  $10^8$  atomes de silicium. Justifier les qualificatifs de porteurs majoritaires ou minoritaires dans ce cas.
- Si les mobilités ont encore les valeurs indiquées à la 4º question, quelle est la conductivité de ce cristal à 300 K?

Quelle est la position de son niveau de Fermi par rapport au niveau de Fermi du silicium intrinsèque?

Exprimer l'écart en électron-volts.

- c) Mêmes questions qu'en b) dans le cas d'un cristal de silicium contenant un atome de bore (accepteur) pour 106 atomes de silicium.
- 9° On réalise une jonction PN (fig. 2) en mettant en contact le semi-conducteur de type P et le semi-conducteur de type N étudiés ci-dessus. Les porteurs diffusent à travers la frontière de la région

où ils sont majoritaires vers la région où ils sont minoritaires. Des électrons et des trous se recombinent. On considère la jonction en circuit ouvert.

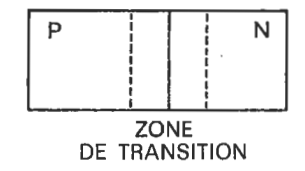


Fig. 2

- a) Justifier qualitativement le fait que cette recombinaison n'a lieu qu'au voisinage de la frontière dans une zone dite de transition et qu'un équilibre s'établit avec une différence de potentiel  $V_0$  entre
- les deux régions. Préciser le sens du champ interne  $\overrightarrow{\mathcal{E}}_i$  apparu dans la zone de transition.
- b) Soit  $p_P$  la concentration des trous dans la région P; le nombre de trous par unité de volume susceptibles de franchir la barrière de potentiel  $V_0$  est  $p_P\,e^{-e\,V_0/kT}$ . Calculer à l'équilibre la valeur de  $V_0$ . On fera le calcul numérique avec les valeurs numériques de la question  $8^\circ$  et on comparera aux résultats de cette question.
- c) La jonction dans l'obscurité est ainsi traversée par un courant dit de « diffusion » dû aux porteurs majoritaires, de la forme  ${\rm I}_{\rm D}={\rm I}_0\,e^{-e\,V_{\rm o}/kT}$  et par un courant dû aux porteurs minoritaires appelé
- courant de saturation  $I_S$ . On adopte comme sens positif celui de  $\mathcal{E}_{i_\ell}$  dans quel sens circulent ces courants? Quelle relation y a-t-il entre  $I_D$  et  $I_S$ ?
- 10° a) Que se produit-il lorsque la jonction PN est éclairée? Ce phénomène est appelé effet photovoltaïque, il lui correspond un courant photovoltaïque. Comparer à l'effet photoélectrique, préciser analogies et différences.
- b) Quel rôle joue une jonction PN éclairée dans un circuit électrique? La jonction ainsi éclairée débitant sur une « charge » (par exemple, un moteur), il existe à ses bornes une d.d.p.  $v=v_P-v_N$ . De ce fait, la barrière de potentiel au niveau de la frontière des régions P et N devient  $V_0-v$ . Expliquer ce résultat. Au courant photovoltaïque noté  $I_{CC}$  se superposent un courant de diffusion  $I_D'$  et le courant de saturation  $I_S$ . Expliquer pourquoi le courant  $I_S$  garde pratiquement la même valeur qu'à la question  $9^\circ$ . Indiquer les sens de ces différents courants. Exprimer l'intensité I du courant débité dans le circuit extérieur en fonction de  $I_{CC}$ ,  $I_S$ , v, k et T; préciser son sens.

## C. Générateur à photopiles

11° Le schéma électrique équivalent d'une photopile (fig. 3) est un générateur débitant un courant  $i_{\rm CC}={\rm KE}$  proportionnel à l'éclairement E (puissance du rayonnement reçu par unité de surface) en parallèle avec une diode polarisée en direct, avec :

 $i_{\rm P} = i_{\rm S} \left( e^{ev/kT} - 1 \right)$   $i_{\rm S}$  est le courant de saturation.

Ecrire l'équation de la caractéristique courant-tension i=f(v) d'une photopile et tracer l'allure du graphe i=f(v) pour v>0. Si au cours d'une utilisation v devenait négatif, quelle serait la caractéristique?

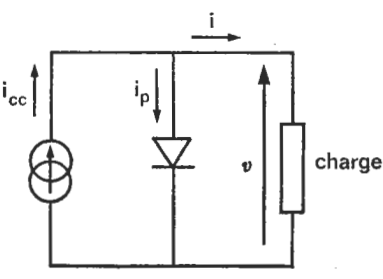
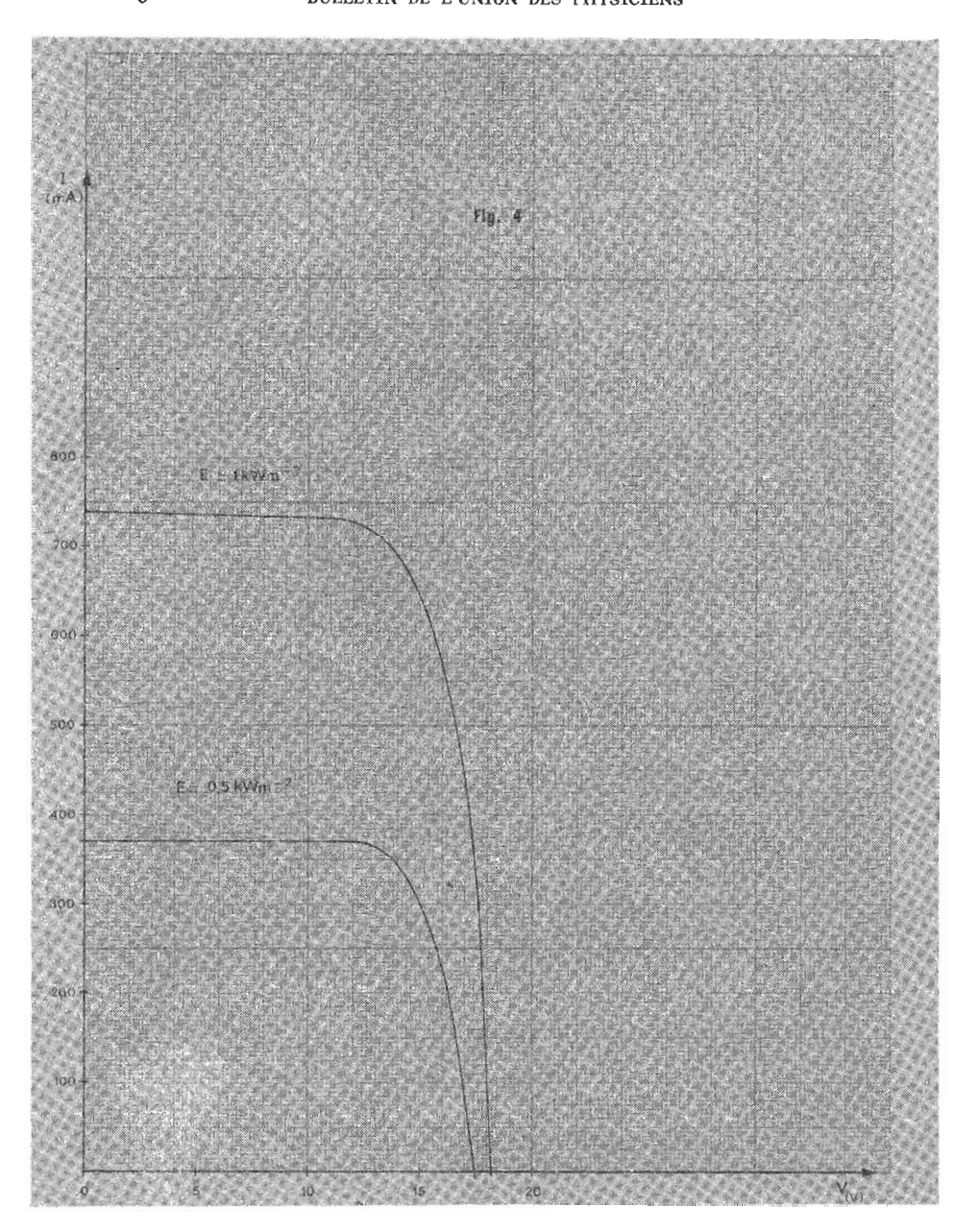


Fig. 3

- 12° Le graphe (fig. 4) donne les caractéristiques expérimentales à  $60^{\circ}$ C d'un panneau solaire constitué de 34 cellules de 52 mm de diamètre disposées en série, pour des éclairements de 1 kW m<sup>-2</sup> et 0.5 kW m<sup>-2</sup>
- a) Ecrire l'équation I=f(V) pour le panneau. Déterminer K et  $i_S$  à l'aide des données expérimentales des courants de court-circuit et des tensions à vide. Calculer I pour V=16 volts sous  $1 \text{ kW m}^{-2}$ . Comment expliquer la différence avec la valeur expérimentale?
- b) Déterminer l'intensité et la tension correspondant au maximum de puissance débitée  $P_m$  sous l'éclairement de 1 kW m-2. Calculer le rendement photovoltaïque  $\eta$  rapport de  $P_m$  à la puissance rayonnée incidente.
- 13° Deux panneaux identiques au précédent, montés en série, alimentent une charge résistive de 35 ohms.
- a) Quelle est l'intensité du courant débité dans la charge pour un éclairement des deux panneaux de  $1~\rm kW~m^{-2}$  (méthode graphique recommandée)?
- b) Même question lorsque par suite d'un effet d'ombre un panneau reçoit  $1~kW~m^{-2}$  et l'autre  $0.5~kW~m^{-2}$ . Quelles sont les tensions aux bornes de chaque panneau, la puissance débitée par l'ensemble et au niveau de chaque panneau? Quelle est la conséquence du sous-éclairement d'un panneau?
- c) Pour éviter cette conséquence, on monte une diode idéale en parallèle sur chaque panneau. Préciser sur un schéma le branchement des diodes. Quelles sont l'intensité du courant de charge et la puissance débitée ?
- $14^{\circ}$  On associe plusieurs panneaux pour alimenter un groupe moteur-pompe. Le moteur a une caractéristique courant-tension représentée par l'équation  $V=0.21~I^2$ , l'eau est pompée à 18,75 mètres de profondeur, le rendement énergétique de l'installation est de 60 %.



Calculer, en précisant le mode d'association des panneaux, le nombre minimal de panneaux, éclairés sous 1 kW m<sup>-2</sup>, nécessaires pour obtenir un débit de 7.2 m<sup>3</sup> à l'heure.

## D. Limites au rendement d'une photopile

15° Calculer le rendement photonique  $\eta_P$  (rapport de l'énergie nécessaire pour créer autant de paires électrons-trous qu'il y a de photons incidents, à l'énergie incidente) d'une photopile au silicium pour un éclairement de 0,5 kW m<sup>-2</sup> en lumière monochromatique de longueur d'onde dans le vide  $\lambda=0.6~\mu m$ .

Oue devient l'énergie excédentaire des photons incidents?

 $16^{\circ}$  a) Rappeler la relation entre la pulsation  $\omega$  et le vecteur d'onde  $\mathbf{k}$  d'une onde électromagnétique plane monochromatique se propageant dans le vide. On admettra que dans le cristal cette relation est conservée en remplaçant la vitesse de la lumière dans le vide par

$$v = \frac{c}{n}$$
 où  $n$  est l'indice de réfraction du cristal.

- b) La vibration des atomes du réseau cristallin autour de leur position d'équilibre se propage à la vitesse  $v_{\rm S}$ . On définit de la même manière que pour un photon le quantum d'énergie d'une onde mécanique ou « phonon » et sa quantité de mouvement. Exprimer l'énergie  $\mathcal E$  et la quantité de mouvement  $\mathbf P$  d'un phonon de pulsation  $\Omega$  et de vecteur d'onde  $\mathbf K$ .
- c) Dans un cristal un photon peut créer un phonon. Dans ce processus le photon sera diffusé dans une direction faisant l'angle  $\vartheta$  avec la direction incidente, son vecteur d'onde devient  $\mathbf{k}'$  et sa pulsation  $\omega'$ . Exprimer la fréquence des phonons créés en fonction de  $\vartheta$  et  $\omega$ . On tiendra compte du fait que les fréquences photoniques sont toujours très supérieures à la fréquence des phonons créés. Calculer numériquement la fréquence maximale des phonons créés par diffusion d'une lumière monochromatique de longueur d'onde dans le vide  $\lambda=0.6~\mu\mathrm{m}$  en supposant  $v_{\mathrm{S}}\approx15~10^3~\mathrm{m~s^{-1}},~n\approx3.$

TT

## CONVERSION THERMIQUE A BASSE TEMPÉRATURE

Pour des températures inférieures à 100°C on choisit des capteurs plans.

17º Etude de l'effet de serre.

Par définition un corps noir est un corps absorbant parfaitement toutes les radiations électromagnétiques et il est en même temps émetteur de rayonnement électromagnétique. La puissance  $\phi$  rayonnée par unité de surface de corps noir ou flux énergétique à la température absolue T exprimée en  $W\,m^{-2}$  est donnée par l'expression :

$$\omega = \sigma T^4$$
 avec  $\sigma$  constante de Stefan.

a) Une plaque noircie, assimilée avec une bonne approximation à un corps noir, posée sur un isolant, reçoit normalement à son plan

un flux d'énergie lumineuse incidente  $\phi_0=1$  kW m-2. Calculer la température d'équilibre thermique  $T_0$  de la plaque. On négligera toutes les pertes.

- b) La plaque noircie est surmontée d'une plaque de verre. Sous l'action du flux solaire  $\varphi_0$  d'incidence normale, un équilibre thermique s'établit,  $T_1$  étant la température du verre et  $T'_0$  celle de la plaque. Calculer  $T_1$  et  $T'_0$  en supposant que la plaque et le verre rayonnent approximativement comme des corps noirs aux températures  $T_1$  et  $T'_0$ , que le verre est transparent aux rayons solaires et absorbe complètement le rayonnement de la plaque.
- c) On dispose n vitres successives identiques à la vitre précédente et toutes parallèles entre elles. Exprimer en fonction de  $T_0$  la température  $T_n$  de la dernière vitre (la plus éloignée de la plaque) et la température  $T_e$  de la plaque. Que néglige-t-on dans ce calcul simplifié ? Est-il en réalité intéressant de multiplier le nombre de vitres ?

## 18° Energie fournie par un dispositif solaire (fig. 5).

L'insolateur est constitué d'une surface S=1 m² de capteurs plein sud d'inclinaison  $i=60^\circ$ . Le fluide caloporteur (eau) arrive de la cuve de stockage aux capteurs à la température  $t_e$ . Après circulation dans les capteurs, il en sort à la température  $t_s=40^\circ\mathrm{C}$  imposée par un thermostat.

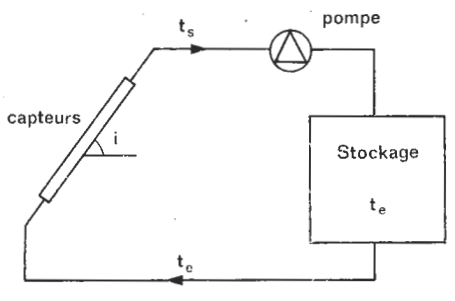


Fig. 5

Pour le calcul de l'énergie fournie par le dispositif pendant une journée, on découpe le temps en tranches d'une heure centrées sur l'heure H (heure solaire) et toutes les grandeurs considérées sont supposées constantes sur l'intervalle de temps compris entre (H-1/2) et (H+1/2).

Le tablicau ci-après donne la puissance reçue heure par heure en un lieu de latitude 45° un jour de beau temps au mois de mars.

| H (h)                 | 7   | 8   | 9   | 10  | 11  | 12    |
|-----------------------|-----|-----|-----|-----|-----|-------|
| E (Wm <sup>-2</sup> ) | 154 | 428 | 678 | 873 | 996 | 1 039 |

La température extérieure  $t_a$  est calculée par la relation :

$$t_a = t_{min} + (t_{max} - t_{min}) \frac{H - H_L}{12 - H_L}$$

entre le lever du soleil  $H_L = 6.5 \text{ h}$  et 12 h avec des valeurs symétriques par rapport à midi pour l'après-midi :

$$t_{min} = 4.2^{\circ} \text{C}$$
  $t_{max} = 42.8^{\circ} \text{C}.$ 

On pose  $t_m = 1/2$  ( $t_e + t_s$ ) la température moyenne des capteurs évaluée en début d'heure, c'est-à-dire calculée en prenant la valeur de  $t_e$  à l'instant (H — 1/2).

La puissance fournie par les capteurs, exprimée en watts est :

$$P = [\alpha E - K(t_m - t_a)] S$$
 si  $P > 0$  sinon  $P = 0$   
avec  $\alpha = 0.8$  et  $K = 7 W m^{-2} {}^{\circ}C^{-1}$  caractéristiques des capteurs.

- a) Quelle est la signification du terme  $K(t_m t_a)$  dans l'expression de P?
- b) La cuve de stockage de volume V = 300 litres, remplie d'eau de chaleur massique C = 4,18 10³ J kg<sup>-1</sup> °C<sup>-1</sup>, est à la température  $t_e$  à l'instant (H 1/2). Exprimer  $t'_e$  température de la cuve à l'instant (H + 1/2) en fonction de  $t_e$  et de P.
- c) Connaissant  $t_{\rm eL}=20^{\circ}{\rm C}$  à  ${\rm H_L}=6.5$  h, calculer en Wh l'énergie fournie par le dispositif solaire pendant cette journée.
- d) Le débit du fluide caloporteur, commandé par la pompe, est-il constant ?

CONCLUSION: Quels autres domaines d'utilisation de l'énergie solaire connaissez-vous?

## SOLUTION

## Ŧ

#### CONVERSION PHOTOVOLTAÏOUE

- A. Nature des porteurs de charge dans les solides
- 1° Dans un modèle macroscopique de la conduction électrique dans un métal, on suppose que, sous l'action d'un champ électrique  $\overrightarrow{\mathcal{E}}$ , les électrons libres se déplacent à la même vitesse d'ensemble  $\mathbf{v}$  et subissent de la part du milieu conducteur une force résistante analogue à une force de frottement fluide proportionnelle à leur vitesse.
- a) Dans un repère galiléen lié au cristal, la relation fondamentale de la dynamique appliquée à un électron s'écrit :

(1) 
$$m\frac{d\mathbf{v}}{dt} = q\vec{\delta} - \frac{m}{\tau}\mathbf{v}.$$

b) En régime permanent :  $\mathbf{v} = \frac{\tau q}{m} \overrightarrow{\mathcal{E}}$ , d'où la mobilité

des porteurs  $\mu = \frac{q}{m}$   $\tau$  (la mobilité ainsi définie est une gran-

deur algébrique) le vecteur densité de courant  $\mathbf{j} = \frac{n \ q^2}{m} \, \tau \, \overrightarrow{\mathcal{E}}$  et la

conductivité 
$$\sigma = \frac{n q^2}{m} \tau$$
.

- c) D'après l'expression de la force de frottement, la constante  $\tau$  est homogène à un temps.
- $2^{\circ}$  a) Les porteurs qui traversent la section droite S=ab du conducteur pendant le temps dt sont dans le volume Svdt. La charge électrique qui traverse S pendant dt est nSvqdt. Par convention, le sens positif du courant est en sens contraire du mouvement des électrons.

$$I = \frac{n S v | q | dt}{dt} \qquad I = n e v a b.$$

b) Un électron est soumis à la force de Lorentz  $\mathbf{f}_{\mathbf{B}}=q\mathbf{v}\wedge\mathbf{B}$ . Il apparaît un excès d'électrons sur le bord (2) du

ruban et un défaut d'électrons sur le bord opposé (1). Ce déplacement se produit jusqu'à ce que le champ électrique ainsi créé  $\overrightarrow{\mathcal{E}}_{H}$  exerce sur chaque électron une force électrostatique opposée à la force de Lorentz  $\mathbf{f}_{E} = q \overrightarrow{\mathcal{E}}_{H}$ .

En régime permanent :  $q\vec{\mathcal{E}}_{H} + q(\mathbf{v} \wedge \mathbf{B}) = \mathbf{0}$ ,  $q\mathcal{E}_{H} - qvB = 0$   $\mathcal{E}_{H} = vB$   $U_{H} = bvB \qquad \text{d'où} \qquad U_{H} = \frac{IB}{nea} \qquad \left(v = \frac{I}{neab}\right)$   $\begin{pmatrix} A \\ \downarrow \\ \downarrow \end{pmatrix}$   $\begin{pmatrix} A \\$ 

Fig. 1 c) 
$$U_H = 6.25 \, 10^{-6} \, V$$
  $n = 10^{29} \, m^{-3}$ .

Soit n' le nombre d'atomes de cuivre par unité de volume :

$$n' = \frac{\varrho \mathfrak{I}}{M}$$
 avec M = 63,5 g  $\Rightarrow n' = 0.84 \, 10^{29} \, \text{m}^{-3}$ .

Il y a environ un électron libre par atome de cuivre.

$$\sigma = n \, q \, \mu \qquad \mu = -3.7 \, 10^{-3} \, \text{m}^2 \, \text{V}^{-1} \, \text{s}^{-1}$$

$$v = \frac{I}{n \, e \, a \, b} \qquad v = 0.63 \, 10^{-3} \, \text{m} \, \text{s}^{-1}.$$

$$d) \qquad \tau = \frac{\mu m}{a} \Rightarrow \tau = 2 \, 10^{-14} \, \text{s}.$$

La solution de l'équation différentielle (1), en supposant  $\overrightarrow{\mathcal{E}}$  appliqué à des charges initialement immobiles, est :

$$\mathbf{v} = \frac{\tau q}{m} \stackrel{\overrightarrow{\mathcal{E}}}{\mathcal{E}} (1 - e^{-t/\tau})$$

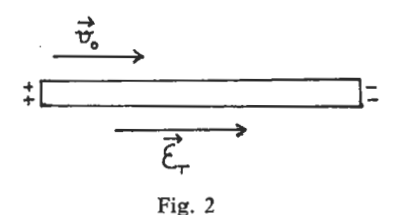
v tend vers la solution permanente  $\frac{\tau q}{m} \stackrel{\rightarrow}{\mathcal{E}}$  et  $\tau$  est la constante

de temps du régime transitoire. La très faible valeur de τ montre que l'établissement du régime permanent est pratiquement instantanée.

## Remarque.

Dans un modèle microscopique où le courant de conduction correspond à une dérive lente et continue des porteurs, qui se superpose à leur mouvement aléatoire beaucoup plus rapide,  $\tau$  serait le temps moyen entre deux collisions. L'interprétation de la valeur numérique de  $\tau$  (supérieure au temps de parcours des distances interatomiques) nécessite une description quantique de la conduction.

3° a) Au début du freinage du fil, du fait de leur inertie, les électrons poursuivent leur mouvement de translation. Il en résulte une accumulation de charges négatives vers « l'avant » du fil et un déficit vers « l'arrière » (ce qui se traduit par une charge positive), ce qui a pour effet de créer un champ électrique à antagoniste au mouvement des électrons.



Le champ  $\overrightarrow{\mathcal{E}}$  et les collisions sur les ions du réseau ont pour effet de freiner les électrons qui, au bout d'un temps très court, s'immobilisent par rapport au fil.

Pendant ce régime transitoire, l'équation du mouvement d'un électron dans un repère lié au fil est :

$$m \frac{d\mathbf{v}}{dt} = -k\mathbf{v} + q\vec{\mathcal{E}} - m\mathbf{a}_e$$

où  $\mathbf{a}_e$  est l'accélération d'entraînement et où  $\overrightarrow{\mathcal{E}}$  varie de 0 à  $\overrightarrow{\mathcal{E}}_T$  valeur de  $\overrightarrow{\mathcal{E}}$  à la fin du régime transitoire.

Puis apparaît le régime permanent, pendant le freinage du fil, pour lequel le mouvement relatif des électrons par rapport au fil est nul:

$$q\overrightarrow{\mathcal{E}}_{\mathrm{T}} - m\mathbf{a}_{\mathrm{e}} = \mathbf{0}.$$

b) Mouvement d'entraînement uniformément décéléré :

$$a_e = rac{v_0}{T} \Rightarrow \mathcal{E}_T = rac{m \, a_e}{q}; \quad U_T = \mathcal{E}_T \, l \Rightarrow U_T = rac{m \, a_e \, l}{q}.$$

c) 
$$a_e = \frac{\omega r}{T}$$
 d'où :  $\frac{q}{m} = \frac{\omega r l}{T U_r} \Rightarrow \frac{q}{m} = 1,72 \cdot 10^{11} \text{ C kg}^{-1}$ ,

résultat très proche du rapport  $(e/m) = 1,78 \, 10^{11} \, \text{C kg}^{-1}$  pour un électron. Le signe de  $U_T$  donne le signe des porteurs.

4° a) Par définition :

$$\mathbf{j} = n \, q_n \, \mathbf{v}_n + p \, q_p \, \mathbf{v}_p \quad \text{et} \quad \mathbf{j} = \sigma \, \overrightarrow{\mathcal{E}}$$
 $\sigma = n \, q_n \, \mu_n + p \, q_p \, \mu_p \quad \text{or} \quad q_n < 0 \quad \mu_n < 0 \quad \mu_p > 0$ 
 $\sigma = n \, e \, |\mu_n| + p \, e \, \mu_p$ 

les conductivités s'ajoutent.

Le texte donne les valeurs absolues des mobilités d'où l'on tire :  $\sigma=0.48\,10^{-3}\,\Omega^{-1}\,\mathrm{m}^{-1}$ , valeur très inférieure à la conductivité du cuivre.

- b) La mesure de la tension de Hall renseigne sur la densité des porteurs majoritaires et le signe de leur charge.
  - B. Etude d'un semi-conducteur Effet photovoltaïque
- 5° L'atome de silicium a 14 électrons dont 4 électrons périphériques vu la forte énergie de cinquième ionisation. Dans le cristal, chaque atome de silicium a ses 4 électrons engagés dans des liaisons de covalence avec 4 atomes de silicium voisins.
- $6^{\circ}~a)$  Le photon doit avoir une énergie égale ou supérieure à  $\mathbf{E}_{e}$  :

$$\frac{hc}{\lambda} \geqslant E_g \qquad \lambda \leqslant 1,13 \, 10^{-6} \text{ m}.$$

La lumière visible 0,4  $\mu m \leqslant \lambda \leqslant$  0,8  $\mu m$  convient comme extracteur.

L'étude en mécanique quantique de la propagation d'un électron dans le cristal conduit à lui attribuer une masse effective  $m^*$  qui sera prise ici pour simplifier, égale à la masse d'un électron libre, de même pour les électrons manquants ou trous.

b) La probabilité f(E) d'occupation d'un niveau d'énergie E, donnée par la statistique de Fermi-Dirac, dépend de l'écart

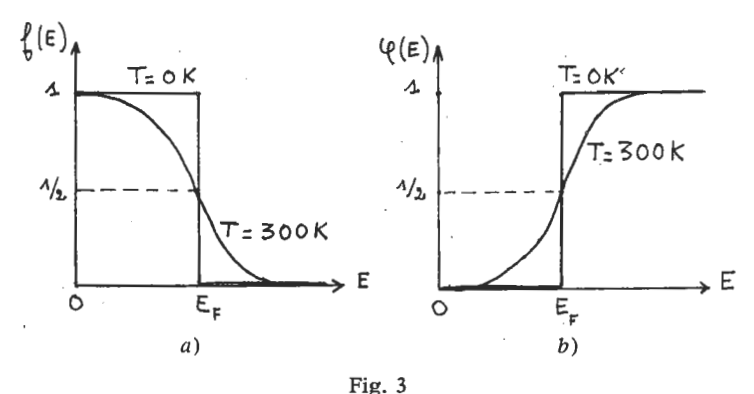
entre E et l'énergie E<sub>F</sub> du « niveau de Fermi » qui est une constante caractéristique de la substance et qui varie très peu avec la température.

$$T = 0 \text{ K} \begin{cases} E < E_F & f(E) = 1 \\ E > E_F & f(E) = 0 \end{cases}$$
 (fig. 3 a)

T = 300 K 
$$\begin{cases} f(E) = \frac{1}{1 + e^{2.410^{20} E - 166}} \\ E = E_F & f(E) = 1/2 \end{cases}$$
 (fig. 3 a)

Le niveau énergétique E occupé par un trou est l'événement contraire à E occupé par un électron :

$$\varphi(E) = 1 - f(E) \left\{ \Rightarrow \varphi(E) = \frac{1}{1 + e^{-(E - E_y)/kT}}$$
 (fig. 3b)



115.0

7° a) Dans le silicium intrinsèque en équilibre  $n_i = p_i$ :

$$E_{Fi} - E_{c} = E_{V} - E_{Fi}$$
  $E_{Fi} = \frac{E_{V} + E_{C}}{2}$ 

Le niveau de Fermi E<sub>Fi</sub> est au milieu de la bande interdite.

D'après la loi f(E), au zéro absolu, tous les états de la bande de valence sont occupés et la bande de conduction est vide. A la température T, par agitation thermique, des électrons passent dans la bande de conduction et la bande de valence est incomplètement remplie.

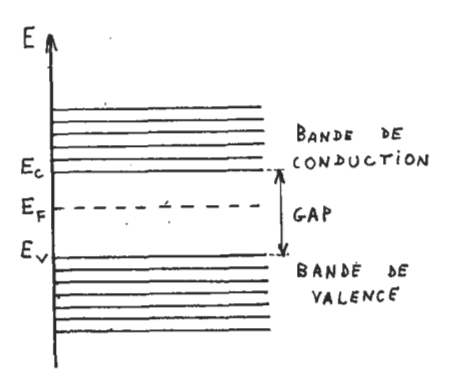


Fig. 4

b) 
$$n_i = p_i = 2 \left( \frac{2 \pi m kT}{h^2} \right)^{3/2} e^{-Eg/2 kT} \Rightarrow n_i = 1.4 \cdot 10^{16} \text{ m}^{-3}.$$

8° a) 
$$n p = N_C N_V e^{-Eg/kT}$$
 ou  $n p = n_i^2 = K(T)$ .

Le produit np ne dépend que de  $E_g$  et de T, il est indépendant de la concentration en impuretés : à une température donnée, l'introduction d'atomes étrangers pour augmenter n entraînera une diminution de p.

b) Un atome de phosphore pentavalent substitué à un atome de silicium introduit un électron supplémentaire dont le niveau d'énergie est très proche du niveau inférieur  $E_{\rm C}$  de la bande de conduction dans laquelle cet électron passera facilement à 300 K. L'atome de phosphore devient ainsi un ion positif fixe dans le réseau.

Soit  $N_D$  le nombre d'atomes donneurs par unité de volume supposés tous ionisés. L'électroneutralité du cristal s'écrit :

or: 
$$N_D = \frac{N}{10^8} \Rightarrow N_D = 5 \, 10^{20} \, \, \text{m}^{-3} \, ; \qquad p < n_i$$
 ce qui entraı̂ne que: 
$$N_D \gg p$$

ce qui entraı̂ne que : 
$$N_D \gg p$$

d'où :  $n \approx 5\,10^{20}~\mathrm{m}^{-3}$  et  $p \simeq \frac{n_{\rm r}^2}{N_{\rm D}}$ 

soit :  $p \simeq 4\,10^{11}~\mathrm{m}^{-3}$ ;

les électrons libres sont les porteurs majoritaires :

$$\sigma = n e |\mu_n| + p e \mu_p \Rightarrow \sigma = 11.6 \Omega^{-1} \text{ m}^{-1}.$$

La présence d'impuretés augmente la conductivité :

$$\frac{n_i}{n} = e^{\mathrm{E}_{\mathrm{F}i} - \mathrm{E}_{\mathrm{F}}/k\mathrm{T}}$$
  $\mathrm{E}_{\mathrm{F}} = \mathrm{E}_{\mathrm{F}i} + k\mathrm{T} \ln \frac{n}{n_i}$ . Numériquement :  $\mathrm{E}_{\mathrm{F}} - \mathrm{E}_{\mathrm{F}i} = 0.27 \; \mathrm{eV}$  : le niveau de Fermi s'élève.

c) Un atome de bore trivalent substitué à un atome de silicium empruntera, pour établir 4 liaisons, un électron à un atome de silicium voisin. La présence du bore fait apparaître un niveau d'énergie supplémentaire très proche du niveau E<sub>V</sub>. C'est donc un électron de la bande de valence du silicium qui passera sur ce niveau créant un trou et l'atome de bore devient un ion négatif fixe dans le réseau.

Soit N<sub>A</sub> le nombre d'atomes accepteurs par unité de volume, supposés tous ionisés.

$$p' = n' + N_A$$
,  $N_A = \frac{N}{10^6} \Rightarrow N_A = 5 \cdot 10^{22} \,\mathrm{m}^{-3}$   $N_A \gg n'$   
 $p\dot{u}: p' \simeq N_A$  et  $n' \simeq \frac{n_i^2}{N_A}$   $n' \simeq 4 \cdot 10^9 \,\mathrm{m}^{-3}$ ;

les trous sont les porteurs majoritaires :

$$\sigma' = n' e |\mu_n| + p' e \mu_P$$
  $\sigma' = 360 \Omega^{-1} m^{-1}$ 

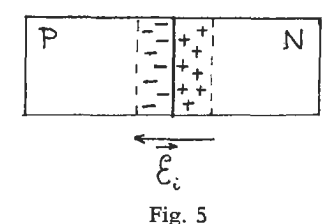
$$E'_F = E_{F_i} + kT \ln \frac{p_i}{p'}$$
  $E'_F - E_{F_i} = -0.39 \text{ eV}.$ 

Le niveau de Fermi s'abaisse.

## Remarque.

$$E_F - E_{F'} = kT \ln \frac{N_D N_A}{n_t^2}$$
. Numériquement :  $E_F - E_{F'} = 0.66$  eV.

 $9^{\circ}$  a) La diffusion des porteurs majoritaires laisse du côté P un excès de charges — (atomes accepteurs ionisés) et du côté N un excès de charges + (atomes donneurs ionisés). Il en résulte un champ électrique  $\overrightarrow{\mathcal{E}_i}$  dirigé de N vers P qui s'oppose à la diffu-



sion des porteurs majoritaires. Donc cette double couche de charges n'existe qu'au voisinage de la frontière et il y a une variation brusque du potentiel dans la zone de transition  $V_0 = V_N - V_P$ ,  $V_N$  et  $V_P$  désignant les potentiels des régions N et P.

 $V_0$  est une barrière de potentiel pour les porteurs majoritaires, par contre  $\overrightarrow{\mathcal{E}}_i$  favorise le passage des porteurs minoritaires.

b) A l'équilibre, en circuit ouvert, le courant total traversant la jonction est nul : le courant de diffusion des porteurs majoritaires est compensé par un courant en sens inverse des porteurs minoritaires. Il y a autant de trous franchissant la jonction dans un sens et dans l'autre. Soit  $p_N$  la concentration des trous dans la région N:

$$p_{
m N}=p_{
m P}\,e^{-e{
m V_0}/k{
m T}}$$
 or  $p_{
m P}\simeq{
m N_A},$   $n_{
m N}\simeq{
m N_D},$   $p_{
m N}\simeq{n_{
m i}^2\over{
m N_D}},$  d'où :  ${
m V_0}={k{
m T}\over e}$  ln  ${{
m N_A\,N_D}\over{n_i^2}}$ . Numériquement :  ${
m V_0}=0.66$  volt ;

eV<sub>0</sub> est égal à la différence des énergies des niveaux de Fermi dans les régions N et P avant réalisation de la jonction.

c) Soit  $I_D$  le courant de diffusion des porteurs majoritaires de P vers N et  $I_S$  le courant de saturation dû aux porteurs minoritaires de N vers P:

$$I_D = I_S$$
 d'où :  $I_S = I_0 e^{-eV_0/kT}$ .

$$P \xrightarrow{I_S} N$$

$$E_{is}$$

$$E_{is}$$

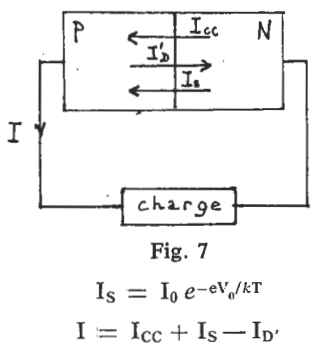
 $10^{\circ}$  a) Lorsque la jonction PN est éclairée, il y a création de paires électrons-trous. L'entraînement de ces porteurs par le champ  $\overrightarrow{\mathcal{E}}_i$  a un effet global équivalent à un courant de N vers P à travers la jonction, dit courant photovoltaïque, noté  $I_{CC}$ .

Comme dans l'effet photoélectrique on note le rôle de la lumière pour créer les porteurs de charge et la nécessité d'un champ électrique pour les entraîner, mais l'effet photovoltaïque en diffère par la présence de deux types de porteurs et l'origine du champ  $\overrightarrow{\mathcal{E}}_i$ , champ interne dû à la dissymétrie de la jonction et non pas créé pour une source de tension extérieure.

b) Dans un circuit électrique, la jonction PN éclairée joue le rôle d'un générateur. La jonction débitant sur une charge, si le potentiel de la zone P s'élève de v par rapport à celui de la zone N, la barrière de potentiel  $V_0 = V_N - V_P$  en circuit ouvert s'abaisse de v et devient  $V_0 - v$ .

La diffusion des porteurs majoritaires augmente, le courant de diffusion est :  $I'_D = I_0 e^{-e (V_0 - \nu)/kT}$ .

Le courant de saturation est inchangé car les porteurs minoritaires sont encore tous entraînés.



 $I = I_{CC} + I_{S} (1 - e^{ev/kT}).$ 

I circule dans le circuit extérieur de P vers N.

## C. Générateur à photopiles

11°  $i = i_{CC} - i_{P}$  $i = i_{CC} - i_{S} (e^{ev/kT} - 1).$ 

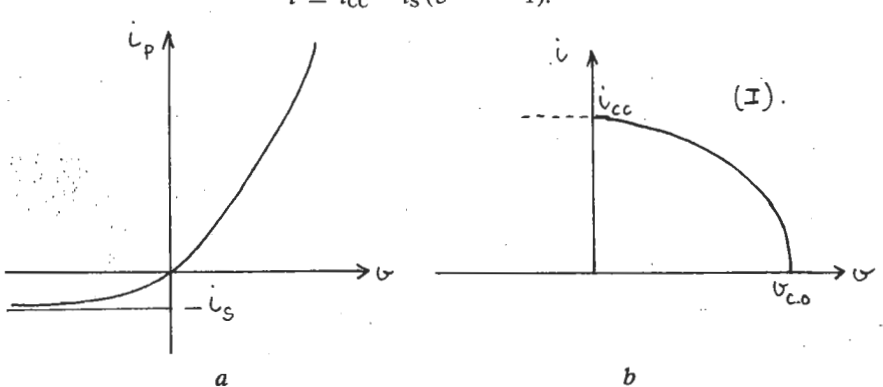


Fig. 8

Pour v = 0:  $i = i_{CC}$ , c'est le courant de court-circuit.

Pour i = 0:  $v = v_{CO}$ , tension en circuit ouvert.

Le quadrant (I) est la région d'utilisation normale en générateur (fig. 8).

Si v devenait négatif, la diode serait traversée par un très faible courant inverse  $i_p \simeq -i_{\rm S}$  et pratiquement  $i \simeq i_{\rm CC}$ .

12° a) Les n cellules disposées en série sont traversées par le même courant I=i ( $I_S=i_S$  et  $I_{CC}=i_{CC}$ ).

La différence de potentiel aux bornes du panneau est : V = n v, d'où :

$$I = I_{CC} - I_{S} (e^{eV/n kT} - 1).$$

On lit sur le graphe pour E = 1 kW m^-2,  $I_{CC}$  = 0,74 A et pour E' = 0,5 kW m^-2,  $I'_{CC}$  = 0,37 A d'où K = 0,74 A m² kW^-1.

D'autre part, pour E = 1 kW m^-2,  $V_{CO}$  = 18,2 V d'où :  $I_{S}$  = 5,96 10^-9 A.

Pour V=16 volts, I=0,662 A et par lecture sur le graphe : I=0,570 A. L'écart est dû à la résistance interne du panneau.

b) A partir des valeurs expérimentales de V et I lues sur le graphe, on calcule P = VI. Le maximum de puissance débitée sous  $1 \text{ kW m}^{-2}$  à  $60^{\circ}\text{C}$  est  $P_m = 9,72 \text{ W}$  pour V = 14,3 V, I = 0,68 A.

La puissance reçue par les 34 cellules de surface totale S est :

$$P_{inc} = ES$$
 soit  $P_{inc} = 72.2 \text{ W}$ 

et le rendement photovoltaïque :  $\eta = \frac{P_m}{P_{max}} \Rightarrow \eta = 0.135$ .

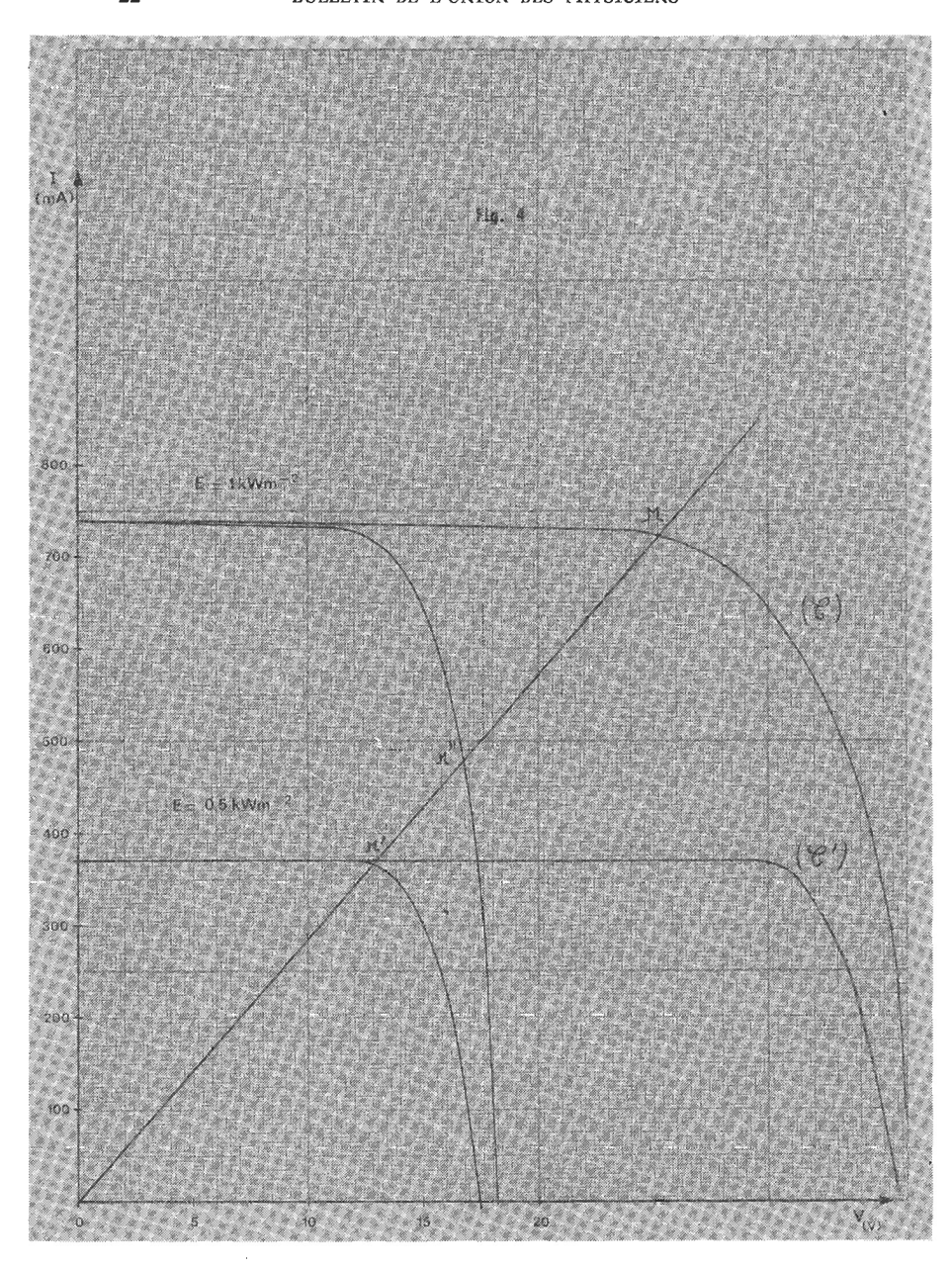
13° a) On construit la caractéristique courant - tension (courbe C) de l'association série, en additionnant les tensions aux bornes de chaque panneau traversé par la même intensité, puis

la caractéristique  $i = \frac{1}{R}u$  de la charge résistive. Le point de

fonctionnement M est à l'intersection de ces deux caractéristiques, soit :

$$I = 0.725 A$$
,  $V = 25.2 V$ .

*b*) Soit (1) le panneau éclairé sous 1 kW m $^{-2}$  et (2) le panneau éclairé sous 0,5 kW m $^{-2}$ . Le courant débité est limité par le panneau (2). On construit la nouvelle caractéristique (C') de



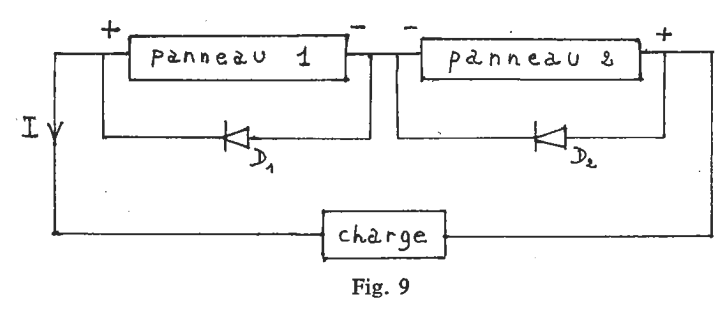
l'association série. Les coordonnées du point de fonctionnement M' sont :

$$I = 0.37 A$$
,  $V = 13 V$ .

Pour cette intensité, la tension aux bornes du panneau (1) est :  $V_1 = 17.4$  V. Par différence, on obtient la tension aux bornes du panneau (2) qui serait lue sur la partie V < 0 de sa caractéristique :  $V_2 = -4.4$  V.

Puissance débitée par l'ensemble : 4,81 W, puissance débitée par le panneau (1) : 6,44 W et puissance reçue par le panneau (2) : 1,63 W. Le panneau (2) devient récepteur.

c) On branche en parallèle sur chaque panneau une diode de protection selon le montage ci-après (fig. 9); ainsi, dès que le panneau (2) devient récepteur, la diode  $D_2$  conduit et le panneau (2) est isolé. De même pour le panneau (1).



Le point de fonctionnement est M'' : I=0,480~A~V=16,8~V, et la puissance débitée par le panneau (1) seul vaut 8,06 W.

14° La puissance nécessaire pour obtenir un débit volumique D = 7,2 m³ à l'heure, d'eau ( $\varrho=10^3~{\rm kg~m^{-3}}$ ) pompée à la profondeur h est :

$$P \stackrel{\bullet}{=} \varrho Dg h$$
 soit:  $P = 367,9 W$ .

Les panneaux doivent fournir la puissance  $P' = \frac{P}{0.6} = 613.1 \text{ W}$  au moteur.

$$P' = V I$$
 avec  $V = 0.21 I^2$ 

d'où:

$$I = 14,3 A$$
 et  $V = 42,9 V$ .

Pour que chaque panneau fournisse sa puissance maximale (sous 1 kW m<sup>-2</sup>), il doit être traversé par  $I_m=0.68$  A et supporter  $V_m=14.3\,$  V, d'où l'association des panneaux ;

en parallèle : 
$$n = \frac{I}{I_m} \Rightarrow n = 21$$
,

en série : 
$$n' = \frac{V}{V_m} \Rightarrow n' = 3$$
,

soit 63 panneaux au minimum.

## D. Limites au rendement d'une photopile

 $15^{\circ}$  Pour une photopile de 52 mm de diamètre éclairée sous  $0.5 \text{ kW m}^{-2}$ , la puissance incidente est P = 1.06 W à laquelle correspond un nombre n de photons monochromatiques de lon-

gueur d'onde dans le vide 
$$\lambda$$
  $n = \frac{P\lambda}{hc}$ .

L'énergie nécessaire pour la création de n paires trou-

électron est 
$$n E_g$$
 d'où :  $\eta_P = \frac{n E_g}{P} = \frac{\lambda E_g}{hc}$  soit  $\eta_P = 0.53$ .

L'excès d'énergie est cédée aux électrons et trous créés, ou perdue en chaleur (vibrations des atomes du cristal).

## Remarque.

Le rendement théorique (rapport de l'énergie électrique obtenue à l'énergie incidente) ne dépasse pas 20 % pour diverses raisons : réflexion de photons, recombinaison de paires électron-trou, vibrations des atomes du cristal.

16° a Soit u un vecteur unitaire dans la direction de propa-

gation 
$$\mathbf{k} = \frac{\omega}{c} \mathbf{u}$$
. On admettra que, dans le cristal,  $\mathbf{k} = \frac{\omega}{v} \mathbf{u}$ .

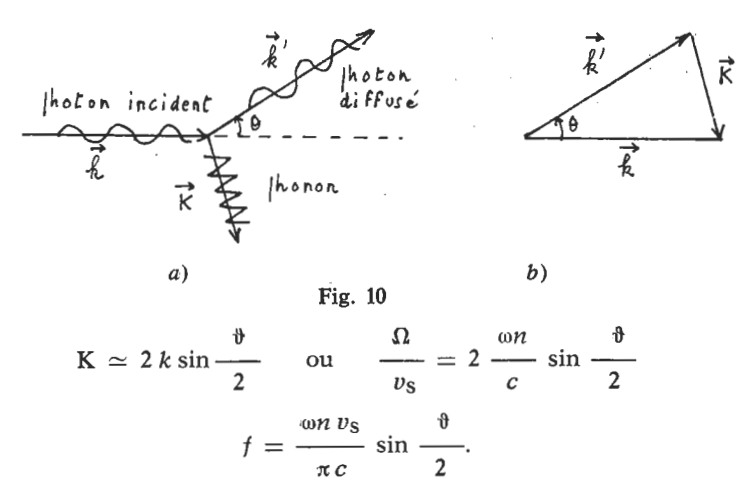
b) Par analogie avec le photon, le phonon a une énergie  $\mathscr E=hv=\hbar\Omega$  et une quantité de mouvement :  $\mathbf P=\hbar\mathbf K$ 

avec : 
$$\mathbf{K} = \frac{\Omega}{v_S} \mathbf{u}$$
.

c) Du fait de la conservation de l'énergie :  $\hbar\omega = \hbar\omega' + \hbar\Omega$  et de la conservation de la quantité de mouvement :

$$h\mathbf{k} = h\mathbf{k}' + h\mathbf{K}.$$

Or,  $\omega \simeq \omega' \gg \Omega$  donc  $k \simeq k'$ : le triangle des vecteurs d'onde est isocèle (fig. 10).



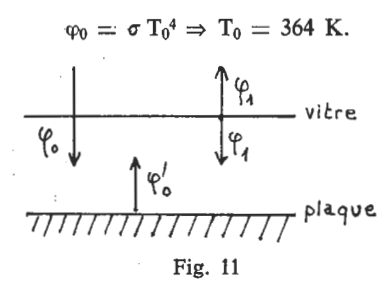
La fréquence maximale correspond à  $\vartheta = \pi$  soit  $f = 1.5 \times 10^{11} \text{ s}^{-1}$ .

## Ħ

#### CONVERSION THERMIQUE A BASSE TEMPÉRATURE

17° Etude de l'effet de serre.

 a) A l'équilibre, le flux énergétique est égal à la puissance reçue par unité de surface.



## b) Conditions d'équilibre :

— de la plaque noircie : 
$$\phi_0 + \sigma T_1{}^4 = \phi'_0 = \sigma \, T'_0{}^4$$

— de la vitre : 
$$2 \sigma T_1^{\dagger} = \phi'_0$$

d'où:

$$T_1 = T_0$$
 et  $T'_0 = 2^{1/4} T_0 \Rightarrow T'_0 = 433 K.$ 

c) Equilibre de la  $n^{\text{icme}}$  vitre :  $2 T_n^4 = T_{n-1}^4$  équilibre de la  $(n-1)^{\text{emc}}$  vitre :  $2 T_{n-1}^4 = T_n^4 + T_{n-2}^4$  par addition équilibre de la  $1^{\text{re}}$  vitre :  $2 T_1^4 = T_e^4 + T_e^4$   $(T_n^4 + T_1^4 = T_e^4 + T_0^4)$  équilibre de la plaque :  $T_1^4 + T_0^4 = T_e^4$ 

soit: 
$$T_n = T_0 = 364 \text{ K}.$$

Par additions successives des conditions d'équilibre des vitres, on trouve :

$$2 T_{n}^{4} = T_{n-1}^{4}$$

$$T_{n}^{4} + T_{n-1}^{4} = T_{n-2}^{4}$$

$$T_{n}^{4} + T_{2}^{4} = T_{1}^{4}$$

$$T_{n}^{4} + T_{1}^{4} = T_{e}^{4}$$

$$T_{e} = (n+1)^{1/4} T_{0}.$$

Ce calcul simplifié néglige l'absorption du verre qui croît avec le nombre de vitres, les réflexions sur les vitres, les réflexions multiples dans les vitres et les dépenditions par conduction et convection. Multiplier le nombre des vitres augmente les pertes; en pratique le maximum de l'effet de serre est atteint avec trois vitres [voir (5)].

18° Energie fournie par un dispositif solaire.

a) Le terme  $K(t_m-t_a)S$  proportionnel à la surface des capteurs et à la différence de température entre capteurs et milieu extérieur est un terme de fuites. K est le coefficient de pertes énergétiques du capteur.

b) 
$$\tau = 1$$
 heure.  $P\tau = \varrho CV (t'_e - t_e)$ , soit:  

$$t'_e = t_e + \frac{P\tau}{\varrho CV} = t_e + \frac{P \times 3600}{4,1810^3 \times 30010^{-3} \times 10^3}$$

d'où:

c)

$$t'_e = t_e + \frac{P}{348,3}.$$

7 8 10 12 14 15 16 11 13 17 154 428 678 873 996 1039 996 873 678 428 154 E Wm-2 9.7 11.2 12.8 11.2 9.7 5,0 5,0 6.6 8.1 8.1 20 20 20,5 21,6 23,2 25,1 27,1 28,9 31.4  $t_m$   $^{\circ}$  C 30 30,3 30,8 31,6 32,6 33,6 34,5 35.2 35,7 35,9 0 178.3 387.4 550.5 654.2 693.0 640.6 524.9 352.8 138.4 P(W)

au total 4120 Wh par jour.

d) Le débit du fluide caloporteur n'est pas constant car

le rapport 
$$\frac{P}{t_S - t_e}$$
 varie avec l'heure.

Conclusion : Parmi les nombreuses utilisations de l'énergie solaire, on peut citer la réalisation de hautes températures dans les fours solaires, l'alimentation électrique des balises et satellites, et dans l'avenir peut-être, la production d'électricité par des centrales solaires.

Annie Remande, (Lycée Louis-le-Grand, Paris) et les membres du Jury.

## BIBLIOGRAPHIE

- (1) Energie solaire. B.U.P. nº 586, juillet-août-septembre 1976.
- (2) Revue du Palais de la Découverte : Aujourd'hui, l'énergie solaire. Numéro spécial 26, février 1983.
- (3) W. PALZ: L'électricité solaire. Dunod, U.N.E.S.C.O., 1981.
- (4) F. Juster: Les cellules solaires. Editions techniques et scientifiques françaises.
- (5) G. RITOUX: Optimum de l'effet de serre. B.U.P. nº 642, mars 1982.



## C.A.P.E.S.

#### SESSION DE 1983

## COMPOSITION DE PHYSIQUE AVEC APPLICATIONS

(Durée : 5 heures)

Les candidats doivent exposer leurs connaissances avec concision, dans le cadre précis des questions posées, en veillant à équilibrer leurs développements.

Le problème, qui porte sur quelques aspects des lasers et de leurs applications, est divisé en quatre parties totalement indépendantes. Les différentes questions se situent dans un éventail ouvert de difficultés; il est déconseillé de négliger celles qui paraissent faciles.

Il sera tenu grand compte des qualités d'exposition et de soin.

#### Données numérioues :

Célérité de la lumière dans le vide :  $c = 3.00 \cdot 10^8$  m/s.

Constante de Planck :  $h = 6.63 \cdot 10^{-34}$  J. s.

Charge élémentaire :  $e = 1.60 \cdot 10^{-19}$  C.

Masse de l'électron :  $m=0.911 \cdot 10^{-30}$  kg = 0.511 MeV/c² (écrire qu'un électron a une masse m=0.511 MeV/c² équivaut à écrire que  $mc^2=0.511$  MeV).

Propriétés physiques de l'aluminium :

- Température de fusion : T<sub>1</sub> = 933 K.
- Température de vaporisation sous la pression atmosphérique normale : T<sub>v</sub> = 2 740 K.
- Chaleur latente de fusion : L<sub>f</sub> = 397 kJ/kg.
- Chaleur latente de vaporisation à 2740 K: L<sub>v</sub> = 10500 kJ/kg.
- Masse volumique du solide :  $\mu = 2699 \text{ kg/m}^3$ .
- Chaleur massique du solide :  $c_s = 900$  J. kg<sup>-1</sup>. K<sup>-1</sup>.
- Chaleur massique du liquide :  $c_1 = 1090$  J. kg<sup>-1</sup>. K<sup>-1</sup>.

On ne tient pas compte des variations de  $\mu$ ,  $c_s$  et  $c_l$  en fonction de la température.

## I. USINAGE PAR LASER

Nous étudions dans cette première partie du problème la découpe par vaporisation d'une couche conductrice mince utilisée en microélectronique.

La couche conductrice est une feuille d'aluminium horizontale, d'épaisseur constante E, déposée sur un substrat thermiquement isolant. Elle reçoit, perpendiculairement à sa surface, un faisceau laser homogène, de section d'aire s et de puissance moyenne P; sa température initiale, avant irradiation, est  $T_0$ . On opère sous la pression atmosphérique normale.

- I.1.1. Enoncer le premier principe de la thermodynamique.
- I.1.2. Un système thermodynamique subit une transformation à pression constante. Ecrire la relation liant la variation de son enthalpie à la quantité de chaleur qu'il échange avec le milieu extérieur.
- I.1.3. Définir la chaleur latente de changement d'état d'un corps pur.
- I.2. La feuille d'aluminium est immobile par rapport au faisceau laser qui irradie un volume cylindrique de section s et de hauteur E. On suppose que le rayonnement incident est totalement absorbé et que la température de la région irradiée est uniforme à chaque instant. On ne tient pas compte des échanges de chaleur entre la zone irradiée et les régions voisines.

Déterminer la durée minimale d'éclairement de la zone irradiée correspondant aux transformations thermodynamiques suivantes :

- I.2.1.  $t_1$  pour l'échauffement de l'aluminium de la température  $T_0$  à la température de fusion  $T_f$ .
  - I.2.2. t2 pour la fusion de l'aluminium.
- I.2.3.  $t_3$  pour la transformation de l'aluminium solide à la température  $T_0$  en aluminium, vapeur à la température  $T_{v}$ .
  - I.3. Application numérique.

On désire réaliser l'opération précédente (I.2.3.) en  $t_3=10^{-3}$  s. Quelle est la puissance P nécessaire ? Un laser hélium-néon de commercialisation courante conviendrait-il ?

Données : propriétés physiques de l'aluminium rappelées au début de l'énoncé :

$$E = 0.50 \text{ µm}$$
;  $s = 0.20 \text{ mm}^2$ ;  $T_0 = 290 \text{ K}$ .

- I.4. La feuille d'aluminium est animée d'un mouvement de translation uniforme perpendiculaire au faisceau laser.
- I.4.1. Déterminer  $v_m$ , la vitesse linéaire maximale de découpe de la feuille d'aluminium, que l'on peut obtenir par vaporisation du métal au moyen de ce laser. On exprimera  $v_m$  en fonction de  $t_3$  et de s, puis on en donnera la valeur numérique.
- I.4.2. La vitcsse maximale de découpe est en fait inférieure à la valeur  $v_m$  calculée précédemment. Quelle est, parmi les hypothèses simplificatrices énoncées en I.2., celle qui s'écarte le plus de la réalité?

## II. LÉVITATION OPTIQUE

Cette seconde partie du problème porte sur la suspension verticale d'une sphère dans un faisceau laser, technique utilisée dans certaines expériences de fusion thermonucléaire.

Le faisceau laser, cylindrique, homogène, d'axe vertical, de section s, de fréquence v et de puissance P est dirigé vers le haut sur une

particule sphérique dont le diamètre 2 r est très inférieur au diamètre du faisceau.

On suppose que la particule est en lévitation au sein du faisceau, c'est-à-dire en équilibre par rapport à un référentiel terrestre, sous l'action de son poids et de la force résultant de ses interactions avec le faisceau laser.

- II.1.1. Donner l'expression liant l'énergie E d'un photon à la fréquence du rayonnement électromagnétique associé.
- II.1.2. Exprimer la quantité de mouvement  $\mathbf{p}$  d'un photon en fonction du vecteur d'onde  $\mathbf{k}$  de l'onde associée. Ecrire la relation liant  $\mathbf{E}$  et p.
- II.2. Soit  $d^2n$  le nombre de photons traversant pendant une durée dt un élément de surface ds normal au faisceau incident. La quantité :

$$\Phi = \frac{d^2n}{ds. dt}$$

est appelée débit de fluence du faisceau de photons.

Montrer que:

$$\Phi = \frac{P}{h \, s \, v}$$

(h désigne la constante de Planck).

II.3. On suppose que la particule en lévitation est totalement absorbante.

On note c la célérité de la lumière et  $j_2$  (fig. 1) le vecteur unitaire définissant la direction et le sens de propagation des photons incidents.

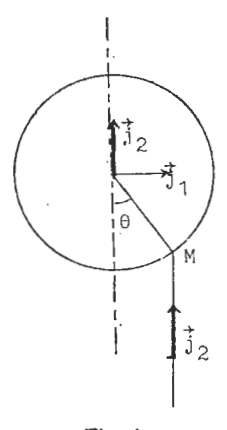


Fig. 1

II.3.1. Exprimer en fonction de r, s, P, c et  $j_2$  la force  $F_1$  exercée par le faisceau sur la particule en lévitation.

II.3.2. Soit  $\mu_a$  la masse volumique de la particule et  $g_0$  l'accélération de la pesanteur au lieu de l'expérience. Calculer la valeur  $P_1$  de la puissance P permettant d'obtenir la lévitation.

Application numérique :

$$r = 1.0 \text{ } \mu\text{m}$$
;  $\mu_a = 2.5 \cdot 10^3 \text{ kg. m}^{-3}$ ;  $g_0 = 9.80 \text{ m. s}^{-2}$ ;  $s = 0.20 \text{ mm}^2$ .

- II.3.3. Donner l'expression de l'énergie dE absorbée par la particule pendant une durée dt.
- II.3.4. On suppose qu'à chaque instant la température T de la particule est uniforme et que l'énergie absorbée est intégralement transformée en chaleur.
  - Calculer  $\frac{dT}{dt}$ , l'élévation de température que subit la particule par

unité de temps et exprimer le résultat en fonction de  $P_1$ , s, r,  $\mu_a$  et  $c_a$  qui désigne la chaleur massique de la substance absorbante, puis en fonction de  $g_0$ , c et  $c_a$ .

Calculer numériquement 
$$\frac{dT}{dt}$$
, sachant que  $c_a = 750$  J. kg<sup>-1</sup>. K<sup>-1</sup>.

Quelle conclusion tirez-vous de ce résultat?

- II.4. On suppose maintenant que la particule en lévitation est parfaitement réfléchissante.
- II.4.1. Un photon se déplaçant suivant la droite de vecteur unitaire  $\mathbf{j}_2$  se réfléchit sur la particule en un point M repéré par l'angle  $\vartheta$ . Déterminer, en fonction de  $\vartheta$ ,  $\nu$ , c, h,  $\mathbf{j}_1$  et  $\mathbf{j}_2$  (fig. 1), la variation de quantité de mouvement  $\Delta \mathbf{p}$  du photon.
- II.4.2. Déterminer  $\Delta \mathbf{P}$ , la variation de la quantité de mouvement totale des photons qui se réfléchissent sur la particule pendant une durée très brève  $\Delta t$ .

En déduire la force  $\mathbf{F}_2$  que le faisceau exerce sur la particule.

- II.4.3. Calculer la valeur  $P_2$  de la puissance P permettant d'obtenir la lévitation. Comparer  $P_2$  à  $P_1. \\$
- II.5. En réalité, la sphère n'est pas parfaitement réfléchissante; elle absorbe une fraction  $\tau$  des photons qui l'atteignent.
- II.5.1. En supposant que  $\tau$  est indépendant de  $\vartheta$ , déterminer la valeur  $P_3$  de la puissance P qui permet d'obtenir la lévitation de la sphère.
- II.5.2. La valeur minimale de τ est de l'ordre de 10-2. Dans ces conditions, l'expérience de lévitation est-elle réalisable? Pourquoi?
- II.5.3. Quel type de substances pourrait-on utiliser pour constituer la sphère afin que la lévitation dans le faisceau laser soit possible?

#### III. TRANSMISSIONS PAR FIBRES OPTIQUES

La troisième partie du problème aborde l'étude des fibres optiques, voies de transmission d'information, sous la forme de faisceau laser modulé par exemple. III.1.1. Rappeler les lois de Descartes de la réfraction.

Quand y a-t-il réflexion totale à la surface de séparation de deux milieux transparents, homogènes et isotropes ?

III.1.2. On considère un milieu transparent et isotrope formé de couches homogènes séparées par des dioptres plans parallèles.

Un rayon lumineux  $\mathcal{R}$  se propageant dans ce milieu fait avec Oy, la normale commune aux dioptres, un angle  $i_p$  dans la  $p^{ieme}$  couche dont l'indice est  $n_p$  (fig. 2).

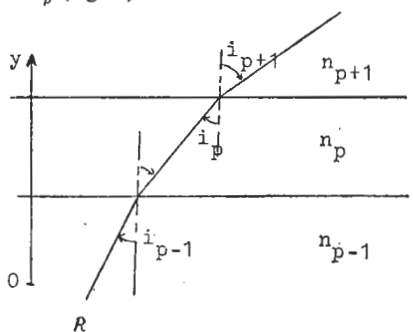


Fig. 2

Montrer que la trajectoire du rayon R est plane.

Ecrire la relation liant  $n_p$ ,  $n_{p+1}$ ,  $i_p$  et  $i_{p+1}$ .

En déduire un invariant de la propagation.

III.1.3. Un rayon lumineux  $\Re$  se propage dans un milieu transparent et isotrope dont l'indice n varie continûment; les surfaces équindices sont des plans d'équation  $y=c^{te}$ . On désigne par i l'angle que fait la tangente en M au rayon avec Oy (fig. 3).

Montrer que la quantité  $n \sin i$  est invariante le long du trajet du rayon lumineux.

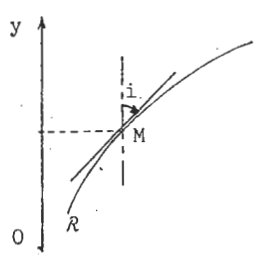


Fig. 3

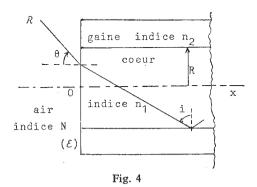
III.2. Une fibre optique cylindrique d'axe Ox est constituée d'un cœur transparent, homogène et isotrope, d'indice de réfraction  $n_1$ , entouré d'une gaine, elle aussi transparente, homogène et isotrope,

dont l'indice de réfraction  $n_2$  est inférieur à  $n_1$  (fig. 4). On désigne par R le rayon du cœur.

Soit un rayon lumineux R situé dans un plan contenant l'axe Ox.

III.2.1. Montrer que  $\Re$  ne peut se propager à l'intérieur de la fibre que si l'angle d'incidence i (fig. 4) est supérieur à un angle  $i_0$  que l'on déterminera en fonction de  $n_1$  et  $n_2$ .

Préciser les caractéristiques géométriques du rayon R.



III.2.2. La face d'entrée ( $\mathcal{E}$ ) de la fibre est plane et normale à l'axe Ox. On désigne par  $\vartheta$  l'angle que fait dans l'air le rayon  $\mathcal{R}$  avec la normale à ( $\mathcal{E}$ ).

Déterminer en fonction de  $n_1$ ,  $n_2$  et N l'angle  $\vartheta_0$  correspondant à  $i_0$ .

III.2.3. On donne:

N = 1,00; 
$$n_1 = 1,50$$
 et  $\frac{n_2}{n_1} = 0,99$ .

Calculer  $i_0$  et  $\vartheta_0$ .

III.3. On suppose à présent que l'indice du cœur varie continûment lorsque l'on s'éloigne de l'axe de la fibre; à la distance y de cet axe, l'indice a pour valeur :

$$n_1 = n_0 - ay^2$$
.

III.3.1. Sachant que  $n_1$  prend la valeur  $n_2$  pour y = R, déterminer a en fonction de  $n_0$ ,  $n_2$  et R.

III.3.2. Un rayon lumineux  $\Re$  passant par O se propage dans le plan Oxy. En M la tangente à  $\Re$  fait avec le vecteur unitaire  $\mathbf{u}_x$ 

un angle 
$$\alpha\left(-\frac{\pi}{2} < \alpha < \frac{\pi}{2}\right)$$
 (fig. 5).

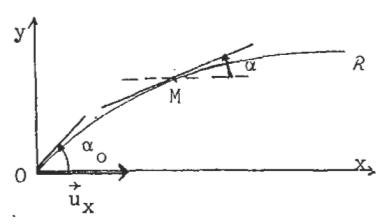


Fig. 5

Montrer, en utilisant le résultat de la question III.1.3., que l'on peut écrire :

$$n_1 \cdot \cos \alpha = A$$

où A est une constante que l'on exprimera en fonction de  $n_0$  et  $\alpha_0$ .

III.3.3. Montrer que le trajet du rayon  $\Re$  dans le cœur de la fibre est défini par l'équation différentielle :

$$\left(\frac{dy}{dx}\right)^2 = \left(\frac{n_1}{A}\right)^2 - 1.$$

III.3.4. Sachant que  $\frac{n_2}{n_0}$  = 0,99, montrer que l'on peut négliger

le terme  $\left(\frac{ay^2}{n_0}\right)^2$  dans l'équation précédente. En déduire une expres-

sion simplifiée de  $\left(\frac{dy}{dx}\right)^2$  en fonction de  $\alpha_0$ ,  $n_0$ , a et y.

III.3.5. Intégrer l'équation différentielle simplifiée et donner l'équation y = f(x) du trajet du rayon  $\Re$ . On exprimera y en fonction de x,  $\alpha_0$ , a et  $n_0$ , dans le cas où  $\alpha_0 > 0$ .

III.3.6. Montrer que  $\Re$  coupe l'axe Ox en des points régulièrement espacés; déterminer la distance d séparant deux points consécutifs.

III.3.7. On impose au rayon lumineux  $\Re$  de se propager dans le cœur de la fibre, dont le rayon est R. Quelle est alors la condition portant sur l'angle  $\alpha_0$ ?

Application numérique :

R = 25 
$$\mu$$
m;  $n_0 = 1.50$ ;  $\frac{n_2}{n_0} = 0.99$ .

Calculer la valeur maximale de l'angle  $\alpha_0$  définie par la condition précédente, ainsi que la valeur de d correspondante.

III.3.8. La grande directivité d'un laser permet de donner à l'angle  $\alpha_0$  des valeurs inférieures à  $10^{-3}$  rad. Quelle conclusion peut-on en tirer?

III.3.9. Quels sont les facteurs, passés ici sous silence, qui limitent, selon vous, la longueur des liaisons assurées par fibres optiques ?

#### IV. LASER A ÉLECTRONS LIBRES

Le principe du laser à électrons libres (1977) consiste à injecter des électrons fortement accélérés dans un champ magnétique périodique hélicoïdal; ils émettent alors un rayonnement dont on peut modifier continûment la longueur d'onde par action sur la tension accélératrice et dont la puissance peut être très élevée.

- IV.1.1. Rappeler les expressions relativistes de la quantité de mouvement, de l'énergie totale et de l'énergie cinétique d'une particule de masse m animée de la vitesse  $\mathbf{v}$ .
- IV.1.2. Rappeler les équations de Maxwell régissant les phénomènes électromagnétiques indépendants du temps. Donner les expressions intégrales des théorèmes de Gauss et d'Ampère.
- IV.2. Des électrons d'énergie cinétique initiale négligeable sont préaccélérés par une tension électrique U ct acquièrent en fin d'accélération une vitesse  $\mathbf{v}_1$ .
- IV.2.1. Exprimer l'énergie cinétique relativiste  $\mathbf{E}_{c\,1}$  des électrons en fin d'accélération.
- IV.2.2. Calculer le rapport  $\beta_1=\frac{v_1}{c}$  et exprimer le résultat en fonction de  $\zeta=\frac{eU}{mc^2}$ .
- IV.2.3. A partir de quelle valeur de  $\zeta$  le rapport  $\beta_1$  diffère-t-il de plus de 5% de la valeur calculée en utilisant l'expression non relativiste de l'énergie cinétique?
  - IV.2.4. Application numérique : calculer  $\beta_1$  lorsque U = 100 kV.
- IV.3. Après cette préaccélération, les électrons pénètrent dans un accélérateur linéaire. En première approximation, leur énergie cinétique y varie linéairement avec la distance parcourue d, distance mesurée dans le repère du laboratoire. On peut donc écrire que dans l'accélérateur linéaire :  $E_c = a_1 d + a_2$ .
- IV.3.1. L'accélérateur linéaire a pour longueur L ; l'énergie cinétique des électrons qui en sortent est  $\rm E_{\it c}$  2. Exprimer  $\it a_1$  et  $\it a_2$  en fonction de  $\rm E_{\it c}$  1,  $\rm E_{\it c}$  2 et L.
  - IV.3.2. Application numérique :

$$L = 4,00 \text{ m}$$
 et  $E_{c2} = 43 \text{ MeV}$ .

Calculer  $a_1$  en MeV.  $m^{-1}$  et  $a_2$  en MeV.

IV.3.3. A la sortie de l'accélérateur linéaire, la vitesse des élec-

trons est  $v_2$ . Donner l'expression de  $\beta_2 = \frac{v_2}{c}$  en fonction de l'énergie cinétique  $E_{c,2}$  et de l'énergie de repos  $E_0 = mc^2$  des électrons.

Calculer numériquement  $1-\beta_2$ . Quelle conclusion tirez-vous de ce résultat ?

IV.4. A la sortie de l'accélérateur linéaire, les électrons pénètrent, suivant un axe Ox, dans une région où règne un champ magnétique invariable dont les composantes dans le repère  $(\Re)$  du laboratoire sont :

$$x < 0 \begin{cases} B_x = 0 \\ B_y = 0 \\ B_z = 0 \end{cases}$$

$$\begin{cases} B_x = B_0 \cdot \sinh\left(\frac{2\pi z}{\lambda_0}\right) \cdot \cos\left(\frac{2\pi x}{\lambda_0}\right) - B_0 \cdot \sinh\left(\frac{2\pi x}{\lambda_0}\right) \cdot \sin\left(\frac{2\pi x}{\lambda_0}\right) \end{cases}$$

$$x > 0 \begin{cases} B_y = B_0 \cdot \cosh\left(\frac{2\pi y}{\lambda_0}\right) \cdot \cos\left(\frac{2\pi x}{\lambda_0}\right) \\ B_z = B_0 \cdot \cosh\left(\frac{2\pi z}{\lambda_0}\right) \cdot \sin\left(\frac{2\pi x}{\lambda_0}\right) \end{cases}$$

IV.4.1. Calculer div **B** et **rot B** dans la région où x > 0. Que pensez-vous du champ proposé?

IV.4.2. Montrer qu'au voisinage de l'axe Ox, les composantes de **B** sont données, en première approximation, par :

$$x < 0 \begin{cases} B_x = 0 \\ B_y = 0 \\ B_z = 0 \end{cases}$$

$$\begin{cases} x > 0 \quad B_y = B_0 \cdot \cos\left(\frac{2\pi x}{\lambda_0}\right) \\ B_z = B_0 \cdot \sin\left(\frac{2\pi x}{\lambda_0}\right) \end{cases}$$

Vérifier que ce champ magnétique est bien périodique et hélicoïdal.

IV.4.3. Donner l'expression de la force magnétique agissant sur un électron animé de la vitesse  $\mathbf{v}$  dans  $(\Re)$ .

Montrer que le module du vecteur-vitesse d'un électron reste égal à  $\mathbf{v}_2$ .

IV.5.1. Soit  $(\Re')$ , (O'x'y'z') un repère galiléen en translation rectiligne uniforme par rapport à  $(\Re)$ , (Oxyz).

On se place dans les conditions de la transformation spéciale de Lorentz: les axes O'x', O'y' et O'z' sont respectivement parallèles aux axes Ox, Oy, Oz; ( $\Re$ ') est en translation parallèlement à l'axe Ox et sa vitesse par rapport à ( $\Re$ ) est  $v_2$ . Les coordonnées spatio-temporelles d'un événement sont notées (x, y, z, t) dans ( $\Re$ ) et (x', y', z', t') dans ( $\Re$ '). Pour t=t'=0, O et O' coı̈ncident.

Un électron soumis au champ magnétique  $\mathbf{B}$  dans  $(\mathfrak{R})$  subit dans  $(\mathfrak{R}')$  l'action simultanée d'un champ électrique  $\mathbf{E}'$  et d'un champ magnétique  $\mathbf{B}'$  dont les composantes sont :

$$\left\{ \begin{array}{l} E'_{x'} = 0 \\ E'_{y'} = -\gamma_2 \, v_2 \, B_z \\ E'_{z'} = \gamma_2 \, v_2 \, B_y \end{array} \right. \left. \begin{array}{l} B'_{x'} = B_x \\ B'_{y'} = \gamma_2 \, B_y \\ B'_{z'} = \gamma_2 \, B_z \end{array} \right. \quad \text{avec} : \; \gamma_2 = \frac{1}{\sqrt{1 - \beta_2^2}}.$$

Déterminer dans (R') les composantes de la force électromagnétique F subie par un électron au voisinage de l'axe O' x'.

IV.5.2. Un électron se déplaçant sur l'axe 0x pénètre à l'instant t=0 dans la région définie par x>0. Donner une expression approchée des composantes de la force électromagnétique  $\mathbf{F}'$  subie par cet électron dans  $(\mathcal{R}')$  à l'instant t'. On tiendra compte du fait que les composantes du vecteur-vitesse d'un électron dans  $(\mathcal{R}')$  sont négligeables en regard de  $v_2$ , très voisin de c.

IV.5.3. Montrer que les électrons se déplacent dans un plan perpendiculaire à O'x' et que leur accélération est périodique. Déterminer la fréquence v' de cette accélération.

IV.5.4. Animés dans le repère  $(\mathfrak{R}')$  d'un mouvement dont l'accélération est périodique de fréquence v', les électrons émettent un rayonnement électromagnétique dont la fréquence dans  $(\mathfrak{R}')$  est v'.

Calculer la longueur d'onde du rayonnement émis selon l'axe O'x', dans le sens des x' croissants, et observé :

- Dans le repère  $(\Re')$ : longueur d'onde  $\lambda'$ :
- Dans le repère (R): longueur d'onde λ.

Application numérique : on donne  $\lambda_0=3,2$  cm; calculer  $\lambda$  et préciser à quel domaine du spectre électromagnétique appartient le rayonnement laser correspondant.

Montrer que l'on peut modifier la longueur d'onde  $\lambda$  en agissant sur l'énergie cinétique des électrons qui entrent dans le champ magnétique.

## SOLUTION

## PRÉLIMINAIRE.

Le problème de physique du C.A.P.E.S. de Sciences physiques de 1983 a abordé diverses applications des lasers : les unes très usitées : usinage par laser et transmissions par fibres optiques ; une autre peut-être moins courante : la lévitation optique. Enfin, dans une dernière partie est évoqué un sujet très moderne : le principe du laser à électrons libres.

Ce problème est d'une longueur raisonnable et d'une résolution facile. Si l'on considère la tendance générale à l'accroissement de la longueur des énoncés (voir le préambule du corrigé du problème précédent, B.U.P. supplément n° 651, février 1983), on ne peut que vivement apprécier ce retour à la raison. Nous avons aussi apprécié la variété des différents domaines abordés (thermodynamique, optique, relativité) et la progression de la difficulté dans chacune des parties. Les premières questions des différentes parties sont essentiellement des questions de cours.

Nous en avons profité pour faire quelques rappels de cours, quelquefois sous forme de remarques, en particulier à propos des lois de Descartes (début de la troisième partie) et des équations de Maxwell (début de la quatrième partie).

Un seul étonnement : l'énoncé semble ne pas avoir prévu le résultat apparemment surprenant  $P_2 = P_1$  de la question II.4.2). Il aurait peut-être fallu ajouter une question de compréhension générale à propos de ce résultat. Nous n'en dirons pas plus, tant nous avons été généralement satisfaits par ce problème, en particulier par l'exploit que constitue la dernière partie : arriver à faire comprendre de façon simple un phénomène de relativité qu'il n'était a priori pas évident d'adapter au niveau du C.A.P.E.S. Nous espérons retrouver ce genre de problèmes au cours des années à venir.

# I. USINAGE PAR LASER

I.1.1. A tout système thermodynamique est associée une fonction d'état U, appelée énergie interne. Au cours d'une transformation quelconque, la variation de U est égale à l'énergie totale reçue par le système, c'est-à-dire le travail mécanique W et la quantité de chaleur Q:

 $\Delta U = W + Q$ .

I.1.2. Au cours d'une transformation où la pression P du milieu extérieur reste constant et où le volume du système varie de  $\Delta V$ , l'expression du travail reçu par le système s'écrit :

$$W = -P\Delta V$$
.

La fonction d'état H, appelée enthalpie, étant définie à partir de U par :

$$H = U + PV$$

sa variation au cours d'une transformation à pression constante est donnée par :

$$\Delta H = \Delta U + P\Delta V = W + Q + P\Delta V.$$

Compte tenu de l'expression de W, on a :

$$\Delta H = O.$$

Dans une transformation à pression constante, la quantité de chaleur reçue par le système est égale à sa variation d'enthalpie.

- I.1.3. La chaleur latente de changement d'état d'un corps pur à la température T est la variation d'enthalpie de l'unité de masse de ce corps se transformant d'un état à l'autre sous pression constante à la température T.
- I.2.1.  $t_1$  s'obtient en écrivant que l'énergie provenant du laser :  $Pt_1$ , sert uniquement à élever la température de la masse  $\mu ES$  d'aluminium solide de  $T_0$  à  $T_f$  soit  $\mu ESC_S$  ( $T_f T_0$ ) :

$$t_1 = \frac{\mu ESC_S}{P} (T_f - T_0)$$

I.2.2. Il convient d'ajouter l'énergie nécessaire pour transformer la masse  $\mu$ ES d'aluminium solide en aluminium liquide à la température  $T_t$ :  $\mu$ ESL $_t$ :

$$t_2 = t_1 + \frac{\mu ES}{P} L_f$$

I.2.2. Aux deux termes précédents il faut encore ajouter les énergies nécessaires pour élever la température du liquide de  $T_f$  à  $T_v$ :  $\mu ESC_l(T_v - T_f)$  et pour transformer l'aluminium liquide en aluminium vapeur à la température  $T_v = \mu ESL_v$ :

$$t_{3} = \frac{\mu ES}{P} [C_{S}(T_{f} - T_{0}) + L_{f} + C_{I}(T_{v} - T_{f}) + L_{v}]$$

# I.3. Application numérique.

On obtient la relation  $t_3 = 3.63 \cdot 10^{-3}/P$  où  $t_3$  est exprimé en secondes si P est exprimé en watts.

Pour  $t_3 = 10^{-3}$  s, la puissance du laser doit être P = 3,63 W.

On ne peut pas utiliser un laser hélium-néon de commercialisation courante dont la puissance typique n'excède pas quelques dizaines de milliwatts.

Il vaut mieux utiliser un laser à argon ionisé dont la puissance typique est de l'ordre de 1 à 5 watts. Mais, dans sa réalisation industrielle, l'usinage laser fait plutôt appel à des lasers à cristal solide, tel le laser à rubis, qui ont des puissances supérieures de plusieurs ordres de grandeur. Dans ce cas, il s'agit de lasers « pulsés » où toute la puissance n'est émise que pendant de courts instants répétitifs.

I.4.1. Pendant le temps  $t_3$ , le faisceau laser ne doit pas se déplacer sur une longueur plus grande que son diamètre  $d=2\sqrt{S/\pi}$ , d'où :

$$v_m = \frac{2}{t_3} \sqrt{\frac{S}{\pi}}$$

Application numérique :  $v_m = 0.505 \text{ m. s}^{-1}$ .

I.4.2. Les deux principales causes de limitation de la vitesse effective de découpe sont les pertes d'énergie par réflexion du rayon laser sur la surface du matériau et par transfert de chaleur entre la zone irradiée et les zones avoisinantes. S'il s'agit d'un métal, à faible taux d'absorption, comme l'aluminium, on pourrait penser que la première cause d'erreur soit la plus importante. Cependant, la répartition entre absorption et réflexion dépend en général de la longueur d'onde et la réponse précise dépend du type de laser utilisé. D'autre part, un traitement de surface approprié peut diminuer la réflectivité.

# II. LÉVITATION OPTIQUE

II.1.1. L'énergie du photon associée à une onde électromagnétique de fréquence  $\nu = \omega/(2\pi)$  est donnée par :

$$E = hv = h\omega$$
.

II.1.2. Sa quantité de mouvement **p** est liée au vecteur d'onde **k** de l'onde associée par :

$$p = h k$$

A la relation de dispersion des ondes électromagnétiques  $\omega = ck$  est associée la relation entre E et p:

$$E = pc$$

II.2. Le nombre dn de photons transportés par le faisceau pendant dt est donné par :

$$dn = \Phi S dt$$
.

Chaque photon transportant l'énergie hv, l'énergie transportée pendant dt est :

$$dE = \Phi Shv dt$$

d'où la puissance du faisceau :

$$P = \frac{dE}{dt} = \Phi Shv$$

donc:

$$\Phi = \frac{P}{Shv}.$$

II.3.1. Pendant  $\delta t$ ,  $\delta n = \pi r^2 \Phi \delta t$  photons sont absorbés par la particule. Chaque photon cède sa quantité de mouve-

ment  $\frac{hv}{c}$  j<sub>2</sub>. La variation de la quantité de mouvement totale

des photons absorbés pendant  $\delta t$  vaut donc :

$$\Delta \mathbf{P} = -\frac{\pi r^2 h v}{c} \Phi \delta t \, \mathbf{j}_2.$$

Il s'en suit que la quantité de mouvement acquise par la particule est  $-\Delta P$ , d'où la force verticale vers le haut  $F_1 = (-\Delta P)/\delta t$  transmise à la particule :

$$\mathbf{F}_1 = \frac{\pi r^2 h v}{c} \Phi \mathbf{j}_2$$

soit encore, compte tenu de l'expression de  $\Phi$ :

$$\mathbf{F}_1 = \frac{\pi r^2}{\mathbf{S}c} \mathbf{P} \mathbf{j}_2$$

II.3.2. Pour que la lévitation soit possible, il faut que la force  $\mathbf{F}_1$  s'oppose exactement à la force de pesanteur :

$$\mathbf{F}_g = -\frac{4}{3} \pi r^2 \mu_a g_o \mathbf{j}_2.$$

La puissance P<sub>1</sub> permettant d'obtenir la lévitation vaut donc :

$$P_1 = \frac{4}{3} r \operatorname{Sc} \mu_a g_o.$$

Application numérique :  $P_1 = 1.96$  W.

II.3.3. L'énergie dE absorbée pendant dt vaut hv dn où  $dn = \pi r^2 \Phi dt$  et le nombre de photons absorbés.

$$dE = \pi r^2 \Phi h v dt = \frac{\pi r^2}{S} P_1 dt.$$

II.3.4. Cette énergie sert à élever la température de la particule de dT :

$$dE = \frac{4}{3} \pi r^3 \mu_a C_a dT$$

d'où:

$$\frac{dT}{dt} = \frac{3}{4} \frac{P_1}{r\mu_a SC_a}.$$

En utilisant l'expression de P<sub>1</sub>, il vient :

$$\frac{d\mathbf{T}}{dt} = \frac{cg_o}{\mathbf{C}_a}.$$

Il est intéressant de remarquer que, une fois le laser choisi pour assurer la lévitation,  $\frac{d\mathbf{T}}{dt}$  ne dépend plus des caractéristiques du laser.

Application numérique : 
$$\frac{dT}{dt} = 3.92 \cdot 10^6 \text{ K. s}^{-1}$$
.

Cette valeur est énorme. L'expérience de lévitation est impossible à réaliser avec une particule parfaitement absorbante. En moins d'une milliseconde, la particule se vaporiserait!

# II.4.1.

En désignant par  $\mathbf{j}'_2$  un vecteur unitaire définissant la direction du photon réfléchi, la variation de la quantité de mouvement du photon vaut :

$$\Delta \mathbf{p} = \frac{hv}{c} (\mathbf{j}_2 - \mathbf{j'}_2).$$

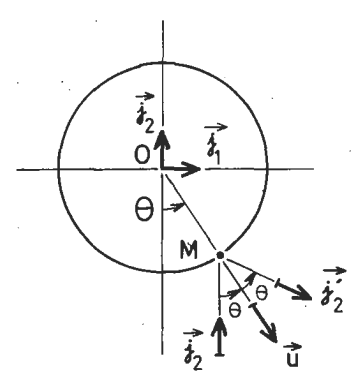


Fig. 1

En remarquant que  $j_2 - j'_2 = 2$  u cos  $\vartheta$ , où u est un vecteur unitaire définissant la direction de **OM**, on obtient :

$$\Delta \mathbf{p} = \frac{2 h v}{c} \cos \vartheta \mathbf{u}$$

soit, compte tenu de  $\mathbf{u} = -\mathbf{j}_2 \cos \vartheta + \mathbf{j}_1 \sin \vartheta$ :

$$\Delta \mathbf{p} = \frac{2 \dot{h} v}{c} \left[ -\cos^2 \vartheta \, \mathbf{j}_2 + \sin \vartheta \cos \vartheta \, \mathbf{j}_1 \right].$$

II.4.2. Le nombre de photons arrivant pendant  $\delta t$  à l'intérieur d'une section droite du faisceau comprise entre les rayons  $\varrho$  et  $\varrho+d\varrho$ , d'aire  $dS=2\,\pi\,\varrho\,d\varrho$ , vaut :

$$dn = \Phi 2 \pi o do \delta t$$

Au rayon  $\varrho$  correspond l'angle  $\vartheta$  tel que  $\varrho = r \sin \vartheta$ , donc :

$$dn = \Phi 2 \pi r^2 \sin \theta \cos \theta d\theta \delta t$$

En considérant la contribution de tous ces photons, on constate que la composante horizontale de la variation de la quantité de mouvement s'annule (les contributions diamétralement opposées s'annulent exactement). La variation de quantité de mouvement est donc purement verticale et vaut :

$$d\Delta P = -\frac{4 \pi r^2 h v}{c} \Phi \sin \vartheta \cos^3 \vartheta \ d\vartheta \ \delta t \ \mathbf{j}_2.$$

La variation de la quantité de mouvement totale  $\Delta P$  s'obtient

en intégrant de  $\theta = 0$  à  $\theta = \frac{\pi}{2}$ . En remarquant que :

$$\int_0^{\pi/2} \sin \vartheta \, \cos^3 \vartheta \, d\vartheta = -\frac{1}{4} \left| \cos^4 \vartheta \right|_0^{\pi/2} = +\frac{1}{4}$$

il vient :

$$\Delta \mathbf{P} = \frac{\pi r^2 h v}{2} \Phi \delta t \mathbf{j}_2$$

d'où:

$$\mathbf{F}_2 = \frac{\Delta \mathbf{P}}{dt}$$

soit:

$$\mathbf{F}_2 = \frac{\pi r^2 h v}{c} \Phi \mathbf{j}_2.$$

On constate que  $\mathbf{F}_2 = \mathbf{F}_1$ . Ce résultat apparemment surprenant est dû au fait que la quantité de mouvement des photons réfléchis est globalement nulle : la quantité de mouvement des photons réfléchis vers l'arrière compense celle des photons réfléchis vers l'avant.

II.4.3. On en déduit donc  $P_2 = P_1$ .

II.5.1. De même,  $P_3=P_2=P_1$  car puisque  $\tau$  est indépendant de  $\vartheta$ , le bilan sur la quantité de mouvement des photons réfléchis reste rigoureusement nul.

## II.5.2. Cette fois-ci:

$$\frac{d\mathbf{T}}{dt} = \frac{\mathbf{\tau} \ cg_o}{\mathbf{C}_a}.$$

En reprenant la valeur  $C_a = 750$  J.  $kg^{-1}$ ,  $m^{-1}$  proposée en II.3,4., on obtient numériquement :

$$\frac{dT}{dt}$$
 = 39 200 K. s<sup>-1</sup>.

Pour fixer les idées, l'élévation de température est de 39,2 degrés en une milliseconde. C'est une valeur encore très forte : on ne peut espérer observer la lévitation que pendant un temps très bref (quelques centièmes de seconde) avant que la particule ne fonde.

II.5.3. La principale limitation venant de cette élévation de température, il faut utiliser une substance très réfléchissante (donc de préférence une substance métallique), de forte chaleur

spécifique et de température de fusion élevée. D'autre part, il vaut mieux aussi que la particule soit de petite taille et de faible masse volumique pour éviter d'avoir à utiliser un laser de trop forte puissance.

# III. TRANSMISSIONS PAR FIBRES OPTIQUES

III.1.1. Avant d'énoncer les lois de Descartes pour la réfraction, il est utile de rappeler quelques définitions. Considérons un rayon lumineux  $A_1M$  rencontrant en M la surface de séparation entre le milieu où il se propage, appelé milieu (1), et un autre milieu, appelé milieu (2), supposés tous deux homogènes et isotropes. Le rayon réfléchi se propage dans le milieu (1) alors que le rayon réfracté  $MA_2$  se propage dans le milieu (2). Soit  $N_1MN_2$  la normale en M à la surface de séparation. On appelle « plan d'incidence » le plan contenant  $A_1M$  et  $MN_1$ .

Par définition, les angles d'incidence et de réfraction,  $i_1$  et  $i_2$ , sont les angles aigus dont il faut faire tourner  $MN_1$  et  $MN_2$  autour de M dans le plan d'incidence pour les amener respectivement en  $MA_1$  et  $MA_2$ .

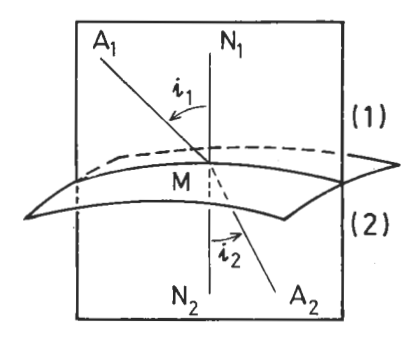


Fig. 2

La première loi de Descartes pour la réfraction stipule que le rayon réfracté MA<sub>2</sub> se situe dans le plan d'incidence. L'autre loi précise qu'il existe, pour chaque radiation monochromatique, un rapport constant entre les sinus des angles d'incidence et de réfraction :

$$\frac{\sin i_1}{\sin i_2} = n_{2, 1}.$$

Le rapport  $n_{2,1}$  qui est indépendant de  $i_1$  et qui ne dépend, pour chaque radiation, que de la nature des deux milieux, est appelé indice relatif du milieu (2) par rapport au milieu (1). On sait qu'en introduisant les indices absolus  $n_1$  et  $n_2$  c'est-à-dire les

indices relatifs des deux milieux par rapport à un milieu référence, le vide, la loi prend la forme symétrique :

$$n_1 \sin i_1 = n_2 \sin i_2.$$

Il y a réflexion totale (disparition du rayon réfracté) lorsque la lumière passe d'un milieu (1) à un milieu (2) moins réfringent ( $n_2 < n_1$ ) et lorsque l'angle d'incidence  $i_1$  est supérieur à un angle limite  $i_0$  tel que :

$$\sin i_0 = \frac{n_2}{n_1}.$$

ce qui assure  $i_2 = \pi/2$ .

III.1.2.

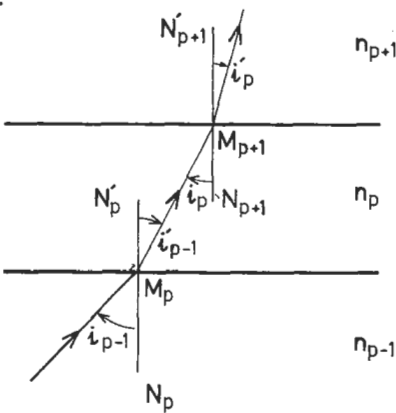


Fig. 3

Considérons deux réfractions successives en  $M_p$  et  $M_{p+1}$ . Puisque, par hypothèse, les dioptres successifs sont parallèles, les normales  $N_p N'_p$  et  $N_{p+1} N'_{p+1}$  en  $M_p$  et  $M_{p+1}$  sont parallèles. La normale  $N_{p+1} N'_{p+1}$  parallèle menée d'un point d'un plan à une droite du plan, fait donc partie du plan  $N'_p M_p M_{p+1}$ , plan d'incidence pour la première réfraction. Le plan d'incidence pour la deuxième réfraction  $M_p M_{p+1} N_{p+1}$  est donc superposé au premier. Il y a donc un seul plan d'incidence commun à toutes les réfractions et la trajectoire du rayon constituée de segments de droites, est entièrement contenue dans ce plan.

Si l'on remarque que l'angle de réfraction  $i'_p$  est égal à l'angle d'incidence de la réfraction suivante  $i_{p+1}$ , on constate que la quantité  $n_p \sin i_p = n_{p+1} \sin i_{p+1}$  se conserve à chaque réfraction.

III.1.3. Le milieu inhomogène d'indice variable peut être considéré comme la limite du système précédent si l'épaisseur

des couches successives tendait vers zéro. Dans cette limite, l'angle d'incidence se confond avec l'angle que fait en un point de la trajectoire la tangente à cette trajectoire avec la verticale. La quantité  $n \sin i$  est donc invariante tout au long de la trajectoire.

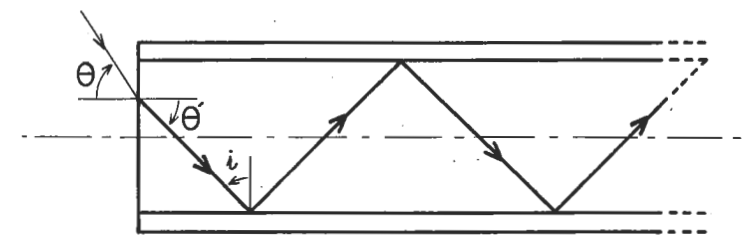


Fig. 4

III.2.1. Puisque le rayon intersecte l'axe Ox, la trajectoire reste dans un plan diamétral; c'est une ligne brisée, le rayon lumineux se réfléchissant successivement sur les dioptres diamétralement opposés limitant le cœur de la fibre. Pour qu'il n'y ait pas de perte d'énergie lumineuse par réfraction dans la gaine, il faut être dans les conditions de réflexion totale. Il faut donc  $i < i_0$  avec :

$$\sin i_0 = \frac{n_2}{n_1}.$$

III.2.2. La condition de réfraction sur la face intérieure

s'écrit :

$$N \sin \vartheta = n_1 \sin \vartheta'$$

avec:

$$\vartheta' = i - \pi/2$$

donc:

$$\sin\vartheta = -\frac{n_1}{N}\cos i.$$

Pour  $i = i_0$ , la valeur absolue de  $\vartheta$  vaut  $\vartheta_0$  tel que :

$$\sin\vartheta_0 = \frac{n_1}{N} \cos i_0$$

soit:

$$\sin\vartheta_0 = \frac{\sqrt{n_1^2 - n_2^2}}{N}.$$

III.2.3.

$$i_0 = 81^{\circ}53'$$
,  $\sin \vartheta_0 = 0.211$ ,  $\vartheta_0 = 12^{\circ}13'$ .

III.3.1. Ecrivant que  $n_1 = n_2$  pour y = R, il vient :

$$a = \frac{n_0 - n_2}{R^2}.$$

III.3.2. Si l'on remarque que  $\alpha$  est le complémentaire de l'angle d'incidence, la quantité invariante est  $n_1\cos\alpha$  :

$$n_1 \cos \alpha = A$$
.

Or, pour  $\alpha = \alpha_0$ ,  $n_1 = n_0$ , donc :

$$A = n_0 \cos \alpha_0$$
.

III.3.3. La pente  $\frac{dy}{dx}$  de la trajectoire en M est égale à tg  $\alpha$ , donc :

$$\left(\frac{dy}{dx}\right)^2 = tg^2\alpha = \frac{1}{\cos^2\alpha} - 1 = \left(\frac{n_1}{A}\right)^2 - 1.$$

III.3.4. Cette équation s'écrit encore :

$$\left(\frac{dy}{dx}\right)^2 = \frac{1}{\cos^2 \alpha_0} \left(1 - \frac{ay^2}{n_0}\right)^2 - 1.$$

Si l'on remarque que  $\frac{ay^2}{n_0} = \left(1 - \frac{n_2}{n_0}\right) \left(\frac{y}{R}\right)^2$  reste infé-

rieur à 1 %, on peut raisonnablement négliger le terme en  $\left(\frac{ay^2}{n_0}\right)^2$  qui reste inférieur à 10-4. On a alors :

$$\left(\frac{dy}{dx}\right)^2 = \frac{1}{\cos^2 \alpha_0} - 1 - \frac{2 ay^2}{n_0 \cos^2 \alpha_0}$$

soit encore:

$$\boxed{\left(\frac{dy}{dx}\right)^2 = \operatorname{tg}^2 \alpha_0 \left(1 - \frac{2 a}{n_0 \sin^2 \alpha_0} y^2\right)}$$

III.3.5. Pour  $\alpha_0 > 0$ , on a  $\frac{dy}{dx} > 0$  au départ et on extraiera donc la racine carrée en choisissant :

$$\frac{dy}{dx} = + \operatorname{tg} \alpha_0 \sqrt{1 - \frac{2 a}{n_0 \sin^2 \alpha_0}} y^2.$$

Posons:

$$y = \sqrt{\frac{n_0}{2a}} \sin \alpha_0 \sin u,$$
il vient : 
$$\frac{du}{dx} = \frac{1}{\cos \alpha_0} \sqrt{\frac{2a}{n_0}}, \text{ soit :}$$

$$u = \sqrt{\frac{2a}{n_0}} \frac{x}{\cos \alpha_0} + c^{\text{tc}}.$$

Puisque, pour x = 0, y = 0, donc u = 0, on a  $c^{te} = 0$ , d'où :

$$y = \sqrt{\frac{n_0}{2 a}} \sin \alpha_0 \sin \left( \sqrt{\frac{2 a}{n_0}} \frac{x}{\cos \alpha_0} \right)$$

On peut remarquer que l'on retrouve bien la pente à l'origine  $tg \alpha_0$ , en remplaçant le deuxième sinus par son argument pour x faible.

III.3.6. La trajectoire est une sinusoïde qui coupe l'axe chaque fois que l'argument du deuxième sinus est un nombre entier de fois  $\pi$ . La distance séparant deux points consécutifs est :

$$d = \pi \cos \alpha_0 \sqrt{\frac{n_0}{2 a}}.$$

Soit, compte tenu de l'expression de a :

$$\frac{d}{R} = \frac{\pi}{\sqrt{2}} \frac{\cos \alpha_0}{\sqrt{1 - \frac{n_2}{n_0}}}.$$

III.3.7. Il faut que la valeur absolue maximale de y:

$$y_m = \sqrt{\frac{n_0}{2 a}} \sin \alpha_0$$

reste inférieure au rayon du cœur R :

$$\sqrt{\frac{n_0}{2 a}} \sin \alpha_0 \leq R.$$

Soit encore, compte tenu de l'expression de a :

$$\sin \alpha_0 \leq \sqrt{2} \sqrt{1 - \frac{n_2}{n_0}}.$$

Application numérique :  $\sin \alpha_0 < 0.14$  soit  $\alpha_0 < 8^{\circ}8'$  :

$$d = \frac{\pi R}{\operatorname{tg} \alpha_0}$$
 donc  $d = 0.55$  mm.

III.3.8. En utilisant un laser, on peut gagner un facteur cent par rapport à l'application numérique précédente et donc envisager l'utilisation de fibres optiques dont le rayon peut être inférieur au micron. On peut aussi envisager le transfert d'un très grand nombre d'informations en parallèle dans un diamètre réduit. De plus, on gagne sur la longueur de propagation qui reste du même ordre que celle de la fibre.

III.3.9. Comme facteurs limitant la longueur de liaisons assurées par fibres optiques, citons :

- l'absorption qui est ici inévitable, vu les longueurs sur lesquelles l'onde se propage. Il faut donc choisir soigneusement le matériau constituant la fibre et la longueur d'onde du laser pour avoir le moindre coefficient d'absorption.
- la diffusion qui peut être, soit une diffusion « macroscopique » due à des inhomogénéités d'indice qui provoquent des changements de trajectoire du rayon, soit des diffusions microscopiques, diffusion Raylegh, Raman, inévitables.

Dans les deux cas, la technologie des fibres devient cruciale : il s'agit d'éliminer au maximum les impuretés et les inhomogénéités. Il faut être sûr de la stabilité et de la fiabilité de la fabrication.

Enfin, signalons qu'il existe un autre problème au niveau des jonctions entre les fibres, qui donne lieu à une technologie très particulière.

## IV. LASER A ÉLECTRONS LIBRES

IV.1.1. Il est commode de poser 
$$\beta = v/c$$
 et  $\gamma = \frac{1}{\sqrt{1-\beta^2}}$ .

La quantité de mouvement s'écrit :

$$\mathbf{p} = \gamma m \mathbf{v}$$
.

L'énergie totale s'écrit : 
$$E = \sqrt{m^2 c^4 + p^2 c^2}$$

soit encore :  $E = \gamma mc^2$ .

L'énergie cinétique :

$$E_c = E - mc^2 = (\gamma - 1) mc^2.$$

IV.1.2. Les équations de Maxwell régissant les phénomènes électromagnétiques indépendants du temps, s'écrivent dans le vide :

$$rot E = 0 (1)$$

$$div \mathbf{B} = 0 \tag{2}$$

$$\operatorname{div} \mathbf{E} = \frac{\varrho}{-\varepsilon_0} \tag{3}$$

$$\mathbf{rot} \; \mathbf{B} \; = \; \mu_0 \mathbf{j} \tag{4}$$

Dans ces équations,  ${\bf E}$  et  ${\bf B}$  sont les champs électrique et magnétique.  $\varrho$  et  ${\bf j}$  sont la densité volumique de charges électriques et le vecteur densité de courant respectivement.  $\epsilon_0$  et  $\mu_0$  sont des constantes :

$$4 \pi \epsilon_0 = \frac{1}{910^9}, \frac{\mu_0}{4 \pi} = 10^{-7}$$

dans le système MKSA

- traduit le fait que E dérive d'un potentiel scalaire : la circulation de E le long d'un trajet fermé est nulle;
- (2) traduit le fait que **B** dérive d'un potentiel vecteur : le flux de **B** à travers une surface fermée est nul :
- (3) est l'expression locale du théorème de Gauss qui, sous forme intégrale s'écrit :

$$\int \int \mathbf{E} \cdot d\mathbf{S} = \frac{1}{\epsilon_0} \Sigma q_i$$

c'est-à-dire le glux E à travers une surface fermée S est égal à la somme des charges intérieures à cette surface divisée par  $\epsilon_0$ ;

(4) est l'expression locale du théorème d'Ampère qui, sous forme intégrale s'écrit :

$$\int_{C} \mathbf{B} \cdot d\mathbf{I} = \mu_0 \Sigma \mathbf{I}_i$$

c'est-à-dire la circulation de **B** le long d'une courbe fermée C est égale à la somme des courants entourés multipliés par  $\mu_0$ .

REMARQUE 1 : dans le cas général d'un milieu diélectrique et/ou magnétique, les deux dernières équations de Maxwell peuvent être remplacées par :

$$div \mathbf{D} = \varrho$$

$$\mathbf{rot} \mathbf{H} = \mathbf{i}$$

où  $\varrho$  et j sont, respectivement, la densité volumique de charges et le vecteur densité de courants *macroscopiques*. L'existence d'une polarisation électrique P et/ou d'une aimantation magnétique M dans le milieu se traduit par une « relation de milieu » liant les nouveaux vecteurs D et M à E et M respectivement. Dans le cas de milieux linéaires, homogènes et isotropes, on a simplement :

$$\mathbf{D} = \epsilon_0 \, \mathbf{E} + \mathbf{P} = \epsilon_0 \, \epsilon_r \, \mathbf{E}$$
$$\mathbf{B} = \mu_0 \, (\mathbf{H} + \mathbf{M}) = \mu_0 \, \mu_r \, \mathbf{H}$$

où  $\varepsilon_r$  et  $\mu_r$  sont respectivement la constante diélectrique relative et la permittivité magnétique relative, caractéristique du milieu.

REMARQUE 2 : dans le cas de phénomènes dépendant du temps dans le vide, l'équation (1) est remplacée par l'équation de Maxwell-Faraday :

$$rot E = -\frac{\partial B}{\partial t}$$

qui traduit l'existence du phénomène d'induction magnétique dans un circuit électrique placé dans un champ magnétique dépendant du temps.

De même, l'équation (4) est remplacée par l'équation de Maxwell-Ampère :

$$\text{rot } \textbf{B} \ = \ \mu_0 \, \textbf{j} \, + \, \epsilon_0 \, \mu_0 \, \, \frac{\partial \textbf{E}}{\partial \it{t}}.$$

Cette équation provient du fait que pour assurer la conservation de la charge électrique dans les phénomènes dépendant du temps :

$$\operatorname{div}\mathbf{j}+\frac{\partial\varrho}{\partial t}=0,$$

il faut introduire un « courant de déplacement »  $\frac{\partial \mathbf{D}}{\partial t} = \varepsilon_0 \frac{\partial \mathbf{E}}{\partial t}$  dans le vide qui s'ajoute au courant macroscopique i.

IV.2.1. Avant accélération, l'énergie cinétique est négligeable et l'énergie potentielle est nulle par convention, après accélération l'énergie cinétique vaut  $E_{\rm c1}$  et l'énergie potentielle

vaut — eU. En écrivant la conservation de l'énergie mécanique totale (énergie potentielle + énergie cinétique), on obtient donc :

$$0 = -eU + E_{c1},$$

soit:

$$E_{c_1} = eU$$

IV.2.2. Compte tenu de l'expression de  $E_{c1}$  en fonction de

$$v_1$$
, il vient (en posant  $\beta_1 = v_1/c$ ,  $\gamma_1 = \frac{1}{\sqrt{1-\beta_1^2}}$ ):

 $mc^2 (\gamma_1 - 1) = eU$ 

d'où:

$$\gamma_1 = 1 + \zeta$$

et:

$$1-\beta_1^2 = \frac{1}{(1+\xi)^2}$$

ce qui donne :

$$\beta_1 = \frac{\sqrt{\zeta(2+\zeta)}}{1+\zeta}.$$

IV.2.3. L'expression classique  $\frac{1}{2} m v_1^2_{cl} = eU$  donnerait :

$$\beta_{1 cl} = \sqrt{2 \zeta}$$
.

On voit que:

$$\beta_1 = \beta_{1 cl} \frac{\sqrt{1 + \xi/2}}{1 + \xi}.$$

Pour ζ faible, on a donc:

$$\beta_1 \sim \beta_{1,cl} (1 - 3 \zeta/4)$$

$$\frac{\beta_{1 cl} - \beta_1}{\beta_{1 cl}} > 5 \% \text{ pour } \xi > 0,066.$$

IV.2.4. Application numérique.

Pour U=100~kV, on trouve  $\zeta=0.195$ . On est donc bien dans le domaine relativiste. On trouve  $\beta_2=0.547$ , la vitesse  $v_2$  vaut donc plus de la moitié de la vitesse de la lumière.

IV.3.1. En écrivant  $\mathbf{E}_c=\mathbf{E}_{c_1}$  pour d=0 et  $\mathbf{E}_c=\mathbf{E}_{c_2}$  pour  $d=\mathbf{L}$ , il vient :

$$a_1 = \frac{\mathbf{E}_{c_2} - \mathbf{E}_{c_1}}{\mathbf{L}}$$

$$a_2 = \mathbf{E}_{c_1}.$$

IV.3.2. Application numérique : pour  $E_{c_1}=10^5$  eV et  $E_{c_2}=4,3\cdot 10^6$  eV, on a :  $a_1=0,1075$  MeV.  $m^{-1}$  et  $a_2=0,1$  MeV.

IV.3.3. De l'expression de l'énergie cinétique :

$$E_{cv} = E_0(\gamma_2 - 1)$$

on tire:

$$\sqrt{1-\beta_2^2} = \frac{E_0}{E_0 + E_{G2}}$$

d'où:

$$\beta_2 \, = \, \frac{\sqrt{1 + 2 \, E_0 / E_{\rm c_2}}}{1 + E_0 / E_{\rm c_2}}$$

pour  $E_0=0.511$  MeV et  $E_{c_2}=43$  MeV le rapport  $\frac{E_0}{E_{c_2}}$  vaut

1,19 %, il est alors légitime de faire un développement limité :

$$\beta_2 \, \sim \, \frac{1 \, + \, E_0/E_{\rm c_2} - 1/2 \, \, E^2_0/E^2_{\rm c_2}}{1 \, + \, E_0/E_{\rm c_2}} \, \cong \, 1 - \frac{1}{2} \, \left(\frac{E_0}{E_{\rm c_2}}\right)^2 \, + \, ...$$

On a, numériquement :  $1 - \beta_2 \approx 1.4 \cdot 10^{-4}$ .

Les électrons sont « ultrarelativistes », leur vitesse est pratiquement égale à la vitesse de la lumière.

### IV.4.1. On calcule:

$$\frac{\partial B_{x}}{\partial x} = -\frac{2\pi B_{0}}{\lambda_{0}} \left( \sinh \frac{2\pi z}{\lambda_{0}} \sin \frac{2\pi x}{\lambda_{0}} + \sinh \frac{2\pi y}{\lambda_{0}} \cos \frac{2\pi x}{\lambda_{0}} \right)$$

$$\frac{\partial B_{y}}{\partial y} = -\frac{2\pi B_{0}}{\lambda_{0}} \sinh \frac{2\pi y}{\lambda_{0}} \cos \frac{2\pi x}{\lambda_{0}}$$

$$\frac{\partial B_{z}}{\partial z} = \frac{2\pi B_{0}}{\lambda_{0}} \sinh \frac{2\pi z}{\lambda_{0}} \cos \frac{2\pi x}{\lambda_{0}}$$

$$\frac{\partial B_{z}}{\partial z} = \frac{2\pi B_{0}}{\lambda_{0}} \sinh \frac{2\pi z}{\lambda_{0}} \cos \frac{2\pi x}{\lambda_{0}}$$

$$\frac{\partial B_{z}}{\partial z} = \frac{\partial B_{z}}{\partial z} \sin \frac{2\pi z}{z} \cos \frac{2\pi z}{z}$$

$$\frac{\partial B_{z}}{\partial z} = \frac{\partial B_{z}}{\partial z} \sin \frac{2\pi z}{z} \cos \frac{2\pi z}{z}$$

$$\frac{\partial B_{z}}{\partial z} = \frac{\partial B_{z}}{\partial z} \sin \frac{2\pi z}{z} \cos \frac{2\pi z}{z}$$

$$\frac{\partial B_{z}}{\partial z} = \frac{\partial B_{z}}{\partial z} \sin \frac{2\pi z}{z} \cos \frac{2\pi z}{z}$$

$$\frac{\partial B_{z}}{\partial z} = \frac{\partial B_{z}}{\partial z} \sin \frac{2\pi z}{z} \cos \frac{2\pi z}{z}$$

$$\frac{\partial B_{z}}{\partial z} \cos \frac{2\pi z}{z} \cos \frac{2\pi z}{z}$$

et on vérifie que : div 
$$\mathbf{B} = \frac{\partial \mathbf{B}_x}{\partial x} + \frac{\partial \mathbf{B}_y}{\partial y} + \frac{\partial \mathbf{B}_z}{\partial z} = 0.$$

De même, on vérifie que :

$$\frac{\partial \mathbf{B}_{y}}{\partial z} - \frac{\partial \mathbf{B}_{z}}{\partial y} = 0$$

$$\frac{\partial \mathbf{B}_{z}}{\partial x} - \frac{\partial \mathbf{B}_{x}}{\partial z} = \frac{2\pi \mathbf{B}}{\lambda_{0}} \left( \operatorname{ch} \frac{2\pi z}{\lambda_{0}} \cos \frac{2\pi x}{\lambda_{0}} - \operatorname{ch} \frac{2\pi z}{\lambda_{0}} \cos \frac{2\pi x}{\lambda_{0}} \right) = 0$$

$$\frac{\partial \mathbf{B}_{x}}{\partial y} - \frac{\partial \mathbf{B}_{y}}{\partial x} = \frac{2\pi \mathbf{B}}{\lambda_{0}} \left( \operatorname{ch} \frac{2\pi y}{\lambda_{0}} \sin \frac{2\pi x}{\lambda_{0}} - \operatorname{ch} \frac{2\pi y}{\lambda_{0}} \sin \frac{2\pi x}{\lambda_{0}} \right) = 0$$

c'est-à-dire rot B = 0.

Le champ magnétique proposé satisfait donc les équations de Maxwell en l'absence de courants macroscopiques.

IV.4.2. Au voisinage de l'axe Ox, y et z étant petits devant  $\lambda_0$ , on peut développer les sinus et cosinus hyperboliques par rapport à leurs arguments et en se limitant à l'ordre zéro où le sinus vaut zéro et le cosinus vaut 1, on obtient :

$$x < 0 \begin{cases} B_x = 0 \\ B_y = 0 \\ B_z = 0 \end{cases}$$

$$x > 0 \begin{cases} B_x = 0 \\ B_y = B_0 \cos \frac{2\pi x}{\lambda_0} \\ B_z = B_0 \sin \frac{2\pi x}{\lambda_0} \end{cases}$$

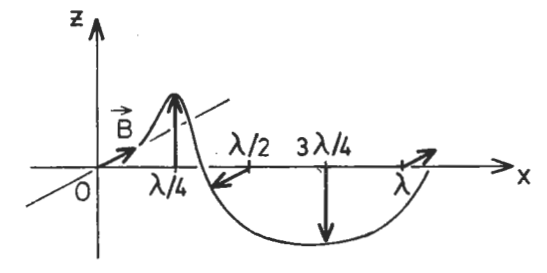


Fig. 5

La structure du champ  ${\bf B}$  est indiquée sur la figure. Le vecteur  ${\bf B}$ , de module constant  ${\bf B}_0$ , tourne *uniformément* autour de  ${\bf O}x$  au fur et à mesure que x augmente linéairement.  ${\bf B}$  fait un tour complet lorsque l'abscisse x s'accroît de  $\lambda_0$ . L'extrémité de  ${\bf B}$  décrit donc une hélice de pas  $\lambda_0$ .

IV.4.3. On a :  $\mathbf{F} = -e\mathbf{v} \wedge \mathbf{B}$ , donc :

$$x < 0 \quad \mathbf{F} = \mathbf{0} \quad x > 0 \begin{cases} F_x = eB \cdot \left( v_z \cos \frac{2\pi x}{\lambda_0} - v_y \sin \frac{2\pi x}{\lambda_0} \right) \\ F_y = +eB_0 v_x \sin \frac{2\pi x}{\lambda_0} \\ F_z = +eB_0 v_x \sin \frac{2\pi x}{\lambda_0} \end{cases}$$

L'équation fondamentale de la dynamique s'écrit dans (A) :

$$-e\mathbf{v} \wedge \mathbf{B} = \frac{d\mathbf{p}}{dt}$$
$$-\frac{e}{mv} \mathbf{p} \wedge \mathbf{B} = \frac{d\mathbf{p}}{dt}.$$

On remarque que, à chaque instant,  $\mathbf{p} \cdot \frac{d\mathbf{p}}{dt} = 0 \cdot \frac{d\mathbf{p}^2}{dt} = 0$ .

Le module de **p** ainsi que le module de **v** restent donc constants. En particulier v reste égal à  $v_2$ .

IV.5.1. La transformation de Lorentz s'écrit :

$$\begin{cases} x' = \gamma_2(x - v_2 t) & y' = y \quad z' = z \\ t' = \gamma_2 \left( t - v_2 \frac{x}{c^2} \right) \end{cases}$$

Dans  $(\Re')$ , nous avons:

$$F' = eE' - ev' \wedge B'$$

c'est-à-dire, compte tenu des expressions des composantes de E' et B' :

$$\begin{cases}
F'_{x} = -e\gamma_{2} v'_{y} B_{z} + e\gamma_{2} v'_{z} B_{y} \\
F'_{y} = e\gamma_{2} v_{2} B_{z} - ev'_{z} B_{x} + e\gamma_{2} v'_{x} B_{z} \\
F'_{z} = -e\gamma_{2} v_{2} B_{y} + ev'_{y} B_{x} - e\gamma_{2} v'_{x} B_{y}.
\end{cases}$$

IV.5.2. Si l'on néglige  $v'_x$ ,  $v'_y$ ,  $v'_z$  devant  $v_2$ , on pourra écrire :

$$\begin{cases}
F'_{x} = 0 \\
F'_{y} = e\gamma_{2} v_{2} B_{z} \\
F'_{z} = -e\gamma_{2} v_{2} B_{y}
\end{cases}$$

Compte tenu des expressions de Bz, By:

$$\begin{cases}
F'_{x} = 0 \\
F'_{y} = e\gamma_{2} v_{2} B_{0} \sin \frac{2\pi x}{\lambda_{0}}
\end{cases}$$

$$F'_{z} = -e\gamma_{2} v_{2} B_{0} \cos \frac{2\pi x}{\lambda_{0}}.$$

On doit inverser la transformation de Lorentz pour obtenir l'expression de x en fonction de x' et t':

$$x = \gamma_2(x' + v_2 t').$$

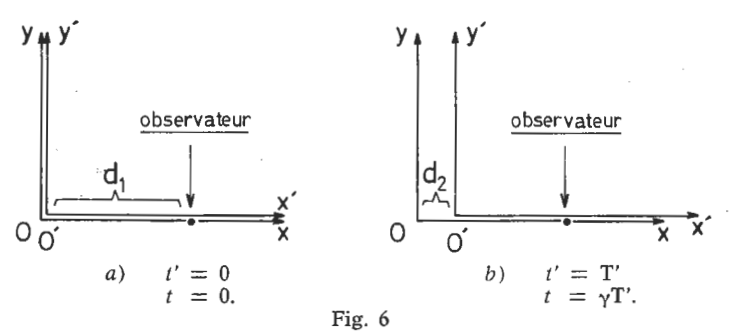
Compte tenu de ce que la vitesse des électrons dans  $(\Re')$  reste faible devant  $v_2$ , on négligera x' devant  $v_2$  t', on a donc :

$$\begin{cases} F'_x = 0 \\ F'_y = e\gamma_2 v_2 B_0 \sin \frac{2\pi \gamma_2 v_2 t'}{\lambda_0} \\ F'_z = -e\gamma_2 v_2 B_0 \cos \frac{2\pi \gamma_2 v_2 t'}{\lambda_0} \end{cases}$$

IV.5.3. La force, donc l'accélération, est périodique, de fréquence  $\nu'$  dans  $(\mathcal{R}')$  donnée par :

$$v' = \frac{\gamma_2 v_2}{\lambda_0}.$$

Il s'agit maintenant de connaître la fréquence v dans  $(\mathfrak{R})$  par un rayonnement émis dans le sens des x' croissants par des électrons se déplaçant à la vitesse  $v_2$  vers les x positifs dans  $(\mathfrak{R})$ .



Considérons un premier signal lumineux émis conventionnellement à x' = 0, t' = 0 par un électron de  $(\Re')$ , soit x = 0, t = 0 dans  $(\Re)$  (fig. 6 a). Dans  $(\Re)$ , ce signal se déplace à la vitesse c, donc arrive à l'observateur au temps :

$$T_1 = \frac{d_1}{2}$$

où  $d_1$  est la distance entre l'électron et l'observateur, mesurée dans  $(\Re)$ .

Considérons maintenant un deuxième signal lumineux émis

à 
$$x' = 0$$
,  $t' = T'$  où  $T' = \frac{1}{v'}$  est la période de vibration de

l'électron dans  $(\mathcal{R}')$ . Ce signal est émis à  $x=d_2=\gamma_2\,v_2\,\mathrm{T}'$   $\mathrm{T}_e=\gamma_2\,\mathrm{T}'$  dans  $(\mathcal{R})$ . Une fois émis, il se propage dans  $(\mathcal{R})$  à la vitesse c et doit parcourir  $d_1-d_2$  pour atteindre l'observateur

en un temps 
$$T_{p_r} = \frac{d_1 - d_2}{c}$$
.

L'instant de réception du deuxième signal est donc, dans (A):

$$T_2 = T_e + T_{p_r} = \gamma_2 T' + \frac{d_1}{c} - \gamma_2 \frac{v_2}{c} T'$$

et la période mesurée dans (R), vaut :

$$T = T_2 - T_1 = \gamma_2 \left( 1 - \frac{v_2}{c} \right) T'$$

d'où la fréquence :

$$v = \frac{v'}{\gamma_2 \left(1 - \frac{v_2}{c}\right)},$$

soit:

$$v = \frac{v_2}{\lambda_0 \left(1 - \frac{v_2}{c}\right)}.$$

Les longueurs d'ondes  $\lambda$  et  $\lambda'$  associées à  $\nu$  et  $\nu'$  sont données par :

$$\lambda = \lambda_0 \frac{c}{v_2} \left( 1 - \frac{v_2}{c} \right)$$

$$\lambda' = \lambda_0 \frac{c}{v_2} \sqrt{1 - \frac{v_2^2}{c^2}}$$

Application numérique : On avait :

$$v_2 \cong c$$
 et  $1 - \frac{v_2}{c} = 1.4 \cdot 10^{-4}$ 

donc:

$$\lambda = 1.4 \cdot 10^{-4} \, \lambda_0$$
 soit  $\lambda = 4.48 \cdot 10^{-6} \, \mathrm{m}$ 

ce rayonnement tombe dans l'infrarouge. On peut faire varier  $\lambda$  en agissant sur l'énergie cinétique des électrons qui entrent dans le champ magnétique, c'est-à-dire en faisant varier  $v_2$ . En principe, en rendant les électrons de plus en plus relativistes, on pourrait diminuer encore la longueur d'onde du rayonnement, c'est-à-dire le rendre plus énergétique.

R. Jullien et A.-M. Quittet.

# C.A.P.E.S.

#### SESSION DE 1983

# OPTION PHYSIQUE ET CHIMIE

(Durée: 4 heures)

Aucun long développement n'est demandé : il est conseillé de répondre de façon concise aux questions posées.

## DONNÉES NUMÉRIQUES

- Masse molaire de quelques éléments :

H : 1 g. mol<sup>-1</sup> Cr : 52 g. mol<sup>-1</sup> O : 16 g. mol<sup>-1</sup> K : 39 g. mol<sup>-1</sup> S : 32 g. mol<sup>-1</sup>

— Températures de changement d'état sous une atmosphère et enthalpies molaires standards de réaction pour quelques transformations du soufre :

soutre:  

$$S_{\alpha} \rightleftharpoons S_{\beta}$$
  $\vartheta_1 = 95,6^{\circ}\text{C}$   $\Delta \text{H}^0_1 = 3\,010\,\text{ J. mol}^{-1}$   
 $S_{\beta} \rightleftharpoons S_I$   $\vartheta_2 = 119\,^{\circ}\text{C}$   $\Delta \text{H}^0_2 = 8\,862\,\text{ J. mol}^{-1}$ .

- Constantes d'acidité de quelques couples acide/base à 25°C :

$$H_2S/HS K_{a_1} = 10^{-7}$$
  
 $HS-/S^2 K_{a_2} = 1,3 \cdot 10^{-13}$ .

- Potentiels rédox standards de quelques couples à 25°C:

$$\begin{array}{lll} Cr_2O_7{}^2-/Cr^3+ & E^0{}_1 &= 1,33 \ V \\ O_2/H_2O & E^0{}_2 &= 1,23 \ V \\ SO_4{}^2-/SO_2{}_{\it aq} & E^0{}_3 &= 0,20 \ V \\ I_2/I^- & E^0{}_4 &= 0,54 \ V. \end{array}$$

- Autres constantes :

$$R = 8,32 \text{ J. } K^{-1}. \text{ mol}^{-1}$$

$$\frac{RT}{F} \text{ Log}_{e} [X] = 0,059 \text{ log}_{10} [X] \text{ à } 25^{\circ}\text{C}$$

$$K_{e} = [H_{3}\text{O}^{+}] [\text{OH}^{-}] = 10^{-14}.$$

— Les réactions en solution aqueuse (aq) ont ici toutes lieu à  $25^{\circ}$ C. Les symboles des grandeurs thermodynamiques sont ceux habituellement utilisés : T, température thermodynamique; p, pression; H, enthalpie; etc.

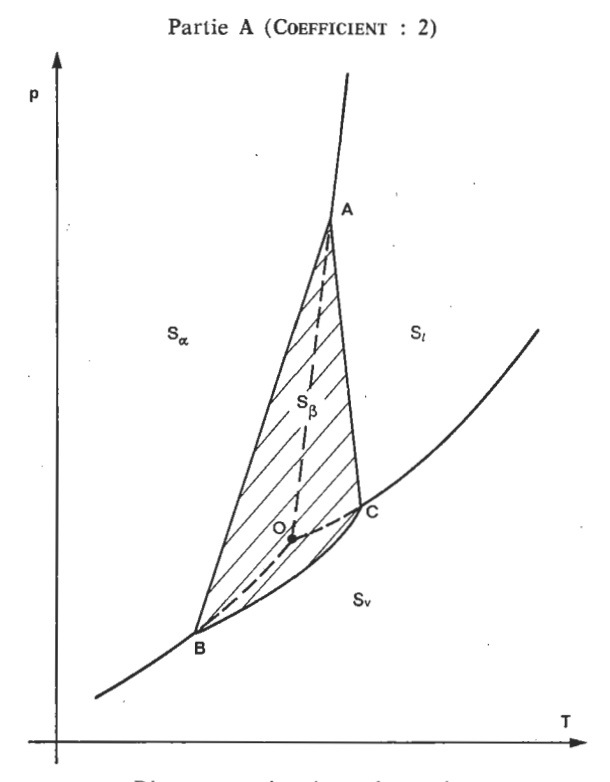


Diagramme des états du soufre

## 1. LE SOUFRE.

- 1.1. Quels sont le numéro atomique et la configuration électronique de l'oxygène et du soufre?
- 1.2. Quels sont les états moléculaires de l'oxygène gazeux et du soufre solide? En déduire le nom de ces corps simples dans ces états en nomenclature officielle.
- 1.3. L'oxygène et le soufre peuvent se présenter avec les degrés d'oxydation II, I, O; le soufre peut en outre se présenter avec les degrés d'oxydation + IV et + VI. Le justifier.
- 1.4. Quel est le degré d'oxydation de chacun des atomes de soufre dans l'ion thiosulfate, dans l'ion tétrathionate et dans l'ion peroxodisulfate? Justifier la réponse en partant de la structure des ions.
- 1.5. En admettant qu'entre 95,6°C et 119°C l'entropie et l'enthalpie des réactions :

$$S_{\alpha} \rightleftarrows S_{\beta}$$

et: 
$$S_{\beta} \rightleftharpoons S_{I}$$

 $(S_{\alpha}, S_{\beta}, S_{l})$  représentent respectivement le soufre solide, variété  $\alpha$ , le soufre solide, variété  $\beta$ , le soufre liquide) sont indépendantes de la température, exprimer la différence d'enthalpie libre entre les formes liquide et  $\alpha$  en fonction de la température :  $G_{l} - G_{\alpha} = f(T)$ .

En déduire la température de la transformation :

$$S_{\alpha} \rightleftharpoons S_{1}$$

sous une pression d'une atmosphère. Dans quelles conditions expérimentales observe-t-on cette transformation?

- 2. Le soufre au degré d'oxydation II.
- 2.1. Sous une atmosphère, les températures d'ébullition  $\vartheta_e$  et de fusion  $\vartheta_t$  du sulfure d'hydrogène et de l'eau sont les suivantes :

|                  | θ <sub>e</sub> | θη        |
|------------------|----------------|-----------|
| H <sub>2</sub> S | – 60,7 °C      | – 85,5 °C |
| H <sub>2</sub> O | 100 °C         | 0 °C      |

Expliquer pourquoi les valeurs relatives au sulfure d'hydrogène sont plus faibles que les valeurs correspondantes de l'eau.

- 2.2. Le gaz de Lacq contient environ 16 % de sulfure d'hydrogène. On isole industriellement ce dernier des autres constituants; préciser les réactifs généralement utilisés; décrire les étapes de cette extraction.
- 2.3. Calculer le pH d'une solution aqueuse contenant  $10^{-2}$  mole de sulfure d'hydrogène par litre.
- 2.4. On prépare une solution en mélangeant 20 ml de solution aqueuse de sulfure d'hydrogène  $10^{-1}$  mol. $1^{-1}$  et 80 ml de solution aqueuse de sulfure de sodium  $6.25 \cdot 10^{-2}$  mol. $1^{-1}$ . Quel est son pH?
- 2.5. Par barbotage on maintient saturée une solution de sulfure d'hydrogène ; la concentration en sulfure d'hydrogène  $[H_2S]$  reste alors constante et égale à  $10^{-1}$  mol.  $1^{-1}$ .

A l'aide de solutions tampons on peut faire varier, si nécessaire, le pH de la solution.

Cette solution contient également des ions  $Ni^{2+}$  et des ions  $Zn^{2+}$  tous deux à la concentration de  $10^{-3}$  mol.  $1^{-1}$ .

Entre quelles valeurs limites doit être maintenu le pH de la solution pour que plus de 99 % des ions Ni<sup>2+</sup> soient précipités sans que le sulfure de zinc ne précipite? Calculer la concentration des ions Ni<sup>2+</sup> lorsque le sulfure de zinc commence à précipiter.

2.6. Soit la réaction:

$$H_2 + S \rightarrow H_2S$$

réalisée en phase homogène.

La vitesse de la réaction peut s'écrire :

$$v = k [H_2]^m [S]^n.$$

2.6.1. On suppose que m=1. Dans un premier temps, la réaction est faite avec un grand excès de soufre. Le volume du mélange est de 218 cm³. La pression initiale d'hydrogène mesurée à 15°C est de 204 mm de mercure. La synthèse est réalisée à 402°C. Après 5 minutes de réaction, il y a formation de  $8.4 \cdot 10^{-4}$  mole de sulfure d'hydrogène. Calculer la constante de vitesse apparente de cette réaction.

# 2.6.2. On réalise les expériences I et II ci-après à 402°C. Expériences I :

| Masse do soufre initiale  | 0,0534 g  | 0,0534 g  | 0,0534 g   |
|---|-----------|-----------|------------|
| Pression initiale de H <sub>2</sub> mesurée à 15 °C   | 51 mmHg   | 102 mmHg  | 153 mmHg   |
| Vitesse de formation de H <sub>2</sub> S (exprimée en g.cm <sup>-3</sup> .s <sup>-1</sup> ) | 3,98.10-8 | 7,98.10-8 | 11,95.10-8 |

## Expériences II:

| Masse de soufre initiale  | 0,0534 g   | 0,1000 g   | 0,1500 g   |
|---|------------|------------|------------|
| Pression initiale de H <sub>2</sub> mesurée à 15 °C   | 153 mmHg   | 153 mmHg   | 153 mmHg   |
| Vitesse de formation de H <sub>2</sub> S (exprimée en g.cm <sup>-3</sup> .s <sup>-1</sup> ) | 11,95.10-8 | 16,44.10-8 | 20,14.10-8 |

- 2.6.2.1. Vérifier que les résultats d'expérience ne s'opposent pas à l'hypothèse initiale m=1.
- 2.6.2.2. Déterminer l'ordre de la réaction par rapport au soufre.
  - 2.6.2.3. En déduire l'ordre global de la réaction.
- 2.6.3. La constante de vitesse de la réaction de synthèse de H<sub>2</sub>S à 402°C est 3,56 fois plus élevée qu'à 374,5°C. Calculer l'énergie d'activation accompagnant la réaction en la supposant indépendante de la température entre 374,5°C et 402°C.
- Le soufre au degré d'oxydation + IV.
- 3.1. Quelles sont la structure électronique et la structure géométrique de la molécule de dioxyde de soufre?
- 3.2. Calculer à pH = 3 les potentiels rédox standards apparents des couples  $\text{Cr}_2\text{O}_7^{2-}/\text{Cr}^{3+}$ ;  $\text{O}_{2~aq}/\text{H}_2\text{O}$ ;  $\text{SO}_4^{2-}/\text{SO}_{2~aq}$ . En conclure qu'à pH = 3 le dioxyde de soufre en solution aqueuse est oxydé par l'oxygène et par l'ion dichromate; écrire les équations correspondantes. On admettra qu'à pH = 3 le dioxyde de soufre dissous est entièrement sous forme de  $\text{SO}_2$  et que le chrome (VI) est entièrement sous forme d'ions  $\text{Cr}_2\text{O}_7^{2-}$ .

- 3.3. Une usine rejette par jour 100 m³ contenant 72 mg.l-¹ de dichromate de potassium et 5 mg.l-¹ d'oxygène. Calculer la masse de SO₂ à injecter journellement pour réaliser les réactions d'oxydoréduction prévisibles.
- 4. LE SOUFRE ALL DEGRÉ D'OXYDATION + VI.
  - 4.1. Quelle est la structure géométrique du trioxyde de soufre :
- à l'état gazeux.
- à l'état condensé ?
- 4.2. Indiquer sans aucun détail technologique le procédé d'obtention du trioxyde de soufre utilisé aujourd'hui dans l'industrie en précisant :
- les diverses étapes lorsque la synthèse s'effectue à partir du sulfure d'hydrogène,
- les conditions expérimentales (pression, température, catalyseur...)
   de l'étape :

$$2 SO_2 + O_2 \rightleftharpoons 2 SO_3$$
.

4.3. Entre 400 et  $600^{\circ}$ C, nous admettrons que l'enthalpie standard de la réaction :

$$2 SO_2 + O_2 \rightarrow 2 SO_3$$

est indépendante de la température et vaut :

$$\Delta H^0 = -198 \text{ kJ. mol}^{-1}$$
.

4.3.1. Quelles sont les influences respectives de la température et de la pression sur l'équilibre :

$$2 SO_2 + O_2 \rightleftharpoons 2 SO_3$$
?

- 4.3.2. Quelle est l'influence de l'introduction à pression et températures constantes d'un gaz inerte tel que l'azote.
- 4.3.3. On part d'un mélange constitué initialement de n moles d'oxygène et de 2 n moles de dioxyde de soufre. Soit  $\alpha$  le taux de transformation du dioxyde de soufre défini par :

$$\alpha = \frac{\text{nombre de moles de SO}_2 \text{ disparu}}{\text{nombre initial de moles de SO}_2}$$

- 4.3.3.1. Exprimer la constante d'équilibre  $K_p$  en fonction de  $\alpha$  et de la pression totale p à l'équilibre.
- 4.3.3.2. A 600°C et sous une pression d'équilibre d'une atmosphère, la valeur de  $\alpha$  est égale à 0,7. Calculer  $K_p$  à 600°C.
- 4.3.3.3. A quelle température  $\vartheta$  (exprimée en °C) faut-il opérer pour que, sous une atmosphère,  $\alpha$  soit égal à 0,95 ?
- 4.3.3.4. A cette température  $\vartheta$  on injecte, non plus de l'oxygène, mais de l'air (1/5 d'oxygène, 4/5 d'azote). On souhaite obtenir le même taux de transformation ( $\alpha=0.95$ ) en opérant toujours sous une pression d'une atmosphère. Dans quelle proportion faut-il alors

introduire le dioxyde de soufre et l'air? Quelles conséquences peut-on en tirer pour la synthèse industrielle du trioxyde de soufre?

- 4.4. Un oléum ne contient que de l'acide sulfurique, du trioxyde de soufre et du dioxyde de soufre. Avec les précautions nécessaires, on en dilue 8,292 g dans un litre d'eau, puis on fait deux prélèvements de 100 ml chacun.
  - Le premier est dosé par une solution d'iode 5 10-2 mol. l-1; l'équivalence est obtenue après addition de 6 ml de solution d'iode.
  - Le second est dosé par une solution d'hydroxyde de sodium 5 • 10-1 mol. l-1; l'équivalence, repérée par le virage de la phénolphtaléine, est obtenue après avoir versé 37,2 ml de la solution basique.

Déterminer la composition molaire de l'échantillon étudié.

## Partie B (COEFFICIENT: 1)

On s'intéresse dans cette partie à l'aspect préparatif de quelques alcools et de leurs applications industrielles.

## 1. Préliminaires.

1.1. Désigner, en utilisant la nomenclature officielle, chacun des composés suivants :

$$CH_3 - CH_2 - CH_2 - CHOH - CH_3$$
  
 $(CH_3)_2CH - CHOH - CH_3$   
 $C_6H_5 - CHOH - CH_3$ 

1.2. Inversement, donner la formule structurale des composés suivants :

- 1.3. Indiquer les formules structurales et nommer en nomenclature officielle tous les alcools isomères de formule brute  $C_4H_{10}O$ .
- 2. LE MÉTHANOL.
- 2.1. Le méthanol peut être employé partiellement comme adjuvant de l'essence pour augmenter l'indice d'octane.
  - 2.1.1. Définir l'indice d'octane d'une essence.
- 2.1.2. Une autre façon d'augmenter l'indice d'octane consiste à ajouter du méthyl-tertiobutyl-éther  $(CH_3)_3$   $C-O-CH_3$ , qui est préparé par réaction du méthanol en présence de méthyl-2 propène en milieu acide.

Ecrire la réaction chimique associée à cette transformation et proposer un mécanisme réactionnel.

2.1.3. Le méthanol sert aussi à fabriquer le méthanal : deux procédés industriels sont utilisés, la déshydrogénation catalytique et l'oxydation catalytique par l'air.

Ecrire les réactions correspondantes.

Sachant que la réaction de déshydrogénation est endothermique et nécessite une température élevée, montrer qualitativement que la réaction d'oxydation est exothermique et permet de travailler à des températures plus basses.

# 3. L'ÉTHANOL.

- 3.1. Citer deux procédés industriels de fabrication de l'éthanol.
- 3.2. L'éthanol sert à fabriquer en particulier l'acétate d'éthyle (éthanoate d'éthyle).

Ecrire la réaction chimique correspondante.

Indiquer le mécanisme réactionnel.

## 4. LE PROPANOL-2.

Le propanol-2 est préparé par hydratation en phase liquide du propène issu des raffineries, en présence d'une solution d'acide sulfurique à 70 % environ sous 25 bars et  $60^{\circ}$ C environ; on obtient un produit de formule brute  $C_3H_8SO_4$  qui, dilué dans l'eau, donne l'alcool cherché

- 4.1. Quelle est la formule développée de C<sub>3</sub>H<sub>8</sub>SO<sub>4</sub> ? Justifiez votre réponse.
- 4.2. Pourquoi cette réaction est-elle plus rapide qu'avec l'éthylène?
- 4.3. Quelle est la réaction chimique associée à l'opération de dilution ?
- 4.4. On trouve en faibles proportions, comme produits annexes, les composés suivants :

$$(\mathrm{CH_3})_2\mathrm{CH} - \mathrm{O} - \mathrm{CH}\,(\mathrm{CH_3})_2 \quad \text{ et } \quad \mathrm{CH_3} - \mathrm{CO} - \mathrm{CH_3}.$$

Expliquer leur présence.

# 5. LE BUTANOL-1.

- 5.1. Une des méthodes de préparation industrielle du butanol-1 consiste à faire réagir d'abord à  $20^{\circ}$ C de l'éthanal en présence de soude diluée pendant quelques heures. On dose l'excès de soude par de l'acide acétique par exemple. On obtient un composé organique A de formule brute  $C_4H_8O_2$ .
  - 5.1.1. Ecrire la réaction de préparation du composé A.
  - 5.1.2. Indiquer le nom et la formule de A.
  - 5.1.3. Préciser le mécanisme réactionnel correspondant.
- 5.2. Le produit A est déshydraté en présence d'un peu d'acide acétique; on extrait l'eau par distillation. On obtient un produit B (de formule brute  $C_4H_6O$ ) qui peut être converti facilement en butanol-1.
  - 5.2.1. Quelle est la formule développée de B? Indiquer son nom.
- 5.2.2. Proposer un mécanisme interprétant le passage de A vers B.

- 5.2.3. Pourquoi extrait-on l'eau par distillation?
- 5.2.4. Comment réalise-t-on la transformation de B en butanol-1.2

### 6. LE « GLYCOL ».

Le dihydroxy-1,2 éthane (ou éthane diol-1,2), appelé encore glycol est un diol.

- 6.1. Pour le préparer, on fait réagir de l'oxygène sur l'éthylène, vers  $250^{\circ}$ C, sous 20 bars en présence de catalyseur d'argent ; on obtient un composé C (formule brute  $C_2H_4O$ ), qui peut réagir avec un excès d'eau sous la pression atmosphérique vers  $40^{\circ}$ C en présence d'un catalyseur acide pour donner le diol cherché.
- 6.1.1. Ecrire la réaction d'obtention de C et donner le nom de ce composé.
- 6.1.2. Ecrire la réaction permettant de passer de C au diol et proposer un schéma réactionnel interprétant cette transformation.
  - 6.2. Le glycol peut réagir avec l'acide téréphtalique

en présence d'un catalyseur, sous vide, pour conduire à un polymère.

- 6.2.1. Donner le maillon élémentaire de la fibre polymérique obtenue.
  - 6.2.2. Comment appelle-t-on ce type de réaction?

## 7. LE « GLYCÉROL ».

En nomenclature officielle, on peut l'appeler trihydroxy-1,2,3 propane.

- 7.1. Pourquoi le glycérol a-t-il un point d'ébullition élevé? En déduire une application pratique courante.
  - 7.2. Le glycérol et l'anhydride phtalique :

réagissent d'abord vers 250°C pour former une résine linéaire fusible, puis progressivement on obtient une résine polymérique non fusible utilisable en peinture.

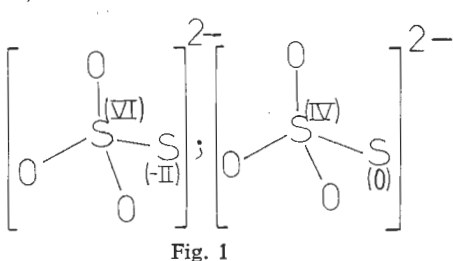
- 7.2.1. De quelle réaction s'agit-il?
- 7.2.2. Indiquer le maillon élémentaire de la résine linéaire.
- 7.2.3. Pourquoi y a-t-il durcissement progressif?

## SOLUTION

# CHIMIE MINERALE ET GENERALE

## 1 LE SOUERE

- 1.1. L'oxygène et le soufre appartiennent tous les deux à la colonne VI. A du tableau périodique. Le numéro atomique de l'oxygène est Z=8, sa configuation est  $1 s^2 2 s^2 2 p^4$ ; pour le soufre Z=16 et la configuration est  $1 s^2 2 s^2 2 p^6 3 s^2 3 p^4 3 d^0$ .
- 1.2. L'oxygène gazeux présente deux états moléculaires, l'un diatomique  $O_2$  appelé dioxygène, l'autre triatomique  $O_3$  appelé trioxygène ou encore ozone. A l'état solide, le soufre se présente sous forme d'un octogone gauche  $S_8$  appelé le cyclooctasoufre.
- 1.3. La possibilité d'atteindre les degrés + IV et + VI pour le soufre provient de l'existence de sous-couche d (3  $d^0$ ).
- 1.4. L'ion thiosulfate a pour formule  $S_2O_3{}^{2-}$  ; sa structure est la suivante (fig. 1) :



Deux réponses sont possibles (fig. 1) :

- l'une qui consiste à donner au soufre central le N.O. + VI, l'autre atome ayant le même N.O. que les atomes d'oxygène soit — II;
- l'autre consiste à considérer l'atome central avec un N.O. de + IV, l'autre atome étant au degré 0 (zéro).

Quelle que soit la réponse, le N.O. moyen est de + II, ce qui est essentiel, soit pour équilibrer les équations, soit pour classer l'ion  $S_2O_3^{2-}$  dans les diagrammes de Frost par exemple.

\* L'ion peroxodisulfate a pour formule  $S_2O_8{}^{2-}\,;$  sa structure est la suivante :

$$\begin{bmatrix} 0 & 0 & 0 & 0 \\ 0 & S^{(\nabla I)} & S^{(\nabla I)} & S^{(\nabla I)} & 0 \\ 0 & 0 & 0 & 0 \end{bmatrix}^{2-1}$$

Fig. 2

Dans cet ion, chaque atome de soufre est au degré + VI, les propriétés oxydantes de cet ion  $(E^0S_2O_8^{2-}/SO_4^{2-}=2,01 \text{ V})$  sont dues à l'entité peroxo - O - O -.

\* L'ion tétrathionate a pour formule  $S_4O_6{}^{2-}$ ; sa structure est la suivante :

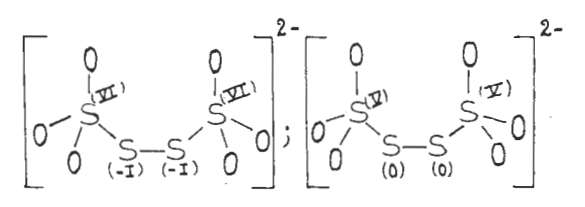


Fig. 3

Deux réponses sont possibles suivant que l'on considère le pont S-S de la même façon que le pont peroxo -O-O ou non (fig. 3).

Dans les deux cas, le N.O. moyen est le même.

Pour plus de précisions sur les nombres d'oxydation de ces trois ions, lire les excellents articles de M. J. Sala-Pala [1] et de M. Bernard [2].

- 1.5. Considérons les transformations (a), (b), (c):
  - (a)  $S_{\alpha} \leftrightharpoons S_{\beta}$
  - (b)  $S_R \Leftrightarrow S_I$
  - (c)  $S_n \leftrightharpoons S_1$ .

On constate que (c) = (a) + (b), donc :

$$\Delta G^{0}_{c} = \Delta G^{0}_{a} + \Delta G^{0}_{b}$$
$$\Delta G^{0}_{c} = \Delta H_{a} - T \Delta S^{0}_{a}$$

 $S_a$  étant indépendant de T, on peut calculer  $\Delta S_a^0$  pour  $t=95.6^{\circ}$  C (T = 368,75 K); à cette température,  $\Delta G_a^0=0$ , d'où :

$$\Delta S_a^0 = \frac{\Delta H_a^0}{T} = 8.16 \text{ J. mol}^{-1}. \text{ K}^{-1}.$$

$$\Delta G_a^0 = 3.010 - 8.16 \text{ T}.$$

$$\Delta G_b^0 = \Delta H_b^0 - T \Delta S_b^0.$$

En procédant comme précédemment, on obtient pour t = 119°C (T = 392,15 K) :

$$\Delta S^{0}_{b} = \frac{\Delta H^{0}_{b}}{T} = 22,60 \text{ J. mol}^{-1}. \text{ K}^{-1}$$

$$\Delta G^{0}_{b} = 8862 - 22,60 \text{ T}$$

$$\Delta G^{0}_{c} = \Delta G^{0}_{b} + \Delta G^{0}_{a} = 11872 - 30,76 \text{ T.}$$

Pour la transformation  $S_{\alpha} \leftrightarrows S_{l} \Delta G^{0}_{c} = 0$  à l'équilibre, d'où :

$$T = \frac{11\,872}{30,76} = 385,95 \text{ K}$$

soit:

La transformation  $S_{\alpha} \leftrightharpoons S_{l}$  est rapide alors que la transformation  $S_{\alpha} \leftrightharpoons S_{\beta}$  est lente, aussi observera-t-on la fusion de  $S_{\alpha}$  lors d'un chauffage rapide du soufre solide  $S_{\alpha}$ .

#### Le soufre au degré — II.

- 2.1. Les valeurs plus faibles, observées pour les températures de changement d'état du sulfure d'hydrogène s'expliquent par la quasi-absence de liaison hydrogène entre les molécules de H<sub>2</sub>S.
- 2.2. Le sulfure d'hydrogène est un acide : l'acide sulfhydrique ; pour l'éliminer du gaz naturel, on le fait réagir avec des bases, généralement des bases azotées. Les plus fréquemment utilisées sont :
- l'éthanolamine : NH<sub>2</sub> CH<sub>2</sub> CH<sub>2</sub> OH ;
- la diéthanolamine : HOCH2CH2NHCH2CH2OH.

Ce procédé permet aussi d'éliminer le dioxyde de carbone  $CO_2$ . Par chauffage vers  $140^{\circ}$  C, les « sels » d'amines obtenus se décomposent en  $H_2S$ ,  $CO_2$  et amines [3].

La réaction entre les amines et l'acide sulfhydrique est une réaction acido-basique :

2.3. H2S réagit avec l'eau :

$$H_2S + H_2O \leftrightarrows H_3O^+ + HS^-$$
 (1)  $K_{a_1}$   
 $HS^- + H_2O \leftrightarrows H_3O^+ + S^{2-}$  (2)  $K_{a_2}$   
 $K_{a_1} = 10^{-7}$   $K_{a_2} = 1.3 \cdot 10^{-13}$ .

La réaction (1) est prépondérante, aussi peut-on négliger la réaction (2)  $(K_{a_1} \gg K_{a_2})$ .

$$[HS^-] + \underbrace{[OH^-]} = [H_3O^+]$$
  
 $[HS^-] + [H_2S] = 10^{-2}$ 

 $K_{\alpha_1}$  étant très petit, [HS-]  $\ll$  [H<sub>2</sub>S], d'où : [H<sub>2</sub>S]  $\simeq$  10-2 mol.1-1.

$$K_{a_1} = \frac{[HS^-][H_3O^+]}{[H_2S]} = \frac{[H_3O^+]^2}{[H_2S]}$$
$$[H_3O^+] = (K_{a_1} \cdot [H_2S])^{1/2}$$
$$pH = 1/2 pK_a - 1/2 \log c$$
$$pH = 4.5.$$

d'où :

2.4. Calculons les concentrations initialement introduites :

$$[H_2S]_i = \frac{20 \cdot 10^{-1}}{100} = 2 \cdot 10^{-2} \text{ mol. } 1^{-1}$$

$$[S^{2-}]_i = \frac{80 \cdot 6,25 \cdot 10^{-2}}{100} = 5 \cdot 10^{-2} \text{ mol. } 1^{-1}$$

$$[Na^+]_i = 2 [S^{2-}]_i = 10^{-1} \text{ mol. } 1^{-1}.$$

Posons : x = [OH-].

$$[Na^+] + [H_3O^+] = 2[S^2-] + [HS-] + [OH-] = 10 \cdot 10^{-2}$$
  
 $[S^2-]_i + [H_2S]_i = [S^2-] + [HS-] + [H_2S] = 7 \cdot 10^{-2}$ 

d'où:

$$[S^{2-}] = 3 \cdot 10^{-2} - x$$

et:

$$[HS^{-}] = 4 \cdot 10^{-2} + x$$

$$K_{2} = \frac{[S^{2-}][H_{3}O^{+}]}{[HS^{-}]} = \frac{(3 \cdot 10^{-2} - x)(K_{e})}{(4 \cdot 10^{-2} + x)(x)}$$

d'où :  $x = [OH^{-}] = 1,72 \cdot 10^{-2} \text{ mol. l}^{-1}$ 

et: 
$$pH = 14 - \log x = 12,24$$
  
 $pH = 12,24$ .

2.5. Pour H2S, on a :

$$K_{a_1} = \frac{\text{[HS-][H}_3O^+]}{\text{[H}_2S]} \qquad \qquad K_{a_2} = \frac{\text{[S}^{2-][H}_3O^+]}{\text{[HS-]}}$$

et:

$$K_{a_1} \cdot K_{a_2} = \frac{[S^{2-}] \cdot h^2}{[H_2S]}$$
 avec  $h = [H_3O^+]$ 

d'où:

$$[S^{2-}] = \frac{[H_2S] K_{a_1} \cdot K_{a_2}}{h^2} = \frac{1,3 \cdot 10^{-21}}{h^2}.$$
 (1)

\*  $\lceil Ni^{2+} \rceil = 10^{-3} \text{ mol.} 1^{-1} \text{ dans la solution initiale, lorsque}$ 99 % d'ion nickel II ont précipité [Ni<sup>2+</sup>] ≤ 10<sup>-5</sup> mol. l<sup>-1</sup>.

Or: 
$$K_{s_1} = [Ni^{2+}][S^{2-}]$$
 d'où:  $[S^{2-}] \geqslant \frac{K_s}{[Ni^{2+}]}; [S^{2-}] \geqslant 10^5 K_s$ 

soit:

$$h^2 \leqslant \frac{1,3 \cdot 10^{-26}}{\mathrm{K_s}}$$

en tenant compte de (1).

c'est-à-dire:

$$pH \ge 12,94 - 1/2 pK_s$$
.

En prenant pour :  $K_s = 10^{-24}$  :

Le sulfure de zinc ne précipitera pas tant que :

$$[Zn^{2+}][S^{2-}] \leqslant K'_s,$$

or :  $[Zn^{2+}] = 10^{-3} \text{ mol. } l^{-1}, \text{ d'où } : [S^{2-}] \leq 10^3 \cdot \text{K'}_s, \text{ soit } :$ 

$$h^2 \geqslant \frac{1,3 \cdot 10^{-24}}{K'}$$

en tenant compte de (1),

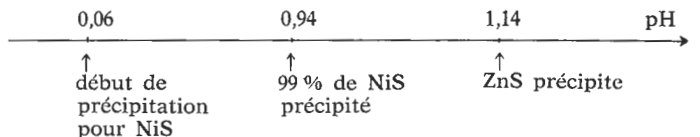
c'est-à-dire :

$$pH \leq 11,94 - 1/2 pK'_s$$
.

En prenant pour :  $K'_{s} = 2.5 \cdot 10^{-22}$  :

$$pH \leq 1,14.$$

D'où le résultat :



Lorsque le sulfure de zinc commence à précipiter, on a :

$$[Zn^{2+}] = \frac{K'_s}{[S^{2-}]} = 10^{-3}.$$

Pour Ni<sup>2+</sup>, on a toujours [Ni<sup>2+</sup>] =  $\frac{K_s}{\Gamma S^{2-1}}$ , d'où :

$$[Ni^{2+}] = 10^{-3} \cdot \frac{K_s}{K'_s}$$
, soit :

$$[Ni^{2+1} = 4 \cdot 10^{-6} \text{ mol. } l^{-1}]$$

2.6.1. En réalisant la réaction avec un grand excès de soufre, on peut considérer qu'il y a dégénérescence par rapport au soufre et donc considérer la concentration en soufre comme constante. La vitesse s'écrit alors :

$$v = k' [H_2]^m$$

avec:

$$k' = k [S]^n$$
.

Supposons que m = 1,

$$v = -\frac{d[H_2]}{dt} = k'[H_2]$$

d'où:

$$\operatorname{Log} \frac{[H_2]_0}{[H_2]} = k't,$$

soit:

$$k' = \frac{1}{t} \operatorname{Log} \frac{[H_2]_0}{[H_2]} = \frac{1}{t} \operatorname{Log} \frac{(n_{H_2})_0}{n_{H_2}}.$$

A 
$$t = 0$$
  $(n_{\text{H}_2})_0 = \frac{\text{PV}}{\text{RT}} = 2,47 \cdot 10^{-3} \text{ mol.}$ 

A  $t = 5 \min$ 

$$n_{\rm H_2} = (n_{\rm H_2})_0 - (n_{\rm H_2S}) = 1,63 \cdot 10^{-3} \text{ mol}$$

d'où:

$$k' = 8.3 \cdot 10^{-2} \text{ min}^{-1}$$

2.6.2.1. On constate, la masse de soufre initiale étant constante, que la vitesse initiale est proportionnelle à la pression initiale d'hydrogène; on peut donc écrire :

$$v_0 = \mathbf{K} \cdot \mathbf{P}_{\mathbf{O}_{\mathbf{H}_2}}$$

ce qui est compatible avec m = 1.

2.6.2.2. La pression initiale d'hydrogène étant constante, écrivons l'expression de la vitesse initiale :

$$v_0 = k [H_2] \cdot [S]^n = K \cdot [S]^n$$

soit :

$$\text{Log } v_0 = \text{Log } K + n \text{Log } [S].$$

En traçant le graphe Log  $v_0 = f(\text{Log}[S])$ , on obtient une droite de pente 0,5, d'où n = 0,5.

La vitesse initiale peut alors s'écrire :

$$v_0 = k [H_2] [S]^{1/2}$$
.

L'ordre global de la réaction est donc : m + n = 1.5.

2.6.3. Ecrivons la loi d'Arrhénius :

$$k = A e^{-E/RT}$$

où E est l'énergie d'activation.

En supposant E constant entre  $374.5^{\circ}$ C (T = 647.65 K) et  $402^{\circ}$ C (T' = 675.15), on a :

$$\frac{k}{k'} = e^{E/R (1/T'-1/T)}$$

soit:

$$Log \frac{k}{k'} = \frac{E}{R} \frac{T - T'}{T \cdot T'}$$

d'où:

$$E = \frac{R \cdot T \cdot T'}{T - T'} \cdot \text{Log} \frac{k}{k'}$$

 $E \approx 168 \text{ kJ. mol}^{-1}$ .

- 3. Le soufre au degré d'oxydation + IV.
  - 3.1. Le dioxyde de soufre est une molécule triangulaire (fig. 4) :

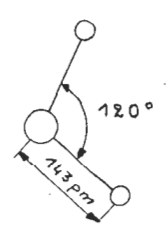


Fig. 4

SO<sub>2</sub> présente un fort moment dipolaire :

$$\mu = 1.6 \text{ debye} = 5.33 \, 10^{-30} \text{ C. m.}$$

ce que justifie sa structure électronique (fig. 5) :

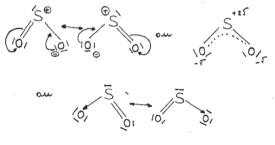


Fig. 5

3.2. \* Soit le couple 
$$Cr_2O_7^{2-}/Cr^{3+}$$
:

$$Cr_2O_7^{2-} + 6e^- + 14 H_3O^+ \rightarrow 2 Cr^{3+} + 21 H_2O$$

$$E_1 \, = \, E_1{}^0 + \frac{0,059}{6} \, \log \, \frac{ \, [Cr_2O_7{}^{2-}] \, [H_3O^+]^{14} }{[Cr^{3+}]^2} \label{eq:energy}$$

$$E'_{10} = 1.33 - 0.138 \text{ pH}$$

$$pH = 3$$
  $E'_{10} = 0.92 \text{ V}.$ 

\* Soit le couple O<sub>2</sub>/H<sub>2</sub>O:

$$O_2 + 4e^- + 4H_2O^+ \rightarrow 6H_2O$$

$$E_2 = E_2^0 + \frac{0,059}{4} \log P_{O_2} \cdot [H_3O^+]^4$$

d'où:

$$E'_{20} = 1.23 - 0.059 \text{ pH}$$

à :

$$pH = 3$$
  $E'_{2}^{0} = 1,05 \text{ V}.$ 

\* Soit le couple  $SO_4^2$ -/ $SO_2$ :

$$SO_4^{2-} + 2e^- + 4H_3O^+ \rightarrow SO_2 + 6H_2O$$

$$E_3 = E_3^0 + \frac{0,059}{2} \log \frac{[SO_4^{2-}][H_3O^+]^4}{[SO_3]}$$

d'où:

$$E'_{3}^{0} = 0.20 - 0.118 \text{ pH}$$

à:

$$pH = 3$$
  $E'_{3}^{0} = -0.15 \text{ V}.$ 

(On a noté E''; le potentiel redox standard apparent).

On constate à pH = 3 que  $E'_1{}^0$  et  $E'_2{}^0$  sont tous les deux supérieurs à  $E'_3{}^0$ , aussi le dioxyde de soufre est-il oxydé par l'ion dichromate  $Cr_2O_7{}^2$  et l'oxygène dissous, d'où les équations :

et : 
$$\text{Cr}_2\text{O}_7^{2-} + 3 \text{ SO}_2 + 2 \text{ H}_3\text{O}^+ \rightarrow 2 \text{ Cr}^{3+} + 3 \text{ SO}_4^{2-} + 3 \text{ H}_2\text{O}$$
  
et :  $\text{O}_2 + 2 \text{ SO}_2 + 6 \text{ H}_2\text{O} \rightarrow 2 \text{ SO}_4^{2-} + 4 \text{ H}_2\text{O}^+$ .

3.3. La masse molaire de  $K_2Cr_2O_7$  est 294 g. mol $^{-1}$ ; dans 100 m³ « d'eau », il y a : 24,49 mol de  $K_2Cr_2O_7$  et 15,625 mol d'oxygène ; il faut donc injecter 24,49  $\times$  3 + 2  $\times$  15,625 mol. de dioxyde de soufre, soit 104.72 mol.

La masse à injecter est donc de 6702 g.

Ce procédé est effectivement utilisé pour purifier l'eau rejetée par certaines usines, les ions sulfates étant ensuite précipités.

# 4. LE SOUFRE AU DEGRÉ D'OXYDATION + VI.

4.1. Le trioxyde de soufre gazeux de formule SO<sub>3</sub> est une molécule plane symétrique (fig. 6):

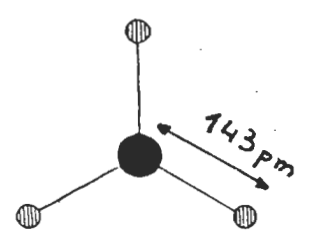


Fig. 6

A l'état condensé solide ou liquide, le trioxyde de soufre existe sous différentes variétés polymérisées ; on distingue principalement :

— une forme constituée de molécules trimères (fig. 7) peu stable :

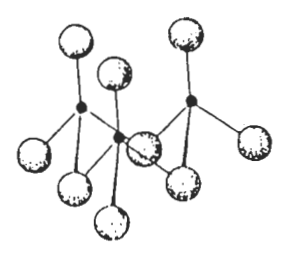


Fig. 7

 une forme constituée de macromolécules unidimensionnelles (fig. 8):

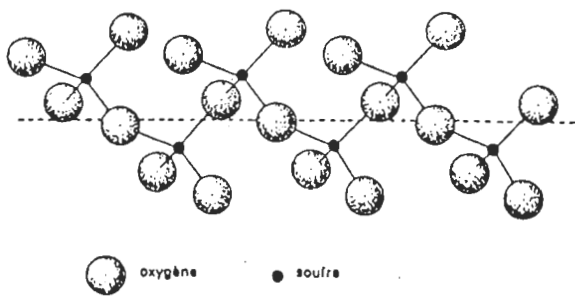


Fig. 8

 une troisième forme enfin plus stable constituée de macromolécules bidimensionnelles, obtenues par « pontage » des précédentes.

A l'état condensé,  $SO_3$  correspond donc à une formule statistique.

4.2. L'obtention du trioxyde de soufre à partir du sulfure d'hydrogène peut être schématisée par les équations suivantes :

$$\begin{array}{c} 2 \; H_2S \, + \, 3 \; O_2 \, \rightarrow \, 2 \; SO_2 \, + \, 2 \; H_2O \\ \\ 2 \; H_2S \, + \, SO_2 \, \rightarrow \, 2 \; H_2O \, + \, 3 \; S \\ \\ S \, + \, O_2 \, \rightarrow \, SO_2 \\ \\ 2 \; SO_2 \, + \, O_2 \, \leftrightarrows \, 2 \; SO_3. \end{array}$$

Cette dernière étape se fait industriellement à une température voisine de 450°C, sous une pression de l'ordre de 1 atmosphère; cependant, pour améliorer le rendement lorsque la synthèse se fait avec de l'air, certaines unités travaillent sous une pression de 5 atmosphères.

Cette réaction se fait en présence de catalyseur ; aujourd'hui, on utilise le pentaoxyde de divanadium  $V_2O_5$  sur un support en silice  $SiO_2$  en présence d'oxyde de potassium  $K_2O$  comme promoteur.

4.3. \* La synthèse de SO<sub>3</sub> est exothermique :

$$\Delta H^0 = -198 \text{ kJ. mol}^{-1}$$

toute élévation de température va, d'après la relation de

Van't Hoff:  $d \operatorname{Log} K_p = \frac{\Delta H}{RT^2} dT$ , favoriser la dissociation de SO<sub>3</sub>.

Il est donc conseillé de travailler avec des températures peu élevées pour favoriser la synthèse de  $SO_3$ , cependant pour des

raisons cinétiques, la température habituelle de synthèse est de l'ordre de 450°C.

- \* A  $450^{\circ}$ C, tous les constituants sont gazeux; d'après la loi de Chatelier, une élévation de pression favorise le sens correspondant à une diminution du nombre de moles gazeuses : la synthèse de  $SO_3$  est donc favorisée par une augmentation de pression.
- \* A température et pression constantes, l'introduction d'un gaz inerte correspond à une dilution du mélange, ce qui provoque une évolution du système dans le sens de la dissociation de SO<sub>3</sub>.

Une étude quantitative de l'influence d'un gaz inerte dans le système (SO<sub>2</sub>, O<sub>2</sub>, SO<sub>3</sub>) est développée par M. GARRIC [6].

\* Etudions la constante d'équilibre :

$$\begin{array}{cccc}
2 \operatorname{SO}_2 & + & \operatorname{O}_2 & \iff & 2 \operatorname{SO}_3 \\
2 n & n & & \operatorname{O} \\
2 n (1 - \alpha) & n (1 - \alpha) & & 2 n \alpha
\end{array}$$

à l'équilibre :  $2n(1-\alpha)$   $n(1-\alpha)$   $2n\alpha$ Le nombre de moles total est  $n(3-\alpha)$  et la pression totale

$$P_{O_2} = \frac{1-\alpha}{3-\alpha} P; \quad P_{SO_2} = \frac{2(1-\alpha)}{(3-\alpha)} P; \quad P_{SO_3} = \frac{2\alpha}{(3-\alpha)} P,$$

alors:

initialement:

est P. d'où:

$$K_P = \frac{(P_{SO_3})^2}{(P_{O_2})(P_{SO_2})^2} = \frac{\alpha^2 (3 - \alpha)}{(1 - \alpha)^3 \cdot P}.$$

- \* A 600° C. P = 1 atm.  $\alpha = 0.7$ . d'où :  $K_P = 41.74$ .
- \* Si, sous une atmosphère,  $\alpha=0.95$ , alors  $K'_P=14\,801$  et ce, à la température  $\vartheta$ .

La loi de Van't Hoff s'écrit :  $\frac{d \operatorname{Log} K_p}{dT} = \frac{\Delta H}{RT^2}$ ,  $\Delta H$  étant

supposé indépendante de T, on peut écrire :

$$\text{Log} \frac{K'_p}{K_p} = \frac{\Delta H}{R} \left( \frac{1}{T} - \frac{1}{T'} \right)$$

soit:

$$\frac{1}{T'} = \frac{1}{T} - \frac{R}{\Delta H} \operatorname{Log} \frac{K'_{p}}{K_{n}},$$

d'où : T' = 718,3 K, soit :  $\vartheta \simeq 445^{\circ}$  C.

- \* Considérons à présent la synthèse à partir de l'air :
- soit 2n le nombre de moles initial de  $SO_2$ .
- soit n' le nombre de moles initial d'oxygène.

L'air introduit correspond à n' moles d'oxygène et 4n' moles d'azote.

On a donc:  $2 SO_2 + O_2 \iff 2 SO_3$ initialement: 2n n' Oà l'équilibre: 2n(1-a) n'-na 2na

Le nombre de moles total est donc :

$$2 n (1 - \alpha) + n' - n \alpha + 2 n \alpha + 4 n'$$

soit:

$$2n + 5n' - n\alpha$$
.

En posant  $\frac{n'}{n} = x$ , il vient :

$$P_{O_{2}} = \frac{(x-\alpha)}{2+5x-\alpha} P; \quad P_{SO_{2}} = \frac{2(1-\alpha)P}{2+5x-\alpha};$$

$$P_{SO_{3}} = \frac{2\alpha P}{2+5x-\alpha},$$

d'où Kp:

$$K_p = \frac{\alpha^2 (2 + 5 x - \alpha)}{(1 - \alpha)^2 (x - \alpha) P}.$$

En prenant  $K_p = 14801$ ;  $\alpha = 0.95$  et P = 1 atm, on trouve x = 1.11, soit : n' = 1.11 n.

Pour obtenir  $\alpha=0.95$ , il faut donc introduire le dioxyde de soufre et l'oxygène dans le rapport  $\frac{n'}{2n}=0.555$ , d'où les proportions :

$$\frac{V_{air}}{V_{dioxyde}} = \frac{n_{O_2} + n_{N_2}}{n_{SO_2}} = \frac{5}{2} x = 2,77.$$

Ce résultat justifie le léger excès d'oxygène par rapport aux proportions stoechiométriques utilisé industriellement.

- 4.4. L'oléum contient du dioxyde de soufre, du trioxyde de soufre et de l'acide sulfurique.
- \* A l'aide d'iode ( $E^0_{I_2/I^-}=0.54$  V), on dose 1e dioxyde de soufre ( $E^0_{SO_4}^{2-}/SO_2=0.2$  V).

$$SO_2 + I_2 + 6 H_2O \rightarrow SO_4^{2-} + 2 I^- + 4 H_3O^+$$

$$[I_2] = 5 \cdot 10^{-2} \text{ mol. } 1^{-1}$$

$$v_{SO_2} = 100 \text{ ml} \qquad v_{I_2} = 6 \text{ ml},$$

$$[SO_2] = 3 \cdot 10^{-3} \text{ mol. } 1^{-1}.$$

Dans l'échantillon, il y a donc 3 · 10-3 mol de SO<sub>2</sub>, soit 0,192 g.

\* A l'aide de l'hydroxyde de sodium, on dose l'acide sulfurique mais aussi le trioxyde de soufre et le dioxyde de soufre ou les acides correspondants qui sont tous des « diacides ». Le nombre de moles total est donc, pour un litre de :

$$\frac{1}{2} \frac{5 \cdot 10^{-1} \cdot 37,2}{100} = 0,093.$$

Il y a  $3 \cdot 10^{-3}$  mol. de  $SO_2$ , d'où :

$$n_{SO_3} + n_{H_2SO_4} = 0.09.$$

D'autre part :

$$m_{SO_3} + m_{H_2SO_4} = m_{tot} - m_{SO_2} = 8.1 \text{ g},$$

d'où le système :

$$80 n_{SO_3} + 98 n_{H \circ SO_4} = 8,1$$

et:

d'où:

$$n_{SO_3} + n_{H_2SO_4} = 0.09$$

soit:

$$n_{SO_2} = 4 \cdot 10^{-2} \text{ mol}$$

$$n_{\rm H_2SO_4} = 5 \cdot 10^{-2}$$
 mol.

En conclusion:

|                                | nombre de moles      | masse (g) |
|--------------------------------|----------------------|-----------|
| SO <sub>2</sub>                | 3 • 10 <sup>-3</sup> | 0,192     |
| SO <sub>3</sub>                | 4 • 10-2             | 3,2       |
| H <sub>2</sub> SO <sub>4</sub> | 5 • 10-2             | 4,9       |

## CHIMIE ORGANIOUE

#### 1. Préliminaires.

1.1. Utilisons les règles de la nomenclature officielle [7], [8] pour nommer les différents corps étudiés.

$$CH_3 - CH_2 - CH_2 - CHOH - CH_3$$
: pentanol-2,  $(CH_3)_2 CH - CHOH - CH_3$ : méthyl-3 butanol-2,  $C_6H_5 - CHOH - CH_3$ : phényl-1 éthanol.

1.2. Diméthyl-2,2 butane diol-1,3:

Méthyl-2 butyne-3 ol-2:

$$\begin{array}{ccc} H & OH \\ \downarrow & \downarrow \\ C & C & C & C \equiv CH \\ \downarrow & \downarrow \\ H & CH_3 \end{array}$$

1.3. Butanol-1: CH<sub>3</sub> -- CH<sub>2</sub> -- CH<sub>2</sub> -- CH<sub>2</sub> OH.

Butanol-2 (R et S) : 
$$CH_3 - CH_2 - \dot{CH} - CH_3$$
  
OH

Méthyl-2 propanol-1 : 
$$H_3C - C - CH_2OH$$
.

Méthyl-2 propanol-2 : 
$$CH_3 - C - CH_3$$
.

Soit, au total, 5 isomères.

# 2. LE MÉTHANOL CH<sub>3</sub> — OH.

\* L'indice d'octane mesure les performances d'un carburant en indiquant la résistance qu'il offre à l'auto-inflammation (« knocking » ou cognement) : une essence a l'indice n, si elle résiste à une augmentation de pression de la même façon qu'un mélange contenant n volumes de triméthyl-2,2,4 pentane (« isooctane ») et (100-n) volumes d'heptane. Pour l'essence « ordinaire »,  $n \approx 86$ , pour le « super »,  $n \approx 96$ .

\* Préparation du méthoxy-diméthyl éthane ou méthyl-tertio butyl éther (M.T.B.E.) :

$$CH_{3} - C = CH_{2} + CH_{3}OH \rightarrow CH_{3} - C - OCH_{3}$$

$$CH_{3} - CH_{3}$$

Le mécanisme le plus probable étant :

$$CH_{3}$$
 $CH_{3}$ 
 $C$ 

- \* Oxydations du méthanol:
  - déshydrogénation :

En présence de cuivre ou d'argent, le méthanol est déshydrogéné et conduit au méthanal :

$$CH_3 - OH \rightarrow C = O + H_2$$

$$H$$

$$AH_1 - + 84 \text{ kI mol}^{-1}$$

$$(1)$$

Cette réaction est endothermique.

- oxydation par l'oxygène de l'air :

En présence d'air, l'hydrogène brûle, il y a alors oxydéshydrogénation du méthanol :

CH<sub>3</sub> – OH + 1/2 O<sub>2</sub> 
$$\rightarrow$$
 H  $C = O + H_2O$  (2)  $\rightarrow$   $\Delta H_2 = -159 \text{ kJ. mol}^{-1}$ .

L'équation (2) traduisant les deux étapes :

$$CH_3 - OH \rightarrow H_2CO + H_2 (1) \Delta H_1$$
  
 $H_2 + 1/2 O_2 \rightarrow H_2O (3) \Delta H_3$ 

avec:

et.

$$\Delta H_3 = -243 \text{ kJ. mol}^{-1}$$
.

C'est la réaction (3) qui assure l'exothermicité de l'oxydéshydrogénation et permet ainsi de travailler à des températures plus basses sans qu'il y ait besoin d'entretenir le chauffage du catalyseur.

Un autre procédé, réalisant directement l'oxydation du méthanol en méthanal utilise un catalyseur, mélange de  $Fe_2O_3$  et de  $MoO_3$ .

## 3. L'éthanol C<sub>2</sub>H<sub>5</sub>OH.

L'éthanol est fabriqué industriellement à partir d'éthylène, selon deux procédés :

— hydratation indirecte par addition de  $H_2SO_4$  et hydrolyse des esters sulfuriques obtenus :

$$CH_2 = CH_2 + H_2SO_4 \rightarrow C_2H_5O - SO_3H$$
  
 $C_2H_5O - SO_3H + CH_2 = CH_2 \rightarrow (C_2H_5O)_2SO_2.$ 

L'hydrolyse conduit à un mélange d'éthanol, d'éthoxyéthane et d'acide sulfurique.

— hydratation catalytique, de préférence en phase gazeuse (300°C; 70 bars) en présence de catalyseur acide (H<sub>3</sub>PO<sub>4</sub>/SiO<sub>2</sub>):

$$H_2C = CH_2 + H_2O \stackrel{H^+}{\rightleftharpoons} C_2H_5OH.$$

Le taux de conversion est faible (4 %) aussi procède-t-on par recyclage.

\* L'éthanol est utilisé pour la synthèse de l'éthanoate d'éthyle :

$$CH_{3}-C \bigvee_{OH}^{O} + C_{2}H_{5}OH \rightleftharpoons CH_{3}-C \bigvee_{O}^{O} + H_{2}O$$

$$O C_{2}H_{5}$$

En catalyse acide, le mécanisme est le suivant :

$$CH_{3} - C = 0 - R$$

$$CH_{3} - C - 0 - R$$

$$CH_{3} - C - 0 - R$$

$$CH_{3} - C - 0 - C_{2}H_{5}$$

En présence d'acide sulfurique, le propène donne l'hydrogéno-sulfate de méthyl éthyle :

$$CH_{3} - CH = CH_{2} + H^{+} - D CH_{3} - CH - CH_{3}$$
 $CH_{3} - CH - CH_{3} + O CH_{3} - CH - CH_{3}$ 
 $CH_{3} - CH - CH_{3} + O CH_{3} - CH - CH_{3}$ 
 $CH_{3} - CH - CH_{3} + O CH_{3} - CH - CH_{3}$ 

\* Le carbocation qui se forme est plus stable que celui qu'on obtiendrait avec l'éthylène ( $C_2H_5^+$ ), aussi la réaction estelle plus rapide avec le propène qu'avec l'éthylène.

Par action de l'eau, il se produit une dilution et surtout une hydrolyse :

\* Le mélange final contient, outre le propanol-2, de la propanone et du méthyl éthyloxy méthyl éthane. La propanone provient de l'oxydation du propanol-2 par l'acide sulfurique concentré. L'éther résulte de la réaction qui se produit entre le carbocation et le propanol-2:

5. LE BUTANOL-1: CH<sub>3</sub> — CH<sub>2</sub> — CH<sub>2</sub> — CH<sub>2</sub>OH.

En présence d'hydroxyde de sodium, l'éthanal conduit à un aldol A : l'hydroxy-3 butanal :

Le mécanisme en milieu basique est le suivant :

\* En présence d'acide éthanoïque vers 90°C - 110°C, on observe une crotonation (déshydratation) :

**B** est le butène-2, al appelé aldéhyde crotonique ou crotonaldéhyde.

Le butène-2, al est alors hydrogéné sur des catalyseurs à base de Cu — Cr à 170° C - 180° C. Ce procédé est utilisé aux Etats-Unis et au Japon pour préparer une partie de leur butanol-1.

Le nickel est aussi utilisé comme catalyseur.

Le passage de A à B suppose une catalyse acide :

$$CH_{3} - C - CH_{2} - C = CH_$$

L'extraction de l'eau par distillation a pour effet de déplacer l'équilibre dans le sens d'une plus grande formation de butène-2, al.

6. LE « GLYCOL » OU ÉTHANE DIOL-1,2 : HOCH2 — CH2OH.

L'éthane diol-1,2 est aujourd'hui essentiellement préparé par hydrolyse de l'oxyde d'éthylène. L'oxyde d'éthylène ou oxiranne est obtenu par action de l'oxygène sur l'éthylène en présence d'argent ou d'oxyde d'argent :

$$CH_2 = CH_2 + 1/2 O_2 \rightarrow H_2C - CH_2$$
O

Afin d'éviter la combustion de  $C_2H_4$  et de  $C_2H_4O$ , le mélange réactionnel est additionné de dichloro-1,2 éthane.

L'oxyde d'éthylène est alors hydrolysé :

$$H_2C - CH_2 + H_2O \rightarrow HOH_2C - CH_2OH.$$

En milieu acide, le mécanisme est le suivant :

\* L'éthane diol-1,2 réagit avec l'acide benzène dicarboxylique-1,4 (ou acide téréphtalique); on dit qu'il y a polycondensation (fig. 9):

le maillon élémentaire de la fibre étant représenté entre crochets et en caractères gras.

7. Le glycérol ou propane triol-1,2,3 : 
$$CH_2 - CH - CH_2$$
 OH OH OH

Le propane triol-1,2,3 a un point d'ébullition élevé (290°C); cela s'explique par la présence de très nombreuses liaisons hydrogènes intermoléculaires. Ceci explique aussi que le propane triol-1,2,3 soit souvent utilisé comme antigel, comme agent d'humidification ou comme lubrifiant.

Par polycondensation le propane triol-1,2,3 donne, avec l'anhydride orthophtalique, des résines. Dans un premier temps, il se forme des macromolécules linéaires (fig. 10):

Fig. 10

puis, vers 250°C, par estérification des fonctions alcool secondaires, il se forme un polymère tridimensionnel (fig. 11) d'où le durcissement progressif observé.

Fig. 11

Les principales réactions étudiées en chimie organique sont très bien décrites dans l'ouvrage de K. Weissermel et H.-J. Arpe [9]. Pour les mécanismes, on se reportera aux ouvrages de chimie organique théorique classique [10], [11] et [12] par exemple.

André Durupthy, (Lycée Jean-Perrin. Marseille).

#### BIBLIOGRAPHIE

- [1] J. SALA-PALA. Bulletin de l'Union des Physiciens. B.U.P. n° 648, 201, 1982.
- [2] M. BERNARD. B.U.P. nº 654, 1053, 1983.
- [3] J. WALLON. B.U.P. nº 619, 359, 1979.
- [4] A. Dubois-Salmon. Chimie de l'état solide. Masson, Paris, 1978.
- [5] M. Bernard. Chimie minérale. Tome 2. Armand Colin, Paris, 1968.
- [6] M. GARRIC. Cours de chimie. Tome 2, p. 74. Dunod, Paris, 1971.
- [7] N. LOZAC'H. La nomenclature en chimie organique. Masson, Paris, 1967.
- [8] Société Chimique de France. Règles de nomenclature pour la chimie organique.
- [9] K. Weissermel, H.-J. Arpe. Chimie organique industrielle. Masson, Paris, 1981.
- [10] ALLINGER et Cie. Chimie organique. Mc Graw Hill, Paris, 1976.
  3 volumes.
- [11] P. ARNAUD. Chimie organique. Dunod, Paris, 1981.
- [12] R. DIDIER, J. FOURNIER. Manuel de chimie organique. Mc Graw Hill. Paris, 1983.

# Agrégation

SESSION DF 1983

# **OPTION PHYSIQUE**

## **Epreuve C**

## PROBLEME DE PHYSIQUE

(Durée : 6 heures)

Il n'y a pas à distribuer de papier millimétré.

D'autre part, les candidats qui penseraient avoir repéré une anomalie dans le libellé d'une (ou plusieurs) question (s) le noteront dans leur copie, en exposant succinctement les raisons de leurs doutes, et la réinterprétation qu'ils pensent judicieux d'apporter à l'énoncé. Il est inutile qu'ils interrogent à ce sujet les personnes chargées de la surveillance de l'épreuve, qui ont mission de ne procéder à aucune communication relative aux sujets des épreuves.

Ce problème a pour but l'étude de certaines propriétés des supraconducteurs, qui présentent de nombreux comportements surprenants, autres que l'absence de résistivité; ces comportements proviennent fondamentalement du fait que ce sont, dans un sens que le problème précisera, des systèmes quantiques macroscopiques.

Dans la première partie, on étudie la nature de la transition métal normal ←→ supraconducteur dans le cadre de la mécanique quantique.

Dans la seconde partie, on établit l'équation fondamentale du comportement d'un supraconducteur dans un champ magnétique (équation de London) et on étudie quelques conséquences immédiates.

La troisième partie est consacrée à quelques autres phénomènes magnétiques dans les supraconducteurs.

On utilisera les formules mathématiques et données numériques ci-après :

 $\zeta(x)$  dénotant la fonction de Riemann :  $\zeta(x) = \sum_{p=1}^{\infty} p^{-x}$ , on a :

$$\xi\left(\frac{3}{2}\right) = \sum_{p=1}^{\infty} p^{-3/2} = 2,612$$
 et  $\xi\left(\frac{5}{2}\right) = \sum_{p=1}^{\infty} p^{-5/2} = 1,341$ 

 $\Gamma(x)$  dénotant la fonction d'Euler :

$$\Gamma(x) = \int_0^\infty dt \, e^{-t} \, t^{x-1}, \text{ on a :}$$

$$\Gamma\left(\frac{3}{2}\right) = \int_0^\infty dx \, e^{-x} \, x^{1/2} = \frac{\sqrt{\pi}}{2}.$$

Enfin, pour tout champ de vecteurs  $\mathbf{H}$ , de composantes  $\mathbf{H}_1$ ,  $\mathbf{H}_2$ ,  $\mathbf{H}_3$  dans un repère orthonormé  $Ox_1 x_2 x_3$ , on peut définir un autre champ de vecteurs, noté ( $\mathbf{H} \cdot \mathbf{grad}$ )  $\mathbf{H}$  de composante suivant  $Ox_i$ :

$$\sum_{i} H_{i} \frac{\partial H_{j}}{\partial r_{i}}$$

Ce champ de vecteurs satisfait à l'identité :

$$(\mathbf{H} \cdot \mathbf{grad}) \mathbf{H} = -\mathbf{H} \wedge \mathbf{rot} \mathbf{H} + 1/2 \mathbf{grad} (\mathbf{H}^2).$$

Constantes physiques:

masse de l'électron :  $m_e = 0.911 \, 10^{-30} \, \text{kg}$ ,

constante de Planck : h avec  $h = \frac{h}{2\pi} = 1,05 \cdot 10^{-34} \text{ J. s.}$ 

charge de l'électron :  $-e = -1,60 \, 10^{-19} \, \text{C}$ ,

constante de Boltzmann :  $k_{\rm B} = 1{,}38\,10^{-23}\,{\rm J.\,K^{-1}}$  (soit environ  $1/12\,000\,{\rm eV.\,K^{-1}}$ ).

nombre d'Avogadro :  $\mathfrak{I} = 6.02 \, 10^{23}$ .

Il est rappelé que, dans tous les problèmes liés à une description de la matière à l'échelle atomique, il est le plus souvent judicieux d'effectuer les évaluations numériques dans le « système d'unités atomiques ». On trouvera ci-après, en même temps que leur expression littérale, la valeur numérique, (exprimée avec les unités du Système International), des principales unités atomiques :

unité : — de masse : 
$$m_e$$
 (masse de l'électron), — de charge :  $e$  (charge élémentaire),  $e$  cf. valeurs dessus  $e$  dessus  $e$  de longueur :  $e$  cf. valeurs dessus  $e$  dessus  $e$  dessus  $e$  de longueur :  $e$  cf. valeurs dessus  $e$  dessus  $e$  dessus  $e$  de longueur :  $e$  cf. valeurs dessus  $e$  dessus  $e$  dessus  $e$  de longueur :  $e$  cf. valeurs dessus  $e$  dessus  $e$  de longueur :  $e$  consider  $e$  consider  $e$  longueur :  $e$  consider  $e$  consi

(= « constante de structure fine ») 
$$\simeq \frac{1}{137}$$
. La vitesse

de la lumière, c, vaut donc à très peu près 137 unités atomiques,

- de champ magnétique : 
$$B_0 = \frac{e^3 m_e^2}{(4 \pi \epsilon_0)^2 h^3} = 2,35 \cdot 10^5 \text{ Tesla.}$$

(Le champ créé, au niveau du noyau, par l'électron sur la « première orbite de Bohr » vaut :

$$B_B = \alpha^2 B_0 = 12,52 \text{ Tesla}$$
,

— de moment magnétique 
$$\widetilde{\mu_0} = 2 \mu_B = 2 \times \left(\frac{1}{2} - \frac{eh}{m_e}\right)$$
,

(où le « magnéton de Bohr » 4.B vaut 5,79 10-5 eV/Tesla).

Les formules obtenues à partir des unités et relations valables dans le Système International peuvent se transposer au système atomique en prenant (avec les notations usuelles):

$$4\pi \,\epsilon_0 = 1$$
 (au lieu de  $\simeq \frac{1}{9} \, 10^{-9} \, \text{SI}$ )

 $\frac{\mu_0}{4\pi} = \alpha^2 = \left(\frac{1}{137}\right)^2$  (au lieu de 10-7 en SI).

Ţ

#### I.1º Etats quantiques.

On considère une particule de masse m dans une boîte parallélépipède rectangle, de côtés parallèles aux axes  $Ox_1$ ,  $Ox_2$ ,  $Ox_3$  d'un repère orthonormé; les longueurs de ces côtés valent respectivement  $l_1$ ,  $l_2$ ,  $l_3$ , et le volume de la boîte est  $V = l_1$   $l_2$   $l_3$ .

On rappelle l'équation de Schrödinger :

(1) 
$$i \, h \, \frac{\partial \psi}{\partial t} = -\frac{h^2}{2 \, m} \left( \frac{\partial^2 \psi}{\partial x_1^2} + \frac{\partial^2 \psi}{\partial x_2^2} + \frac{\partial^2 \psi}{\partial x_2^2} \right)$$

 $\mathbf{x}$  de coordonnées cartésiennes  $x_1$ ,  $x_2$ ,  $x_3$  représente la position de la particule, t est le temps et  $\psi$  la fonction d'onde. L'existence de la boîte est représentée par les conditions aux limites :

(2) 
$$\psi(x_1 + l_1, x_2, x_3) = \psi(x_1, x_2 + l_2, x_3) \dots \\ \dots = \psi(x_1, x_2, x_3 + l_3) = \psi(x_1, x_2, x_3).$$

a) Montrer que l'équation (1), compte tenu des conditions aux limites (2), admet une solution générale de la forme :

$$\psi = \exp i \left( \mathbf{k} \cdot \mathbf{x} - \omega t \right)$$

et préciser les valeurs admissibles pour les coordonnées du « vecteur d'onde » k.

- b) Quelle relation lie k et l'énergie cinétique  $E_C$  de la particule ? Montrer que cette énergie cinétique est quantifiée.
- c) Montrer que dans un élément de volume  $d^3\mathbf{p}$  de l'espace des quantités de mouvement il y a un nombre d'états quantiques égal à V  $d^3\mathbf{p}/h^3$ . En déduire que dans un intervalle d'énergie d  $E_C$ , il y a un nombre d'états :

(3) 
$$d n(E_C) = \frac{V}{4\pi^2} \left(\frac{2m}{h^2}\right)^{3/2} E_C^{1/2} d E_C.$$

I.2º Gaz parfait de Fermi-Dirac.

On considère une collection de  $N_1$  particules identiques telles que celle de la question précédente, dans la boîte et sans interactions entre elles. Ceci représente une première approximation pour les électrons libres d'un métal se déplaçant dans le fond continu des ions positifs du réseau cristallin.

Chaque électron est un fermion : comme tel, il obéit au principe de Pauli et à la statistique de Fermi-Dirac. De plus, il est doté d'un moment cinétique de spin : le dénombrement correct des états quantiques qui lui sont accessibles impose de prendre en compte la « dégénérescence de spin » correspondant à ce moment cinétique.

a) Quelle est la configuration pour laquelle l'énergie cinétique totale des électrons est minimale? Dans cette configuration, montrer que l'énergie cinétique des électrons les plus rapides est :

(4) 
$$E_{F} = \frac{\hbar^{2}}{2 m_{e}} \left( \frac{3 \pi^{2} N_{1}}{V} \right)^{2/3}$$

Calculer en électron-volt l'énergie cinétique  $E_F$ , dite énergie de Fermi, pour le cas du plomb, de nombre de masse 207, de masse volumique  $11,6\,10^3$  kg. m $^{-3}$ , et ayant deux électrons libres par atome. A quelle température  $T_F'$  correspond une telle énergie pour un gaz parfait monoatomique classique ? On posera  $T_F = 3/2$   $T_F'$ . Evaluer numériquement  $T_F$ .

b) On rappelle que dans la statistique de Fermi-Dirac, le nombre moyen de particules dans un état quantique i d'énergie  $E_i$  est, à l'équilibre à la température T:

(5) 
$$n_{+}(E_{i}) = \frac{1}{e^{\beta(E_{i}-\mu)}+1}$$

où 
$$\beta = \frac{1}{k_B T}$$
 et  $\mu$  est une constante.

Pour T=0, donner l'allure de  $n_+$  (E). Montrer qu'à T=0, on a  $u=E_F$ . Donner l'allure de  $n_+$  (E) pour  $T\leqslant T_F$ .

c) On considère que le nombre  $N_1$  de particules est susceptible de varier. L'énergie libre  $F_+$  (T, V,  $N_1$ ) du système est donnée par :

(6) 
$$F_{+} = -k_{B} T \sum_{i} \ln (1 + e^{-\beta (E_{i} - \mu)}) + N_{1} \mu.$$

Montrer que u est le potentiel chimique du système.

d) Montrer qu'à basse température (T  $\ll$  T<sub>F</sub>), on a :

$$N_1 \, = \, \frac{V}{3 \, \pi^2} \left( \frac{2 \, m_e}{h^2} \, \mu \, \right)^{3/2} \! \left( 1 + \frac{\pi^2}{8} \, \frac{k_B^2 \, T^2}{\mu^2} + \dots \, \right)$$

On utilisera la formule :

$$\int_{0}^{\infty} \frac{f(E) dE}{\exp\left(\frac{E - \mu}{k_{\rm B} T}\right) + 1} = \int_{0}^{\mu} f(E) dE + \frac{\pi^{2}}{6} k_{\rm B}^{2} T^{2} f'(\mu) + 0 (T^{4}).$$

Quel est l'ordre de grandeur numérique du terme correctif  $\frac{k_B^2 T^2}{\mu^2}$  à T = 10 K pour le cas du plomb?

- e) De (6), et des résultats précédemment obtenus, on peut chercher à tirer une expression approchée de l'énergie  $F_+$ , valable pour  $T \ll T_F$ . On suivra pour cela la démarche décrite ci-après :
- (i) Evaluer  $F_+$ , au second ordre en  $\frac{T}{T_F}$ , en fonction de V,  $\mu$  et  $\frac{T}{T_F}$ , (ainsi que des constantes physiques intervenant dans le problème).
- (ii) Il sera plus utile, pour la suite, de disposer d'une expression de  $F_+$  où  $N_1$  figure, comme variable, à la place de  $\mu.$  Pour préparer ce changement de variable, calculer  $\mu$  en fonction de  $N_1,\ V, \frac{T}{T_F}$ , (et de constantes), toujours au second ordre en  $\frac{T}{T_F}$ .
- (iii) Montrer finalement que l'expression cherchée de F<sub>+</sub> a la forme :

(7) 
$$F_{+}(N_{1}, V, T) = AV \left(\frac{N_{1}}{V}\right)^{5/3} \left[1 - \gamma \left(\frac{T}{T_{F}}\right)^{2}\right]$$

et évaluer les quantités A et y.

#### I.3º Gaz parfait de Bose-Einstein.

On reprend le système de la question précédente en substituant aux  $N_1$  électrons  $N_2$  bosons de masse m', et de moment cinétique de spin nul. La seule énergie à prendre en compte reste l'énergie cinétique ; celle-ci est nulle dans l'état fondamental, et l'on prendra également nulle, (par un choix convenable de l'origine des énergies), l'énergie  $E_0$  de cet état.

On rappelle que dans la statistique de Bose-Einstein, le nombre moyen de particules dans un état quantique i d'énergie  $E_i$  est, à l'équilibre à la température T:

(8) 
$$n_{-}(\mathbf{E}_{i}) = \frac{1}{e^{g}(\mathbf{E}_{i}-\mu)-1}.$$

L'énergie libre F\_ (T, V, N<sub>2</sub>) du système a pour expression :

(9) 
$$F_{-} = k_B T \sum_{i} \ln (1 - e^{\beta (E_4 - \mu)}) + N_2 \mu.$$

- a) Montrer que u est le potentiel chimique et qu'on a u < 0.
- b) (i) Montrer que, dans la mesure où l'on peut ignorer la quantification des énergies, et représenter les états par la densité d'états continue (3), on est amené à prédire qu'un nombre N<sub>0</sub> de particules trouvera place dans l'ensemble des états quantiques disponibles, avec :

(10) 
$$N_0 = V \left( \frac{m' k_B T}{2 \pi h^2} \right)^{3/2} \sum_{p=1}^{\infty} p^{-3/2} e^{p \beta \mu}.$$

(ii) Pour T fixée, et μ décrivant son domaine admissible de variation, montrer que N<sub>0</sub> est bornée supérieurement par une valeur maximale N<sub>m</sub>. Pour quelle valeur de μ a-t-on N<sub>0</sub> = N<sub>m</sub>?

Dans les conditions où  $N_0=N_m$ , calculer l'énergie cinétique moyenne par particule pour les  $N_0$  bosons occupant l'ensemble des états quantiques. Calculer la longueur d'onde de de Broglie correspondant à cette énergie moyenne, et la comparer à la distance moyenne entre particules.

- c) Si le nombre  $N_2$  de bosons à placer dans les états quantiques est supérieur à  $N_m$ , il convient de modifier les conditions du calcul précédent, de manière à ne pas être gêné par la borne supérieure  $N_m$  imposée à  $N_0$ .
  - (i) Montrer qu'une fraction f finie des N<sub>2</sub> bosons peut trouver place dans l'état fondamental, le potentiel chimique devenant :

$$\mu \simeq -\frac{k_{\rm B}T}{f\,{
m N}_2}.$$

- (ii) Montrer que cette « condensation de Bose » n'intéresse effectivement que le seul état fondamental : pour cela, considérer un échantillon de taille macroscopique et montrer que, même pour les tout premiers états excités (pourtant très voisins du fondamental en énergie), les conditions de remplissage sont très différentes de celles du fondamental, et peuvent être convenablement décrites par l'approximation continue du paragraphe b) ci-dessus.
- (iii) Montrer que, suivant la valeur de la température, le système peut exister dans deux états différents : avec ou sans condensation de Bose dans l'état fondamental.

Calculer la température de transition, ou « température critique ». To, en fonction de la densité de particules

$$\frac{N_2}{V}$$
 et des constantes du problème.

La transition entre les deux états est-elle de première ou de seconde espèce ? (Justifier la réponse.)

Que vaut la chaleur massique à volume constant pour des températures inférieures à T<sub>C</sub>?

- d) Pour une température T inférieure à la température de transition T<sub>C</sub>, on se propose d'évaluer l'énergie libre F<sub>-</sub> du système de bosons dans l'état avec condensation.
  - (i) Montrer que, dans l'expression (9) de F\_, la contribution du dernier terme, N<sub>2</sub>u est négligeable, et que le premier peut être évalué, dans l'approximation d'une description continue des états, au moyen d'une intégrale, l'état fondamental lui-même n'apportant pas de perturbation au calcul.
  - (ii) Montrer finalement que F\_ est de la forme :

(11) 
$$F_{-} = B V (k_B T)^{5/2}$$
 et préciser l'expression du facteur B.

I.4° Modèle à deux fluides.

La supraconductibilité est interprétée dans un modèle simple comme la possibilité pour deux électrons de former une sorte d'état lié, ou paire, d'énergie :

$$E = 2 E_F (1 - \delta) + \frac{h^2 K^2}{4 m_e}$$

où  $E_F$  est donné dans la question  $I.2^{\circ}$  a);  $\delta$  est un nombre positif d'ordre  $10^{-4}$  et h K la quantité de mouvement de la paire. Ces paires de fermions se comportent comme des bosons de spin zéro. En dehors de la possibilité de « réaction chimique » selon :

$$e^- + e^- \rightleftharpoons paire$$
,

on considère que les électrons libres et les paires se comportent comme les gaz parfaits quantiques étudiés dans les questions précédentes.

- a) Quelle est, à l'équilibre, la relation entre le potentiel chimique  $\mu_1$  des électrons et celui  $\mu_2$  des paires?
- b) Quelle est la valeur maximale de  $\mu_2$ ? En déduire qu'à basse température, le nombre maximal  $N_{1\ max}$  d'électrons libres est :

$$N_{1 max} \simeq N \left(1 - \frac{3}{2} \delta\right)$$

où N est le nombre total d'électrons.

c) En déduire que la température T<sub>C</sub> où le gaz de paires subit la condensation de Bose-Einstein vérifie la relation :

$$\frac{3}{4} \delta \frac{N}{V} = 2,612 \left( \frac{m_e k_B T_C}{\pi h^2} \right)^{3/2}.$$

A la température  $T_C$  le métal devient supraconducteur ; calculer numériquement  $\delta$  pour le cas du plomb où  $T_C=7.2~{\rm K}.$ 

- d) Quelle est, en fonction de la température T, la densité volumique  $\varrho_s$  des paires condensées dans l'état fondamental ? On introduira dans l'expression de  $\varrho_s$  la température  $T_c$ .
- e) En utilisant les résultats des questions  $I.2^{\circ}$  e) et  $I.3^{\circ}$  d), calculer, pour  $T < T_c$ , l'énergie libre  $F_s$  du système électronspaires, par un développement, poussé au second ordre, en  $\delta$ . (On notera qu'il est nécessaire d'aller au second ordre pour ne pas effacer toute dépendance par rapport à cette variable.)

H

## II.1º Equation de London.

En présence d'un champ magnétique stationnaire **B**, de potentiel vecteur **A**, l'équation de Schrödinger devient, pour une particule qui n'est pas soumise à d'autre action que celle du champ **B**:

$$i\, h\, \frac{\partial \psi}{\partial t}\, =\, -\, \frac{\hbar^2}{2\, m} \bigg(\,\, \Delta \psi\, -\, \frac{2\, iq}{\hbar}\, \mathbf{A} \cdot \mathbf{grad}\, \psi\, -\, \frac{iq}{\hbar}\, \psi\, \mathrm{div}\, \mathbf{A} -\, \frac{q^2}{\hbar^2}\, \mathbf{A}^2\, \psi\,\,\bigg)$$

où q est la charge de la particule de masse m et  $\Delta$  l'opérateur Laplacien. On désignera par un astérisque l'opération de conjugaison complexe.

a) Vérifier que la densité de probabilité  $\psi^*\psi$  satisfait l'équation de continuité :

(12) 
$$\begin{cases} \frac{\partial}{\partial t} (\psi^* \psi) = -\operatorname{div} \mathbf{J} \\ \operatorname{avec} : \\ \mathbf{J} = -\frac{i\hbar}{2 m} (\psi^* \operatorname{grad} \psi - \psi \operatorname{grad} \psi^*) - \frac{q\mathbf{A}}{m} \psi^* \psi. \end{cases}$$

Ouelle est l'interprétation physique de J?

- b) On pose  $\psi = \varrho^{1/2} e^{i\vartheta}$ , où  $\varrho$  et  $\vartheta$  sont deux fonctions réelles des coordonnées d'espace. Exprimer J en termes de A,  $\varrho$  et  $\vartheta$ .
  - c) (i) Montrer que, en l'absence de champ, la fonction d'onde décrivant une particule, confinée dans un volume V, dans l'état fondamental d'énergie nulle est une constante, qu'on peut d'ailleurs prendre réelle.
    - (ii) Montrer que la fonction d'onde Ψ décrivant, dans les mêmes conditions, un ensemble de n particules « conden-

sées » dans l'état fondamental est elle-même une constante.

Exprimer cette valeur constante de  $\Psi$  en fonction du nombre  $\varrho_s = \frac{n}{V}$  de particules par unité de volume,

(V représentant le volume auquel les particules sont confinées).

- (iii) On admettra que, de la fonction d'onde à n particules Ψ, on peut, par les relations (12), continuer à tirer un champ de vecteurs J qui, mutatis mutandis, garde la même interprétation physique que celle définie au paragraphe a) précédent dans le cas d'un état à une seule particule décrit par la fonction d'onde ψ. On admettra, de plus, que si l'on soumet maintenant le système à un champ magnétique B dérivant d'un potentiel A:
  - la densité volumique de particules garde la valeur  $\varrho_s$  inchangée;
  - la fonction d'onde  $\Psi$  à n particules prend la forme indiquée, (pour la fonction d'onde à une particule), au paragraphe b);
  - les relations (12) restent valables pour  $\Psi$  et J.

De l'ensemble des propriétés ainsi démontrées ou admises, déduire la relation :

(13) 
$$\operatorname{rot} \mathbf{B} = -\lambda^{2} \mathbf{B}, \quad \operatorname{avec} \quad \lambda^{2} = \frac{2 \varrho_{s} \mu_{0} e^{2}}{m_{e}}$$

(équation de London).

Evaluer numériquement  $\lambda^{-1}$  pour le plomb à 0 K. Comparer à la distance moyenne entre électrons et entre paires.

II.2° Effet Meissner.

parallèle aux génératrices du cylindre. Montrer que le champ magnétique à l'intérieur du supraconducteur est nul, sauf dans une petite

couche au voisinage de la surface et d'épaisseur de l'ordre de  $\frac{1}{\lambda}$ 

(effet Meissner). Quelle est la distribution des courants dans le supraconducteur?

N.B. — Dans la suite du problème, on admettra que cette propriété d' « écrantage » des champs extérieurs suffisamment peu intenses, qui conduit à un champ magnétique nul dans la masse du matériau supraconducteur, est une propriété générale, valable pour un échantillon de forme quelconque, et qui n'est donc pas restreinte à la seule géométrie simple examinée précédemment.

b) On fait l'approximation 
$$\dfrac{1}{\lambda} \simeq 0$$
, et on considère un supra-

conducteur dans un champ magnétique comme un milieu aimanté diamagnétique. Quelle est sa susceptibilité magnétique? Quelle est l'excitation magnétique H dans la configuration de la question précédente? Vérifier en particulier les conditions aux limites à la surface du supraconducteur.

## II.3º Champ critique et propriétés thermodynamiques.

Cette question permettra d'esquisser une étude thermodynamique des supraconducteurs, et de caractériser certaines propriétés électromagnétiques et thermiques de la transition « matériau normal  $\longleftrightarrow$  matériau supraconducteur ».

Cette étude sera menée en prenant comme variable le volume V, la température T, et le champ extérieur  $\mathbf{B}_a$  considéré dans les questions précédentes : on peut ainsi considérer que le système est en contact avec un thermostat dont on contrôle la température T, et enfermé dans un solénoïde traversé par un courant dont on fixe à volonté l'intensité. Dans ces conditions, l'équilibre thermodynamique pourra être caractérisé par une condition d'extremum portant sur « l'enthalpie libre » G, fonction de T et  $\mathbf{B}_a$ , (le volume V sera pris constant), avec :

(14) 
$$G(T, \mathbf{B}_a) = U - TS + \iiint_V \mathbf{H} \cdot \mathbf{B}_a d\tau$$

(où U est l'énergie interne, S l'entropie du système et **H** l'excitation magnétique).

- a) On considère une transformation isotherme à la température  $T < T_C$  dans laquelle le champ magnétique appliqué varie de  ${\bf B}_a$  à  ${\bf B}_a + d{\bf B}_a$  en restant uniforme et parallèle aux génératrices du cylindre étudié dans la question précédente. Montrer que le travail  $\delta W$  reçu par l'unité de volume du cylindre dans l'état supraconducteur a pour valeur  ${\bf H} \cdot d{\bf B}_a$ . Pour établir ce résultat on pourra, en utilisant l'équivalence indiquée à la question II.2° b) avec un milieu diamagnétique, identifier  $\delta W$  à un travail d'aimantation.
- b) Exprimer en fonction de  $B_a$  la variation d'enthalpie libre volumique du cylindre dans l'état supraconducteur lorsqu'on établit le champ à la température T ( $T < T_C$ ), soit  $G_S$  (T,  $B_a$ )  $G_S$  (T, 0).
- c) En déduire, pour la température  $T < T_C$ , l'existence d'un champ critique  $B_{ac}$ , tel que si  $B_a > B_{ac}$  l'état stable est l'état normal. On établira la relation entre  $B_{ac}$  et la différence  $G_N(T,0) G_S(T,0)$  des enthalpies libres volumiques à la température T de l'état normal et de l'état supraconducteur lorsque  $B_a = 0$ .
- d) Reprenant l'interprétation de la question II.2° b') où on considère le supraconducteur comme un milieu diamagnétique, tracer à

température fixée  $T < T_{\rm C}$  la courbe donnant la variation du champ magnétique B dans le cylindre en fonction de H.

e) En utilisant les résultats des questions I.2° e) et I.4° e), exprimer la différence  $G_N\left(T,0\right)-G_S\left(T,0\right)$  en fonction de N (nombre total d'électrons), du nombre de paires  $N_{paires}$ , de  $E_F$  et  $\delta$ . En déduire que la dépendance de  $B_{ac}$  vis-à-vis de T est de la forme :

$$B_{ac} = D \left[ 1 - \left( \frac{T}{T_C} \right)^{\nu} \right],$$

et préciser les valeurs de la constante D et de l'exposant  $\nu$ . Calculer  $B_{ac}$  à T=0~K et donner la valeur numérique correspondante pour le plomb.

f) Montrer que la chaleur latente volumique du changement d'état supraconducteur  $\rightarrow$  normal est :

$$-\frac{T}{\mu_0} B_{ac} \frac{dB_{ac}}{dT}.$$

Le changement d'état est-il de première ou de deuxième espèce ? Quelle est, à  $T=T_C$ , en champ nul, la discontinuité de la chaleur massique lors du passage de l'état supraconducteur à l'état normal ?

#### III

III.1º Supraconducteur en rotation.

On considère un cylindre supraconducteur de rayon  $R \gg \frac{1}{\lambda}$ , de

longueur infinie, en rotation uniforme autour de son axe en l'absence de champ magnétique extérieur. Soient  $\mathbf{v}_0(\mathbf{x})$  le champ des vitesses du réseau métallique au point  $\mathbf{x}$  à l'intérieur du supraconducteur,  $\mathbf{v}(\mathbf{x})$  le champ des vitesses des paires supraconductrices, ces vitesses étant définies dans le référentiel du laboratoire.

a) Montrer que le champ magnétique  ${\bf B}$  à l'intérieur du supraconducteur vérifie l'équation :

rot 
$$\mathbf{B} = -2 \mu_0 \varrho_s e(\mathbf{v} - \mathbf{v}_0)$$

où Qs est la densité des paires supraconductrices.

b) En déduire l'équation :

$${\rm rot} \ \ {\rm rot} \ B = - \, \lambda^2 \left( \, {\rm B} - 2 \, \frac{m_e}{e} \, \stackrel{\rightarrow}{\omega} \, \right)$$

où ω est le vecteur rotation du cylindre.

c) Calculer numériquement le champ magnétique à l'intérieur du cylindre en rotation pour  $\omega=10^3~\text{rad}.~\text{s}^{-1}.$ 

III.2° Sphère supraconductrice en champ magnétique.

Dans cette question, on se place dans l'approximation  $\frac{1}{\lambda} \simeq 0$ . On

considère une sphère supraconductrice de rayon R plongée dans un champ magnétique extérieur  $\mathbf{B}_0$  uniforme. On suppose  $\mathbf{B}_0$  assez faible pour que le champ magnétique à l'intérieur de la sphère soit nul, conformément aux résultats des questions précédentes.

a) On se place en coordonnées sphériques r,  $\vartheta$ ,  $\varphi$  (fig. 1). Le champ magnétique à l'extérieur de la sphère est supposé être donné par des composantes de la forme :

$$B_{r} = \left(B_{0} + \frac{2 \mu_{0} M}{4 \pi r^{3}}\right) \cos \vartheta$$

$$B_{\vartheta} = \left(-B_{0} + \frac{\mu_{0} M}{4 \pi r^{3}}\right) \sin \vartheta$$

$$B_{\varphi} = 0.$$

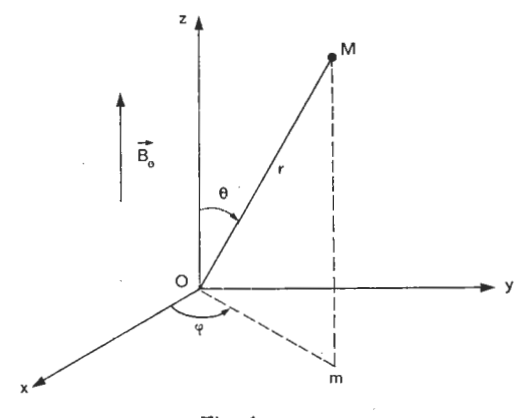


Fig. 1

- (i) Interpréter les différentes contributions à (15) et donner la signification physique du paramètre M intervenant dans (15).
- (ii) Déterminer ce paramètre M et la densité superficielle de courant sur la sphère pour que les champs à l'extérieur et à l'intérieur se raccordent comme il convient à la surface de la sphère.
- (iii) Montrer que (15) fournit effectivement la solution cherchée du problème de la sphère supraconductrice plongée dans un champ magnétique B<sub>0</sub> uniforme.

b) Quel est l'endroit de la surface de la sphère où le champ magnétique est maximal? En déduire que pour  $B_0 > \frac{2}{3}$   $B_{ac}$ , le champ magnétique peut pénétrer à l'intérieur de la sphère.

#### III.3º Etat intermédiaire

Dans cette question, on étudie de façon plus approfondie le comportement de la sphère de la question précédente pour les champs extérieurs compris entre  $\frac{2}{3}$   $B_{ac}$  et  $B_{ac}$ . Pour ces valeurs de  $B_0$ , la sphère se trouve dans ce qu'on appelle l'état intermédiaire, formé d'un mélange microscopique de parties supraconductrices d'où le champ magnétique est exclu, et de parties normales. Ce mélange n'est pas sans analogie avec les domaines de Weiss dans les corps ferromagnétiques. On considère donc à nouveau le matériau comme un milieu magnétique, distinguant les champs  ${\bf B}$  et  ${\bf H}.$  Soit  $\xi$  la fraction du matériau dans l'état normal.

- a) D'après la courbe B (H) de la question II.3° d), montrer que, dans toute partie du matériau qui est dans l'état intermédiaire, on doit avoir  $||\mathbf{H}||$  égal à une valeur constante notée  $H_C$ . En déduire que le champ  $\mathbf{H}$  est uniforme dans ces régions.
- b) Calculer les champs  ${\bf B}$  et  ${\bf H}$  à l'extérieur et à l'intérieur de la sphère dans l'état intermédiaire, en reprenant les formes des champs de la question III.2° a). Tracer la courbe de variation de  $\frac{M}{B_0}$ , pour  $B_0$  variant de 0 à  $B_{ac}$  et au-delà.
- III Aº Quantification du flux magnétique dans un anneau supraconducteur.

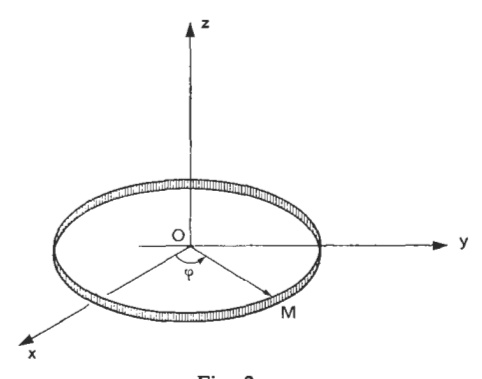


Fig. 2

On considère un fil supraconducteur refermé sur lui-même pour former une spire. Le fil est suffisamment fin pour que la fonction d'onde  $\Psi$  des paires supraconductrices (voir question II.1°) ne dépende pratiquement que de  $\varphi$  (cf. fig. 2), mais son diamètre d reste néan-

moins très supérieur à  $\frac{1}{\lambda}$ .

a) En utilisant le résultat de la question II.1° b), montrer que :

$$\oint_C \mathbf{A} \cdot \mathbf{dl} = \frac{n \pi h}{e} \quad \text{avec} \quad n \text{ entier}$$

où l'intégrale curviligne se fait sur une courbe fermée C entièrement contenue dans le fil supraconducteur.

b) En déduire que le flux du champ magnétique traversant la spire est quantifié et calculer numériquement la valeur du quantum de flux. A quel champ magnétique moyen cela correspond-il pour une spire d'un diamètre d'un dixième de millimètre ? Comparer au champ magnétique terrestre.

#### SOLUTION

T

## I.1° Etats quantiques.

a) En reportant la solution proposée dans l'équation de Schrödinger, on obtient immédiatement :

$$\omega = \frac{h k^2}{2m}$$

0.1100

$$k_x = 2\pi \frac{n_1}{l_1}$$
,  $k_y = 2\pi \frac{n_2}{l_2}$ ,  $k_z = 2\pi \frac{n_3}{l_3}$   $(n_1, n_2, n_3 \text{ entiers})$ .

b) 
$$E_C = h \omega = \frac{h^2 k^2}{2 m} = \frac{2 \pi^2 h^2}{m} \left( \frac{n_1^2}{l_1^2} + \frac{n_2^2}{l_2^2} + \frac{n_3^2}{l_3^2} \right)$$

c) Il y a, en conséquence de l'expression précédente de k, un état quantique par cellule de volume  $h^3$  dans l'espace des phases. Le nombre d'états quantiques contenu dans le volume

$$V d^3 \mathbf{p}$$
 est donc  $dn = \frac{V d^3 \mathbf{p}}{h^3}$ .

Le calcul demandé est classique. On a :

$$dE_{C} = \frac{p d p}{m}$$

et:

$$4 \pi^2 p^2 dp = \frac{h^3}{V} dn (E_C)$$

d'où:

$$dn(E_{\rm C}) = -\frac{V}{4\pi^2} \left[ -\frac{2m}{h^2} \right]^{3/2} E_{\rm C}^{1/2} dE_{\rm C}.$$

# I.2º Gaz parfait de Fermi-Dirac.

a) Dans la configuration d'énergie cinétique totale minimale, les électrons occupent les cellules de l'espace des phases, à raison de deux électrons par cellule au maximum par valeurs croissantes de p jusqu'à une valeur maximale  $p_{\rm F}$  de p, donc une valeur maximale  $E_{\rm F}$  de  $E_{\rm C}$ :

$$dn = 2 \cdot \frac{V}{4 m^2} \left[ \frac{2 m_e}{4 \pi^2} \right]^{3/2} E_c^{1/2} dE_c$$

d'où, pour la configuration d'énergie cinétique minimale :

$$N_1 = \int_0^{E_F} dn = \frac{V}{2\pi^2} \left[ \frac{2 m_e}{h^2} \right]^{3/2} \int_0^{E_F} E_C^{1/2} dE_C$$
soit:

$$E_F = \frac{\hbar^2}{2 \, m_e} \left( \frac{3 \, \pi^2 \, N_1}{V} \right)^{2/3}$$

Application numérique :

Pour le plomb :

$$\frac{N_1}{V} = \frac{2 \times 6 \cdot 10^{23} \times 11,6 \cdot 10^3}{0.207} = 6,725 \cdot 10^{28} \text{ m}^{-3}$$

d'où E<sub>E</sub> exprimé en eV

$$E_F = \frac{(1,05 \cdot 10^{-34})^2}{2 \times 0,911 \ 10^{-30}} \ (3 \ \pi^2 \times 6,725 \ 10^{28})^{2/3} \times \frac{1}{1,60 \ 10^{-19}}$$

$$\approx 6 \ \text{eV}$$

Pour un G.P. classique : 
$$E_F = \frac{3}{2} k_B T'_F = k_B T_F$$
, d'où :  $T'_F = 4.6 \cdot 10^4 \text{ K}$  et  $T_F = 6.9 \cdot 10^4 \text{ K}$ .

- b) Pour T = 0:  $n_+(E_i) = 1$  pour  $E_i < \mu$  et  $n_+(E_i) = 0$  pour  $E_i > \mu$ ; de manière évidente :  $E_F = \mu$ . L'allure des courbes demandées est un résultat classique.
- c) Le potentiel chimique est égal à  $\left(\frac{\partial F_+}{\partial N_-}\right)_{T,V}$ tenu de ce que u est fonction de N1:

$$\left(\frac{\partial F_+}{\partial N_1}\right)_{T,\ V} = -\frac{1}{\beta} \left[ \Sigma \frac{1}{1 + e^{\beta \ (E_1 - \mu)}} \right] \beta \ \frac{\partial \mu}{\partial N_1} + \mu + N_1 \ \frac{\partial \mu}{\partial N_1} = \mu$$
 car la somme entre crochets est égale à  $N_1$ 

d) On remplace la somme Σ sur les états d'énergie par une intégrale, de sorte que :

$$N_1 = \int n_+ dn = \frac{V}{2\pi^2} \left(\frac{2 m_e}{h^2}\right)^{3/2} \int_0^\infty \frac{E_C^{1/2} dE_C}{e^{\beta (E_C - \mu)} + 1}$$

d'où, en utilisant la formule d'approximation donnée par l'énoncé :

$$N_1 \; = \; \frac{V}{3 \, \pi^2} \, \left( \frac{2 \, m_e}{\hbar^2} \, \mu \right)^{3/2} \! \left( \; 1 \, + \, \frac{\pi^2}{8} \cdot \frac{k_B^2 \, T^2}{\mu^2} + \ldots \right)$$

Le terme correctif a pour valeur 
$$\frac{k_B^2\,T^2}{k_B^2\,T^2}\simeq \frac{E_F^2}{k_B^2\,T^2}$$
 car

 $E_{\mathrm{F}}$  à cette température très basse. Numériquement :

 $K_{\rm B}^2 \, {
m T}^2 = 2 \cdot 10^{-8} \, ({
m avec} : E_{\rm F} = 6 \, {
m eV}).$ 

e) (i) L'énergie libre a pour expression :

 $F_{+} = -k_B T \int_{0}^{\infty} \ln(1 + e^{-\beta (E-\mu)}) \frac{v}{2\pi^2} \left[ \frac{2m_e}{h^2} \right]^{-1} E^{1/2} dE + N_{L\mu}$ 

soit, en intégrant par parties :

 $\mathrm{H}_{+} = -\frac{2}{3} \frac{\mathrm{V}_{\mathrm{T}}}{2\pi^{2}} \int_{-2\pi}^{2\pi} \int_{-2\pi}^{2\pi} \int_{-2\pi}^{2\pi} \frac{\mathrm{L}_{\mathrm{T}}}{2\pi^{2}} = +\mathrm{H}_{\mathrm{T}}$ 

 $= -\frac{3}{2} \sum_{\Lambda} \frac{7 \pi^2}{4} \sum_{\Lambda} \frac{1}{2 \pi^2} \frac{1}{4} \sum_{\Lambda} \frac{1}{4} \frac{1}{4} \sum_{\Lambda} \frac{1}{4} \frac$ 

 $-\frac{1}{4} \ln \frac{1}{4} \ln \frac{1$ 

 $F_{+} = \frac{12}{2\pi^{2}} \frac{12}{2m^{6}} \frac{12}{$ En remplaçant M<sub>1</sub> par sa valeur en tonction de  $\mu$ :

(ii) A partir de l'expression de  $N_1$  en fonction de  $\mu$ ,  $F_{+} = \frac{1}{2 \pi^{3}} \frac{1}{2 \pi^{6}} \frac{1}{2$ 

 $\ln \approx \left(\frac{1}{\sqrt{1}}\right) \frac{1}{\sqrt{1}} \left(\frac{1}{\sqrt{1}}\right)^{-1/2} = \left[\frac{1}{\sqrt{1}}\right]^{-1/2} \left(\frac{1}{\sqrt{1}}\right)^{-1/2} = \frac{1}{\sqrt{1}} \left(\frac{1}{\sqrt$ 

: 1uənqo uo

$$E^{+} = \frac{5 \frac{w_{z}}{\Lambda}}{\Lambda} \frac{\frac{H_{z}}{5 \frac{w_{z}}{\Lambda}}}{\frac{3}{5} \frac{1}{5} \frac{1}{5} \frac{1}{5}} \frac{1}{5} \frac{1}$$

 $= \frac{7 x^2}{4 L} = \frac{1}{12} \frac{1}{4 L} = \frac{1}{12} \frac{1}{12} \frac{1}{12} \frac{1}{12} = \frac{1}{12} \frac{1}{12} \frac{1}{12} \frac{1}{12} = \frac{1}{12} \frac{1}{12} \frac{1}{12} = \frac{1}{12} \frac{1}{12} \frac{1}{12} = \frac{1}{12} \frac{1}{12} \frac{1}{12} \frac{1}{12} \frac{1}{12} \frac{1}{12} = \frac{1}{12} \frac{1}{12}$ 

soit :

$$\begin{aligned} F_{+} &= A \, V \bigg( \frac{N_{1}}{V} \bigg)^{5/3} \bigg[ \, 1 - \gamma \bigg( \frac{T}{T_{F}} \bigg)^{2} \, \bigg] \, \text{avec} \, : \, A \, = \, \frac{3}{5} \, (3 \, \pi^{2})^{2/3} \, \frac{h^{2}}{2 \, m_{e}} \\ \gamma \, &= \, \frac{5 \, \pi^{2}}{12}. \end{aligned}$$

I.3° Gaz parfait de Bose-Einstein.

a) On vérifie, comme en I.2° c), que :  $\left(\frac{\partial F}{\partial N_2}\right) = \mu$ . Il faut que  $\mu < 0$  car  $n_-(E_i) > 0$  quel que soit  $E_i \ge 0$ .

b) (i) Dans l'hypothèse d'une densité d'états continue :

$$N_0 = \frac{V}{4\pi^2} \left(\frac{2 \, m'}{h^2}\right)^{3/2} \int_0^{\infty} \frac{\sqrt{E} \, dE}{e^{\beta \, (E-\mu)} - 1}.$$

Ce calcul exclut nécessairement l'état d'énergie E=0 (pour lequel la densité d'états n'a pas de sens). Le calcul de l'intégrale est classique; on trouve :

$$\int_0^{\infty} \frac{\sqrt{E} dE}{e^{\beta (E-\mu)} - 1} = \Gamma\left(\frac{3}{2}\right) (k_B T)^{3/2} \sum_{p=1}^{\infty} e^{p \beta \mu} p^{-3/2}$$

soit .

$$N_0 = V \left( \frac{m' k_B T}{2 \pi h^2} \right)^{3/2} \sum_{p=1}^{\infty} e^{p \beta \mu} p^{-3/2}.$$

(ii) La série est à termes positifs et maximale pour  $\mu$  maximal, c'est-à-dire  $\mu = 0$ , soit :

$$N_m = V \left( \frac{m' k_B T}{2 \pi \hbar^2} \right)^{3/2} \sum_{p=1}^{\infty} p^{-3/2}$$

ou:

$$N_m = 2,612 \text{ V} \left( \frac{m' k_B T}{2 \pi h^2} \right)^{3/2}$$

L'énergie cinétique moyenne correspondante vaut :

$$\overline{E}_{C} = \frac{1}{N_{m}} \frac{V}{4\pi^{2}} \left(\frac{2m'}{\hbar^{2}}\right)^{3/2} \int_{0}^{\infty} \frac{E^{3/2} dE}{e^{\beta (E-\mu)} - 1} \quad \text{avec} \quad \mu = 0,$$

d'où:

$$\overline{E}_{C} = \frac{\Gamma(5/2)}{\Gamma(3/2)} k_{B} T \frac{\sum_{p=1}^{\infty} p^{-5/2}}{\sum_{p=1}^{\infty} p^{-3/2}} = \frac{1,341}{2,612} \times \frac{3}{2} k_{B} T = 0,77 k_{B} T.$$

La longueur d'onde de de Broglie moyenne  $\overline{\lambda}$  correspondant

à 
$$\overline{E}_{C}$$
 vaut :  $\overline{\lambda} = \frac{h}{(2 \, m' \, \overline{E}_{C})^{1/2}} \simeq \frac{h}{(1.5 \, m' \, k_{\rm B} \, T)^{1/2}}$ .

Il faut comparer:  $\bar{\lambda} \ \dot{a} \ \left(\frac{N_m}{V}\right)^{-1/3} = \frac{(2.6)^{-1/3} \sqrt{2 \pi} h}{(m' k_B T)^{1/2}} du$ 

même ordre de grandeur.

 c) (i) Le nombre total de particules est, en fait, partagé entre l'état d'énergie fondamental (E = 0) et les états excités, soit :

$$N_2 = N(0) + N_0$$

 $N_0$  représente le nombre des particules dans un état excité (voir le calcul en I.3° b). N (0) est le nombre de particules dans l'état d'énergie E=0, soit :

$$N(0) = \frac{1}{e^{-\beta \mu} - 1}$$

cet état étant unique.

Le nombre  $N\left(0\right)$  n'a une valeur non négligeable que si  $\mu \simeq 0$ , soit :

$$N\left(0
ight)\simeq-rac{1}{\mu\beta}$$
 d'où :  $\mu\simeq-rac{k_{B}\,T}{N\left(0
ight)}=-rac{k_{B}\,T}{f\,N_{2}}.$ 

C'est le phénomène de « condensation » de Bose.

(ii) Les premiers niveaux excités correspondent à des

énergies de l'ordre de 
$$E_0 = \frac{\hbar^2}{2 \, m'} \, V^{-2/3}$$
, ceci en

application de l'expression obtenue en I.1° b). Pour un échantillon de taille macroscopique,  $\beta$   $E_0$  reste très petit, de sorte que le nombre moyen de particules dans un état quantique est de l'ordre de

$$\frac{1}{\beta E_0 - \mu}$$
 de valeur maximale  $\frac{1}{\beta E_0}$  obtenue

lorsque  $\mu \to 0$ . Le nombre  $\frac{1}{\beta E_0}$  est grand mais,

en fait, correspond à un nombre relativement faible de particules pour un échantillon macros-

copique. 
$$\left(\frac{1}{\beta \; E_0} \simeq 10^{12} \; \text{pour Pb à 7 K en prenant} \right)$$

 $m' \simeq m_e$ ). Il n'y a donc pas possibilité de condensation sur les tout premiers niveaux excités ou a fortiori sur les autres niveaux puisque  $n_-(E_i)$  décroît lorsque  $E_i$  croît. En outre, on vérifie facilement que  $N_m$  est de l'ordre de :

$$\left(\frac{1}{\beta E_0}\right)^{3/2} \gg \frac{1}{\beta E_0}.$$

La contribution des premiers niveaux excités à la population totale des niveaux excités est donc négligeable. Le fait d'appliquer l'approximation continue même aux premiers états excités (ce qui n'est pas licite en toute rigueur) est donc pratiquement sans influence sur le résultat du calcul.

- (iii) On suppose N2 donné. Deux cas sont possibles :
  - Il y a condensation, soit N<sub>2</sub> >> N<sub>m</sub>.

Dans ce cas N(0) prend une valeur élevée, ce qui suppose  $\mu \simeq 0$ , de sorte que  $N_0 \simeq N_m$  et

$$N_2 = N(0) + N_m$$

avec : 
$$N_m = 2,612 \text{ V} \left( \frac{m' k_B T}{2 \pi h^2} \right)^{3/2}$$
.

Introduisons la température T<sub>C</sub> telle que :

$$N_2 = 2,\!612 \text{ V} \left( rac{m'k_B T_C}{2 \, \pi \, \hbar^2} 
ight)^{3/2} (T < T_C).$$

On obtient:

$$N(0) \simeq N_2 - N_m \dots$$

... = 2,612 V 
$$\left(\frac{m'k_{\rm B}}{2\pi h^2}\right)^{3/2}$$
 (T<sub>C</sub><sup>3/2</sup> — T<sup>3/2</sup>).

La température critique a pour expression :

$$T_{\rm C} = \left(\frac{N_2}{V}\right)^{2/3} \cdot (2,612)^{-2/3} \cdot \frac{2 \pi h^2}{m' k_{\rm B}}.$$

L'expression de N(0) est d'autant meilleure que T diffère de  $T_C$ . Pour  $T = T_C$ , N(0) n'est pas strictement nul.

 En l'absence de condensation : N<sub>2</sub> < N<sub>m</sub>, μ s'écarte de la valeur 0 et N (0) est négligeable.
 Dans ces conditions :

$$N_2 = N_0 = V \left(\frac{m'k_B}{2\pi h^2}\right)^{3/2} \sum_{p=1}^{\infty} e^{p \beta \mu} p^{-3/2} T^{3/2}$$

On calcule U dans les mêmes conditions qu'en I.3° b) ( $\mu \approx 0$ ), soit :

$$\mathrm{U} \, = \, \frac{\mathrm{V}}{4 \, \pi^2} \bigg( \frac{2 \, m'}{h^2} \bigg)^{3/2} \int_0^\infty \frac{\mathrm{E}^{3/2} \, d\mathrm{E}}{e^{\beta \mathrm{E}} - 1}$$

ou:

$$U = \frac{V}{4\pi^2} \left(\frac{2\,m'}{h^2}\right)^{3/2} \Gamma\left(5/2\right) (k_{\rm B}\,T)^{5/2} \sum_{p=1}^{\infty} p^{-5/2}$$

soit:

$$U = \frac{3}{2} k_B T V \left( \frac{m' k_B T}{2 \pi h^2} \right)^{3/2} \sum_{p=1}^{\infty} p^{-5/2}.$$

On en déduit :

$$C_v = \left(\frac{\partial U}{\partial T}\right)_V = \frac{15}{4} k_B^{5/2} V T^{3/2} \left(\frac{m'}{2\pi h^2}\right)^{3/2} \Sigma p^{-5/2}$$
  
= A T<sup>3/2</sup>.

d) (i) La contribution à F\_ du terme N2 u vaut :

$$-\frac{k_{\rm B}\,{\rm T}}{f}\,\bigg(\;\mu\simeq-\frac{k_{\rm B}\,{\rm T}}{f\,{\rm N}_2}\bigg),$$

donc négligeable car de l'ordre de grandeur de l'énergie thermique d'une seule particule.

 (ii) Les particules condensées donnent un terme de l'ordre de k<sub>B</sub>T, donc également négligeable. Il reste :

$$F_{-} = k_B T \frac{V}{2\pi^2} \left(\frac{2m'}{\hbar^2}\right)^{3/2} \int_0^{\infty} \ln (1 - e^{-\beta E}) \sqrt{E} dE$$

soit, en intégrant par parties :

$$F_{-} \, = \, k_B \, T \, \frac{V}{2 \, \pi^2} \bigg( \frac{2 \, m'}{\rlap{/} \hbar^2} \bigg)^{3/2} \int_0^\infty \frac{- \, \beta \times 2/3 \, E^{3/2}}{e^{\beta E} - 1} \, dE$$

soit:

$$F_{-} = -\frac{2}{2} U = BV(k_B T)^{5/2}$$

en accord avec :  $F = -T^2 \frac{\partial}{\partial T} \left( \frac{U}{T} \right)$  et où on

a posé:

$$\mathbf{B} = -\left(\frac{m'}{2\pi H^2}\right)^{3/2} \sum_{p=1}^{\infty} p^{-5/2} \dots$$

$$\dots = -1,341 \left(\frac{m'}{2\pi H^2}\right)^{3/2}$$

· I.4° Modèle à deux fluides.

- a) La condition d'équilibre s'écrit :  $2 \mu_1 = \mu_2$ .
- b) Pour une paire (boson), il faut nécessairement que :

$$E - \mu_2 > 0$$
 quel que soit E

ce qui implique :  $\mu_2 < E_{min} = 2 E_F (1 - \delta)$ , soit :

$$\mu_{2 max} = 2 E_F (1 - \delta)$$

$$\mu_{1 max} = E_F (1 - \delta).$$

A basse température, pour une population de fermions :

$$N_1 \, \simeq \, \frac{V}{3 \, \pi^2} \left( \frac{2 \, m_e}{\text{H}^2} \right)^{3/2} \mu^{3/2} \, \left( \, 1 + \frac{\pi^2}{8} \, \frac{T^2}{T_F{}^2} \right)$$

on peut ici négliger le terme en  $\left(\frac{T}{T_{\rm F}}\right)^2 \simeq 10^{-8}$  (cf. I.2° d).

Cette approximation suppose en fait que  $\left(\frac{T}{T_F}\right)^2 \ll \delta$ , ce que

nous vérifierons à la question suivante. Ainsi :

$$N_{1\;max} \simeq rac{V}{3\,\pi^2} \left(rac{2\;m_e}{\hbar^2}
ight)^{3/2} \; \mu_{1\;max}^{3/2} \; = rac{V}{3\,\pi^2} \left(rac{2\;m_e}{\hbar^2}
ight)^{3/2} E_F^{3/2} (1-\delta)^{3/2}$$

soit:

$$N_{1 max} \simeq \frac{V}{3 \pi^2} \left( \frac{2 m_e}{\hbar^2} \right)^{3/2} E_F^{3/2} (1 - 3/2 \delta)$$
 (8 < 1).

En outre, le nombre total d'électrons vaut :

$$N = \frac{V}{3\pi^2} \left(\frac{2 m_e}{h^2}\right)^{3/2} E_F^{3/2}$$

d'où la relation demandée :

$$N_{1 max} \simeq N (1 - 3/2 \delta)$$
.

c) Quand les paires subissent la condensation de Bose-Einstein,  $\mu_2$  est pratiquement égal à sa valeur maximale, de sorte que :

$$N_{paires} \simeq \frac{1}{2} (N - N_{1 max}) \simeq \frac{3 \delta}{4} N$$

d'où l'expression de la température de transition T<sub>C</sub> à l'état supraconducteur (cf. I.3° c) (iii):

$$\frac{3 \delta}{4} \text{ N} = 2,612 \text{ V} \left( \frac{2 m_e k_B T_C}{2 \pi h^2} \right)^{3/2} (m' = 2 m_e)$$

d'où l'on tire la formule demandée :

$$\frac{3}{4} \delta \frac{N}{V} = 2,612 \left[ \frac{m_e k_B T_C}{\pi h^2} \right]^{3/2}$$

Application numérique :

Pour le plomb :  $T_C = 7.2 \text{ K}$  d'où :  $\delta \simeq 6.7 \, 10^{-6}$  (en remar-

quant que 
$$\frac{V}{N} = \frac{0,207}{12 \times 11,6 \cdot 10^{26}}$$
.

d) En utilisant le résultat II.3° c) (iii), on obtient pour la densité volumique  $\varrho_s$  des paires dans l'état condensé :

$$\varrho_s = (N_{paires} - N_m)/V = \frac{3}{4} \delta \frac{N}{V} - \frac{N_m}{V} ...$$

$$... = 2.612 \left( \frac{m_e k_B T}{\pi \hbar^2} \right)^{3/2} (T_c^{3/2} - T^{3/2}).$$

e) Calculons d'abord l'énergie libre des paires. Cette énergie libre comptabilise l'énergie libre de repos des paires.

On ne peut ici négliger le terme en  $\frac{T^2}{T_F^2}$  dans l'expression de  $N_{1\,\text{max}}$ , soit :

$$\begin{split} F_{1-} &= \frac{1}{2} \left( N - N_{1 max} \right) 2 \, E_F \left( 1 - \delta \right) \\ &\simeq N E_F \left[ 1 - (1 - \delta)^{3/2} \right] \left[ 1 + \frac{\pi^2}{8} \, \frac{T^2}{T_F^2} \right] (1 - \delta) \\ &\simeq N E_F \left( \frac{3}{2} \, \delta - \frac{15}{8} \, \delta^2 - \frac{\pi^2}{8} \, \frac{T^2}{T_F^2} \right) \end{split}$$

Il faut ajouter l'énergie libre des paires dans les états excités :

$$F_{2-} = -1.341 \left(\frac{m_e}{\pi \hbar^2}\right)^{3/2} V(k_B T)^{5/2} \text{ (cf. I.3° d)}(ii).$$

Au total:

$$F_{-} = F_{1-} + F_{2-} \simeq NE_F \left( \frac{3}{2} \delta - \frac{15}{8} \delta^2 + ... \right) - BV (k_B T)^{5/2}$$

On calcule ensuite l'énergie libre  $F_+$  des électrons libres (cf.  $1.2^{\circ}$  e) (i) :

$$F_{+} = \frac{V}{2\pi^{2}} \left[ \frac{2 m_{e}}{h^{2}} \right]^{3/2} \left[ \frac{2}{5} E_{F}^{5/2} (1 - \delta)^{5/2} - \frac{\pi^{2}}{12} E_{F}^{1/2} (1 - \delta)^{1/2} k_{B}^{2} T^{2} \right]$$

soit:

$$F_{+} = \frac{3}{5} NE_{F} (1 - \delta)^{5/2} - \frac{1}{12} k_{B}^{2} T^{2} \frac{m_{e}}{h^{2}} \left(\frac{3 \pi^{2} N}{V}\right)^{1/3} V$$

où on a négligé les termes en  $\delta$  dans le second terme de la somme :

$$F_{+} \simeq \frac{3}{5} NE_{F} - \frac{3}{2} N\delta E_{F} + \frac{9}{8} N\delta^{2}E_{F} ...$$

$$... + ... - \frac{1}{12} k_{B}^{2} T^{2} \frac{m_{e}}{k^{2}} \left(\frac{3 \pi^{2} N}{V}\right)^{1/3} V.$$

Au total:  $F = F_{-} + F_{+} = \frac{3}{5} NE_{F} - \frac{3}{4} NE_{F} \delta^{2} + \varphi(T)$ 

avec:

$$\varphi(T) = -1,341 \left(\frac{m_e}{\pi h^2}\right)^{3/2} V(k_B T)^{5/2} ...$$

$$... - \frac{1}{6} \frac{m_e}{h^2} \left(\frac{3 \pi^2 N}{V}\right)^{1/3} V k_B^2 T^2.$$

TT

## II.1° Equation de London.

- a) Le calcul demandé est classique. Il suffit de calculer div j, compte tenu de l'équation de Schrödinger. j est la densité de courant de probabilité.
  - b) On remplace  $\psi = \varrho^{1/2} e^{i\theta}$  dans l'expression de j, d'où :

$$\mathbf{j} = \frac{h}{m} \ \varrho \ \bigg[ \ \mathrm{grad} \ \vartheta - \frac{q}{h} \ \mathbf{A} \ \bigg].$$

- c) (i) En l'absence de champ :  $\mathbf{A} = \mathbf{0}$ . Dans l'état fondamental d'énergie nulle,  $\mathbf{j} = \mathbf{0}$ , ce qui exige  $\theta = c^{te}$ . Le facteur de phase constant  $e^{i\theta}$  n'intervient pas physiquement et peut donc être pris réel ( $\theta = 0$ ), soit :  $\psi = \sqrt{\rho} = c^{te}$ .
  - (ii) Les particules étant indépendantes, la fonction d'onde Ψ décrivant l'ensemble est le produit des n fonctions d'ondes (identiques) correspondant à chacune des particules. Ψ est donc constante. La densité de probabilité qui intervient est proportionnelle à la densité volumique de particules

$$\varrho_s = \frac{n}{V} \text{ d'où } \Psi = \sqrt{\varrho_s} \text{ à une constante multiplicative près.}$$

(iii) Le courant j est un courant de paires. C'est ce courant de paires dans l'état fondamental qui traduit la supraconductibilité.

L'équation de Maxwell-Ampère s'écrit :

rot 
$$\mathbf{B} = -2eu_0\mathbf{i}$$

-2ej étant la densité de courant électrique des paires (chaque paire a la charge -2e).

D'autre part :

$$\operatorname{rot} \mathbf{j} = \frac{h}{2 m_e} \varrho_s \frac{2 e}{h} \operatorname{rot} \mathbf{A} \quad (m = 2 m_e, q = -2 e)$$

rot rot B = 
$$2 e \mu_0$$
 rot j =  $-\frac{2 \mu_0 e^2 \varrho_s}{m_e}$  B (B = rot A)

soit:

soit: 
$$\text{rot rot } \mathbf{B} = -\lambda^2 \mathbf{B} \text{ avec}: \lambda^2 = \frac{2 \mu_0 \varrho_s e^2}{m_e}.$$
 (équation de London).

Application numérique :

A 0 K: 
$$\varrho_s = 2,612 \left( \frac{m_e k_B}{\pi h^2} \right)^{3/2} T_c^{3/2}.$$

Pour Pb: 
$$T_c = 7.2 \text{ K}$$
,

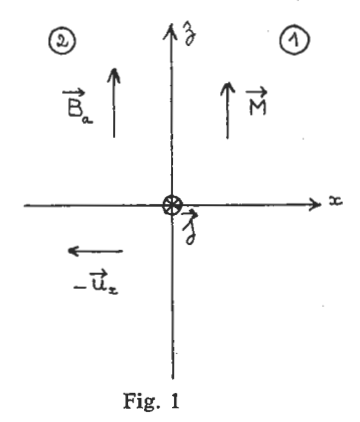
$$\lambda^{-2} = \frac{m_e}{-2\,\mu_0\,e^2}\,\frac{1}{2,\!612} \Big(\frac{\pi\,\hbar^2}{m_e\,k_{\rm B}\,T_c}\Big)^{\!3/\!2}$$

d'où:

$$\lambda^{-1} \simeq 6.4 \ 10^{-5} \ m.$$

## II.2° Effet Meissner.

a) Pour appliquer l'équation de London au voisinage de la surface du cylindre supraconducteur, on peut négliger la courbure de ce cylindre tant que son rayon est très supérieur à  $\lambda^{-1}$ .



On utilise alors simplement des coordonnées cartésiennes, yOz étant la surface du supraconducteur. Prenant Oz//à Ba, la continuité de la composante normale de B, conduit à prendre à l'intérieur du supraconducteur **B** de la forme :  $\mathbf{B} = \mathbf{B}_z(x) \mathbf{u}_z$ . L'équation de London s'écrit alors :

$$\frac{\partial^2 \mathbf{B}_z}{\partial x^2} = -\lambda^2 \mathbf{B}_z \Rightarrow \mathbf{B} = \mathbf{B}_a e^{-\lambda x} \mathbf{u}_z$$

où  $B_a$  est la valeur de B sur la surface de séparation des milieux (x = 0). L'équation de Maxwell-Ampère rot  $B = \mu_0 j$  implique que j est parallèle à Oy et de la forme :

$$\mathbf{j} = \lambda \frac{\mathbf{B}_a}{\mathbf{u}_y} e^{-\lambda x} \mathbf{u}_y.$$

ce qui correspond à une densité « superficielle » de courant :

$$\mathbf{i}_s = \int_0^\infty \mathbf{j} \, dx = \frac{\mathbf{B}_a}{\mathbf{u}_y}.$$

Dans l'hypothèse d'une nappe de courant strictement superficielle, la condition de passage pour B s'écrit :

$$B_2 - B_1 = \mu_0 i_s \wedge (-u_x)$$
 avec  $B_1 = 0$ .

On retrouve évidemment :  $\mathbf{B}_2 = \mathbf{B}_a \mathbf{u}_z$ .

La condition de passage sur H, dans la description magnétique ( $i_s = 0$ ) s'écrit :

$$\mathbf{H}_{2 \mathrm{T}} - \mathbf{H}_{1 \mathrm{T}} = \mathbf{0}$$
, soit  $\mathbf{H}_{1 \mathrm{T}} = \mathbf{H}_{2 \mathrm{T}} = \frac{\mathbf{B}_a}{\mathbf{u}_a} \mathbf{u}_z = i_s \mathbf{u}_z$ .

La symétrie implique que l'aimantation M soit perpendiculaire à  $u_{x}$ , soit :  $H_{1\,N}=0$  (=  $H_{2\,N}$ ). Au total, H est continu et :

$$H = H_2 = H_1 = \frac{B_a}{u_2} u_z = i_s u_z = -Mu_z$$
 (M = Mu<sub>z</sub> = -H<sub>1</sub>)

d'où :  $\mathbf{M} = -i_s$  conformément à un résultat classique (\*)  $(i_s = \mathbf{M} \wedge \mathbf{x} \text{ avec } \mathbf{n} = -\mathbf{u}).$ 

II.3° Champ critique et propriétés thermodynamiques.

d'où:

a) Le travail d'aimantation a pour expression :

$$\delta W = \mathbf{B}_a \cdot \mathbf{dM} \quad \text{avec} \quad \mathbf{M} = -\frac{\mathbf{B}_a}{\mu_0}$$
$$\delta W = -\frac{\mathbf{B}_a \cdot \mathbf{dB}_a}{\mu_0} = -\mathbf{H} \cdot \mathbf{dB}_a.$$

b) Dans le cas considéré  $\mathbf{H}$  et  $\mathbf{B}_a$  sont parallèles. L'enthalpie libre volumique  $G(T, \mathbf{B}_a)$  a pour expression :

$$G(T, B_a) = U - TS + HB_a$$

<sup>(\*)</sup> Notons également que la nappe solénoïdale de courant crée un champ magnétique extérieur nul, de sorte que  $\mathbf{B}_2$  se confond avec le champ magnétique appliqué.

d'où:

$$dG = dU - TdS - SdT + B_a dH + HdB_a$$

avec :

$$dU = TdS - HdB_a$$

d'où:

$$dG = -SdT + B_a dH$$
.

La variation de G, lorsqu'on établit le champ magnétique de façon isotherme à la température T vaut :

$$G_S(T, B_a) - G_S(T, 0) = \int_0^{B_a} B_a dH = \int_0^{B_a} \frac{1}{\mu_0} B_a dB_a = \frac{B_a^2}{2\mu_0}$$
 par unité de volume.

c) A l'équilibre entre les deux phases :

$$G_N(T, B_{ac}) = G_S(T, B_{ac})$$

ce qui définit la valeur du champ critique Bac-

On suppose évidemment le métal non magnétique, de sorte

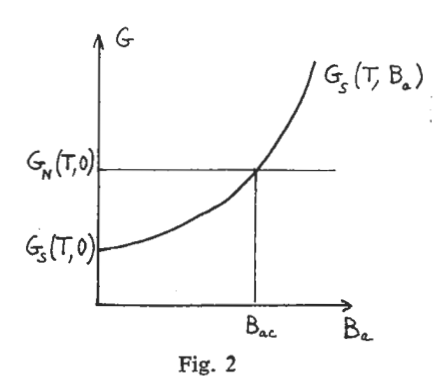
que: 
$$G_N(T, B_{ac}) = G_N(T, 0)$$
,

d'où:

$$G_{S}(T, B_{ac}) = G_{N}(T, B_{ac}) = G_{N}(T, 0).$$

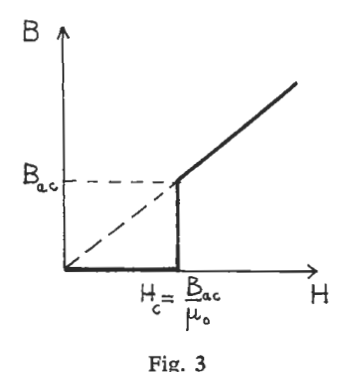
On en déduit :

$$G_N(T,0) - G_S(T,0) = \frac{B_{ac}^2}{2u_0}$$



La fig. 2 résume la situation. Si  $B_a > B_{ac}$ ,  $G_S(T, B_a) > G_N(T, 0)$  et l'état stable est l'état normal.

d) La courbe demandée est représentée sur la fig. 3.



rig. 5

e) Dans l'état normal, le nombre de paires est :

$$N_{paires} = 2,612 \text{ V} \left( \frac{m_e k_B T}{\pi h^2} \right)^{3/2}$$

L'énergie libre des paires est :

$$F_{paires} = -V \left( \frac{m_e}{\pi h^2} \right)^{3/2} (k_B T)^{5/2} \times 1,341 + 2 N_{paires} E_F (1 - \delta).$$

Celle des électrons vaut (voir I.2° e) (iii) :

$$F_{el} = \frac{\hbar^2}{2 m_e} \left( 1 - \frac{2 N_{paires}}{N} \right)^{5/3} \left( \frac{3 \pi^2 N}{V} \right)^{5/3} \frac{V}{5 \pi^2} \dots$$

$$\dots - \frac{1}{6} k_B^2 T^2 \left( \frac{3 \pi^2 N}{V} \right)^{1/3} \frac{m_e}{\hbar^2} V$$

où on a utilisé le fait que le nombre d'électrons libres est :

$$N' = N - 2 N_{paires}$$

Dans le terme complémentaire en  $T^2$ , il suffit de remplacer N' par N car  $N' \simeq N$ , le nombre de paires étant très inférieur au nombre total d'électrons N. Vérifions-le dans le cas du plomb :

$$N_{paires}/V = 2,612 \cdot \left(\frac{9 \cdot 10^{-31} \cdot 1,38 \cdot 10^{-23} \cdot 7,2}{\pi (1,05)^2 \cdot 10^{-68}}\right)^{3/2} = 3,4 \cdot 10^{23}$$

$$N/V = \frac{2 \cdot 6 \cdot 10^{23} \cdot 11,6 \cdot 10^3}{0.207} = 6,7 \cdot 10^{28} \text{ soit } \frac{N_{paires}}{N} \simeq 5 \cdot 10^{-6}.$$

L'énergie libre volumique F<sub>N</sub> pour l'état normal vaut ainsi :

$$F_{N} = \frac{2 N_{paires}}{V} E_{F} (1 - \delta) - \left(\frac{m_{e}}{\pi h^{2}}\right)^{3/2} (k_{B} T)^{5/2} \cdot 1,341$$

$$+ \frac{h^{2}}{2 m_{e}} \left(1 - \frac{2 N_{paires}}{N}\right)^{5/3} \left(\frac{3 \pi^{2}}{V}\right)^{5/3} \frac{1}{5 \pi^{2}} - \frac{1}{6} k_{B}^{2} T^{2} \left(\frac{3 \pi^{2} N}{V}\right)^{1/3} \frac{m_{e}}{h^{2}}.$$

Pour l'état supraconducteur, l'énergie libre par unité de volume  $F_S$  vaut  $(I.4^\circ\ e)$  :

$$F_{S} = \frac{3}{5} \frac{N}{V} E_{F} - \frac{3}{4} \frac{N}{V} E_{F} \delta^{2} - 1,341 \left(\frac{m_{e}}{\pi h^{2}}\right)^{3/2} (k_{B} T)^{5/2} ...$$

$$... - \frac{1}{6} \frac{m_{e}}{h^{2}} \left(\frac{3 \pi^{2} N}{V}\right)^{1/3} k_{B}^{2} T^{2}.$$

Compte tenu de ce que  $\frac{N_{paires}}{N} \ll 1$ , on obtient :

$$\begin{split} F_{N} - F_{S} &\simeq \frac{2 \, N_{paires}}{V} \, E_{F} \, (1 - \delta) + \frac{\hbar^{2}}{2 \, m} \left( \frac{3 \, \pi^{2}}{V} \right)^{5/3} \frac{1}{5 \, \pi^{2}} \, ... \\ & ... \left[ 1 - \frac{10}{3} \, \frac{N_{paires}}{N} + \frac{20}{9} \left( \frac{N_{paires}}{N} \right)^{2} \right] - \frac{3}{5} \, \frac{N}{V} \, E_{F} + \frac{3}{4} \, \frac{N}{V} \, E_{F} \, \delta^{2} \\ & = \frac{2 \, N_{paires}}{V} \, E_{F} \, (1 - \delta) + \frac{3}{5} \, \frac{N}{V} \, E_{F} ... \\ & ... \left[ 1 - \frac{10}{3} \, \frac{N_{paires}}{N} + \frac{20}{9} \left( \frac{N_{paires}}{N} \right)^{2} \right] - \frac{3}{5} \, \frac{N}{V} \, E_{F} + \frac{3}{4} \, \frac{N}{V} \, E_{F} \, \delta^{2} \\ & = \left[ -\frac{2 \, N_{paires}}{N} \, \delta + \frac{4}{3} \left( \frac{N_{paires}}{N} \right)^{2} + \frac{3}{4} \, \delta^{2} \right] \frac{N}{V} \, E_{F}, \end{split}$$

soit:

$$F_N - F_S = \frac{4}{3} \frac{E_F}{NV} \left( N_{paires} - \frac{3}{4} \delta N \right)^2 = G_N - G_S$$

car on peut considérer le volume constant.

On en déduit la relation :

$$\frac{4}{3} \frac{E_{\rm F}}{\rm NV} \left[ 2,612 \, {\rm V} \left( \frac{m_e \, k_{\rm B} \, {\rm T}}{\pi \, h^2} \right)^{3/2} - \frac{3}{4} \, \delta {\rm N} \right]^2 = \frac{{\rm B}_{ac}^2}{2 \, \mu_0},$$

soit encore :

$$B_{ac} = \left(\frac{8}{3} \frac{E_F}{NV} \mu_0\right)^{1/2} \left[\frac{3}{4} \delta N - 2,612 V \left(\frac{m_e k_B T}{\pi h^2}\right)^{3/2}\right].$$

On introduit la température critique Tc, telle que :

$$\frac{3}{4} \delta N = 2,612 V \left( \frac{m_e k_B T_c}{\pi k^2} \right)^{3/2}$$

il vient:

$$B_{ac} = \frac{3}{4} \, \delta N \left( \frac{8}{3} \, \frac{E_F}{NV} \, \mu_0 \right)^{1/2} \! \left[ \, 1 - \! \left( \frac{T}{T_c} \right)^{3/2} \, \right] \, \, \text{avec} \quad T < T_c, \label{eq:Bac}$$

d'où:

$$\nu \; = \; \frac{3}{2} \quad \text{et} \quad D \; = \; B_{\text{ac}} \left( 0 \right) \; = \; \frac{3}{4} \; \delta \left( \frac{8}{3} \; \frac{N E_F}{V} \, \mu_0 \right)^{1/2} \label{eq:varphi}$$

Pour le plomb:

$$B_{ac}(0) = 2.3 \cdot 10^{-3} \text{ T}.$$

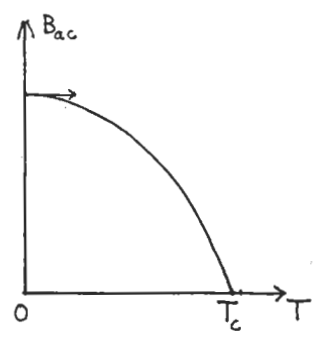


Fig. 4

f) De la relation : 
$$S = -\left(\frac{\partial G}{\partial T}\right)_{p, H}$$
 on tire :

$$S_N(T,0) - S_S(T,0) = -\frac{1}{B_{ac}} B_{ac} \frac{d B_{ac}}{dT} > 0$$
 par unité de volume

car  $B_{ac}$  est fonction monotone décroissante de T. D'où la chaleur latente volumique :

$$L(S \rightarrow N) = -\frac{T}{\mu_0} B_{ac} \frac{d B_{ac}}{dT} > 0.$$

Si  $B_{ac}=0$  (T =  $T_c$ ), L = 0, ce qui caractérise un changement de phase de  $2^e$  espèce.

La chaleur massique a pour valeur :

$$C = uT\left(\frac{\partial S}{\partial T}\right)$$
où  $u$  est le volumique massique.

On en déduit :

$$C_N - C_S = -\frac{uT}{u_0} \left[ \left( \frac{d B_{ac}}{dT} \right)^2 + B_{ac} \frac{d^2 B_{ac}}{dT^2} \right].$$

Si  $B_{ac} = 0 : T \rightarrow T_C$  et :

$$C_N - C_S = -u \cdot \frac{T}{u_0} \left(\frac{d B_{ac}}{dT}\right)^2$$

soit:

$$C_{N} - C_{S} = -\frac{8}{3} u \frac{E_{F}}{NV} \left[ \frac{3}{2} \cdot 2,612 \cdot V \left( \frac{m_{e} k_{B}}{\pi h^{2}} \right)^{3/2} \right]^{2} T_{C^{2}}$$

$$= -6 u \frac{E_{F}}{N} V \times (2,612)^{2} \left( \frac{m_{e} k_{B}}{\pi h^{2}} \right)^{3} T_{C^{2}}.$$

#### H

III.1° Supraconducteur en rotation.

a) Désignant par  $\varrho_e$  le nombre d'électrons par unité de volume non appariés et par  $\varrho_i$  le nombre d'ions (de charge ve) par unité de volume, la neutralité électrique du cristal exige que :  $2 \varrho_s + \varrho_e = v \varrho_i$ .

La densité de courant totale a pour valeur :

$$\mathbf{j} = (v \, \varrho_i \, \mathbf{v}_0 - \varrho_e \, \mathbf{v}_0 - 2 \, \varrho_s \, \mathbf{v}) \, e$$

soit:

$$\mathbf{j} = -2 e \varrho_s (\mathbf{v} - \mathbf{v}_0)$$

d'où la relation : rot  $\mathbf{B} = -2 \mu_0 e \varrho_s (\mathbf{v} - \mathbf{v}_0)$ .

b) Le terme  $-2e\varrho_s\mathbf{v}$  est celui qui intervient dans l'équation de London. Il faut ajouter le terme :

$$2 \mu_0 e \varrho_s \mathbf{v}_0 = 2 \mu_0 e \varrho_s \overset{\rightarrow}{\omega} \wedge \mathbf{r}.$$

Notant que : rot  $\overrightarrow{\omega} \wedge r = 2 \overrightarrow{\omega}$ , il vient :

rot rot 
$$\mathbf{B} = -\lambda^2 \left( \mathbf{B} - \frac{2 m_e}{e} \overrightarrow{\omega} \right)$$
 avec  $\lambda = \frac{2 \mu_0 \varrho_s e^2}{m_e}$ .

c) Posant 
$$\mathbf{B'} = \mathbf{B} - \frac{2 m_e}{e} \stackrel{\rightarrow}{\omega}$$
,  $\mathbf{B'}$  satisfait à l'équation de

London:

rot rot B' = 
$$-\lambda^2$$
 B'

et s'annule rapidement à l'intérieur de la matière supraconductrice. On a donc :  $B' \simeq 0$ , soit :

$$\mathbf{B}\simeq\frac{2\,m_e}{e}\stackrel{\rightarrow}{\omega}.$$

Application numéique :

Pour 
$$\omega = 10^3 \text{ rad. s}^{-1}$$
 B  $\simeq 1.12 \cdot 10^{-8} \text{ T.}$ 

- III.2° Sphère supraconductrice en champ magnétique.
  - a) (i) Le champ B résulte de la somme du champ magnétique extérieur B<sub>a</sub> et du champ B<sub>m</sub> créé par un dipôle magnétique situé au centre de la sphère et colinéaire et de même sens que B<sub>a</sub> et de moment magnétique M.
    - (ii) La continuité de la composante normale de B sur la sphère de rayon R implique, puisque B = 0 à l'intérieur de la sphère, que :

$$B_a + \frac{2 \mu_0 M}{4 \pi R^3} = 0$$
 soit  $M = -\frac{2 \pi R^3 B_a}{\mu_0}$ 

ce qui montre que  $\mathbf{B}_a$  et  $\mathbf{M}$  sont de sens contraires.

Si i<sub>s</sub> est la densité superficielle de courant, la condition de passage sur la composante tangentielle de **B** s'écrit :

$$\mathbf{B}_{2\,T} - \mathbf{B}_{1\,T} = \left( - \mathbf{B}_a + \frac{\mu_0\,\mathbf{M}}{4\,\pi\,\mathbf{R}^3} \right) \sin\vartheta\,\mathbf{u}_\vartheta = \mu_0\,\mathbf{i}_S \wedge \mathbf{u}_r = \mu_0\,\dot{\imath}_S\,\mathbf{u}_\vartheta$$

avec:

$$\mathbf{i}_{S} = \frac{1}{\mathbf{u}_{0}} \left( -\mathbf{B}_{\alpha} + \frac{\mathbf{u}_{0} \mathbf{M}}{4 \pi \mathbf{R}^{3}} \right) \sin \vartheta \mathbf{u}_{\varphi},$$

soit, compte tenu de l'expression de M:

$$\mathbf{i}_{\mathrm{S}} = -\frac{3}{2} \frac{\mathbf{B}_{a}}{\mathbf{u}_{\mathrm{0}}} \sin \vartheta \, \mathbf{u}_{\mathrm{\phi}}.$$

#### Remarque:

Si on considère une sphère de rayon R uniformément aimantée d'intensité d'aimantation m et de

moment magnétique total : 
$$\mathbf{M}=\frac{4\,\pi}{3}~\mathrm{R}^3\,\mathbf{m}$$
, soit  $m=-\frac{3}{2\,\mu_0}~\mathrm{B}_a$ , on vérifie bien la relation générale :  $\mathbf{i}_{\mathrm{S}}=\mathbf{m}\wedge\mathbf{u}_r=-\frac{3}{2}~\mathrm{B}_a\sin\vartheta\,\mathbf{u}_{\mathrm{p}}.$ 

(iii) On peut se ramener à l'équivalence d'un milieu diamagnétique parfait d'intensité d'aimantation m uniforme. Une telle sphère crée (résultat classique) à l'extérieur, le champ :

$$\boldsymbol{B}_{^{_{\!\mathit{H}_{\!\mathit{e}}}}} \left\{ \begin{array}{l} 2/3 \ \mu_0 \, m \left( \frac{R}{r} \right)^3 \cos \vartheta \ = \ \frac{2 \, \mu_0 \, M}{4 \, \pi \, r^3} \, \cos \vartheta \\ \\ 1/3 \ \mu_0 \, m \left( \frac{R}{r} \right)^3 \sin \vartheta \ = \ \frac{\mu_0 \, M}{4 \, \pi \, r^3} \, \sin \vartheta \end{array} \right.$$

et à l'intérieur le champ :

$$\mathbf{B}_{m_{i}} \begin{cases} \frac{2}{3} \mu_{0} \, m \cos \vartheta = - \, \mathbf{B}_{a} \cos \vartheta \\ - \frac{2}{3} \mu_{0} \, m \sin \vartheta = + \, \mathbf{B}_{a} \sin \vartheta \end{cases} \text{ soit } \mathbf{B}_{m_{i}} = - \, \mathbf{B}_{a}$$

le champ magnétique total à l'intérieur  $\mathbf{B}_{m_i}$  et  $\mathbf{B}_a$  est donc bien nul.

b) Sur la sphère, le champ magnétique a une intensité

maximale pour 
$$\theta = \frac{\pi}{2}$$
, soit  $B_{max} = \frac{3}{2} B_a$ .

Si  $B_{ac} < B_{max}$ , il existe des points de la sphère pour lesquels  $B > B_{ac}$ ; en ces points, l'état stable est l'état normal et le champ **B** peut effectivement pénétrer à l'intérieur de la sphère. L'inégalité  $B_{ac} < B_{max}$  conduit à :

$$B_a > \frac{2}{3} B_{ac}$$
.

III.3° Etat intermédiaire.

a) Il faut que, d'un domaine à l'autre, B varie rapidement de 0 à  $B>B_{ac}$  de sorte que, dans ces conditions,  $||\mathbf{H}||$  varie

peu autour de la valeur critique  $H_c=\frac{B_{ac}}{\mu_0}$  (voir graphe question II.3° d). De l'identité (H· grad)  $H=-H\wedge rot H+\frac{1}{2}$  grad (H²), on déduit, puisque rot H=0 et  $||H||=H_c=c^{te}$ :

$$(H \cdot qrad)H = 0$$

qui implique que H est uniforme.

b) Le champ **H** intérieur est uniforme et le champ **B** extérieur reste de la forme donnée par l'énoncé mais la valeur de M est modifiée lorsqu'on est dans l'état intermédiaire. Au voisinage de la sphère, à l'extérieur,  $\mathbf{H} = \mathbf{B}/\mu_0$ . La condition de continuité de  $\mathbf{H}_T$  implique que :

$$\mathbf{H} = -\frac{1}{\mu_0} \left( -\mathbf{B}_a + \frac{\mu_0 \, \mathbf{M}}{4 \, \pi \, \mathbf{R}^3} \right)$$

M étant nécessairement uniforme et colinéaire à Ba. En module :

$$\|\mathbf{M}\| = \frac{4\pi R^3}{\|\mathbf{B}_{ac} - \mathbf{B}_a\|}$$

et:

$$\frac{\mid\mid {\bf M}\mid\mid}{{\bf B}_a} = \frac{4\,\pi\,{\bf R}^3}{\mu_0} \left(\,\frac{{\bf B}_{ac}}{{\bf B}_a} - 1\,\,\right)$$

avec:

$$\frac{2}{3} B_{ac} < B_a < B_{ac}.$$

Si  $B_a < \frac{2}{3} B_{ac}$ , on a vu que  $\frac{||\mathbf{M}||}{B_a} = \frac{2\pi R^3}{u_0}$ , d'où

le graphe (fig. 5).

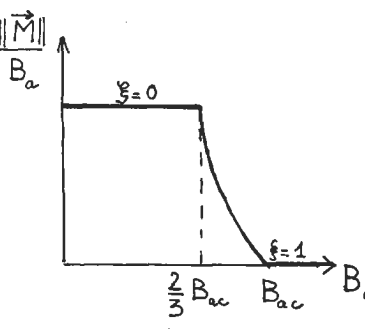


Fig. 5

A l'intérieur,  $\mathbf{B}_{int} = \mu_0 (\mathbf{H} + \mathbf{m})$  où  $\frac{4}{3} \pi R^3 \mathbf{m} = \mathbf{M}$ . On en déduit :

$$\mathbf{B}_{int} = \mathbf{B}_a + \frac{2 \mu_0 \mathbf{M}}{4 \pi R^3}$$
 avec  $\mathbf{M} = \frac{4 \pi R^3}{\mu_0} (\mathbf{B}_a - \mathbf{B}_{ac})$ 

d'où:

$$\mathbf{B}_{int} = 3 \, \mathbf{B}_a - 2 \, \mathbf{B}_{ac}$$

dans l'état intermédiaire.

On retrouve le fait que  $\mathbf{B}_{int} = \mathbf{0}$  pour  $\mathbf{B}_a = \frac{2}{3}$   $\mathbf{B}_{ac}$  et  $\mathbf{B}_{int} = \mathbf{B}_a$  pour  $\mathbf{B}_a = \mathbf{B}_{ac}$ .

#### Remarque.

On a :  $m = -H_c$  d'où l'on déduit,  $\xi$  désignant la fraction du matériau dans l'état normal :

$$M = \frac{4}{3} \pi R^3 H_c (1 - \xi) \qquad (m = H_c).$$

On en déduit :  $1 - \xi = 3 \left( 1 - \frac{B_a}{B_{ac}} \right)$ 

avec:

$$\frac{2}{3} B_{ac} < B_a < B_{ac}.$$

Si 
$$B_a = \frac{2}{3} B_{ac}$$
:  $\xi = 0$ ; si  $B_a = B_{ac}$ :  $\xi = 1$ .

Pour 
$$B_a < \frac{2}{3}$$
  $B_{ac}$ :  $\xi = 0$ . Pour  $B_b > B_{ac}$ :  $\xi = 1$ .

- III.4° Quantification du flux magnétique dans un anneau supraconducteur.
- a) La fonction d'onde  $\Psi$  des paires supraconductrices est de la forme :  $\Psi = \sqrt{\varrho_s} e^{i\theta}$ . D'où :

$$\mathbf{j}_s = \frac{h}{2 m_e} \varrho_s \left[ \operatorname{grad} \vartheta - \frac{q}{h} \mathbf{A} \right]$$

 $\Psi$  doit être uniforme, donc  $\vartheta$  défini, en fait, à  $2\pi$  près, de sorte que :

$$\oint \operatorname{grad} \vartheta \cdot \operatorname{dl} = 2 \pi n \qquad (n \text{ entier}).$$

A l'intérieur de l'anneau  $j_s = 0$  car  $j_s$  s'annule sur une distance de l'ordre de  $\lambda^{-1}$  à partir de la surface, de sorte que :

$$\frac{q}{h}$$
 A = grad  $\theta$ . On en tire:  

$$\Phi = \oint \mathbf{A} \cdot d\mathbf{l} = \frac{h}{a} \oint \operatorname{grad} \theta \cdot d\mathbf{l} = 2\pi n \frac{h}{a} = \pi n \frac{h}{e}.$$

b) Le résultat précédent montre que le flux  $\Phi$  est quantifié. Le quantum de flux vaut  $\frac{\pi h}{e} \simeq 2 \cdot 10^{-15}$  Wb.

Le champ magnétique correspondant pour une spire de diamètre D est  $(D = 10^{-4} \text{ m})$ :

$$B = \frac{4 \Phi}{\pi D^2} = \frac{8 \cdot 10^{-15}}{10^{-8} \pi} = 2,5 \cdot 10^{-7} \text{ T à comparer à } 2 \cdot 10^{-5} \text{ T}.$$

B est de l'ordre du centième du champ magnétique terrestre.

H. GIÉ, A. NEVEU,
(Paris).

Laboratoire de Physique théorique
(Ecole normale supérieure).



## Agrégation

#### SESSION DE 1983

#### **Epreuve C**

## **COMPOSITION DE CHIMIE (Applications)**

(Durée : 6 heures)

Matériel à prévoir : 2 feuilles de papier millimétré.

#### QUELQUES ASPECTS DE LA PHYSICOCHIMIE DES ZEOLITHES

Cette épreuve comporte quatre parties indépendantes, chaque partie pouvant elle-même être constituée de questions indépendantes.

Les candidats devront respecter les notations de grandeurs données dans l'énoncé. Si d'autres grandeurs sont utilisées, elles devront être clairement définies.

Les candidats utiliseront pour les constantes numériques les valeurs suivantes :

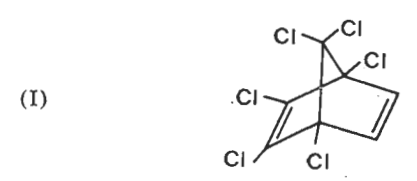
| Numéros atomiques            | } | Cuivre<br>29 | nic)        |              |            |
|------------------------------|---|--------------|-------------|--------------|------------|
| Masses molaires (g. mol-1) . | } | H<br>1,0     | C<br>12,0   | O<br>16,0    | C1<br>35,5 |
| Vitesse de la lumière        |   | c = 3        | 108 m.s     | -1;          |            |
| Constante de Planck          |   | h = 6,6      | 63 • 10-34  | J. s;        |            |
| Charge élémentaire           |   | e = 1,6      | 60 • 10-19  | С;           |            |
| Constante d'Avogadro         |   | $N_A = 6$    | ,02 • 10 23 | $mol^{-1}$ ; |            |
| Constante de Faraday         |   | F = 96       | 500 C. n    | nol-1;       |            |
| Constante des gaz parfaits   |   | R = 8.3      | 31 J. K-1   | . mol-1.     |            |

#### A. ASSEMBLAGES TRIDIMENSIONNELS VACUOLAIRES

#### 1. Exemple de résine échangeuse d'ions.

1.1. La polymérisation du styrène conduit essentiellement à une macromolécule linéaire. En donner le motif. Donner et justifier le type d'enchaînement des motifs monomères.

- 1.2. Pour obtenir une structure tridimensionnelle, on réalise la copolymérisation du styrène avec une petite quantité de paradivinylbenzène. Expliquer à l'aide d'un schéma la structure obtenue. Qu'appelle-t-on polymère réticulé?
- 1.3. a) Pour obtenir une résine échangeuse d'ions, on peut faire agir l'acide chlorosulfonique sur le copolymère précédent. Préciser schématiquement le résultat de cette réaction : nature du groupe introduit et position préférentielle.
  - b) Expliquer le rôle adoucisseur d'eau de cette résine.
- 2. Synthèse d'une cage hydrocarbonée (« cage à oiseaux »).
  - 2.1. Par réaction à 70 °C de 3,0 g de l'hexachloronorbornadiène (I) :



et d'un excès de cyclopentadiène fraîchement distillé, on obtient 2,7 g d'un composé (II), solide incolore de température de fusion voisine de 240 °C.

- 2.1.1. Nommer le composé (I) en nomenclature systématique.
- 2.1.2. Pourquoi le cyclopentadiène est-il « fraîchement distillé ? »
- 2.1.3. a) Montrer qu'un processus concerté est permis par voie thermique pour la cycloaddition d'un diène conjugué et d'un alcène. On justifiera la réponse en utilisant soit le diagramme de corrélation d'orbitales (méthodes de Woodward-Hoffmann), soit les orbitales frontières (méthode de Fukui), soit l'aromaticité de l'état de transition (méthode de Dewar).
  - b) Quelle conséquence stéréochimique peut-on en déduire?
- c) Quelles conditions doivent remplir le diène ou le philodiène dans cette réaction?
- 2.1.4. Dans la réaction conduisant du composé (I) au composé (II), scule la double liaison non substituée du composé (I) réagit. Pourquoi ?
  - 2.1.5. a) Quels isomères de (II) pourraient se former?
    - b) On obtient dans cette réaction un adduit endo-endo.
       Expliquer cette terminologie. Proposer une explication.
    - c) Donner la formule développée spatiale du composé (II).
    - d) Déterminer le rendement de la synthèse de (II).
- 2.2. Une solution du composé (II), dans l'acétone, est soumise pendant une heure à l'irradiation d'une lampe à vapeur de mercure. On

obtient, après recristallisation, un composé (III), solide incolore. Le composé (III) ne présente pas d'absorption infrarouge dans la région voisine du nombre d'onde  $\sigma=1\,600\,$  cm<sup>-1</sup>, absorption que présentait le composé (II).

- 2.2.1. Montrer par l'une des méthodes indiquées au paragraphe 2.1.3. a) qu'une réaction photochimique concertée est permise.
  - 2.2.2. Donner la structure du composé (III).
- 2.3. Une solution du composé (III) dans le tétrahydrofuranne anhydre est traitée par du lithium en présence de méthyl-2 propanol-2. La réaction conduit au composé (IV).
- 2.3.1. Proposer deux autres méthodes de réduction d'un dérivé halogéné RX en hydrocarbure RH en utilisant des métaux non alcalins.
- 2.3.2. Proposer une méthode de réduction d'un dérivé halogéné RX en hydrocarbure RH n'utilisant pas un métal comme réducteur.
- 2.3.3. Un métal alcalin (lithium ou sodium) dans l'ammoniac liquide en présence d'alcool permet une réduction partielle d'un cycle aromatique. Indiquer le mécanisme admis et le produit de réduction dans le cas du toluène.
- 2.3.4. Donner la structure du composé (IV), appelé « cage à oiseaux ».

#### 3. SILICATES. ALUMINOSILICATES, ZÉOLITHES.

3.1. Silicates: la structure des silicates peut être décrite en termes d'assemblages de tétraèdres. Le cas le plus simple est celui d'un tétraèdre isolé constituant l'ion SiO<sub>4</sub><sup>4</sup>-, rencontré dans les orthosilicates comme la forstérite Mg<sub>2</sub>SiO<sub>4</sub>.

Déterminer la formule et la charge de l'ion formé lorsque :

- 3.1.1. a) Deux tétraèdres ont en commun un oxygène (ion rencontré par exemple dans la thorvéitite);
- b) Trois tétraèdres forment un cycle, chaque tétraèdre ayant en commun un oxygène avec chacun des deux autres (ion rencontré dans la bénitoïte).
  - 3.1.2. Les tétraèdres forment une chaîne :
- a) Simple, chaque tétraèdre ayant en commun un oxygène avec chacun de ses deux voisins (c'est le cas dans les pyroxènes); préciser le motif de ce macroanion linéaire;
- b) Double, un tétraèdre sur deux de la chaîne simple précédente ayant un oxygène en commun avec un tétraèdre sur deux d'une deuxième chaîne simple (une telle structure fibreuse se retrouve dans certaines amiantes).
- 3.1.3. Les tétraèdres forment un assemblage bidimensionnel, chaque tétraèdre ayant un oxygène en commun avec trois tétraèdres voisins (une telle structure se retrouve dans le talc ou le kaolin);
- 3.1.4. Les tétraèdres forment un assemblage tridimensionnel, chaque tétraèdre mettant en commun chacun de ses oxygènes avec quatre tétraèdres voisins; cette structure se retrouve dans les variétés de silice anhydre pure.

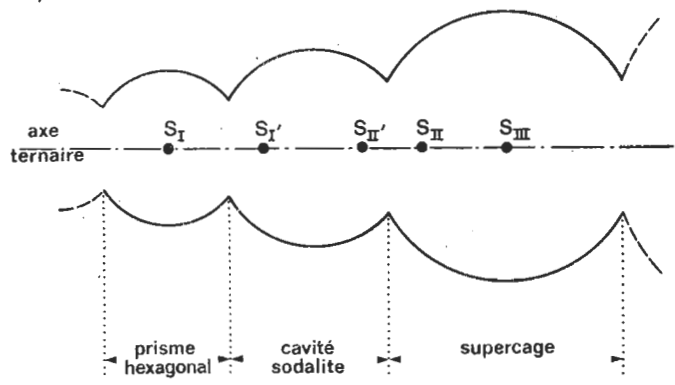
3.2. Aluminosilicates: la structure des aluminosilicates diffère de la structure tridimensionnelle des silicates par substitution partielle de silicium par de l'aluminium. Il en résulte une charge négative qui est compensée par la présence de cations plus ou moins mobiles et échangeables.

Donner la formule de composition et la charge correspondante lorsqu'une fraction x des silicium est substituée par des aluminium.

Application au cas des zéolithes de type faujasite, pour lesquelles r = 0.455

Pour la compréhension de la suite du texte, on signale que les zéolithes de type faujasite sont des aluminosilicates constitués par un enchaînement tridimensionnel de tétraèdres SiO<sub>4</sub><sup>4</sup>- et AlO<sub>4</sub><sup>5</sup>- dans lequel le rapport Si/Al varie de 1,2 à 2,4. La charpente Si-O-Al détermine un réseau tridimensionnel de trois types de cavités à l'intérieur desquelles les cations échangeables viennent se localiser pour neutraliser au mieux l'excès de charge négative.

Les trois types de cavités sont alignés suivant l'axe ternaire de la maille, suivant le schéma :



 $S_{I}$ ,  $S_{II'}$ ,  $S_{III'}$ ,  $S_{III}$ ,  $S_{III}$  sont les sites cationiques.

# B. APPLICATION DE METHODES ELECTROCHIMIQUES A L'ETUDE DE LA DIFFUSION D'IONS DANS UNE ZEOLITHE

Au cours de cette étude, on négligera les corrections d'activité pour les espèces dissoutes. La température T est 293 K.

On considère une électrode plane, d'aire A, immergée dans une solution d'un oxydant Ox dont la concentration molaire, notée  $c\left(x,t\right)$ , est fonction seulement du temps t et de la distance x de l'électrode au point de la solution considérée. La solution est initialement homogène, de concentration uniforme  $c^*: c\left(x,0\right) = c^*$ ; son volume est suffisant pour que, quel que soit t,  $\lim_{x\to c} c\left(x,t\right) = 0$ .

L'étude envisagée est limitée au cas où l'oxydant Ox est susceptible d'être réduit réversiblement à l'électrode selon :

$$Ox + ve^- \rightleftharpoons Red$$

Red est un composé insoluble qui recouvre l'électrode et dont l'activité sera prise égale à 1. Le potentiel standard du couple Ox/Red est noté E.o.

Lorsque l'on impose à l'électrode un potentiel inférieur à son potentiel d'équilibre, celle-ci est traversée par un courant d'intensité i (les intensités seront considérées en valeur absolue) et la solution s'appauvrit en oxydant au niveau de l'électrode. Dans toute l'étude, on suppose réalisées les conditions permettant le renouvellement en oxydant uniquement par diffusion linéaire perpendiculairement à la surface de l'électrode.

#### 1. PHÉNOMÈNES DE DIFFUSION LINÉAIRE : LOIS DE FICK.

#### 1.1. Première loi de Fick.

a) On considère le plan parallèle à l'électrode situé à la distance x de celle-ci. Exprimer, en fonction de la concentration c(x,t) et de la vitesse v des particules à l'abscisse x et à l'instant t, la quantité dn (en mole) de l'oxydant qui traverse, en direction de l'électrode, une surface d'aire A de ce plan pendant l'intervalle de temps dt.

Sachant que la vitesse de diffusion v est proportionnelle au gra-

dient de potentiel chimique de l'espèce qui diffuse 
$$\left(\frac{\partial \mu(x,t)}{\partial x} = a \cdot v\right)$$
,

en déduire que le flux J(x, t) de l'oxydant (exprimé ici en mole par unités de surface et de temps) à la distance x de l'électrode et à l'ins-

tant t peut s'exprimer sous la forme 
$$J(x, t) = D - \frac{\partial c(x, t)}{\partial x}$$
.

Expliciter la relation entre a et D.

Quelle est la dimension de D?

- b) Dans l'hyothèse où les forces de frottement sont uniquement dues au solvant, exprimer D en fonction du rayon r de l'espèce qui diffuse et de la viscosité n du milieu.
  - c) Diffusion et mobilité d'un ion.

Dans le cas d'un ion de charge z, établir la relation entre le coefficient de diffusion D et la conductivité molaire  $\lambda$  de cet ion.

#### 1.2. Deuxième loi de Fick.

On considère un volume élémentaire de solution, situé à la distance x de l'électrode, ayant la fome d'un parallélépipède rectangle d'épaisseur dx et de section d'aire A.

En effectuant le bilan des transferts de matière à travers les faces

de ce volume élémentaire, exprimer 
$$\frac{\partial c(x,t)}{\partial t}$$
 en fonction de  $\frac{\partial J(x,t)}{\partial x}$ .

En déduire l'équation de la diffusion (ou deuxième loi de Fick) :

$$\frac{\partial c(x,t)}{\partial t} = D \frac{\partial^2 c(x,t)}{\partial x^2}.$$
 (équation 1)

1.3. Intensité du courant i(t) circulant dans l'électrode.

Exprimer cette intensité en fonction de la constante de Faraday, v, D, A et de la valeur à :

$$x = 0, \left[ \frac{\partial c(x, t)}{\partial x} \right]_{x=0}, \text{ de } \frac{\partial c(x, t)}{\partial x}.$$

#### 1.4. Résolution.

On se propose, dans la suite de cette étude, de déterminer l'expression de l'intensité du courant qui traverse l'électrode dans diverses conditions expérimentales.

Cette détermination passe par la résolution de l'équation différentielle (1). Pour cela, on a recours à un artifice : grâce à une transformation appropriée (transformation de Laplace), on transforme cette équation en une équation différentielle linéaire (dont la résolution est possible). Après résolution, on revient à la formulation initiale.

On rappelle que la transformation de Laplace consiste à faire correspondre, à une fonction F(t) d'une variable t, la fonction notée ici  $\overline{F}(s)$  définie par :

$$\overline{F}(s) = \int_0^{\infty} F(t) \cdot \exp(-st) dt$$

s est une nouvelle variable dont on ne cherchera pas la signification.

Cette transformation est linéaire : la transformée de :

$$[a F(t) + b G(t)]$$

est:

$$[a \overline{F}(s) + b \overline{G}(s)].$$

Le tableau ci-après donne les correspondances entre F(t) et  $\overline{F}(s)$  nécessaires à la résolution de la suite de l'étude.

| F (t)  | F (s)   |
|--|---|
| $\frac{\partial \mathbf{F}(\mathbf{x},t)}{\partial t}$                                 | $s\widetilde{\mathrm{F}}(x,s)-\mathrm{F}(x,0)$  |
| $\frac{\partial \mathbf{F}(x,t)}{\partial x}$  | $\frac{\partial \overline{F}(x,s)}{\partial x}$ |
| a (constante)  | a<br>-<br>s                                     |
| $\exp(-at)$  | $\frac{1}{s+a}$                                 |
| $(\pi t)^{-1/2}$   | S-1/2   |
| $(\pi t)^{-1/a}$ $\emptyset [(at)^{1/2}] = \exp(-at) \int_0^{(at)^{1/2}} \exp(x^2) dx$ | $\frac{(a\pi)^{1/2}}{2s^{1/2}(s+a)}$            |

- 1.4.1. Déduire de l'expression de l'intensité i(t) précédemment établie. l'expression de  $\overline{i}(s)$  en fonction de  $\overline{c}(x,s)$ .
- 1.4.2. Appliquer la transformation de Laplace à l'équation (1), puis, en résolvant l'équation différentielle ainsi obtenue, montrer que  $\overline{c}(x,s)$  peut s'exprimer sous la forme :

$$\bar{c}(x,s) = \frac{c^*}{s} + P(s) \cdot \exp\left[-\left(\frac{s}{D}\right)^{1/2}x\right]$$

P(s) est une fonction de s uniquement, indépendante de x, dont la détermination fait l'objet de questions ultérieures.

#### 2. CHRONOAMPÉROMÉTRIE.

A partir d'un instant que l'on choisit comme origine des temps, on applique à l'électrode un potentiel constant, E, très inférieur à E $\circ$ . Dans ces conditions, on considère que la concentration de l'oxydant pour x=0 est nulle pour t>0.

- 2.1. Déterminer l'expression de P(s) correspondant à cette expérience. En déduire la loi donnant les variations de l'intensité en fonction du temps que l'on doit observer lors d'une électrolyse à potentiel contrôlé réalisée dans des conditions telles que l'apport de substance électroactive soit assuré par diffusion linéaire (équation de Cottrel).
- 2.2. Le tableau suivant indique les résultats obtenus lors de l'électroréduction des ions argent en solution aqueuse, en présence de nitrate de potassium comme électrolyte-support (électrode plane d'aire A=0.124 cm²,  $c^*_{Au^+}=4.8 \cdot 10^{-3}$  mol.  $1^{-1}$ ; E=0.50 V).

| t (s)  | 60   | 180  | 300  | 420  | 540  | 660  | 780  | 900  |
|--------|------|------|------|------|------|------|------|------|
| i (μA) | 16,8 | 9,71 | 7,51 | 6,35 | 5,60 | 5,07 | 4,66 | 4,33 |

L'équation de Cottrel est-elle vérifiée ?

Calculer la valeur du coefficient de diffusion D que cette expérience permet de déterminer pour l'ion argent en solution aqueuse.

2.3. On considère une zéolithe au sein de laquelle sont dispersés des ions argent. On comprime un mélange de poudres de cette zéolithe et de carbone. L'ensemble est immergé dans une solution aqueuse molaire de perchlorate de lithium. Le carbone (conducteur électronique) est assimilable à l'électrode considérée au premier paragraphe, et la zéolithe au solvant des ions argent. Lorsqu'on applique à l'électrode un potentiel suffisamment négatif, il se dépose, au contact du carbone, de l'argent métallique obtenu selon la réaction:

$$ZO-Ag^+ + e^- + Li_{sol} \rightarrow ZO-Li^+ + Ag$$

 ${
m Li+}_{sol}$  représente un ion lithium en solution aqueuse, et ZO- Ag+ un ion argent dans la matrice de la zéolithe.

Montrer que, dans l'intervalle de mesure correspondant, les résultats suivants peuvent être interprétés dans le modèle d'une diffusion linéaire des ions argent dans la zéolithe.

| $c^* = 1,5 \text{ mol.} l^{-1}$      | t (s)         | 3,8  | 4,4  | 5,0  | 5,7  | 7,2  |
|--------------------------------------|---------------|------|------|------|------|------|
|                                      | i (mA)        | 29,4 | 27,3 | 25,7 | 24,0 | 21,4 |
| $c^* = 1,25 \text{ mol.l}^{-1}$      | t (s)         | 4,3  | 5,0  | 5,4  | 6,4  | 7,3  |
|                                      | i (mA)        | 23,1 | 21,5 | 20,7 | 19,0 | 17,8 |
| c* = 1,0 mol.l-1                     | t (s)         | 5,6  | 6,3  | 7,5  | 8.3  | 9,4  |
|                                      | i (mA)        | 14,9 | 14,1 | 12,9 | 12,2 | 11,5 |
| $c^* = 0.75 \text{ mol.l}^{-1}$      | t (s)         | 4,3  | 4,5  | 5,1  | 5,8  | 6,8  |
| E = 0,73 Mol.1                       | <i>i</i> (mA) | 15,3 | 14,9 | 14,0 | 13,1 | 12,1 |
| $c^* = 0.3 \cdot \text{mol.} l^{-1}$ | t (s)         | 5,5  | 6,4  | 7,1  | 7,9  | 9,2  |
|                                      | <i>i</i> (mA) | 4,4  | 4,1  | 3,9  | 3,7  | 3,4  |

Sachant que la surface de contact entre la zéolithe et le carbone est voisine de 30 cm², déduire du tableau précédent la valeur du coefficient de diffusion des ions argent dans la zéolithe que l'on peut déterminer par chronoampérométrie.

Comparer les valeurs des coefficients de diffusion dans l'eau et dans la zéolithe.

#### 3. VOLTAMÉTRIE A BALAYAGE LINÉAIRE DE TENSION.

On utilise une électrode que l'on suppose recouverte du réducteur Red dont l'activité est prise égale à 1. On applique, à partir de l'instant t=0, un potentiel variant au cours du temps selon la loi affine :  $E=E_i-\alpha t$ ;  $E_i$  est le potentiel initial et  $\alpha$  est un paramètre expérimental positif appelé vitesse de balayage du potentiel.

3.1. Déterminer le potentiel d'équilibre de l'électrode lorsqu'elle est immergée dans une solution de l'oxydant de concentration molaire  $c^*$ .

Quelle doit être la valeur du potentiel initial  $E_i$  pour que i = 0 à t = 0?

On suppose que, quel que soit t, la concentration de l'oxydant à la surface de l'électrode  $c\left(0,t\right)$  et le potentiel E sont reliés par la relation de Nernst. Déduire de cette hypothèse l'expression de  $c\left(0,t\right)$  en

fonction de 
$$\mathit{c}^{\star}$$
 et  $\sigma \left( \, \sigma = \frac{\nu \alpha F}{RT} \right)$  .

3.2. Détermination de l'intensité i(t).

On utilisera les résultats des paragraphes 1.3. et 1.4.

- 3.2.1. D'après la relation précédente, déterminer la fonction P(s) qui correspond au cas du balayage linéaire de tension.
  - 3.2.2. Exprimer, en fonction de  $c^*$ , D, s et  $\sigma$ , la valeur

$$\left[\frac{\partial \overline{c}(x,s)}{\partial x}\right]_{x=0} \quad \text{de} \quad \frac{\partial \overline{c}(x,s)}{\partial x} \grave{a} x = 0.$$

En déduire 
$$\left[\frac{\partial c(x,t)}{\partial x}\right]_{x=0}$$
. On pourra poser :

$$\phi(u) = \exp(-u^2) \int_0^u \exp(z^2) dz$$
 (cf. tableau § 1.4.).

3.2.3. Montrer que la variation de l'intensité en fonction du temps est donnée par la relation :

$$i(t) = \frac{2 v^{3/2} F^{3/2} Ac^* D^{1/2} \alpha^{1/2}}{\pi^{1/2} R^{1/2} T^{1/2}} \phi [(\sigma t)^{1/2}].$$

3.2.4. Le tableau suivant donne quelques valeurs approchées de la fonction  $\phi$  (u) :

| u     | 0 | 0,1   | 0,3   | 0,5   | 0,7   | 0,9   | 0,95  | 1,2   | 1,3   | 1,5   | 1,7   | 2     |
|-------|---|-------|-------|-------|-------|-------|-------|-------|-------|-------|-------|-------|
| Ø (u) | 0 | 0,099 | 0,283 | 0,424 | 0,510 | 0,541 | 0,541 | 0,507 | 0,483 | 0,428 | 0,372 | 0,301 |

Tracer l'allure de la courbe représentant les variations de l'intensité en fonction de  $E_i-E$  pour des valeurs de  $(E_i-E)$  comprises entre 0 et 0,1 V environ, lorsque  $\nu=1$ .

3.2.5. La fonction  $\phi(u)$  passe par un maximum égal à 0,5410 pour une valeur de u égale à 0,9241.

Exprimer le potentiel correspondant  $\mathbf{E}_p$  (potentiel de pic) en fonction de  $\mathbf{E}^o$ ,  $c^*$  et v.

La vitesse de balayage  $\alpha$  a-t-elle une influence sur  $\mathbf{E}_p$ ? Même question pour l'influence de  $c^*$ .

Exprimer la valeur de l'intensité maximale  $i_p$  (intensité du courant de pic) en fonction de  $\nu$ , A, D,  $c^*$  et  $\alpha$ .

3.3. Application à la détermination du coefficient de diffusion des ions argent dans une zéolithe.

On reprend le système décrit au paragraphe 2.3. et l'on trace les voltammogrammes sur des échantillons de zéolithe de diverses teneurs en ions argent.

3.3.1. Le tableau ci-après indique, pour une même vitesse de balayage du potentiel, les variations de  $i_p$  en fonction de la teneur en ions argent :

| c* (mol.l-1)              | 0,5  | 0,75 | 1,0 | 1,25 |
|---------------------------|------|------|-----|------|
| <i>i<sub>p</sub></i> (mA) | 3,7. | 5,4  | 8,0 | 10   |

Ces résultats sont-ils conformes à ceux attendus d'après le paragraphe 3.2.?

3.3.2. Le tableau suivant donne les valeurs de  $i_p$  mesurées pour une concentration en ions argent donnée ( $c^* = 0.5$  mol.  $l^{-1}$ ), et les vitesses de balayage de potentiel  $\alpha$  correspondantes :

| α (mV.s <sup>-1</sup> )   | 1,67 | 2,17 | 3,22 | 4,70 | 6,53 |
|---------------------------|------|------|------|------|------|
| <i>i<sub>p</sub></i> (mA) | 3,6  | 4,6  | 6,0  | 6,3  | 7,5  |

Les variations de  $i_p$  en fonction de  $\alpha$  sont-elles en accord avec les prévisions du paragraphe 3.2. ? La surface de contact entre la zéolithe et le carbone étant la même que lors de l'étude chronoampérométrique, déterminer la valeur du coefficient de diffusion des ions argent dans la zéolithe à laquelle conduit cette série de mesures.

Comparer au résultat obtenu à l'aide de la chronoampérométrie.

### C. SPECTRES ELECTRONIQUES DES METAUX DE TRANSITION

Application à l'étude de la coordination d'ions échangeables dans une zéolithe

#### 1. Spectroscopie atomique.

 Principales énergies d'interaction dans un atome polyélectronique.

Les niveaux énergétiques des électrons de la couche externe dépendent :

- des interactions de ces électrons avec le noyau dont ils sont protégés incomplètement par les couches internes;
- des répulsions interélectroniques entre les électrons de la couche externe ;
- des couplages des moments cinétiques orbitaux et de spin des électrons.

Classer par ordre d'importance décroissante les interactions subies par un électron d'un atome polyélectronique.

#### 1.2. Classification de Russel-Saunders.

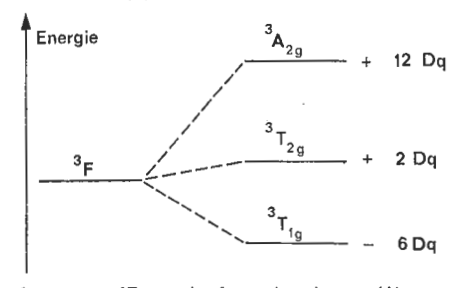
- a) En quoi consiste le couplage LS de Russcl-Saunders?
- b) Donner les termes spectroscopiques associés aux configurations  $d^1$  et  $d^9$ .
- c) Les termes  $^{3}$ P,  $^{3}$ F,  $^{1}$ D,  $^{1}$ G,  $^{1}$ S peuvent être associés à une configuration  $d^{2}$ . Donner les règles de Hund et en déduire le terme fondamental d'une configuration  $d^{2}$ .
- d) Les séparations énergétiques entre les termes <sup>3</sup>F et <sup>3</sup>P, <sup>3</sup>F et <sup>1</sup>D, <sup>3</sup>F et <sup>1</sup>G, <sup>3</sup>F et <sup>1</sup>S sont respectivement égales à 15 B, 5 B + 2 C, 12 B + 2 C et 22 B + 7 C (B et C sont les paramètres de Racah de répulsion interélectronique).

Sachant que C  $\approx$  4,7 B, tracer le diagramme énergétique des termes des ions  $d^2$  et  $d^8$ .

- 1.3. a) Décrire l'influence du couplage spin-orbite sur le terme fondamental d'un ion  $d^2$ .
- b) Soit  $\lambda$  la constante de couplage spin-orbite. Sachant que l'écart d'énergie entre deux états J successifs est égal à  $\Delta E_{J,\ J+1}=\lambda$  (J + 1), tracer les diagrammes des niveaux d'énergie des états d'un ion  $d^2$  et d'un ion  $d^8$ . Indiquer sur ce diagramme la valeur de l'énergie de couplage spin-orbite associée à chaque état, en prenant comme zéro d'énergie, celle du terme dégénéré.
- 2. Spectre électronique des ions complexes : Théorie du Champ cristallin.
- 2.1. Placer les interactions avec le champ cristallin dans la classification établie au paragraphe 1.1.:
- dans le cas d'un champ cristallin faible;
- dans le cas d'un champ cristallin fort.
  - 2.2. Champ cristallin faible.
- **2.2.1.** Donner le diagramme de division du terme spectroscopique associé à un ion  $d^1$  et à un ion  $d^9$ :
- a) Sous l'influence d'un champ octaédrique (symbolisé par  $O_{\mathbf{k}}$ ) faible :
- b) Sous l'influence d'un champ tétraédrique (symbolisé par  $T_d$ ) faible.

Préciser dans chaque cas la valeur de l'énergie associée à chaque terme en unité Dq d'énergie de champ cristallin (origine de l'énergie égale à celle du terme dégénéré).

2.2.2. Le terme spectroscopique  $^3{\rm F}$  d'un ion  $d^2$  dans un champ  ${\rm O}_h$  faible est divisé suivant (\*) :



Le niveau du terme 3P est inchangé suivant (\*):

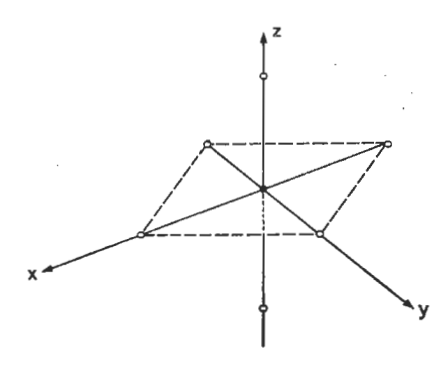


<sup>(\*)</sup> Les symboles A, B, E et T, assortis de leurs indices, sont ceux utilisés habituellement dans la théorie des groupes : symboles de Mulliken.

En déduire la distribution énergétique des termes triplet dérivés d'une configuration  $d^8$  dans un champ  $O_h$  faible, puis dans un champ tétraédrique  $T_d$  faible.

#### 2.2.3. Distorsion tétragonale.

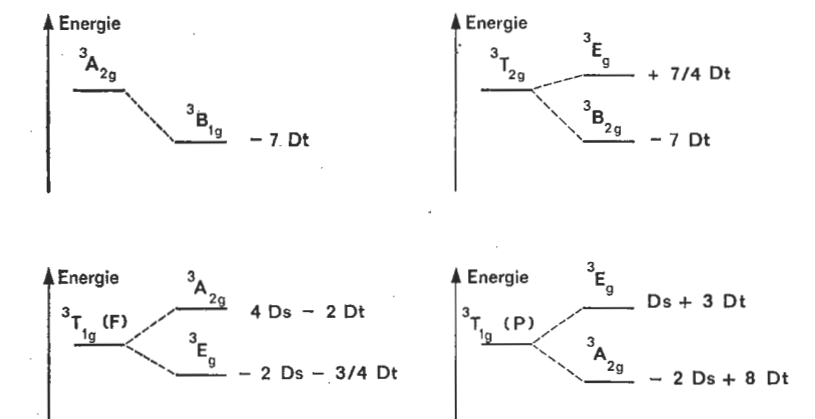
On considère la bipyramide tétragonale :



Elle appartient au groupe ponctuel D<sub>4 tr</sub>.

- a) Quels sont les éléments de symétrie et les opérations de symétrie de ce groupe ?
- b) En examinant comment se transforment les orbitales  $d_{z^2,y^2}$ ,  $d_{xy}$ ,  $d_{yz}$ ,  $d_{zx}$  dans les opérations de symétrie du groupe  $D_{4h}$ , établir la table de caractères correspondante. En déduire la correspondance entre les orbitales d ci-dessus et les représentations irréductibles du groupe  $D_{4h}$ :  $A_{1g}$ ,  $B_{1g}$ ,  $B_{2g}$ ,  $E_{g}$ .
- c) Quelles sont les distributions énergétiques des termes d'un ion  $d^1$  et d'un ion  $d^9$  dans un champ cristallin octaédrique distordu tétragonalement par élongation le long de l'axe Oz (symétrie  $D_{4h}$ )?
  - 2.2.4. Champ cristallin de symétrie D<sub>3 h</sub>.
- a) Donner les éléments de symétrie et les opérations de symétrie du groupe  $D_{3.6}$ .
- b) Représenter sur un diagramme des niveaux d'énergie des orbitales d l'influence d'un champ cristallin de symétrie D<sub>3 ½</sub> créé par des ligands situés aux sommets d'une bipyramide trigonale comprimée suivant l'axe Oz (on prendra comme axe Oz l'axe C<sub>3</sub>).
- c) Les représentations irréductibles du groupe  $D_{3h}$  sont  $A_1$ , E. E. En s'aidant des résultats du paragraphe 2.2.4. b), établir la correspondance entre les orbitales moléculaires d et les représentations irréductibles du groupe  $D_{3h}$  dans le cas d'un ion  $d^1$  et d'un ion  $d^9$ .
  - 2.2.5. Transitions électroniques.
  - a) Enoncer la loi de Beer-Lambert.
- b) Quelles sont les règles de sélection des transitions électroniques permises?

- c) Par quels mécanismes peut-on expliquer néanmoins l'existence de transitions d-d?
- d) Combien de transitions électroniques observera-t-on dans les cas d'un ion  $d^2$  et d'un ion  $d^8$  dans un champ cristallin  $O_h$  et dans un champ cristallin  $T_d$ ?
- e) Les termes triplet d'un ion  $d^2$  sont divisés par la distorsion tétragonale  $\mathrm{D}_{4\,h}$  d'un champ  $\mathrm{O}_h$  selon :



Ds et Dt sont des énergies de distorsion tétragonale. Quelles transitions électroniques observera-t-on pour un ion  $d^2$  et pour un ion  $d^8$ ?

- 2.2.6. Propriétés électroniques et stéréochimie des complexes mononucléaires du cuivre (II) et du nickel (II).
- a) Donner les configurations électroniques du cuivre (II) et du nickel (II).
- b) Les solutions aqueuses de cuivre (II) présentent seulement une bande d'absorption de faible intensité dont le maximum est situé à la longueur d'onde  $\lambda=833$  nm. Le coefficient d'extinction molaire  $\epsilon$  vaut 11 mol $^{-1}$ , l. cm $^{-1}$ . Quelle est la stéréochimie du complexe hydraté? Justifier la coloration bleu pâle de la solution. En solution ammoniacale concentrée, la bande d'absorption est observée à  $\lambda=606$  nm. Donner la formule et la stéréochimie du complexe. Identifier la transition électronique et justifier la coloration bleue intense de la solution.
- c) La bande d'absorption du cuivre (II) dans les zéolithes hydratées de type faujasite varie avec le rapport des quantités de silicium et d'aluminium Si/Al.
  - $\lambda=805~\mathrm{nm}$  pour les zéolithes X échangées au cuivre pour lesquelles  $\mathrm{Si/Al}=1,2.$
  - $\lambda = 823$  nm pour les zéolithes Y échangées au cuivre pour lesquelles Si/Al = 2,4.

Quelle est la coordination des ions cuivre (II) dans les supercages des zéolithes? Commenter les différences des longueurs d'ondes d'absorption.

Après déshydratation, la bande d'absorption est résolue en trois bandes dont les maximums d'absorption sont situés à 980, 800 et 667 nm pour les zéolithes X échangées au cuivre. La déshydratation complète conduit à un spectre à deux bandes dont les maximums sont situés à  $\lambda = 926$  nm et  $\lambda = 690$  nm. En examinant les diagrammes énergétiques tracés aux paragraphes 2.2.1., 2.2.3. et 2.2.4., en déduire la coordination des ions cuivre (II) dans les zéolithes X anhydres. Identifier les transitions électroniques.

d) Les solutions aqueuses de nickel (II) absorbent à  $\lambda_1=1\,176$  nm,  $\lambda_2=741$  nm et  $\lambda_3=395$  nm.

En examinant les diagrammes énergétiques des paragraphes 2.2.2., et 2.2.5., indiquer quelles coordinations l'existence de ces trois bandes permet d'envisager. Les coefficients d'extinction molaire de ces trois bandes sont respectivement :

 $\epsilon_1 = 1.6 \text{ mol}^{-1}. \text{ l. cm}^{-1}, \quad \epsilon_2 = 2.0 \text{ mol}^{-1}. \text{ l. cm}^{-1} \quad \epsilon_3 = 4.6 \text{ mol}^{-1}. \text{ l. cm}^{1-}.$ 

En déduire la coordination des ions nickel (II) en solution aqueuse.

A quelles transitions électroniques correspondent ces bandes d'absorption ? Justifier la coloration verte des solutions.

Quelle est la valeur de l'énergie du champ cristallin créé par les molécules d'eau?

Ouelle est la valeur du paramètre de répulsion interélectronique B?

e) Une solution d'ions nickel (II) dans l'ammoniaque concentrée présente trois bandes d'absorption. Quelles coordinations peut-on envisager pour ce complexe?

Sachant que deux des maximums d'absorption sont situés à  $\lambda_1 =$  926 nm et  $\lambda_2 = 571$  nm, déterminer la coordination du nickel (II) dans le complexe; quelle est la valeur attendue pour la longueur d'onde  $\lambda_3$  du troisième maximum, si l'on suppose que B garde la valeur précédemment déterminée ? Quelle est la couleur de la solution ?

f) Une solution aqueuse d'ions tétrachloronickelate (II) absorbe à  $\lambda_1=2\,500$  nm,  $\lambda_2=1\,282$  nm et  $\lambda_3=667$  nm. Le coefficient d'extinction molaire  $\epsilon$  est, pour chacune de ces trois bandes, voisin de 170 mol<sup>-1</sup>. l. cm<sup>-1</sup>. En déduire la stéréochimie de cet ion complexe. Identifier les transitions électroniques et calculer la valeur de l'énergie du champ cristallin ainsi que celle du paramètre de répulsion interélectronique B. Comparer cette valeur de B à celle obtenue au paragraphe d; commenter.

#### 2.3. Champ cristallin fort.

2.3.1. Donner les configurations électroniques possibles pour un ion  $d^2$  et un ion  $d^8$  dans un champ octaédrique fort. Quelle est la valeur de l'énergie du niveau associé à chaque configuration (les électrons seront placés dans les orbitales  $e_g$  et  $t_{2g}$ ).

#### 2.3.2. Quelles transitions électroniques peut-on prévoir ?

#### 3. THÉORIE DES ORBITALES MOLÉCULAIRES.

Soit un ion complexe ML6 où M est un métal de transition.

- 3.1. On considère que la liaison entre le métal et les six ligands est covalente de type  $\sigma$ . A l'aide d'un diagramme qualitatif des niveaux d'énergie moléculaire, décrire le complexe  $ML_6$  dans le cadre de la théorie des orbitales moléculaires.
  - 3.2. Tracer le même diagramme dans le cas où :
    - a) Les ligands jouent en plus le rôle de donneurs d'électrons  $\pi$ ;
    - b) Les ligands jouent en plus le rôle d'accepteurs d'électrons  $\pi$ .
- 3.3. En déduire les transitions électroniques prévisibles pour un ion  $d^1$  dans chacun des trois cas précédents. Les classer par ordre énergétique.

#### D. EXEMPLES D'APPLICATIONS CATALYTIQUES DES ZEOLITHES ACIDES

#### 1. Synthèse d'un dioxanne-1.3 substitué.

1.1. Par réaction du méthanal et du méthoxy-2 (propène-1 yl)-4 phénol en présence d'un catalyseur acide, il se forme du (hydroxy-4 méthoxy-3 phényl)-4 méthyl-5 dioxanne-1,3.

En utilisant comme catalyseur une résine échangeuse d'ions acide, le rendement de la réaction envisagée est très élevé et la stéréosélectivité intéressante.

Ecrire l'équation de cette réaction et proposer un mécanisme.

- 1.2. Proposer une synthèse en un petit nombre d'étapes du méthoxy-2 (propène-1 yl)-4 phénol :
- a) A partir d'hydroxy-4 méthoxy-3 benzaldéhyde et d'un réactif approprié;
- b) A partir d'acide hydroxy-2 méthoxy-3 benzoïque et notamment de bromo-3 propène-1 (bromure d'allyle).

#### 2. DÉSHYDRATATION DU PROPANOL-2 SUR ZÉOLITHE X.

On considère une zéolithe acide, symbolisée ZOH. Les espèces adsorbées mises en jeu au cours de la réaction sont formées par transfert de proton. On a proposé le mécanisme de réaction suivant :

$$CH_3 - CHOH - CH_{3(g)} + ZOH \longrightarrow CH_3 - CH - OH_2$$

$$- OZ$$

$$(I)$$

(II) 
$$\xrightarrow{k_2}$$
  $CH_3 - CH = CH_2 + ZOH$ 

(II) + (I) 
$$\xrightarrow{k_3}$$
 (CH<sub>3</sub>)<sub>2</sub>CH -  $\overset{+}{O}$ H - CH(CH<sub>3</sub>)<sub>2</sub> + ZOH (III) -  $\overset{\cdot}{O}$ Z

(III) 
$$\xrightarrow{k_4}$$
 (CH<sub>3</sub>)<sub>2</sub>CH  $\sim$  O  $\sim$  CH(CH<sub>3</sub>)<sub>2</sub> + ZOH

On considère que l'équilibre d'adsorption du propanol-2 est réalisé et que la concentration molaire [I] en composé (I) est déterminée par une isotherme de Freundlich :

$$K = \frac{[I]}{p_{i}^{q} \cdot c_{OH}}$$

où  $p_i$  est la pression partielle de propanol-2 et  $c_{\rm OH}$  la concentration molaire en groupes hydroxyle accessibles dans la zéolithe.

Déterminer les expressions des vitesses de formation du propène,  $v_{p}$ , et de l'éther-oxyde,  $v_{e}$ .

L'expérience montre que les vitesses sont de la forme :

$$v_p = k' p_i^q \cdot c_{\text{OH}}$$
 et  $v_e = k'' p_i^{2q} \cdot c_{\text{OH}}^2$ .

Quelle hypothèse sur les vitesses  $v_p$  et  $v_e$  permet de retrouver ces résultats expérimentaux à partir du mécanisme proposé?

#### **SOLUTION**

### A. ASSEMBLAGES TRIDIMENSIONNELS VACUOLAIRES

- 1. Exemple de résine échangeuse d'ions.
  - 1.1. Le motif du polystyrène est :

On obtient un enchaînement dit tête à queue :

tête queue

-CH2-CH-CH2-CH-

résultant d'une polymérisation radicalaire, par exemple.

A chaque addition du monomère à l'extrémité de la chaîne en croissance, on obtient préférentiellement le radical le plus stable (carbone secondaire et mésomérie) :

plus stable que:

$$Y + CH_2 - CH \rightarrow_{n-1} CH - \mathring{C}H_2$$

1.2. Par ses deux doubles liaisons éthyléniques, le paradivinylbenzène :

$$CH_2 = CH$$

$$CH_2 = C - H$$

peut participer à deux chaînes de polymère en croissance, entraînant leur liaison.

On obtient une structure schématisée ci-après :

Un polymère est dit réticulé lorsque des chaînes linéaires sont reliées entre elles en une structure tridimensionnelle.

1.3.a) L'acide chlorosulfonique  $ClSO_3H$  réalise une substitution électrophile sur le noyau benzénique. La chaîne carbonée a un effet donneur et les substitutions seront favorisées en position ortho ou para, ici en position para surtout pour des raisons d'encombrement en position ortho.

On introduit donc le groupe —  $SO_3H$  préférentiellement en position para :

b) Le groupe introduit — SO<sub>3</sub>H est celui d'un acide sulfonique, acide fort. Le sel de sodium peut échanger le cation sodium par le cation calcium. L'équilibre d'échange est en faveur du cation Ca<sup>2+</sup>, plus petit et plus chargé. On régénère en ions sodium en faisant passer dans la résine une solution concentrée de chlorure de sodium en excès.

$$\begin{array}{c} \text{(CH-CH_2+} \xrightarrow{\text{eau dure}} \\ + 1/2 \text{ Ca}^{2+}, - \text{Na}^{+} \\ \text{SO}_{3}^{-} \text{ Na}^{+} \\ \end{array}$$

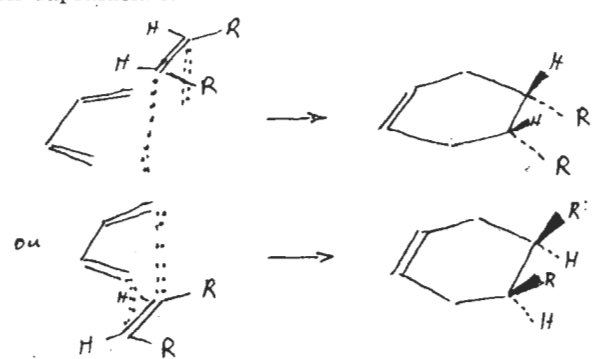
La dureté de l'eau, due aux ions calcium ou magnésium, est ainsi diminuée.

### 2. SYNTHÈSE D'UNE CAGE HYDROCARBONÉE.

2.1.1. En nomenclature systématique (\*) (système de Von Baeyer), il s'agit du bicyclo [2.2.1.] hexachloro-1,2,3,4,7,7 heptadiène-2.5.



- 2.1.2. Le cyclopentadiène est facilement dimérisé. Le chauffage effectué lors de sa distillation le dédimérise.
  - 2.1.3. a) Voir tableau résumé, en appendice.
  - b) La réaction est stéréospécifique compte tenu de l'addition suprafaciale.



(R représentant ici un substituant attracteur type —  $CO_2E_t$ ).

- c) \* Le diène doit être activé par des substituants donneurs d'électron, le philodiène par un substituant attracteur (règle de Diels).
- \* Le diène ne peut réagir que dans la conformation s-cis (arrangement géométrique cis autour de la liaison simple (s) (la plupart des diènes existent sous la conformation s-trans, mais la barrière d'interconversion s-trans  $\rightarrow$  s-cis est faible, de l'ordre de 20 kJ. mol<sup>-1</sup>).
- 2.1.4. La double liaison substituée ne réagit pas du fait de l'effet de gène stérique des atomes de chlore substituants.

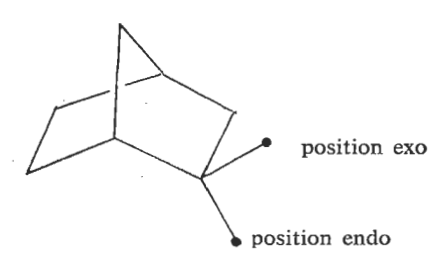
<sup>(\*)</sup> Règles de Nomenclature pour la chimie organique, section B. Livre édité par la Société Chimique de France.

2.1.5.a) Il peut se former 4 stéréo-isomères (4 configurations différentes) :

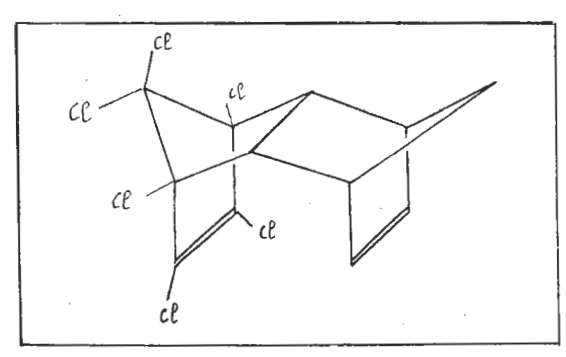
endo-endo

2.1.5.b) \* On obtient l'adduit endo-endo compte tenu de l'effet stérique du groupe  $CCl_2$  (défavorable au cas  $\alpha$ ) et  $\beta$ ) précédents) et d'effets secondaires d'orbitales, favorables au cas  $\delta$ ).

\* Dans le cas de composés bicycliques comme (I), la position d'un substituant est définie par rapport à la branche la plus courte conformément au schéma suivant :



2.1.5. c) (II) est l'adduit endo-endo précédent, soit encore :



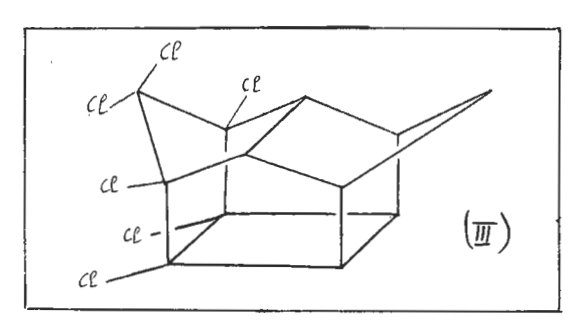
Le rendement est 
$$\rho = \frac{\frac{m(II)}{M(II)}}{\frac{m(I)}{M(I)}}$$

Les masses molaires de (I) et (II) sont :

$$M (I) = 6 \times 35,5 + 7 \times 12 + 2 \times 1 = 299 \text{ g. mol}^{-1}$$
  
 $M (II) = 6 \times 35,5 + 12 \times 12 + 8 \times 1 = 365 \text{ g. mol}^{-1}$   
 $\Rightarrow \varrho = \frac{2,7}{365} \times \frac{299}{3,0} = \boxed{0,74 = \rho}$ 

2.2.1. Voir tableau en appendice.

### 2.2.2.



## 2.3.1. Par exemple:

\* Réduction par un métal en milieu acide :

$$RX \xrightarrow{Zn, HCl} RH + Zn Cl_2.$$

(Avec un métal plus réactif, tel que le sodium, un acide plus faible, tel un alcool, peut suffire).

\* 
$$RX \xrightarrow{Mg} R - MgX \xrightarrow{HOH} R - H + MgX OH.$$

### 2.3.2. Par exemple:

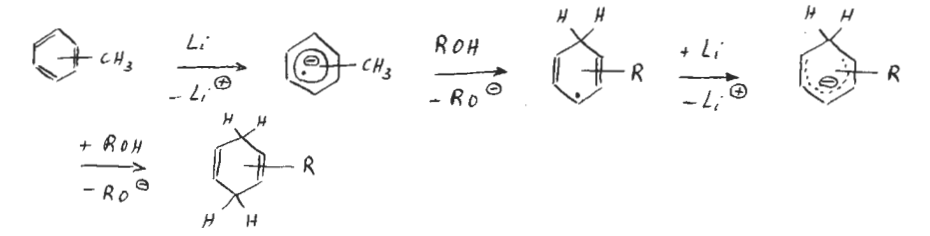
- \* Hydrogénation catalytique en présence de nickel, en milieu basique (OH-).
  - \* Action d'une base sur un sel de phosphonium quaternaire :

$$(CH_3)_3 P : + RCl \rightarrow (CH_3)_3 P^{\bigoplus} - R + Cl^{\bigoplus}$$

$$\xrightarrow{OH_{\bigoplus}} (CH_3)_3 P = 0 + RH.$$
tion, par le horobydrure de sodium. Na

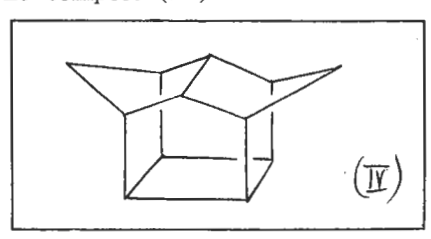
\* Réduction par le borohydrure de sodium  $NaBH_4$  dans le DMSO ou par l'aluminohydrure de lithium après formation de  $ROSO_2Ar$ .

### 2.3.3. Il s'agit de la réaction de Birch :



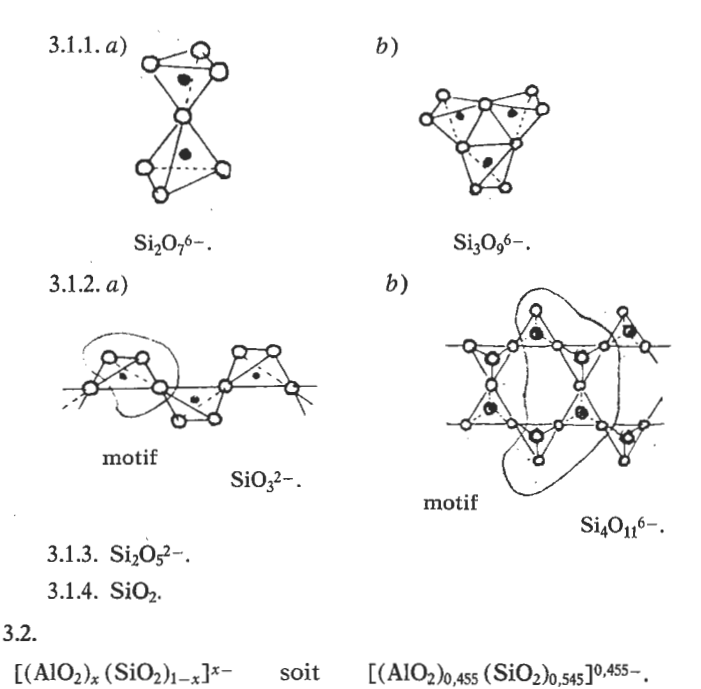
Le groupe méthyle —  $CH_3$  facilite le transfert d'électron, donc la réduction est plus facile et donne le méthyl-1 cyclohexadiène-1.4 :

## 2.3.4. Le composé (IV) est :



# 3. Silicates, aluminosilicates, zéolithes.

## 3.1. Silicates.



# APPENDICE

# CYCLOADDITIONS CONCERTEES

| Me'Hodo de   | Woodward - Hoffmann   | Fukui   | Dewar   |
|--|---|---|---|
|  | Correlation des O.M.  | orbitales frontières  | aromaticité de l'étal de transition   |
| Bringe   | la correlation est la faça continua<br>delon laquette se housefame au rous<br>de la réaction chimique chaque OII des<br>réactifs en OII des produits.<br>Cette correlation doit vérifier la<br>conservation des symétries (sont<br>ainsi reliées des OII de memo symétrie | Recouvement possible Idouc<br>furnable) completenu des<br>symétries de la HO. d'un<br>réactant et de la B.V. delaute  | Pour le système dans l'état de l'amosition lors du recouvre-<br>ment d'orbitales le pombre de le système trest aromati cardiffe du martie de signes des de déclarations de l'orbitales est l'orbi |
| processus ent<br>processus ent<br>parvoie<br>thermique A | il y a conscilation entre DII Pianles<br>des réactifs et des produits   | ber deux reachif régissent dans leux état fondamental   | nul ou pair Huckel 4 n+2<br>impair Hochius 4n<br>(asti-Huckel) 4n   |
| - par voie<br>- photochimique<br>Ry                      | ilya une corrélation entre une DAliante<br>et une OM antificate   | L'un des troctif est dans dan 1º état excité, l'autre clausson etat fondamental.  | les réactions péricycliques .<br>thus migus ont lieu par<br>l'intermédiaire d'un état de<br>tiameition asomalique .   |
| cycloadditons [2+4] (Suprafacioles)  permises A          | $\begin{array}{c ccccccccccccccccccccccccccccccccccc$   | Processus D  By de l'afteine  (T *)  lecouvrement favorable -> permis  Rg. processus & v  Ho du diène  14 etat reach;  (Y3(4))  By del 'aliene  etat faudanchal  secouvrement no favorable  (T *)   | Elat de transitron  type Huckel (2 change- neats de signe)  acc 6 e  atomatique  réaction permise A   |
| ydoadditims [2+2]  permise Ry                            | $\begin{array}{c ccccccccccccccccccccccccccccccccccc$   | processus & y  A per estat excelé  BV molecule  S estat forcharate  recouviement favorable  icaction concentée permise  Rq. processus 1 2 molecules à l'élat fonde mestat  B N  B N  ceauviement non favorable  > stéaction concentée intendite | Elat de transition  * type Hückel   |

### B. APPLICATION DE METHODES ELECTROCHIMIQUES. À L'ETUDE DE LA DIFFUSION D'IONS DANS UNE ZEOLITHE

- 1. Phénomènes de diffusion linéaire : lois de Fick.
  - 1.1. Première loi de Fick [1].
    - a) La quantité dn est donnée par :

$$dn = c(x, t) \cdot A \cdot v \cdot dt$$
.

Le flux J(x, t) est défini par  $J(x, t) = \frac{dn}{A \cdot dt}$  d'où :

$$J(x,t) = c(x,t) \cdot v = \frac{c(x,t)}{a} \cdot \frac{\partial \mu(x,t)}{\partial x},$$

or:

$$\mu = \mu^{o} + RT \ln c \Rightarrow \frac{\partial \mu}{\partial x} = \frac{RT}{c} \frac{\partial c}{\partial x}$$

donc:

$$J(x,t) = \frac{RT}{a} \cdot \frac{\partial c(x,t)}{\partial x}.$$

Le flux J(x, t) est donc proportionnel à  $\frac{\partial c(x, t)}{\partial x}$ 

$$J(x,t) = D \frac{\partial c(x,t)}{\partial x}$$
 avec  $D = \frac{RT}{a}$ .

La dimension de J est :

[Quantité de matière] • [Longueur]-2 • [Temps]-1

celle de 
$$\frac{\partial c}{\partial x}$$
 est :

[Quantité de matière] • [Longueur]-4,

donc celle de D est :

En unités S.I., D s'exprime en m<sup>2</sup>. s<sup>-1</sup>.

b) Si les forces de frottement sont uniquement dues au solvant, d'après la loi de Stokes :

$$\frac{1}{N_A} \frac{\partial \mu}{\partial x} = 6 \pi \eta r v,$$

d'où: 
$$N_A 6 \pi \eta r = a = \frac{RT}{D} \Rightarrow D = \frac{kT}{6 \pi \eta r}$$

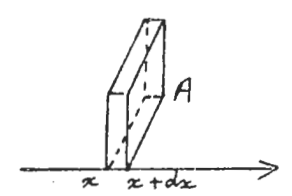
c) Quelle que soit la nature des forces (que l'espèce ionique se déplace sous l'effet d'un gradient de potentiel chimique ou sous l'influence d'un champ électrique E), si celles-ci sont égales, la vitesse de l'ion sera la même :

$$z e E = \frac{1}{N_A} \frac{\partial \mu}{\partial x} \Rightarrow \frac{1}{N_A} \frac{RT v}{D} = z e E;$$

si u est la mobilité de l'ion, v = u E, donc  $\frac{RT}{N_A D}$  u = z e.

Avec 
$$u = \frac{\lambda}{z F}$$
, on obtient RT  $\lambda = z^2 F^2 D$  d'où  $\lambda = \frac{z^2 F^2}{RT} D$ .

1.2. Deuxième loi de Fick [1].



- La quantité de matière entrant en x par la face d'aire A pendant l'intervalle de temps dt est  $A \cdot dt \cdot J(x, t)$ .
  - Pour la face située en  $x + dx : + A \cdot dt \cdot J(x + dx, t)$ .
  - Pour les autres faces, les flux sont nuls.

La variation, par unité de temps, de la quantité de matière contenue dans le volume  $A \cdot dx$  est donc :

$$\frac{\partial n(x,t)}{\partial t} = \mathbf{A} \cdot \mathbf{J}(x + dx, t) - \mathbf{A} \cdot \mathbf{J}(x, t)$$

or:

$$n(x,t) = \mathbf{A} \cdot dx \cdot c(x,t) \quad \text{et} \quad \mathbf{J}(x+dx,t) = \mathbf{J}(x,t) + \frac{\partial \mathbf{J}(x,t)}{\partial x} dx$$

d'où:  $\frac{\partial c(x,t)}{\partial t} = \frac{\partial J(x,t)}{\partial x}.$ 

En utilisant la première loi de Fick, on obtient :

$$\frac{\partial c(x,t)}{\partial t} = D \frac{\partial^2 c(x,t)}{\partial x^2}$$
 (équation 1).

1.3. Intensité du courant i(t) circulant dans l'électrode.

L'intensité du courant est égale au produit de la charge mise en jeu au cours de leur réduction par le nombre de particules arrivant, par unité de temps, à la surface de l'électrode :

$$i(t) = v F A J(0, t)$$

d'où:

$$i(t) = v F A D \left[ \frac{\partial c(x, t)}{\partial x} \right]_{x=0}$$

1.4. Résolution [2].

1.4.1. En utilisant la transformation de Laplace (tableau):

$$i(s) = v F A D \left[ \frac{\partial \overline{c}(x, s)}{\partial x} \right]_{x=0}$$

1.4.2. Le tableau de l'énoncé montre que la transformée de Laplace de l'équation (1) s'écrit :

$$s \cdot \overline{c}(x, s) - c(x, 0) = D - \frac{\partial^2 \overline{c}(x, s)}{\partial x^2}$$
.

En tenant compte de la condition initiale  $c(x,0) = c^*$ :

$$\frac{\partial^2 \overline{c}(x,s)}{\partial x^2} - \frac{s}{D} \overline{c}(x,s) = -\frac{c^*}{D}.$$

Il s'agit d'une équation différentielle en x, du second ordre, linéaire à coefficients constants ; la solution est la somme d'une solution particulière ( $\overline{c} = \frac{c^{\bullet}}{s}$  « évident ») et de la solution générale de l'équation sans second membre. La caractéristique de cette dernière est  $\rho^2 - \frac{s}{D} = 0$  d'où  $\rho = \pm \left(\frac{s}{D}\right)^{1/2}$ . Donc  $\overline{c}$  est de la forme :

$$\overline{c}(x, s) \dots$$

$$\dots = \frac{c^*}{s} + P(s) \exp[-(s/D)^{1/2} \cdot x] + Q(s) \cdot \exp[+(s/D)^{1/2} x].$$

En tenant compte de la condition limite :  $\lim_{x\to\infty} c(x,t) = c^*$  :

$$\lim_{\substack{x \to \infty \\ s \to \infty}} \overline{c}(x, s) = \frac{c^*}{s} \Rightarrow Q(s) = 0$$

d'où: 
$$\overline{c}(x,s) = \frac{c^*}{s} + P(s) \cdot \exp[-(s/D)^{1/2}x].$$

### 2. CHRONOAMPÉROMÉTRIE.

2.1. Equation de Cottrel [2].

Pour T > 0, puisque  $E \leqslant E^0$ , c(0, t) = 0, donc  $\overline{c}(0, s) = 0$ .

Or, d'après l'expression de  $\bar{c}(x, s)$ ,  $\bar{c}(0, s) = \frac{c^*}{s} + P(s)$ . Donc

$$P(s) = -\frac{c^*}{s} \text{ et } \overline{c}(x, s) = \frac{c^*}{s} - \frac{c^*}{s} \exp \left[-s/D\right]^{1/2} x$$

$$\Rightarrow \frac{\partial \overline{c}(x, s)}{\partial x} = \frac{c^*}{s^{1/2} D^{1/2}} \exp \left[-(s/D)^{1/2} x\right]$$

$$\Rightarrow \left[\frac{\partial \overline{c}(x, s)}{\partial x}\right]_{x=0} = \frac{c^*}{s^{1/2} D^{1/2}}.$$

D'après le résultat du paragraphe 1.4.1.,  $i(s) = \frac{v \operatorname{FA} c^* \operatorname{D}^{1/2}}{s^{1/2}}$ , d'où :

$$i(t) = \frac{v \operatorname{FA} c^* D^{1/2}}{\pi^{1/2} t^{1/2}}.$$

2.2. Vérifions que le produit  $i t^{1/2}$  est constant [3].

| t (s)   | _ 60  | 180   | 300   | 420   | 540   | 660   | 780   | 900_  |
|---|-------|-------|-------|-------|-------|-------|-------|-------|
| <i>i</i> (μ <b>A</b> )                            | 16,8  | 9,71  | 7,51  | 6,35  | 5,60  | 5,07  | 4,66  | 4,33  |
| <i>i t</i> <sup>1/2</sup> (μA. s <sup>1/2</sup> ) | 130,1 | 130,3 | 130,1 | 130,1 | 130,1 | 130,3 | 130,1 | 129,9 |

L'équation de Cottrel est donc vérifiée; on en déduit la valeur du coefficient de diffusion de l'ion argent en solution aqueuse :

D = 
$$\left(\frac{i t^{1/2} \pi^{1/2}}{v A F c^*}\right)^2$$
 = 1,6 • 10<sup>-9</sup> m<sup>2</sup>. s<sup>-1</sup>.

2.3. Pour chaque valeur de  $c^*$ , on vérifie que le produit  $i t^{1/2}$  est constant, puis on calcule  $\frac{i t^{1/2}}{c^*}$  [4]:

| c* (mol. l-1)  | 1,5  | 1,25 | 1,0   | 0,75 | 0,3  |
|--|------|------|-------|------|------|
| $10^3 \cdot i \ t^{1/2} \ (A. \ s^{1/2})$                                  | 57,4 | 48,0 | _35,3 | 31,6 | 10,4 |
| $\frac{i t^{1/2}}{c^*} \text{ (A. s}^{1/2}. \text{ mol}^{-1}. \text{ m}^3$ | 38,2 | 38,4 | 35,3  | 42,1 | 34,5 |

 $\frac{i t^{1/2}}{c^*}$  est à peu près constant dans le domaine étudié : la

valeur moyenne est  $37.7 \cdot 10^{-6}$  A.  $s^{1/2}$ .  $mol^{-1}$ .  $m^3$ , d'où:

$$D^{1/2} = \frac{i t^{1/2}}{c^*} \frac{\pi^{1/2}}{v F A} \approx 2.3 \cdot 10^{-7} \text{ m. s}^{-1/2}$$

$$D \approx 5 \cdot 10^{-14} \text{ m}^2 \text{ s}^{-1}$$

La diffusion des ions argent est beaucoup plus lente dans la zéolithe que dans l'eau.

3. VOLTAMÉTRIE A BALAYAGE LINÉAIRE DE TENSION.

et:

3.1. Le potentiel d'équilibre est donné par la loi de Nernst :

$$E_{eq} = E^0 + \frac{RT}{vF} \ln c^*.$$

Pour que l'intensité du courant soit nulle à l'instant initial, il faut que  $E_i = E_{eq}$ .

La relation de Nernst s'écrit :  $E = E^0 + \frac{RT}{vF} \ln c(0,t)$ ; or :

$$E = E_i - \alpha t \Rightarrow E^0 + \frac{RT}{vF} \ln c (0, t) = E_i - \alpha t = E^0 + \frac{RT}{vF} \ln c^* - \alpha t$$

d'où : avec 
$$\sigma = \frac{\alpha \nu F}{RT}$$
,  $c(0,t) = c^* \exp[-\sigma t]$ .

3.2. Détermination de l'intensité i(t) [5].

3.2.1. La transformée de Laplace de exp  $[--\sigma t]$  est

$$\frac{1}{s+\sigma}, \operatorname{donc} \bar{c}(0,s) = \frac{c^*}{s+\sigma}.$$

D'après le résultat du paragraphe 1.4.2.,  $\bar{c}(0,s) = \frac{c^*}{s} + P(s)$ ,

donc: 
$$P(s) = -\frac{c^* \sigma}{s(s+\sigma)}.$$

$$3.2.2.$$

$$\bar{c}(x,s) = \frac{c^*}{s} - \frac{c^* \sigma}{s(s+\sigma)} \exp\left[-(s/D)^{1/2}x\right]$$

$$\Rightarrow \frac{\partial \bar{c}(x,s)}{\partial x} = \frac{c^* \sigma}{D^{1/2} s^{1/2} (s+\sigma)} \exp\left[-(s/D)^{1/2}x\right]$$

$$\Rightarrow \left[\frac{\partial \, \overline{c} \, (x,s)}{\partial x}\right]_{x=0} = \frac{c^* \, \sigma}{D^{1/2} \, s^{1/2} \, (s+\sigma)} = \frac{2 \, c^* \, \sigma^{1/2}}{\pi^{1/2} \, D^{1/2}} \cdot \frac{\sigma^{1/2} \pi^{1/2}}{2 \, s^{1/2} \, (s+\sigma)}.$$

On reconnaît dans cette expression la transformée de Laplace de la fonction  $\phi [(\sigma t)^{1/2}]$ , et l'on déduit :

$$\left[ \frac{\partial c(x,t)}{\partial x} \right]_{x=0} = \frac{2 c^* \sigma^{1/2}}{\pi^{1/2} D^{1/2}} \phi [(\sigma t)^{1/2}].$$

3.2.3. De l'expression précédente et du résultat du paragraphe 1.3., on déduit l'expression de l'intensité :

$$i(t) = v F A D \left[ \frac{\partial c(x, t)}{\partial x} \right]_{x=0} = \frac{2 v F A D^{1/2} c^* \sigma^{1/2}}{\pi^{1/2}} \phi [(\sigma t)^{1/2}].$$

En développant  $\sigma = \frac{\alpha \nu F}{PT}$ , on obtient la relation :

$$i(t) = \frac{2 v^{3/2} F^{3/2} A c^* D^{1/2} \alpha^{1/2}}{\sigma^{1/2} R^{1/2} T^{1/2}} \phi [(\sigma t)^{1/2}].$$

3.2.4. Pour obtenir l'allure de la courbe représentant l'intensité en fonction du potentiel (voltammogramme), il suffit de calculer les valeurs de  $E_i$ —E associées à chaque valeur de  $\sigma t$ :

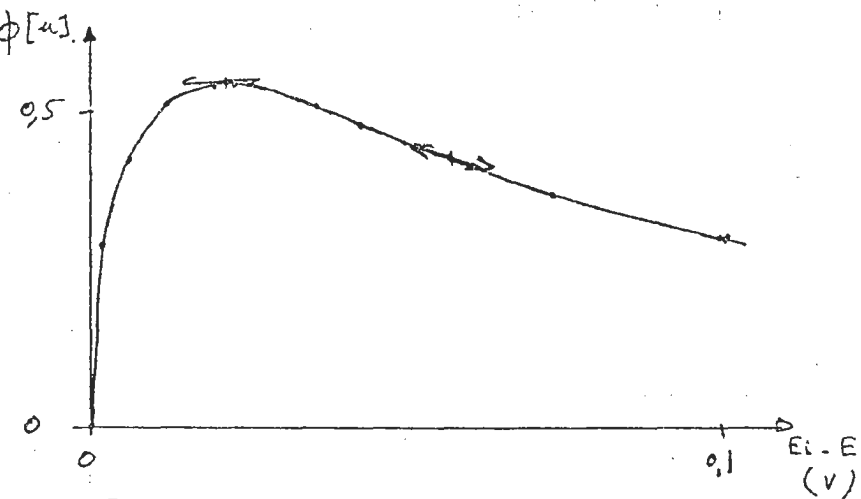
$$E_i - E = \alpha t = \frac{RT}{vF} \sigma t.$$

En posant  $u = (\sigma t)^{1/2}$ , on représente  $\phi(u)$  en fonction de  $\frac{RT}{F}$   $u^2$ . Le tableau de l'énoncé permet de déterminer quelques

points de cette courbe [6]:

| $u = (\sigma t)^{1/2}$  | 0     | 0,1      | 0,3   | 0,5   | 0,7   | 0,9   |
|-------------------------|-------|----------|-------|-------|-------|-------|
| φ [u]                   | 0     | 0,099    | 0,283 | 0,424 | 0,510 | 0,541 |
| $10^3 \frac{RT}{F} u^2$ | 0     | 2 • 10-2 | 2     | 6     | 12    | 20    |
| $u=(\sigma t)^{1/2}$    | 0,95  | 1,2      | 1,3   | 1,5   | 1,7   | 2     |
| φ [ <i>u</i> ]          | 0,541 | 0,507    | 0,483 | 0,428 | 0,372 | 0,301 |
| $10^3 \frac{RT}{F} u^2$ | 23    | 36       | 43    | 57    | 73    | 101   |

D'où l'allure de la courbe :



### Remarque.

Cette courbe présente un point d'inflexion de coordonnées correspondant à  $u=1,502, \phi[u]=0,428$ .

3.2.5. Lorsque l'intensité du courant est maximum :

$$E_p = E_i - \frac{RT}{vF} \sigma t$$
 avec  $(\sigma t)^{1/2} = 0.9241$ 

d'où:

$$E_p = E^0 + \frac{RT}{vF} \ln c^* - \frac{RT}{vF} (0.9241)^2.$$

En exprimant le potentiel en volts :

$$E_p = E^0 + \frac{0.0581}{v} \log c^* - \frac{0.0216}{v}.$$

On constate que  $E_p$  est indépendant de la vitesse  $\alpha$  de balayage du potentiel.

Par contre, le potentiel de pic est fonction de  $c^*$ ;  $E_p$  doit varier linéairement  $\left(\text{pente} \ \frac{0,058}{v}\right)$  avec lg  $c^*$ :

$$i_p = \frac{2 \cdot F^{3/2} \cdot 0,541 \cdot v^{3/2} \cdot A \cdot c^* \cdot D^{1/2} \cdot \alpha^{1/2}}{\pi^{1/2} \cdot R^{1/2} \cdot T^{1/2}}$$

d'où, à 293 K, l'intensité étant exprimée en ampères :

$$i_n = 3.71 \cdot 10^5 \, v^{3/2} \cdot \mathbf{A} \cdot c^* \cdot \mathbf{D}^{1/2} \cdot \alpha^{1/2}$$

- 3.3. Application à la détermination du coefficient de diffusion des ions argent dans une zéolithe.
- 3.3.1. Le résultat précédent indique que le rapport  $i_p/c^*$  doit être constant [4] :

| $c^*$ (mol. $l^{-1}$ )                              | 0,5 | 0,75 | 1,0 | 1,25 |
|---|-----|------|-----|------|
| $i_p$ (mA)  | 3,7 | 5,4  | 8,0 | 10   |
| 106 • i <sub>p</sub> /c* (A mol-1. m <sup>3</sup> ) | 7,4 | 7,2  | 8,0 | 8,0  |

ce qui est approximativement vérifié.

3.3.2. Pour une valeur de  $c^*$  donnée, le produit  $i_p \circ \alpha^{1/2}$  doit être constant [4] :

| α (mV. s <sup>-1</sup> )   |     |     | 3,22 |     |     |
|--|-----|-----|------|-----|-----|
| $i_p$ (mA)   | 3,6 | 4,6 | 6,0  | 6,3 | 7,5 |
| $10^2 \cdot i_p \cdot \alpha^{-1/2}$ (A. V <sup>-1/2</sup> . $S^{1/2}$ ) | 8,8 | 9,9 | 10,6 | 9,2 | 9,3 |

ce qui est à peu près le cas.

On peut ainsi déterminer D :

$$D^{1/2} = \frac{i_p \, \alpha^{-1/2}}{3.71 \cdot 10^5 \cdot A. \, c^*} \approx 1.7 \cdot 10^{-7} \text{ m. s}^{-1/2}$$

d'où:

$$D \approx 3 \cdot 10^{-14} \text{ m}^2 \text{ s}^{-1}$$

La valeur du coefficient de diffusion des ions argent dans la zéolithe déterminée par voltammétrie est bien voisine de celle déterminée par chronoampérométrie.

La principale source d'imprécision dans les résultats est la détermination (et la reproductibilité) de l'aire A de contact entre les grains de zéolithe et de carbone.

### BIBLIOGRAPHIE DU PARAGRAPHE B

- [1] P.-W. Atkins. Physical chemistry, Oxford University Press, 1982 (1).
- [2] A.-J. BARD and L.-R. FAULKNER. Electrochemical methods Fundamental and applications, Wiley, New York, 1980 (traduction française éditée par Masson).
- [3] R.-N. Adams. Electrochemistry at solid electrodes, Marcel Dekker, New York, 1969.
- [4] J.-P. Peirera-Ramos. Thèse de 3e cycle, Paris VI, 1982.
- [5] T. BERZINS and P. DELAHAY. J. Amer. Chem. Soc., 75, 555 (1953).
- [6] Les valeurs de la fonction φ sont extraites de W.-L. MILLER and A.-R. GORDON. — J. Phys. Chem., 35, 2785-2884, 1931.

<sup>(1)</sup> N.D.L.R. — Cet ouvrage a été traduit en français aux éditions « Technique et Documentation - Lavoisier » et « Vuibert ».

# C. SPECTRES ELECTRONIQUES DES METAUX DE TRANSITION

### 1. Spectroscopie atomioue.

- 1.1. Attraction coulombienne > répulsions interélectroniques > couplage spin orbite.
- 1.2. a) Interaction entre le moment cinétique orbital et le moment cinétique de spin : J = L + S.

Chaque niveau d'énergie ou terme, caractérisé par son moment cinétique orbital L et son moment cinétique de spin S est divisé en multiplets caractérisés par J. J varie entre L-S et L+S.

$$b) \frac{d^1}{d^9}$$
 terme <sup>2</sup>D.

- c) Règles de Hund. Pour une configuration donnée :
- les termes les plus stables sont ceux qui ont la multiplicité maximum;
- pour une même multiplicité, la plus grande valeur de L correspond au niveau le plus stable :

multiplicité = 
$$(2L+1)(2S+1)$$

$$^{3}$$
F (multiplicité =  $3(2 \times 3 + 1) = 21$ ).

d)  $d^2 = 2 e^ d^8 = 2$  trous + donc répulsions interélectroniques identiques.

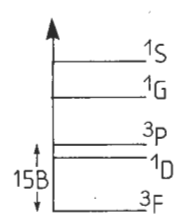


Fig. 1

1.3. a) Pour un ion  $d^2$  J = 2, 3, 4 le niveau <sup>3</sup>F est divisé en 3 sous-niveaux.

b) 
$$\Delta E_{23} = 3 \lambda \quad \Delta E_{34} = 4 \lambda.$$

du niveau fondamental:

On doit avoir :  $\sum_{J=2}^{J=4} (2J+1)W_J = 0$ , donc, si x est l'énergie

$$5x + 7(x + 3\lambda) + 9(x + 7\lambda) = 0$$
  $-4\lambda = x$ .

Pour un ion  $d^2$   $\lambda > 0$ : ion  $d^8$  2 trous +,  $\lambda < 0$ :

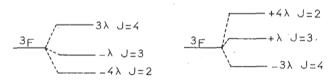
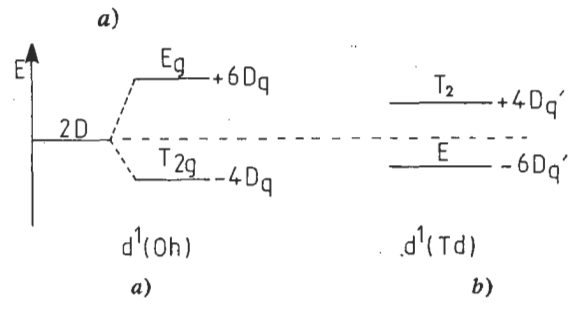


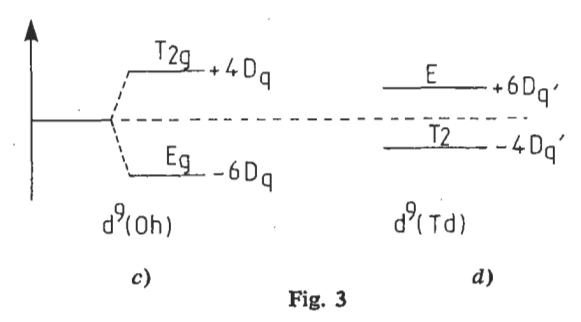
Fig. 2

2.

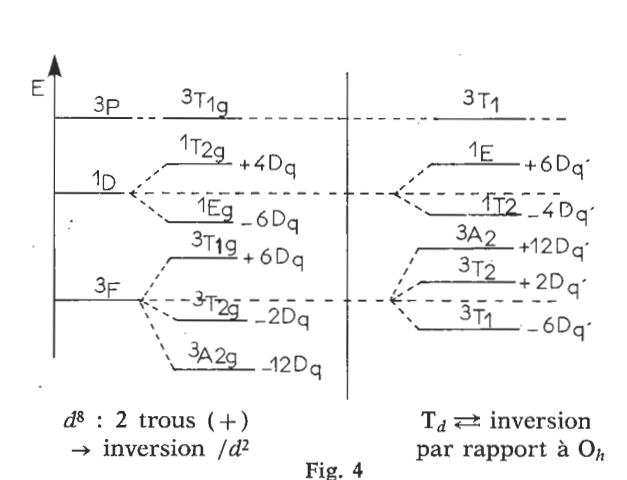
- 2.1. Champ cristallin fort supérieur aux répulsions interélectroniques; champ cristallin faible : inférieur aux répulsions interélectroniques mais supérieur au couplage spin-orbite.
- 2.2.1. Terme fondamental d'un ion  $d^1={}^2\mathrm{D}$ . Ce terme se transforme dans l'influence du champ cristallin comme les orbitales d.  $\mathrm{D}q'\simeq 4/9~\mathrm{D}q$ .



b)  $d^9$  trou (+)  $\rightarrow$  inversion des niveaux par rapport à  $d^1$  :



TН



2.2.3. a) 1 axe de symétrie principal d'ordre 4  $C_4$  4 axes de symétrie ( $\bot$  à  $C_4$ ) d'ordre 2  $C_2$  1 plan de symétrie ( $\bot$  à  $C_4$ )  $\sigma$ .

Opérations de symétrie :

Nh

222

 $C'_2$  et  $C''_2$  sont  $\perp$  à  $C_4$ .

## b) Noyau au centre de l'octaèdre.

Pour établir la table de caractères, on compte +1 si l'orbitale se transforme en elle-même en gardant le signe de ses lobes, -1 si elle change le signe de ses lobes.

Si l'orbitale se transforme en une autre orbitale du groupe, on prend la paire d'orbitales concernées comme unité et on examine les transformations de cette paire dans les opérations de symétrie du groupe  $D_{4\,h}$ .

Par exemple, les orbitales xz et yz se transforment l'une dans l'autre dans les opérations de symétrie du groupe  $D_{4\,h}$  comme la représentation  $E_g$  et une matrice  $2\times 2$  est nécessaire pour décrire l'opération :

$$E \begin{pmatrix} 1 & 0 \\ 0 & 1 \end{pmatrix} \begin{pmatrix} dxz \\ dyz \end{pmatrix} caractère 2$$

$$C_{2} \qquad dxz \rightarrow -dxz \\ dyz \rightarrow -dyz \qquad donc \qquad \begin{pmatrix} -1 & 0 \\ 0 & -1 \end{pmatrix} \begin{pmatrix} dxz \\ dyz \end{pmatrix} \text{ caractère } -2$$

$$2 C'_{2} \qquad dxz \rightarrow dxz \\ dyz \rightarrow -dyz \qquad donc \qquad \begin{pmatrix} -1 & 0 \\ 0 & -1 \end{pmatrix} \begin{pmatrix} dxz \\ dyz \end{pmatrix} \text{ caractère } 0$$

$$C_{4} \qquad dxz \rightarrow -dyz \\ dyz \rightarrow -dxz \qquad donc \qquad \begin{pmatrix} 0 & -1 \\ -1 & 0 \end{pmatrix} \begin{pmatrix} dxz \\ dyz \end{pmatrix} \text{ caractère } 0$$

On appelle A la représentation si le caractère est égal à 1 dans la classe de l'axe principal de rotation C<sub>4</sub>, B si elle a le caractère — 1.

On met l'indice 1 si la représentation est symétrique (caractère 1) par rapport à l'axe  $C_2$  perpendiculaire à l'axe de symétrie principal  $C_4$ .

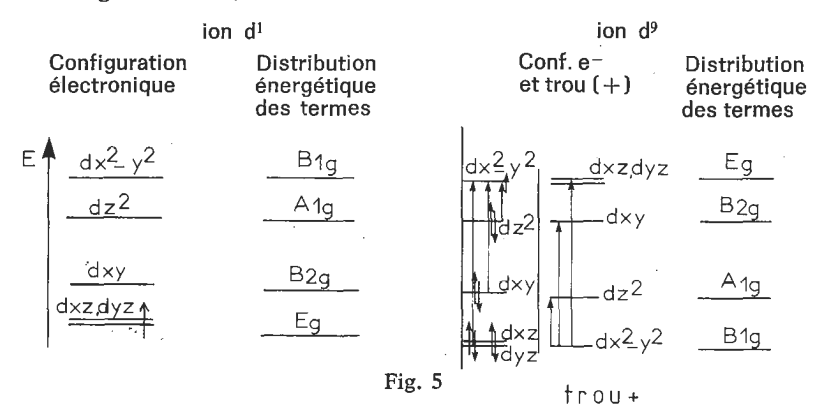
On met l'indice 2 si la représentation est antisymétrique (-1) par rapport à cet axe.

On met l'indice g si la représentation est symétrique par rapport au centre d'inversion.

Les représentations bidimensionnelles sont appelées E. On en déduit la table de caractères :

| Représentations       | Orbitales       | E | 2 C <sub>4</sub> | C <sub>2</sub> | 2 C'2     | 2 C"2     |
|-----------------------|-----------------|---|------------------|----------------|-----------|-----------|
| A <sub>1 g</sub>      | $dz^2$          | 1 | 1                | 1              | 1         | 1         |
| $B_{1\ g}$            | $dx^2-y^2$      | 1 | <b>—1</b>        | 1              | 1         | <b>—1</b> |
| B <sub>2 g</sub>      | đxy             | 1 | —1               | 1              | <b>—1</b> | 1         |
| $\mathbf{E}_{\sigma}$ | $dxz$ , $dyz^2$ | 2 | 0                | <b>—</b> 2     | 0         | 0         |

c) Champ cristallin de symétrie D\_4  $_h$  (octèdre allongé le long de l'axe z) :



2.2.4. a) 1  $C_3$ , 3  $C_2$ , 1  $\sigma$ . Opérations de symétrie E, 2  $C_3$ , 3  $C_2$ , 6 h.

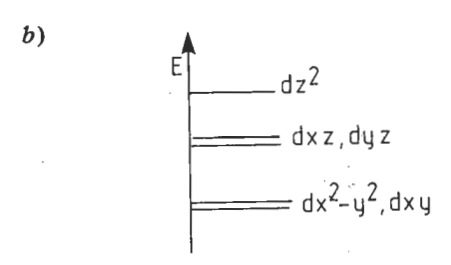


Fig. 6

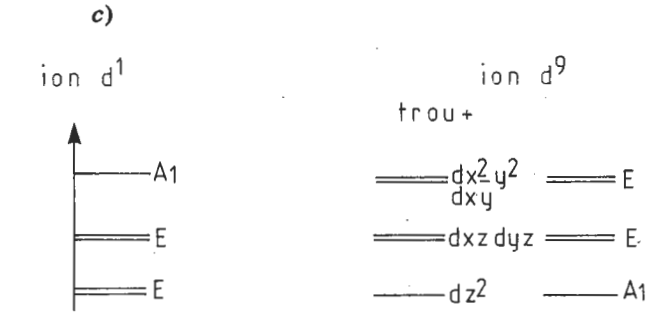


Fig. 7

2.2.5. a) Log 
$$I_0/I = \varepsilon c l$$
  $\varepsilon \text{ mol}^{-1} l \text{ cm}^{-1}$ .  
b)  $\Delta L = \pm 1$   $\Delta S = 0$ .

- couplage transition vibrationnelle transition électronique (couplage vibronique),
- molécule sans centre d'inversion,
- distorsion éliminant l'existence d'un centre de symétrie.
- d) Les transitions correspondant à  $\Delta S=0$  : ion  $d^2$  niveau fondamental  $^3T_{1\,g}$  dans  $O_h$  :

$$O_{h} \begin{cases} {}^{3}T_{1g} \rightarrow {}^{3}T_{2g} \\ {}^{3}T_{1g} \rightarrow {}^{3}A_{2g} \\ {}^{3}T_{1g} \rightarrow {}^{3}T_{1g}(P) \end{cases}$$

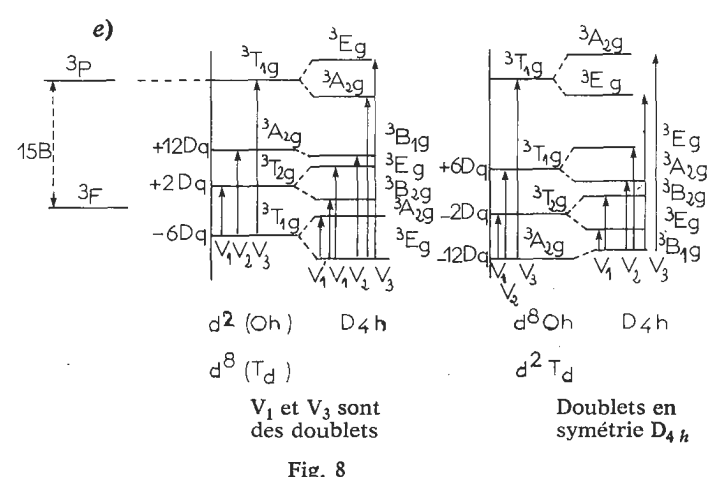
niveau fondamental  ${}^{3}A_{2g}$  dans  $T_d$ :

$$T_d \begin{cases} {}^{3}A_2 \rightarrow {}^{3}T_2 \\ {}^{3}A_2 \rightarrow {}^{3}T_1(F) \\ {}^{3}A_2 \rightarrow {}^{3}T_1(P) \end{cases}$$

ion  $d^8$  dans  $O_h$  niveau fondamental  ${}^3A_{2\,g}$ :

analogue à  $d^2$  dans  $T_d$ ,

dans  $T_d$  niveau fondamental  ${}^3T_1$  analogue à  $d^2$  dans  $O_h$ .



2.2.6. a) 
$$Cu^{2+} d^9 Ni^{2+} d^8$$
.

# b) Une seule bande d'absorption $\rightarrow \begin{cases} O_h \\ T_d \end{cases}$

- Le coefficient d'extinction molaire est faible, donc  $O_h$ . Stéréochimie du complexe Cu  $(H_2O)_6^{2+}$ . 833 nm : limite du rouge et proche IR donc laisse passer le bleu; pâle parce que  $\epsilon$  faible.
- Solution ammoniacale  $\text{Cu}[(N\text{H}_3)_4\,(\text{H}_2\text{O})_2]^{2+}$  octaédrique, distordu  $\epsilon$  élevé. Transition  $\text{E}_g \to \text{T}_{2\,g}$ . Absorbe dans le rouge; laisse passer le bleu. Coloration intense car  $\epsilon$  élevé.

c) 1 bande 
$$\longleftrightarrow$$
 T<sub>d</sub> ou O<sub>h</sub>,  
 $\lambda$  voisine de Cu (H<sub>2</sub>O)<sub>6</sub><sup>2+</sup>  $\to$  donc O<sub>h</sub>.

 $\lambda$  zéolithe X <  $\lambda$  zéolithe Y donc le champ cristallin est plus fort dans les X que dans les Y; ceci est justifié par le fait que le déficit de charge étant plus important dans les zéolithes X, la charge résiduelle  $\delta^-$  portée par les oxygènes est plus grande.

- 3 bandes déshydratation partielle  $\longleftrightarrow$  déformation tétragonale de  $O_h \to D_{4h}$ .
  - Coordination du cuivre dans les zéolithes anhydres :

2 bandes 
$$\rightarrow$$
 D<sub>3 h</sub>  
 $\lambda = 926 \text{ nm} \longleftrightarrow A_1 \longleftrightarrow E'$   
 $\lambda = 690 \text{ nm} \longleftrightarrow A_1 \longleftrightarrow E''$ 

On peut en déduire une diminution de la coordination du  $Cu^{\mathrm{II}}$  de 6 à 4.

d)3 raies  $\longleftrightarrow$  symétrie  $\mathcal{O}_h$  ou  $\mathcal{T}_d.$   $\epsilon$  faible, donc symétrie  $\mathcal{O}_h.$ 

$$\lambda_{1} = 1 \, 176 \, \text{nm} \qquad {}^{3}A_{2g} \rightarrow {}^{3}T_{2g}$$

$$\lambda_{2} = 741 \, \text{nm} \qquad {}^{3}A_{2g} \rightarrow {}^{3}T_{1g}(F)$$

$$\lambda_{3} = 395 \, \text{nm} \qquad {}^{3}A_{2g} \rightarrow {}^{3}T_{1g}(P).$$

$$hv_{1} = 10 \, \text{D}q \qquad 10 \, \text{D}q = \frac{6,63 \, 10^{-34} \times 3 \cdot 10^{8}}{1 \, 176 \, 10^{-9}} = \underline{16 \, 10^{-20} \, \text{J}}$$

$$hv_{3} = 15 \, \text{B} + 12 \, \text{D}q = 50 \cdot 10^{-20} \, \text{J}$$

$$B = \left(\frac{50,3 - 19,2}{15}\right) 10^{-20}$$

$$B = 2 \cdot 07 \, 10^{-20} \, \text{J}.$$

e) 3 bandes  $T_d$  ou  $O_h$ .

Dans les 2 cas  $hv_2 = \frac{hc}{\lambda_2} = 18$  Dq ou 18 Dq' = 34,8 10-20 J pour NH<sub>3</sub>.

Dans symétrie 
$$O_h \frac{hc}{\lambda} = 10 \text{ D}q = 19 \cdot 10^{-20} \text{ J}.$$

Dans symétrie  $T_d$   $\frac{hc}{\lambda}$  8  $Dq=15,2\,10^{-20}$  J, or  $\frac{hc}{\lambda_1}$  expérimental = 21,4  $10^{-20}$  J donc Ni (NH<sub>3</sub>) $_6$ <sup>2+</sup>.

$$\frac{hc}{v_3}$$
 = (15 B + 12 Dq) = (22,8 + 31 • 05) 10<sup>-20</sup> = 53,85 10<sup>-20</sup> J.  
 $\lambda_3$  = 369 nm.

$$\lambda_1 \longleftrightarrow IR$$
  $\lambda_2 \longleftrightarrow vert + jaune$   $\lambda_3 \longleftrightarrow UV$ , donc laisse passer rouge + bleu : coloration violette.

f) 3 bandes ; fort coefficient d'extinction molaire, donc symétrie  $T_d$  NiCl<sub>4</sub>-.

$$2 500 \text{ nm} = {}^{3}\text{T}_{1} \rightarrow {}^{3}\text{T}_{2},$$

$$1 282 \text{ nm} = {}^{3}\text{T}_{1} \rightarrow {}^{3}\text{A}_{2},$$

$$667 \text{ nm} = {}^{3}\text{T}_{1} \rightarrow {}^{3}\text{T}_{1}(P).$$

$$\frac{hc}{\lambda_{1}} = 8 \text{ D}q' \qquad 8 \text{ D}q' = 7,9 \text{ }10^{-20} \text{ J}.$$

$$\frac{hc}{\lambda_{3}} = 15 \text{ B} + 6 \text{ D}q' = 29,8 \text{ }10^{-20} \text{ J}.$$

$$B = \left(\frac{29,8 - 5,9}{15}\right) 10^{-20} = 1,59 \text{ }10^{-20} \text{ J}.$$

B\ ceci correspond à une diminution des répulsions interélectroniques qui peut s'expliquer par la diminution de la coordination et par la pénétration des orbitales des ligands c'est-à-dire l'augmentation du caractère covalent de la liaison métal-ligand.

2.3.

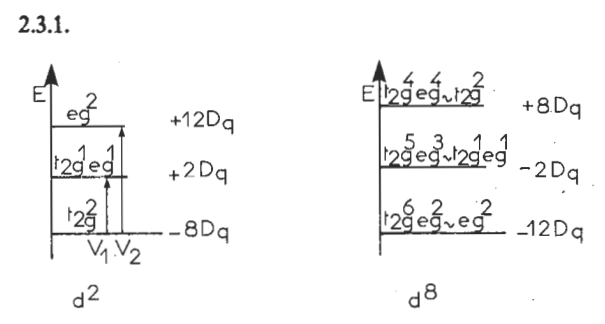


Fig. 9

2.3.2. 
$$v_1 = 10 \text{ D}q$$
  $v_2 = 20 \text{ D}q$ .

3.

3.1.

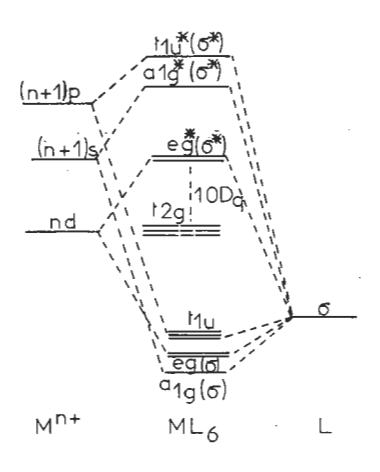


Fig. 10

# 3.2. a) Ligands $\pi$ donneurs.

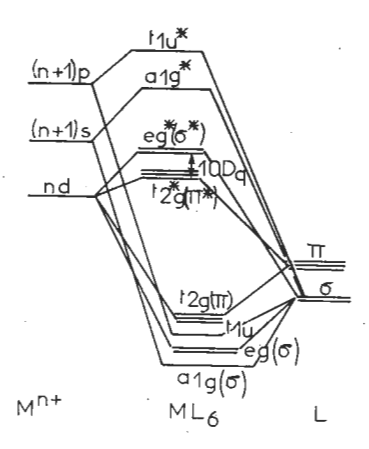


Fig. 11

# b) Ligands π accepteurs.

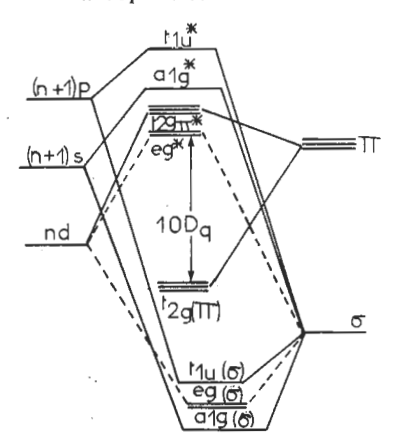


Fig. 12

# 3.3. Ligands $\pi$ donneurs:

$$d \rightarrow d$$
  $t^*_{2g} \rightarrow e^*_{g}$   
 $L \rightarrow M$   $t_{2g}(\pi) \rightarrow t^*_{2}(\pi^*)$ 

# Ligands $\pi$ accepteurs:

$$d \rightarrow d$$
  $t_{2g}(\pi) \rightarrow e^*_g(\sigma^*)$   
 $M \rightarrow L$   $t_{2g}(\pi) \rightarrow t^*_{2g}(\pi^*)$ .

# D. EXEMPLES D'APPLICATIONS CATALYTIQUES DES ZEOLITHES ACIDES

## 1. Synthèse d'un dioxanne-1.3 substitué.

## 1.1. Equation:

méthoxy-2 (propène-1 yl)-4 phénol

(hydroxy-4 méthoxy-3 phényl)-4 méthyl-5 dioxanne-1.3

Mécanisme :

En notant Ar le groupe : Ho

$$Ar = \frac{H}{c} + H = \frac{1}{c} - 0H \implies H - C - C - CH_3 \implies CH - CH - CH_3$$

$$(crs outlines)$$

$$Ar = \frac{1}{c} + \frac{$$

1.2. a) On peut faire agir le bromure d'éthylmagnésium, CH<sub>3</sub>CH<sub>2</sub>MgBr. Mais le composé organomagnésien réagit sur le groupe hydroxyle du substrat. Cette réaction risque de rendre

difficile la réaction sur le groupe carbonyle ou simplement de consommer une quantité correspondante du réactif. Il est alors préférable de protéger le groupe hydroxyle, par exemple par formation d'éther-oxyde, par action, par exemple, du dihydropyrane :

Par hydrolyse acide, il y a passage à l'alcool et régénération du groupe hydroxyle lié au noyau benzénique :

Cet alcool se déshydrate facilement en donnant une double liaison conjuguée avec le noyau benzénique :

$$\frac{H \circ - \langle O \rangle - cH = cH - cH_3}{\langle O \rangle}$$

On peut aussi envisager d'utiliser une réaction de Wittig.

1.2. b) Protection du groupe carboxyle par estérification :

Formation de l'ion phénate et substitution nucléophile sur le bromure d'allyle :

Retour au groupe carboxyle par saponification et passage en milieu acide :

$$\frac{1) OH^{-}}{2) H^{+}} \qquad CH_{2} = CH - CH_{2} - O - O$$

Par transposition de Claisen en position para, les positions ortho étant occupées :

On obtient l'iso-Eugénol par isomérisation en chauffant, avec catalyse acide ou par l'hydroxyde de potassium dans l'éthanol.

$$\frac{1}{\text{calalyse}} \qquad H \circ - O - CH = CH - CH_3$$

$$CH_3 O$$

### 2. DÉSHYDRATATION DU PROPANOL-2 SUR ZÉOLITHE X.

La vitesse de formation de l'éther-oxyde est :

$$v_a = k_A [III].$$

celle de formation de l'alcène est :  $v_p = k_2$  [II].

L'hypothèse de l'état quasi-stationnaire appliqué aux intermédiaires (II) et (III) se traduit par :

$$\frac{d[II]}{dt} = k_1[I] - k_2[II] - k_3[I][II] = 0$$

$$\frac{d[III]}{dt} = k_3[I][II] - k_4[III] = 0.$$

D'où:

[III] = 
$$\frac{k_3[I][II]}{k_4}$$
 et [II] =  $\frac{k_1[I]}{k_2 + k_3[I]}$ 

$$v_p = \frac{k_2 \, k_1 \, K \, P_i^q \, c_{\text{OH}}}{k_2 + k_3 \, K \, P_i^q \, c_{\text{OH}}}$$

et: 
$$v_e = \frac{k_4 k_3 [I] [II]}{k_4} = k_3 [I] [II] ...$$

$$... = \frac{k_1 k_3 [I]^2}{k_2 + k_3 [I]} = \frac{k_1 k_3 K^2 P_i^{2q} c_{\text{OH}}^2}{k_2 + k_3 K P_i^q c_{\text{OH}}}.$$

$$\frac{v_p}{v_e} = \frac{k_3 K P_i^q c_{\text{OH}}}{k_2}.$$

Si:

$$v_p \gg v_e \Rightarrow k_3 K P_i^q c_{OH} \gg k_2$$
.

D'où:

$$v_p \approx k_1 K P_i^q c_{\text{OH}}$$
 et  $v_e \approx \frac{k_1 k_3}{k_2} K^2 P_i^{2q} c_{\text{OH}}^2$ .

L'hypothèse  $v_p \gg v_e$  permet de retrouver les lois expérimentales.

#### BIBLIOGRAPHIE

- Journal of Chemical education. Volume 59, Number 8, August 1982, p. 704-705 et p. 700-701.
- ALLINGER, CAVA,... Chimie organique. Ediscience, Mc Graw-Hill.
- Carey and Sundberg. Advanced Organic Chemistry. Plenum Press, New York.
- Gentry Rudham. J. Chem. Soc. Faraday Trans. 1, 1974, 70, 168.
- N. GUYEN VAN TRONG. Les règles de Woodward-Hoffmann. Ediscience.

M<sup>me</sup> D. OLIVIER,
MM. C. MESNIL, R. PRUNET, J. SARRAZZIN.



# Agrégation

#### SESSION DE 1983

# Option physique appliquée Epreuve C

## PROBLEME D'ELECTRICITE, D'ELECTRONIQUE, D'ELECTROTECHNIQUE ET D'AUTOMATIQUE

(Durée: 6 heures)

### AVERTISSEMENTS

Le problème se décompose en trois parties. La première partie réintroduit toutes les notions fondamentales nécessaires à cette étude des systèmes échantillonnés. Lisez-la donc soigneusement jusqu'au bout. Les deux dernières parties sont indépendantes même au niveau de leurs sous-parties A, B, C, etc.

Les notations rappelées en annexe sont impératives.

On ne s'étonnera pas si les résultats des calculs numériques fournis dans le texte diffèrent légèrement de ceux que vous obtenez, ceci serait dû à la sensibilité du calcul aux nombres de chiffres significatifs employés.

Enfin, souvenez-vous que plus un énoncé est long, plus vous y êtes guidés.

#### I. FILTRAGE TEMPOREL

Soit un système électronique analogique idéal tel que sa tension de sortie soit reliée à sa tension d'entrée *réelle* par la relation :

$$y_a(t) = x_a(t - T_e).$$

On appellera ce système une ligne analogique de retard  $T_e$ .

Considérons le montage de la fig. 1 composé d'une telle ligne et d'un sommateur parfait.

I.1. Que vaut  $s_a(t)$  en fonction du signal d'entrée?

I.2. Soit  $H_{\bullet}(j\Omega)$  la fonction de transfert du montage en régime sinusoïdal  $(x_a(t) = X \cos{(\Omega t)})$ . Evaluer cette fonction de transfert, esquisser la représentation des variations de son module et de sa phase en fonction de  $\Omega$ . Quelle est la caractéristique remarquable du comportement de cette phase ?

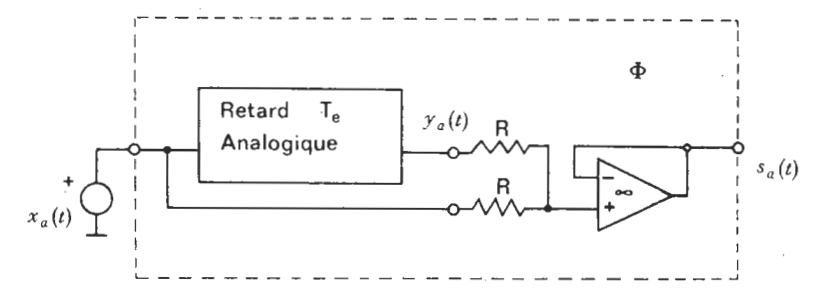


Fig. 1. - Principe d'un filtre temporel analogique.

Interpréter simplement la discontinuité de phase de  $+\pi$  lorsque

$$\left(\Omega = \frac{\pi}{T_e} + \frac{2 k \pi}{T_e}\right).$$

Quelle est la réponse  $s'_{a}(t)$  au signal :

$$x'_{a}(t) = X \cos \left[ \left( \Omega + \frac{2 \pi n}{T_{e}} \right) t \right].$$

Est-elle identique à  $s_a(t)$  globalement ou partiellement?

Ce système est, en fait, un exemple de filtre analogique temporel et l'on peut remarquer que la périodicité d'une fonction de transfert n'est pas l'apanage d'un quelconque échantillonnage, mais provient de la nature temporelle de la combinaison des signaux. L'échantillonnage que nous allons introduire maintenant peut se comparer à un prétraitement rendant possible l'emploi de méthodes très puissantes de mémorisation ou de combinaison des signaux.

Soit un échantillonnage réel représenté sur la fig. 2. On dit que l'échantillonneur est fermé  $(x_{er}(t)=x_a(t))$  si  $\varphi=1$  (on a donc dans cet exemple  $x_{er}(t)=x_a(t)$  pour  $t\in[t_0,\ t_0+\tau]$ ).

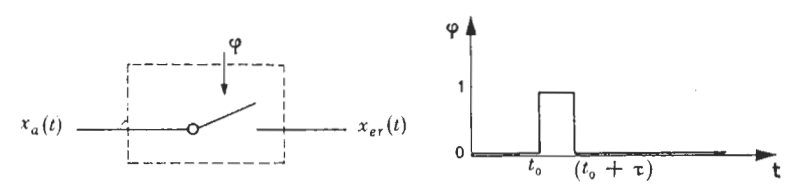


Fig. 2. — Echantillonneur réel.

Si le temps  $\tau$  est suffisamment petit,  $x_{er}(t)$  est constant pour  $t \in [t_0, t_0 + \tau]$ , soit :

$$x_{er}(t) = x_a(t_0)$$
 pour  $t \in [t_0, t_0 + \tau]$ .

L'énergie (donc l'information) contenue par le signal échantillonné est de la forme  $x_a(t_0) \cdot \tau$  pour chaque échantillon. Nous modéliserons

cet échantillonnage « réel » par un échantillonnage « idéal », de même énergie, mais plus facile à manipuler en utilisant le symbolisme de Dirac :

$$x_{ei}(t) = x_a(t_0) \cdot \tau \cdot \delta_a(t - t_0)$$

Pour le reste du problème, nous désignerons  $x_{ei}(t)$  sous la forme simplifiée  $x_{e}(t)$ .

I.3. Dans le cas d'un échantillonnage périodique aux instants  $t=n\cdot T_e, n\in \mathbb{N}$ ; exprimer  $x_e(t)$  en fonction de  $x_a(t)$  et d'un peigne de Dirac d'expression :

$$d_{\mathrm{T}_{e}}(t) = \sum_{n = -\infty}^{+\infty} \delta_{a}(t - n \cdot \mathrm{T}_{e}).$$

I.4. Le spectre de fréquence du signal réel  $x_a(t)$  étant supposé connu et limité dans les fréquences positives par  $\Omega_1$  (fig. 3), retrouver et esquisser le spectre de fréquence du signal échantillonné. Pour cela, on remarquera que le signal  $x_e(t)$  est obtenu par un produit de fonctions du temps et l'on notera que la transformée de Fourier du peigne de Dirac est donnée par :

$$\mathbf{D}_{\mathbf{T}_{e}}\left(j\Omega\right) \; = \; \frac{1}{\mathbf{T}_{e}} \sum_{k \; = \; -\infty}^{+\infty} \delta_{a} \left( \; \; j \left( \; \Omega - \frac{2 \, \pi \, k}{\mathbf{T}_{e}} \right) \right) \label{eq:decomposition}$$

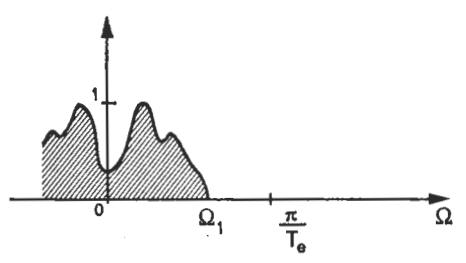


Fig. 3. — Spectre de  $x_a(t)$ .

Au lieu d'utiliser la représentation temporelle du signal échantillonné, on lui préfère souvent une représentation sous forme de séquences, notées  $\{x(n)\}$ , où  $x(n)=x_a(n\cdot T_e)$  et  $n\in\mathbb{N}$ . Dans ce formalisme, un filtre temporel peut être considéré comme un système établissant une correspondance entre une séquence d'entrée  $\{x(n)\}$  et une séquence de sortie  $\{y(n)\}$  avec  $\{y(n)\}=\mathfrak{C}[\{x(n)\}]$ .

Nous nous intéresserons pour le reste du problème aux systèmes linéaires, causaux et indépendants du temps. Dans ce cas :

$$\mathfrak{C}\left[\left\{\alpha \bullet a\left(n\right)\right\} + \left\{\beta \bullet b\left(n\right)\right\}\right] = \alpha \bullet \mathfrak{C}\left[\left\{a\left(n\right)\right\}\right] + \beta \bullet \mathfrak{C}\left[\left\{b\left(n\right)\right\}\right].$$

On introduit également les séquences particulières suivantes : la séquence impulsion unité  $\{\delta(n-k)\}$ , n et  $k \in \mathbb{N}$ 

$$\delta(n-k) = 1$$
 si  $n = k$   
 $\delta(n-k) = 0$  si  $n \neq k$ 

la séquence échelon unité  $\{u(n-k)\}, n \text{ et } k \in \mathbb{N}$ 

$$u(n-k) = 1$$
 si  $n \ge k$   
 $u(n-k) = 0$  si  $n < k$ .

On introduit enfin la transformée en z qui, à une séquence  $\{x(n)\}$ , fait correspondre une fonction de la variable complexe z notée Tz  $[\{x(n)\}]$  ou X (z) et définie par :

$$X(z) = \sum_{n = -\infty}^{+\infty} x(n) \cdot z^{-n}.$$

I.5. Montrer que la transformée en z est linéaire, c'est-à-dire que :

$$T_{Z}\left[\alpha \cdot \left\{a\left(n\right)\right\} + \beta \left\{b\left(n\right)\right\}\right] = \alpha \cdot T_{Z}\left[\left\{a\left(n\right)\right\}\right] + \beta \cdot T_{Z}\left[\left\{b\left(n\right)\right\}\right].$$

1.6. Déterminer la transformée en z d'une séquence impulsion unité  $\{\delta(n-k)\}$ , exprimer alors x(n) sous forme d'une somme faisant intervenir l'impulsion unité. En déduire que :

$$\left\{x\left(n\right)\right\} = \sum_{k=-\infty}^{+\infty} x\left(k\right) \cdot \left\{\delta\left(n-k\right)\right\}.$$

1.7. Déterminer la transformée en z d'une séquence échelon unité  $\{u(n-k)\}$ , puis de la séquence :

$$\left\{ v\left( n\right) \right\} \;=\; \left\{ \,\alpha^{n}\, \cdot\, u\left( n-k\right) \,\right\}$$

où  $\{u(n-k)\}$  désigne encore une séquence échelon unité.

On définit la réponse impulsionnelle pour les systèmes invariants linéaires comme la séquance  $\{h(n)\}$  fournie par le système s'il est soumis à la séquence impulsion unité  $\{\delta(n)\}$ . Si le système est causal, on remarquera que  $h(n) = 0 \quad \forall n < 0$ .

I.8. En remarquant que  $\{h(n)\} = \mathcal{C}[\{\delta(n)\}]$ , montrer que pour un système causal et linéaire, la séquence réponse  $\{y(n)\}$  d'unc entrée  $\{x(n)\}$  est de la forme :

$$\left\{ y\left( n\right) \right\} =\left\{ \begin{array}{l} \sum\limits_{k=0}^{+\infty}\left( h\left( k\right) \cdot x\left( n-k\right) \right) \end{array} \right\}$$

Utiliser cette relation pour calculer la réponse  $\{O(n)\}$  à la séquence  $\{w(n)\} = \{e^{in\omega}\}$ . Mettre  $\{O(n)\}$  sous la forme :

$$\{e^{jn\omega}\cdot H(e^{j\omega})\}.$$

Le terme  $H\left(e^{j\omega}\right)$  s'appelle spectre en fréquence du système échantilonné ou réponse en fréquence. Vérifier qu'il est, en fait, la transformée en z de la séquence  $\left\{h\left(n\right)\right\}$  évaluée pour  $z=e^{j\omega}$  et que, dans ce cas, cette transformée en z se réduit à une transformée de Fourier discrète.

I.9. Un signal analogique  $x_a(t)$  est échantillonné aux instants :

$$t = n \cdot T_e$$
,  $(n \in \mathbb{N})$ .

On construit alors la séquence  $\{x(n)\}$  telle que  $(x(n) = x_a(n \cdot T_e))$ . Vérifier que le spectre en fréquence de cette séquence peut s'écrire, en fonction du spectre en fréquence du signal initial  $X_a(j\Omega)$ , sous la forme :

$$(\mathbf{X}(\mathbf{z}))_{z=e^{j\omega}} = \frac{1}{T_e} \sum_{k=-\infty}^{+\infty} \mathbf{X}_a \left( j \left( \Omega + \frac{2 k \pi}{T_e} \right) \right) = \mathbf{X}_e(j\Omega) \text{ avec } \Omega = \frac{\omega}{T_e}.$$

Comment peut-on simplifier l'expression, si  $x_a(t)$  a un spectre du type de la fig. 3? Tracer dans ce cas le module de  $X(z)_{z=e^{j\omega}}$  en fonction de  $\omega$  sur l'intervalle  $[-\pi, +\pi]$ . Que se passerait-il si  $\Omega_1$  était

supérieur à  $\frac{\pi}{T_a}$ ? Expliquer par un dessin.

I.10. Un système à échantillonnage, excité par la séquence  $\{x(n)\}$ , répond une séquence  $\{y(n)\}$ , telle que :

$$y(n) = \frac{1}{4} (x(n) + 2x(n-1) + x(n-2)).$$

Le schéma de sa réalisation en fig. 4 fait intervenir des éléments de retard notés ( $\mathbb{Z}^{-1}$ ), des multiplications par des constantes et des additions. Donner sa séquence réponse impulsionnelle et la transformée en  $\mathbb{Z}$  de cette réponse. En déduire le spectre en fréquence de cette réponse.

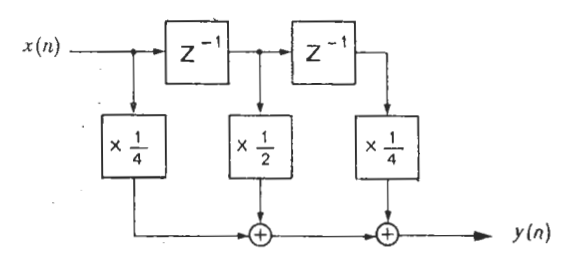


Fig. 4. — Réalisation d'un filtre faisant intervenir des éléments « retard » des multiplications et des additions.

I.11. Recommencer la question I.10 dans le cas où :

$$y(n) = \sum_{k=0}^{+\infty} 2^{-2k} \cdot x(n-k).$$

En déduire un schéma de réalisation très simple, en utilisant le symbolisme de la fig. 4.

## II. FILTRES ECHANTILLONNES A REPONSE IMPULSIONNELLE INFINIE

Nous avons pu sentir la correspondance implicite qui existe entre la transformée en z et la transformée de Laplace. Nous allons utiliser cette propriété pour en déduire deux méthodes de synthèse de filtres à échantillonnage à partir de filtres analogiques.

 $\hspace{1cm} II.A. \hspace{1cm} On \hspace{1cm} rappelle \hspace{1cm} que \hspace{1cm} pour \hspace{1cm} un \hspace{1cm} filtre \hspace{1cm} passe-bas \hspace{1cm} d'ordre \hspace{1cm} N \hspace{1cm} du \hspace{1cm} type \hspace{1cm} Butterworth :$ 

$$|\mathbf{H}_{a}(j\Omega)|^{2} = \left[1 + \left(\frac{j\Omega}{j\Omega_{c}}\right)^{2}\right]^{-1}$$

et que c'est une forme de filtre « maximalement plat » en dehors de la zone de transition.

II.A.1. Déterminer au mieux N et  $\Omega_c$  pour que le filtre réponde au gabarit donné par la fig. 5 (c'est-à-dire que la courbe de  $|H_a(j\Omega)|$  reste hors de la zone hachurée. On désire de plus que  $|H_a(0)|=1$  (si l'on ne peut faire passer la courbe par les points A et B, on préférera satisfaire à la condition au point A d'abord). En déduire la position des pôles de  $H_a(p)$  (bien sûr à partie réelle négative). En déduire l'expression de  $H_a(p)$ . Sa décomposition en fractions simples est donnée par :

$$H_{a}(p) = \sum_{k=0}^{5} \frac{A_{k}}{p - p_{k}}$$

$$= \frac{0,14355 - j \ 0,24862}{T_{e} \cdot p - (-0,182 - j \ 0,6792)} + \frac{0,14355 + j \ 0,24862}{T_{e} \cdot p - (-0,182 + j \ 0,6792)} + \frac{-1,07140}{T_{e} \cdot p - (-0,4972 - j \ 0,4972)} + \frac{-1,07140}{T_{e} \cdot p - (-0,4972 + j \ 0,4972)} + \frac{0,92791 + j \ 1,60717}{T_{e} \cdot p \ (-(-0,6792 + j \ 0,182))} + \frac{20 \log_{10} H_{a}(j \ \Omega)}{0} \frac{A}{\Omega} = \frac{2 dB}{T_{e}}$$

$$\frac{14 dB}{\Omega_{1}} = \frac{0,2\pi}{T_{e}}$$

Fig. 5. — Gabarit du filtre analogique.

II.A.2. Montrer sur l'expression littérale, que la réponse impulsionnelle continue peut se mettre sous la forme :

$$h_a(t) = \sum_{k=0}^{5} A_k \cdot \exp(p_k \cdot t) \cdot u_a(t)$$

où  $u_a(t)$  représente l'échelon unité analogique.

et  $ω_2 = 0.3 π$ .

On désire échantillonner cette réponse impulsionnelle à la période  $T_e$  et construire le filtre à échantillonnage qui possède cette réponse impulsionnelle. A cause de la correspondance qui existe dans ce cas

entre  $\Omega$  et  $\omega$ :  $\left(\Omega=\frac{\omega}{T_e}\right)$ , le gabarit du filtre échantillonné correspondra donc automatiquement à celui de la fig. 6 avec  $\omega_1=0.2~\pi$ 

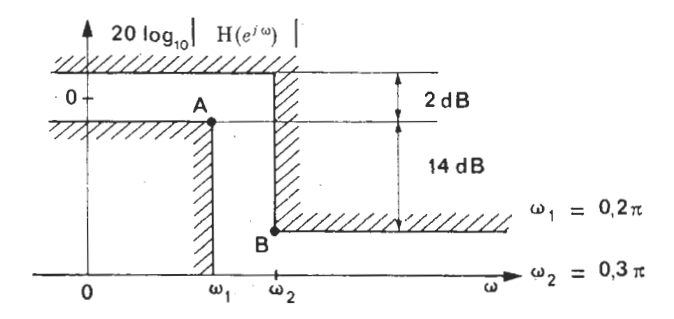


Fig. 6. — Gabarit du filtre à échantillonnage (période d'échantillonnage =  $T_e$ ).

Evaluer  $h(n) = h_a(n \cdot T_e)$ . En déduire la transformée en z de cette réponse impulsionnelle sous sa forme littérale; montrer que tous calculs faits, on arrive à :

$$H(Z) = \frac{1}{T_e} \left[ \frac{0,2871 - 0,4466 z^{-1}}{1 - 1,2971 z^{-1} + 0,6949 z^{-2}} + \frac{-2,1428 + 1,1454 z^{-1}}{1 - 1,069 z^{-1} + 0,3699 z^{-2}} + \frac{1,8558 - 0,6304 z^{-1}}{1 - 0,9972 z^{-1} + 0,2570 z^{-2}} \right]$$

évaluer le module de  $H(e^{i\omega})$  pour  $\omega=\pi$ , le résultat est-il significatif? Comme la fonction en z s'exprime par la somme de 3 termes de même forme, on pourra construire le filtre par mise en parallèle de 3 modules topographiquement identiques. Donner avec le symbolisme de la fig. 4, le schéma d'un de ces modules.

II.B. Une autre méthode de synthèse de filtres à échantillonnage est basée sur la correspondance qui existe entre la transformée en z évaluée sur le cercle de rayon unité du plan complexe, et la transformée de Laplace évaluée sur l'axe imaginaire. Une transformation du plan de Laplace en plan z, qui fait correspondre *l'axe imaginaire au cercle unité* doit fournir une méthode de synthèse de filtre échantillonné à partir de la fonction de transfert du filtre analogique.

II.B.1. Vérifier que la transformation donnée par le change-

ment de variable : 
$$p = \frac{2}{T_a} \cdot \frac{1 - z^{-1}}{1 + z^{-1}}$$
 permet cette correspondance.

Bien évidemment, dans ce cas, la relation qui existe entre  $\Omega$  du plan p et  $\omega$  du plan z n'est plus linéaire. Trouver cette nouvelle relation. A-t-on toujours le même risque de déformation de la réponse en fré-

quence par recouvrement des segments de 
$$H_a(j\Omega)$$
 de longueur  $\frac{2\pi}{T_e}$ ?

II.B.2. Nous voulons par cette transformation dite « bilinéaire », obtenir un filtre échantillonné répondant au gabarit de la fig. 6 en coordonnées  $\omega$  ( $\omega_1=0.2~\pi$  et  $\omega_2=0.3~\pi$ ), quelles valeurs doit-on alors donner à  $\Omega_1$  et  $\Omega_2$ ? En déduire les valeurs de N et  $\Omega_c$  nécessaires à la réalisation du filtre analogique de type Butterworth passe-bas (on préfère passer par le point B si on ne peut passer par A et B à la fois). Evaluer les pôles, en déduire  $H_a(p)$  pour ce filtre. Appliquer la transformation bilinéaire et aboutir à la forme suivante :

$$H\left(z\right) = \frac{0,000738\left(1+z^{-1}\right)^{6}}{\left(1-0,9044\,z^{-1}+0,2155\,z^{-2}\right)\,\left(1-1,0108\,z^{-1}+0,3585\,z^{-2}\right)\,\left(1-1,2689\,z^{-1}+0,7055\,z^{-2}\right)}$$

Quelle est l'atténuation de ce filtre pour  $\omega = \pi$ ?

II.C. Dans le paragraphe précédent, nous avons vu comment une transformation bilinéaire du plan p en plan z fournissait un moyen extrêmement commode pour la synthèse des filtres à échantillonnage. Nous allons voir ici comment des transformations de z en z permettent d'obtenir n'importe quel type de filtre à partir d'un passebas donné. Nous partirons d'un filtre très simple donné par :

$$H(Z) = \frac{0.05(1-z^{-1})}{1-0.9z^{-1}}.$$

II.C.1. Préciser les variations de  $(H(z))_{z=e^{j\omega}}$  pour :

$$\omega \in [-\pi, +\pi].$$

II.C.2. Si l'on effectue le changement de variable de z en z avec  $z^{-1}=f(z^{-1})=-z^{-1}$ , quelles sont les caractéristiques du filtre obtenu (on remarquera  $-1=e^{j\pi}$  et l'on posera que  $z=e^{j\theta}$  sur le cercle de rayon unité).

II.C.3. Même question avec le changement de z en z avec  $z^{-1} = -z^{-2}$ .

En fait, toute transformation ponctuelle du plan z qui conserve dans sa globalité le cercle de rayon unité, et ne fait pas d'échange entre les points intérieurs et extérieurs de ce cercle, doit permettre de transformer un filtre à échantillonnage stable et causal, en un autre, également stable et causal.

II.C.4. Montrer que toute transformation du type :

$$z^{-1} = f(z^{-1}) = \pm \prod_{k=1}^{N} \frac{z^{-1} - \alpha_k}{1 - \alpha_k z^{-1}} (\alpha_k \text{ r\'eel}, |\alpha_k| < 1)$$

conserve le cercle unité et que si  $|z^{-1}| < 1$  alors  $|z^{-1}| < 1$ .

II.C.5. Soit la transformation d'un filtre passe-bas H(z) par

la relation 
$$z^{-1} = \frac{z^{-1} - \alpha}{1 - \alpha z^{-1}}$$
 ( $\alpha$  réel,  $|\alpha| < 1$ ) quelle est la nature du

filtre obtenu. Si le premier filtre est caractérisé par sa fréquence de coupure  $\omega_{cr}$  quelle est la fréquence de coupure  $\vartheta_c$  du nouveau filtre

trouver par exemple une relation entre tg 
$$\frac{\omega_c}{2}$$
 et tg  $\frac{\vartheta_c}{2}$ ). On

applique cette transformation avec  $\alpha=-0.5$  au filtre défini au début du paragraphe II.C. Quelle est la fréquence de coupure du nouveau filtre?

- II.D. Les avantages des filtres à échantillonnage sont nombreux. mais ils ont aussi leurs inconvénients; ainsi les filtres numériques à échantillonnage ont totalement résolu le problème de dérive des opérateurs ou des valeurs mémorisées. Après conversion analogiquenumérique du signal d'entrée, on dispose de mémoires, d'additionneurs, de multiplieurs, qui peuvent travailler d'une façon aussi exacte que l'on veut et sans dérive, mais sur des formats numériques de longueur finie, donc sur des valeurs tronquées. Nous allons étudier l'effet néfaste de cette troncature d'abord à la conversion numérique du signal d'entrée, puis au niveau des opérateurs de multiplication et enfin au niveau du codage des coefficients. Un signal d'entrée est appliqué à un convertisseur analogique-numérique (de (b + 1) bits, y compris le signe) codant en complément à 2, arrondi au plus proche. Le nombre résultant, est interprété, en virgule fixe, normé à 1; c'est-à-dire que le bit le moins significatif a pour poids 2-b. De plus, pour la plupart des signaux appliqués, l'erreur de troncature se comporte comme un bruit blanc.
- II.D.1. Donner dans ce cas la probabilité P(e) que l'erreur d'arrondi vaille e. En déduire la valeur moyenne  $M_e$  et la variance  $\sigma_e^2$  de cette erreur. Quand le signal d'entrée est assimilable à un bruit gaussien (parole, radar), on caractérise également son amplitude par sa variance  $\sigma_e^2$  et on évite tout dépassement de capacité du convertis-

seur, en limitant 
$$\sigma_x$$
 au quart de la pleine échelle  $\left(\sigma_x=rac{1}{4}
ight)$ . Expri-

mer en dB, le rapport signal-sur-bruit en puissance, maximum, pour le signal discrétisé sur (b+1) bits. Pour atteindre 70 dB, combien faudrat-il de bits?

Une deuxième opération de troncature se produit si on ne garde que (b+1) bits après la multiplication en virgule fixe de (b+1) par (b+1) bits. Nous allons voir son effet sur un filtre du  $2^e$  ordre à coefficients réels, donné par le schéma de la fig. 7.

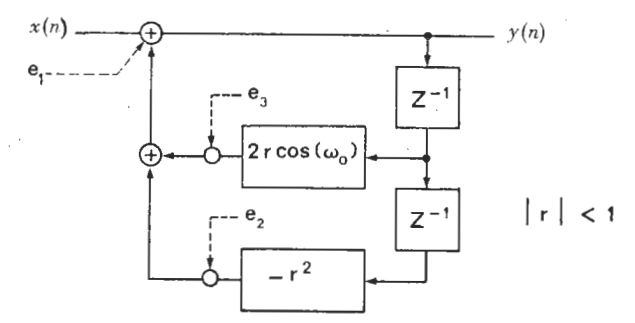


Fig. 7. — Filtre du 2e ordre. Les erreurs de troncatures sont introduites comme des entrées supplémentaires.

II.D.2. Sans tenir compte des sourcesde bruit, exprimer y(n) en fonction des x(n) et y(n-k). En déduire H(z) et vérifier que la décomposition en pôles simples est donnée par :

$$H(z) = \frac{e^{j\omega_0}}{2 j \sin \omega_0} \left( \frac{1}{1 - r e^{j\omega_0} z^{-1}} \right) - \frac{e^{-j\omega_0}}{2 j \sin \omega_0} \left( \frac{1}{1 - r e^{j\omega_0} z^{-1}} \right).$$

En déduire l'expression de  $\{h(n)\}$ , en exprimant ces fractions simples en puissances croissantes de  $z^{-1}$ .

En fait, dans le cas du filtre étudié, et en faisant toujours la supposition que signal et bruits sont blancs en spectre, la contribution de chacune des 4 sources  $(x, e_1, e_2, e_3)$ , au signal de sortie est indépendante des autres et de la forme :

$$\sigma_{si}^2 = \sigma_i^2 \sum_{n=-\infty}^{+\infty} |h(n)|^2 \text{ avec } i \in \{x, e_1, e_2, e_3\}.$$

On donne : 
$$r = 0.87162$$
 et  $\omega_0 = \frac{\pi}{3}$ .

II.D.3. Appliquer cette formule au signal x et, en imposant à sa variance de sortie  $\sigma_{sx}^2$  d'être telle que  $\sigma_{sx}$  est au maximum égal au quart de la pleine échelle; en déduire la valeur maximale que l'on peut donner à  $\sigma_x$ . On pourra alors calculer la valeur maximale du rapport signal-sur-bruit, à la sortie, en fonction du nombre de bits (b+1) de la machine. Apprécier les erreurs de troncature en bits significatifs perdus.

Un dernier type d'erreur est lié au « déplacement » du filtre par la discrétisation des coefficients. Ainsi, si l'on reprend le filtre du 2e ordre de la question précédente, celui-ci est de la forme :

$$y(z) = \frac{1}{1 + \alpha z^{-1} + \beta z^{-2}}.$$

A cause de la discrétisation des coefficients  $\alpha$  et  $\beta$ , on ne peut construire qu'un nombre fini de filtres différents.

II.D.4. Exprimer les relations qui donnent les modules et arguments des pôles en fonction des coefficients  $\alpha$  et  $\beta$ . Après avoir remarqué que  $\alpha$  pouvait être compris entre +2 et -2 alors que  $\beta$  reste limité entre zéro et 1, dire quels sont, dans le plan z, les lieux possibles pour les 2 pôles conjugués, si les coefficients sont codés de façon optimale sur m bits (faire un schéma explicatif). Calculer la position des pôles réalisables les plus proches des pôles théoriques si m=8;

chiffrer le déplacement par une appréciation de 
$$\frac{\Delta r}{r}$$
 et  $\frac{\Delta \omega_0}{\omega_0}$ .

On peut préférer coder l'expression de y(Z) sous une autre forme, par exemple :

$$y(z) = \frac{1}{1 + \alpha z^{-1} + \left(\left(\frac{\alpha}{2}\right)^2 + \gamma^2\right) z^{-2}}$$

II.D.5. Quelles sont dans ce cas, les positions possibles des pôles (on remarquera que  $\gamma$  reste compris entre 0 et 1 et  $\alpha$  entre +2 et

-2). Apprécier encore 
$$\frac{\Delta r}{r}$$
 et  $\frac{\Delta \omega_0}{\omega_0}$ . Le résultat était-il prévisible?

## III. FILTRES ECHANTILLONNES, A REPONSE IMPULSIONNELLE FINIE

Ils constituent une sous-classe très intéressante des filtres temporels, car, s'ils sont plus coûteux en temps et en matériel installé, ils sont beaucoup moins sensibles aux erreurs de troncatures et sont inconditionnellement stables. Nous allons voir, par ailleurs, d'autres propriétés intéressantes.

III.A. Soit un filtre, à réponse impulsionnelle finie ou infinie, mais réelle et symétrique h(n) = h(-n) (bien sûr, ce filtre est non causal).

III.A.1. Donner une expression de sa transformée en z qui tienne compte de cette propriété et, en déduire le comportement de la phase de sa réponse en fréquence. Si le filtre a, de fait, une réponse impulsionnelle finie telle que h(n) = 0 si  $n \notin [-N, +N]$ , on peut décaler cette réponse impulsionnelle et rendre le filtre causal. On a, alors, (2N+1) coefficients non nuls avec h'(n) = h'(2N-n) et h'(n-N). Exprimer la phase et le module du filtre obtenu en fonc-

tion de l'ancien filtre. La propriété mise ainsi en évidence est très intéressante, aussi, dans certains cas de réponse impulsionnelle infinie, on préfère rendre la réponse symétrique, la décaler puis la tronquer par une fonction fenêtre, afin d'obtenir un filtre causal à phase linéaire. Nous allons étudier l'effet de la troncature de la réponse impulsionnelle sur la réponse en fréquence du filtre.

Nous voudrions construire le filtre passe-bas idéal à phase linéaire et coefficients réels, donné par le schéma de la fig. 8.

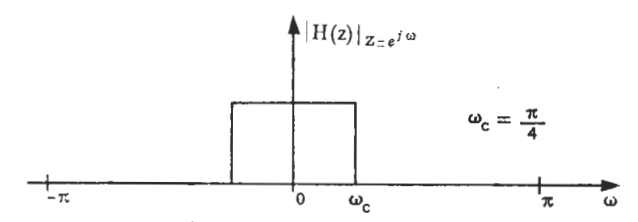


Fig. 8. - Filtre idéal non causal.

III.A.2. Calculer sa réponse impulsionnelle, vérifier qu'elle est infinie et symétrique, donc que le filtre est non causal.

On veut le rendre causal en multipliant sa réponse impulsionnelle par une fenêtre rectangulaire  $w\left(n\right)$  englobant les  $(2\,\mathrm{N}+1)$  points centraux. Remarquons que ceci correspond, dans l'espace des temps, à la multiplication de la réponse par un créneau de largeur  $2\,\mathrm{N} \cdot \mathrm{T}_e$  ( $\mathrm{T}_e$  est la période d'échantillonnage).

III.A.3. Exprimer la réponse en fréquence  $(W(z))_{Z=e^{i\omega}}$  de cette fonction créneau et écrire alors la réponse en fréquence du filtre tronqué sous la forme d'une intégrale de convolution, de la réponse idéale par cette fonction  $(W(z))_{Z=e^{i\omega}}$  (on n'évaluera pas cette intégrale).

Nous allons préciser les conséquences physiques de cette formulation.

III.A.4. Relier approximativement la largeur de la transition entre zone passante et zone atténuée de la réponse en fréquence du

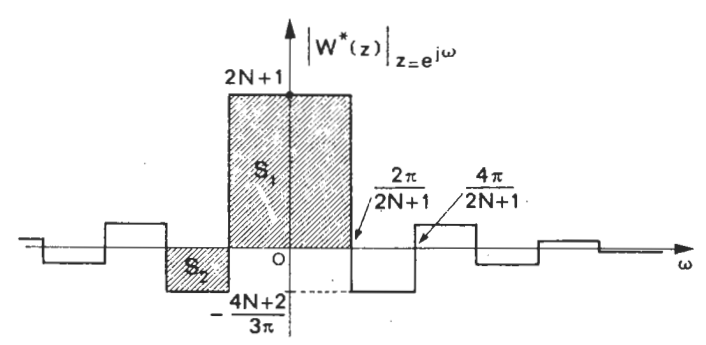


Fig. 9. — Forme approchée de  $|W(Z)|_{Z=e^{j\omega}}$ .

filtre tronqué, à la forme de  $(W(z))_{Z=e^{i\omega}}$  (aidez-vous de schémas). Relier également l'amplitude des oscillations de cette réponse, de part et d'autre de la zone de transition, à des grandeurs caractéristiques

de 
$$(W(z))_{Z=e^{j\omega}}$$
. (Evaluer à cet effet, le rapport des surfaces  $\frac{S_2}{S_1}$  en

fonction de N, sur la forme simplifiée de W(z) donnée en fig. 9 et analyser son influence sur les oscillations). Vérifier que le rapport de l'amplitude des oscillations à la hauteur totale de la transition est indépendant de N et se situe aux environs de 0,1.

III.B. Influence d'un filtre passe-tout cascadé avec un filtre à réponse impulsionnelle finie.

#### III.B.1. Soit le filtre :

avec :

$$H_{PT}(z) = \frac{z^{-1} - re^{-i\vartheta}}{1 - re^{i\vartheta} z^{-1}} \cdot \frac{z^{-1} - re^{i\vartheta}}{1 - re^{-i\vartheta} z^{-1}}$$

$$r = 0.5500 \quad \text{et} \quad \vartheta = \frac{2\pi}{3}.$$

Placez schématiquement ses pôles et zéros, et calculer le module évalué sur le cercle de rayon unité. Quelle conclusion en tirez-vous, si l'on-cascade ce filtre en série, avec le filtre à réponse impulsionnelle finie donnée par H(z) (fig. 10) tel que :

$$H(z) = \frac{1}{r^2} (1 - re^{i\theta} z^{-1})^2 \cdot (1 - re^{-i\theta} z^{-1})^2$$

$$r = 0,5500 \quad \text{et} \quad \theta = \frac{2\pi}{3}.$$

$$H_G(z)$$
Entrée O H(z) H\_P(z) O Sortie

Fig. 10. — Mise en cascade du filtre H(z) et d'un filtre  $H_{PT}(z)$ .

III.B.2. Placer dans le plan z les zéros de ce filtre H(z). Calculer les différentes valeurs de h(n) non nulles et présenter les résultats sous forme d'un graphique, fonction de n.

III.B.3. Les deux filtres en cascade sont équivalents à un filtre qui a pour transformée en  $z: H_G(z)$ . Donner son expression et placer ses zéros. Calculer et présenter sa réponse impulsionnelle comme au III.B.2., que constatez-vous et quelle conclusion en tirez-vous pour l'évolution de la phase de  $H_G(z)$  quand  $z=e^{i\omega}$ ?

Sur la fig. 11 sont présentés le module et la phase de  $(H(z))_{Z=e^{i\omega}}$ ; en déduire graphiquement, le module de  $(H_G(z))_{Z=e^{i\omega}}$  et la phase de  $(H_{PT}(z))_{Z=e^{i\omega}}$ .

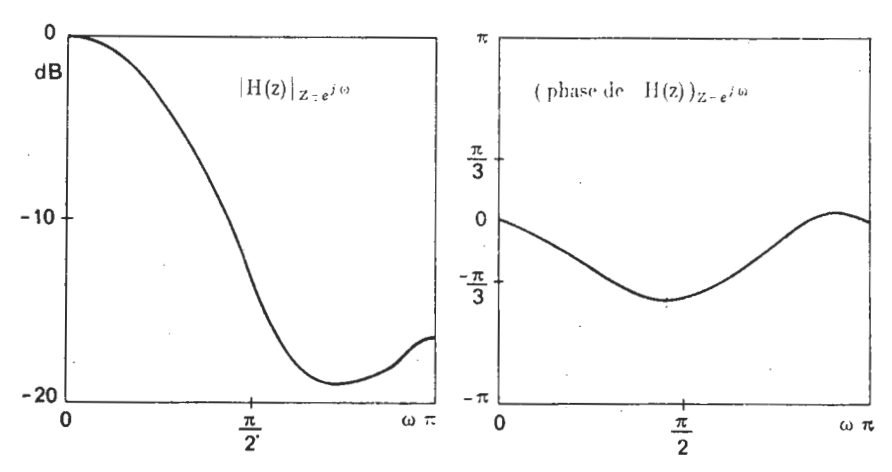


Fig. 11. - Module et phase du filtre H(Z).

III.C. On désire, à partir d'un signal de largeur spectrale  $2 \cdot \Delta F$ , centré autour de  $F_c$ , obtenir deux signaux en quadrature de phase. On va construire pour cela, un filtre à réponse impulsionnelle finie qui va approximer un filtre de Hilbert.

Un filtre de Hilbert est un filtre non causal défini par sa réponse en fréquence. Il relie y(n) à son entrée x(n) par une relation dans l'espace des fréquences :

$$Y(z) = H(z) \cdot X(z) \quad \text{et} \quad (H(z))_{z=e^{j\omega}} = \begin{cases} -j \text{ pour } \omega \in ]0, \pi[\\ +j \text{ pour } \omega \in ]-\pi, 0[\end{cases}$$

III.C.1. Calculer la réponse impulsionnelle d'un tel filtre, vérifier qu'il est non causal et antisymétrique.

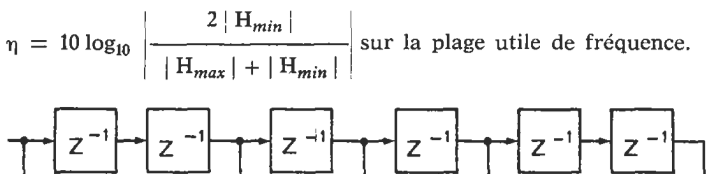
Pour pouvoir le rendre causal, on va tronquer la réponse impulsionnelle et la limiter à, au plus, 7 coefficients non nuls, puis on va décaler de 3 échantillons la réponse obtenue. Donner un schéma de cette réponse impulsionnelle tronquée et écrire la relation de récurrence qui lie y(n) aux x(n) dans ce cas.

III.C.2. Ecrire la transformée en z de ce filtre tronqué et en déduire la réponse en fréquence; tracer le module et la phase du filtre obtenu entre 0 et  $\pi$ .

III.C.3. Un tel filtre est dessiné sur la fig. 12. Comparer la phase de y(n) et de w(n). Même si la condition de phase est respectée, un tel filtre ne sera utilisable que si y(n) et w(n) restent très voisins en module sur la plage de fréquence utile du signal  $(F_c \pm \Delta F)$ . On dispose d'un coefficient k pour assurer l'égalité, mais il faudra malgré tout, que le module  $|H(z)|_{Z=e^{j\omega}}$  reste suffisamment constant sur la plage considérée. On place  $F_c$  au quart de la fréquence d'échan-

tillonnage et on donne à  $\Delta F$  la valeur  $\frac{F_c}{2}$ , préciser la valeur de  $\omega_c$ 

en cordonnée réduite, ainsi que  $\Delta\omega$ . Exprimer alors la variation maximale du module de  $(H(z))_{Z=e^{j\omega}}$  en dB sous la forme :



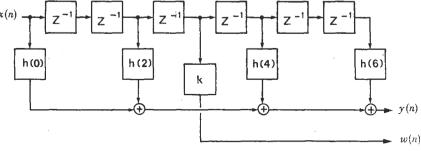


Fig. 12. - Réalisation d'un filtre de Hilbert.

Pour diminuer ces ondulations, nous allons modifier la fenêtre de troncature. Si l'on change la valeur des 2 coefficients extrêmes, de la réponse impulsionnelle tronquée, cela conduira à écrire  $|H(z)|_{Z=e^{j\omega}}$ 

sous la forme  $\left(\frac{4}{\pi}\left(\sin\omega + \alpha\sin3\omega\right)\right)$  où  $\alpha$  n'a pas la valeur prévue à la question précédente. En faisant varier  $\alpha$ , on espère minimiser le rapport  $\eta'=10\log_{10}\left(\frac{2\,|\,H_{min}\,|}{|\,H_{max}\,|\,+\,|\,H_{min}\,|}\right)$  sur la plage de fréquence du signal utile.

III.C.4. Pour 
$$\omega_0$$
 donné, appartenant à  $\left[ \begin{array}{c} \pi \\ \hline 4 \end{array}, \begin{array}{c} \pi \\ \hline 2 \end{array} \right]$  , trouver la

valeur de  $\alpha$  qui place un extrémum de  $(H(z))_{Z=e^{j\omega}}$  en  $\omega_0$ . Est-ce un minimum ou un maximum? Tracer alors en fonction de  $\omega_0$ :

$$(H(z))_{z=e^{j\omega_0}}$$
,  $(H(z))_{z=e^{j\omega_0/2}}$ ,  $(H(z))_{z=e^{j\omega_0}}$ ;

en déduire la valeur de  $\alpha$  optimum pour  $\eta'$ . Tracer alors  $|H(z)|_{Z=e^{j\omega}}$  dans ce cas et estimer  $\eta'$ .

III.D. Un moyen très efficace de réalisation des filtres à réponse impulsionnelle finie est donné par les systèmes à transfert de charges (CCD). Ceux-ci fonctionnent naturellement, comme une cascade d'échantillonneurs bloqueurs. Ils permettent donc très simplement, de construire des filtres transverses analogiques dans lesquels il n'y a pas de problème de numérisation ou de troncature. Ils ne sont cependant pas exempts de défauts et nous allons voir comment ces derniers vont également limiter les performances des filtres. Dans un système à transfert de charge, l'information échantillonnée x(n-k) est repré-

sentée par un paquet de charges  $q_k(n)$  qui se trouve à l'instant  $n \cdot T_e$  sous la  $k^{ieme}$  cellule du dispositif. Les défauts de ces systèmes sont liés à la dégradation du paquet de charges dans le temps, (par des termes de sources de charges et par des pièges dits « profonds ») et dans les transferts aux voisins (transferts partiels). Nous allons plus précisément étudier l'effet de cette inefficacité de transfert.

On injecte au temps zéro, une impulsion unité, représentée par une charge q au niveau du  $1^{er}$  étage d'une ligne à retard, à transfert de charge (fig. 13) et soit  $\varepsilon$  la fraction relative de charge laissée en arrière. à chaque transfert, sous chaque cellule.

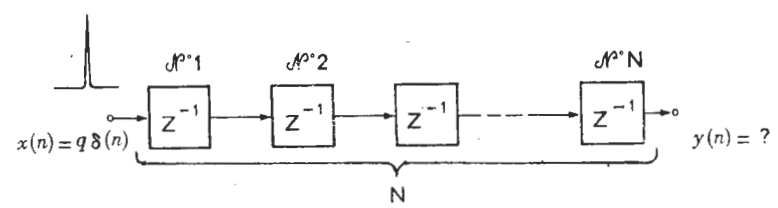


Fig. 13. - Ligne à retard à transfert de charge.

III.D.1. Calculer la réponse à la sortie de N étages cascadés en fonction de  $\varepsilon$ . Pour cela, on écrira le bilan de charge pour la cellule m, dans le transfert de  $q_m(n)$  entre les temps  $nT_e$  et  $(n+1)T_e$ ; puis par récurrence, on établira que la charge qui sort du dernier étage suit la loi :

$$(1-\varepsilon) \cdot q_{N}(N+p) = 0 \qquad \text{pour } p < 0$$

$$(1-\varepsilon) \cdot q_{N}(N+p) = \frac{(N+p-1)!}{(N-1)! p!} \cdot \varepsilon^{p} (1-\varepsilon)^{N} \times q \text{ pour } p \text{ entier} \ge 0$$

esquisser l'allure de cette séquence de sortie pour N = 256 et  $\varepsilon = 4 \cdot 10^{-4}$  puis  $\varepsilon = 4 \cdot 10^{-3}$ .

III.D.2. A partir du bilan de charge de la cellule m, établir l'équation en Z de ce bilan de charge. Exprimer alors la transformée en Z de la charge qui sort du dernier étage. Montrer que la réponse en fréquence d'une telle ligne à retard sera donnée en module par :

$$\left| H_{N}(z) \right|_{z=e^{j\omega}}^{2} = \left[ \frac{1+\epsilon^{2}-2\epsilon}{1+\epsilon^{2}-2\epsilon\cos\omega} \right]^{N}$$

tracer la variation de  $|H_N(z)|_{z=e^{j\omega}}$  pour  $\varepsilon=4\cdot 10^{-4}$  et  $\varepsilon=4\cdot 10^{-3}$ , qu'en concluez-vous? Calculer la phase de cette réponse (ne pas la tracer).

Un filtre à transfert de charge peut servir « d'étireur ». Dans ce cas, sa réponse impulsionnelle théorique est donnée par :

$$\left\{ h\left( n\right) \right\} =\left\{ \begin{array}{l} \sum\limits_{m=1}^{N}\delta\left( n-m\right) \right. \right\}$$

III.D.3. Grâce à la question précédente, calculer dans ce cas extrêmement simple, la transformée en z:  $H_r(z)$  d'un dispositif à transfert de charge d'efficacité de transfert  $\varepsilon$  et de N étages. Esquisser son module.

### **ANNEXE**

## I. RAPPEL DES PRINCIPALES NOTATIONS

 $x_a(t)$  signal d'entrée analogique, fonction du temps.

$$x_e(t)$$
 signal échantillonné 
$$\begin{cases} (= 0 \text{ sauf pour } t = n \cdot T_e) \\ (= x_a(t) \cdot \tau \cdot \sum_{n = -\infty}^{+\infty} \delta_a(t - n T_e) \end{cases} .$$

T<sub>e</sub> période d'échantillonnage.

fréquence d'échantillonnage.

$$\delta_a(u)$$
 fonction de Dirac  $(y(u_0) = \int_{-\infty}^{+\infty} \delta_a(u - u_0) \cdot y(u) du)$ .

 $u_a(t)$  échelon unité analogique.

$$x(n) \qquad \text{valeur de } x_a(n \cdot T_e) :$$

$$(x(n) = \int_{-\infty}^{+\infty} x_a(t) \, \delta_a(t - n \cdot T_e) \, dt \neq x_e(n \cdot T_e)).$$

$$d_{\mathbf{T}_e}(t)$$
 peigne de Dirac de période  $\mathbf{T}_e (d_{\mathbf{T}_e}(t) = \sum_{n=-\infty}^{+\infty} \delta_a(t-n\,\mathbf{T}_e))$ .

 $D_{T_e}(j\Omega)$  transformée de Fourier du peigne de Dirac.

$$\{x(n)\}$$
 séquence d'entrée  $(x(n) = x_a(n \cdot T_e))$ .

$$\{y(n)\}\$$
 séquence de sortie  $(\{y(n)\}\ = \mathfrak{C}[\{x(n)\}]).$ 

 $\{\delta(n-k)\}$  séquence impulsion unité.

 $\{u(n-k)\}$  séquence échelon unité.

$$T_{Z}[\{x(n)\}] = X(z)$$
 transformée en z de la fréquence  $\{x(n)\}$ .

 $X(e^{i\omega})$  évaluation de la transformée en z de la séquence  $\{x(n)\}$  sur le cercle de rayon unité.

 $H(e^{j\omega})$  réponse en fréquence d'un système échantillonné.

- $X_a(j\Omega)$  spectre en fréquence d'un signal analogique  $x_a(t)$ .
- $X_e(i\Omega)$  spectre en fréquence d'un signal échantillonné  $x_e(t)$ .
- $H_a(i\Omega)$  réponse en fréquence d'un système analogique.
- $h_a(t)$  réponse impulsionnelle d'un système analogique.
- $\{h(n)\}$  séquence réponse impulsionnelle d'un système échantillonné
- P(e) probabilité que l'erreur d'arrondi vaille e.
- σ<sub>2</sub> variance du signal d'entrée.
- $\sigma_{\rm sr}^2$  contribution du signal d'entrée à la variance de sortie.
- $\sigma_{e}^{2}$  variance d'entrée de la source de bruit i.
- $\sigma_{si}^2$  contribution, à la variance de sortie, de la source de bruit i.
- $q_m(n)$  état de charge de la cellule m à l'instant  $n \cdot T_e$ .

#### II. FORMULAIRE

\* Série de Fourier (période 
$$\frac{2\pi}{\Omega_0}$$
)

$$x(t) = \sum_{n=-\infty}^{+\infty} X(n) \cdot e^{j\Omega_0 nt}$$

$$X(n) = \frac{\Omega_0}{2\pi} \int_{-\pi/\Omega_0}^{\pi/\Omega_0} x(t) \cdot e^{-j\Omega_0 nt} \cdot dt.$$

\* Transformation de Fourier (fonctions apériodiques).

$$x_a(t) = \frac{1}{2\pi} \int_{-\infty}^{+\infty} X_a(j\Omega) \cdot e^{j\Omega t} \cdot d\Omega$$

$$X_a(j\Omega) = \int_{-\infty}^{+\infty} x_a(t) \cdot e^{-j\Omega t} \cdot dt.$$

\* Transformation de Fourier discrète.

$$x(n) = \frac{1}{2\pi} \int_{-\pi}^{+\pi} X(e^{j\omega}) \cdot e^{jn\omega} d\omega$$

$$X(e^{j\omega}) = \sum_{n=-\infty}^{+\infty} x(n) \cdot e^{-jn\omega}.$$

\* Transformée en z.

$$T_{Z}[\{x(n)\}] = X(z) = \sum_{n=-\infty}^{+\infty} x(n) \cdot z^{-n}$$

$$T_{Z}[\{\alpha^{-n} \cdot x(n)\}] = X(\alpha z)$$

$$T_{Z}[\{x(n-k)\}] = X(z) \cdot z^{-k}.$$

\* Théorème de convolution.

Si 
$$a(n) = b(n) \cdot c(n)$$
:

$$(\mathbf{A}(\mathbf{z}))_{\mathbf{z}=e^{j\omega}} = \frac{1}{2\pi} \int_{-\pi}^{+\pi} \mathbf{B}(e^{j\theta}) \cdot \mathbf{C}(e^{j(\omega-\theta)}) \cdot d\theta.$$

#### SOLUTION

#### PRÉLIMINATRE

Le problème de la Session 1983 de l'Agrégation de Physique Appliquée est très intéressant. Son énoncé est long, comme le laisse entendre l'avertissement aux candidats, et il est bien évident qu'il ne pouvait être traité en six heures. Pour les professeurs qui désirent faire le point sur les différentes questions touchant au filtrage numérique, par contre, il présente une très bonne variété de situations, intelligemment amenées qui soutiennent en permanence l'intérêt de celui qui les aborde.

Voici une bibliographie sommaire qui permettra à ceux qui le désirent de compléter leurs informations sur ce sujet d'actualité:

Le fitlrage numérique, par Yves Bernard, B.U.P. n° 647 (octobre 1982), page 79.

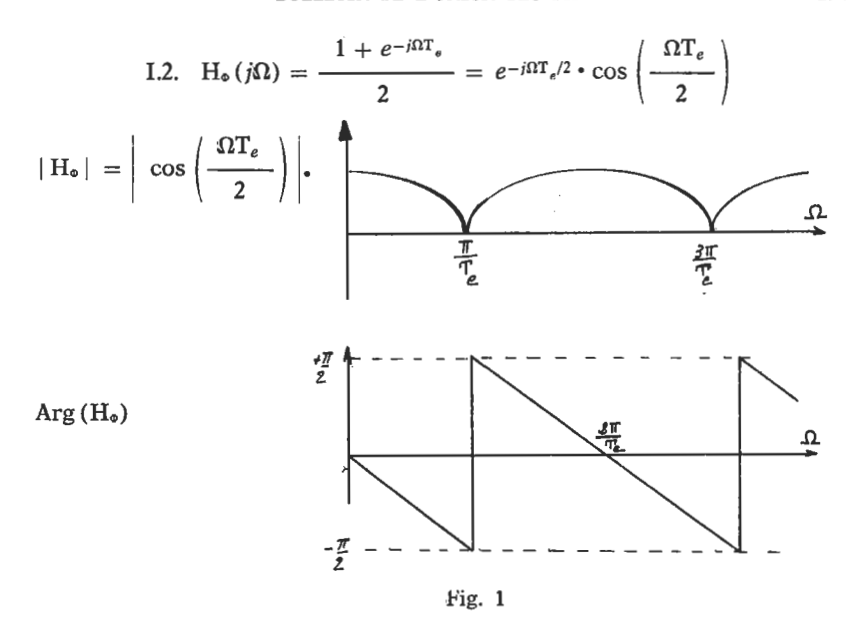
La bibliographie indiquée page 114 est parfaitement valable, et on peut recommander particulièrement l'ouvrage suivant :

- Les fiches numériques, de R. Boîte et H. Leich. Masson, 2<sup>e</sup> édition. 1980.
- Le filtrage et ses applications, par La Barrère, Krieff et Gimo-NET. C.E.P.A.D.U.E.S. 1978.
- Digital Signal Processing by W.-D. STANLEY. Reston Publishing Company. 1975.
- 5) Signal Processing by Mischa Schwartz and L. Shaw. McGraw Hill. 1975.
- Filtres numériques, par P. Fondanèche et P. Gilbertas. Masson. 1981.

## I. FILTRAGE TEMPOREL

I.1. Si l'impédance du dispositif créant le retard analogique est négligeable devant R, de même que celle de la source fournissant le signal  $x_a(t)$ , ce qui est implicite dans le texte, alors

$$s_a(t) = \frac{x_a(t) + x_a(t - \mathbf{T}_e)}{2}.$$



L'argument de  $H_{\bullet}$  est ici représenté à  $2 k \pi$  près.

Ce sont les changements de signe de cos  $\left(\frac{\Omega T_e}{2}\right)$ , lorsque

$$\Omega = \frac{\pi}{T_e} + \frac{2 k \pi}{T_e}$$
, qui sont à l'origine des discontinuités de phase d'amplitude  $\pi$ .

Les entrées  $x_a(t)$  et  $x'_a(t)$  n'ont pas la même fréquence. Bien que, pour ces deux entrées, la valeur prise par la fonction de transfert soit la même, on ne peut donc pas parler d'identité, partielle ou globale, entre les réponses  $y_a(t)$  et  $y'_a(t)$ .

Cependant, ces deux tensions ont même amplitude, et elles sont également déphasées par rapport aux entrées. Une courbe de Lissajous, construite sur  $x_a(t)$  et  $y_a(t)$  serait la même que celle qui serait construite sur  $x'_a(t)$  et  $y'_a(t)$ .

I.3. 
$$x_{o}(t) = x_{o}(t) \cdot \tau \cdot d_{To}(t)$$

I.4. La transformée de Fourier d'un produit de fonctions est égale à la convoluée des Transformées de Fourier de chacune de ces deux fonctions. Or, la T. de F. d'un peigne de Dirac est un peigne de Dirac :

$$\mathbf{D}_{T_{e}}(j\Omega) = \int_{-\infty}^{+\infty} d_{T_{e}}(t) \cdot e^{-j\Omega t} \cdot dt = \frac{1}{\mathbf{T}_{e}} \sum_{-\infty}^{+\infty} \delta \left\{ j \left( \Omega - \frac{2 k \pi}{\mathbf{T}_{e}} \right) \right\}$$

Le spectre de  $x_e(t)$  sera donc donné par le produit de convolution de  $X_a(j\Omega)$  et de  $\tau \cdot D_{T_e}(j\Omega)$ . Au facteur  $\frac{\tau}{T_e}$  près, il est égal à la somme des spectres  $X_a(j\Omega)$  translatés de  $\frac{2k\pi}{T_e}$ .

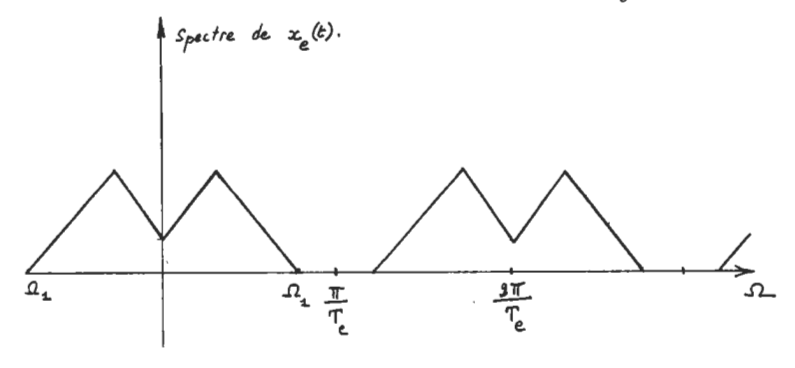


Fig. 2

Remarque : Pour pouvoir isoler, par filtrage, le spectre de  $x_a(t)$  de celui de  $x_e(t)$ , on voit qu'il faut bien avoir  $\Omega_1<\frac{\pi}{T_e}$ , autrement dit la fréquence d'échantillonnage  $\frac{1}{T_e}$  doit être supérieure à  $2f_1$  si  $f_1=\frac{\Omega_1}{2\pi}$  est la fréquence la plus élevée présente dans le spectre de  $x_a(t)$ .

I.5. La linéarité de la transformée en z résulte de sa définition. Si  $A_{(z)} = \sum_{n=-\infty}^{+\infty} a(n) \cdot z^{-n}$  et  $B_{(z)} = \sum_{-\infty}^{+\infty} b(n) \cdot z^{-n}$ , et si l'on note  $C_{(z)} = T_z \left[ \alpha \cdot \{a(n)\} + \beta \cdot \{b(n)\} \right]$ , on constate que :  $C_{(z)} = \sum_{n=-\infty}^{+\infty} \{\alpha \cdot a(n) + \beta \cdot b(n)\} z^{-n} = \dots$ 

$$...\sum_{n=-\infty}^{+\infty} \alpha \cdot a(n) z^{-n} + \sum_{n=-\infty}^{+\infty} \beta \cdot b(n) z^{-n}.$$

Cette dernière expression s'écrit encore :

$$\alpha \cdot \sum_{n=-\infty}^{-\infty} a(n) \cdot z^{-n} + \beta \cdot \sum_{n=-\infty}^{-\infty} b(n) \cdot z^{-n}$$

et ceci n'est autre que  $\alpha \cdot A(z) + \beta \cdot B(z)$ , ce qui démontre la propriété demandée.

I.6. 
$$T_{z} [\delta(n-k)] = z^{-k}$$
.

On a, par ailleurs, l'égalité 
$$x(n) = \sum_{k=-\infty}^{+\infty} x(k) \cdot \delta(n-k)$$
.

La propriété de linéarité vue précédemment montre que la séquence composée  $\sum_{k=-\infty}^{+\infty} x(k) \cdot \{\delta(n-k)\}$  a pour transformée en z:

 $\sum_{k=-\infty}^{-\infty} x(k) \cdot z^{-k}$ , ce qui est, justement X(z), transformée en z de  $\{x_n\}$ .

L'égalité proposée se trouve donc démontrée.

I.7. 
$$T_z \{u(n-k)\} = \sum_{n=k}^{+\infty} z^{-n} = z^{-k} \sum_{p=0}^{+\infty} z^{-p} = \dots$$
  
$$\dots z^{-k} \cdot \frac{1}{1-z^{-1}} = \frac{z^{-k+1}}{z-1}.$$

D'une manière générale, si  $X(z) = T_z \{x_n\}$ , alors :

$$T_z\{\alpha^n \cdot x(n)\} = X\left(\frac{z}{\alpha}\right).$$

Ce résultat, facile à démontrer, joint au précédent, permet d'écrire :

$$T_z\{\alpha^n \cdot u(n-k)\} = \frac{(z/\alpha)^{-k+1}}{z/\alpha - 1} = \frac{z^{-k+1}}{\alpha^{-k} \cdot (z-\alpha)}.$$

I.8. De même que  $\{h(n)\} = \mathfrak{C}[\{\delta(n)\}]$ , la séquence de sortie correspondant à  $\{\delta(n-k)\}$  est  $\{h(n-k)\}$ .

Comme nous avons vu que la séquence d'entrée  $\{x_n\}$  peut être considérée comme la somme  $\sum_{k=-\infty}^{+\infty} x(k) \cdot \{\delta(n-k)\}$ , le système, linéaire, y répondra donc par la séquence :

$$\{y(n)\} = \left\{\sum_{k=-\infty}^{+\infty} x(k) \cdot h(n-k)\right\}$$

Posons : p = n - k; le produit  $x(k) \cdot h(n - k)$  devient :  $h(p) \cdot x(n - p)$ , et comme h(p) = 0 pour p < 0, cette expression se réduit bien à :

$$\{y(n)\} = \begin{cases} \sum_{p=0}^{+\infty} h(p) \cdot x(n-p) \end{cases}$$

Dans le cas où:

$$x(n) = w(n) = e^{in\omega}, y(n) = O(n) = \sum_{k=0}^{+\infty} h(k) \cdot e^{i(n-k)\omega}$$

$$O(n) = e^{jn\omega} \cdot \sum_{k=0}^{+\infty} h(k) e^{-jk\omega} = e^{jn\omega} \cdot H(e^{j\omega}).$$

On a posé  $H(e^{j\omega}) = \sum_{k=0}^{+\infty} h(k) \cdot e^{-jk\omega}$ , autrement dit :  $H(e^{j\omega}) = [H(z)]_{z=e^{j\omega}}$ .

Le formulaire proposé dans le texte établit que  $H(e^{j\omega})$  est la transformée de Fourier discrète de la séquence  $\{h_n\}$ .

Ainsi, de même que la fonction de transfert  $H_a(j\Omega)$  d'un système analogique est la transformée de Fourier de sa réponse impulsionnelle  $h_a(t)$ , la réponse en fréquence d'un système échantillonné,  $H(e^{j\omega})$ , est la transformée de Fourier discrète de la séquence de sortie  $\{h(n)\}$  à une entrée impulsionnelle  $\{\delta(n)\}$ .

I.9. Nous avons vu, à la question I.4., que le spectre du signal  $x_e(t)$  s'obtient, au facteur  $\frac{\tau}{T_e}$  près, en additionnant les spectres de  $x_a(t)$ , soit  $X_a(j\Omega)$ , et ses différentes transformées par des translations d'amplitudes  $\frac{2k\pi}{T_e}$  (fig. 2).

On a donc établi l'égalité :

$$X_e(j\Omega) = \frac{\tau}{T_e} \sum_{k=-\infty}^{+\infty} X_a \left[ j \left( \Omega + \frac{2 k \pi}{T_e} \right) \right].$$

Par ailleurs, le spectre en fréquence de  $\{x_n\}$  est, nous l'avons vu dans la question précédente, égal à la Transformée de Fourier discrète de  $\{x_n\}$  qui peut être considérée comme la Transformée de Fourier d'un signal échantillonné  $x'_e(\vartheta)$  dont l'expression serait ;

$$x'_{e}(\vartheta) = \sum_{n=-\infty}^{+\infty} x_{a}(n T_{e}) \cdot \delta(\vartheta - n).$$

Autrement dit, on aurait:

$$x'_{e}(\vartheta) = \frac{1}{\tau} \cdot x_{e} \left(\frac{t}{T_{e}}\right).$$

Le spectre en fréquence de  $\{x_n\}$  est donc, au facteur  $\tau$  près, et en pulsation réduite  $\omega=\Omega$  •  $T_e$ , le même que celui du signal échantillonné  $x_e(t)$ :

$$X_{\varepsilon}(j\Omega) = \tau [X(z)]_{z=e^{j\omega}}$$
 pour  $\omega = \Omega T_{\varepsilon}$ 

Si le spectre de  $x_a(t)$  est limité en pulsation par  $\Omega_1 < \frac{\pi}{T_e}$ , il n'y a pas recouvrement des différentes translatées de  $X_a(j\Omega)$ .

L'addition de ces différentes translatées n'a donc pour effet que de juxtaposer ces fonctions.

 $[X(z)]_{z=e^{j\Omega T_e}}=rac{1}{ au}\cdot X_e(j\Omega)$  est donc une fonction périodique de période  $rac{2\,\pi}{T_e}$  qui, sur l'intervalle  $-rac{\pi}{T_e}<\Omega<rac{\pi}{T_e}$ , coïncide avec  $X_a$   $(j\Omega)$ .

$$\begin{split} [X\left(z\right)]_{z=e^{j\omega}} & \text{ est } \text{ la } \text{ même } \text{ fonction } \text{ en } \text{ pulsation } \text{ réduite} \\ \omega &= \Omega T_e. \text{ L'intervalle } \left(-\frac{\pi}{T_e}, \frac{\pi}{T_e}\right) \text{ devient donc } (-\pi, +\pi), \text{ et } \\ \text{la pulsation } \Omega_I \text{ se transforme en } \omega_I &= T_e \cdot \Omega_I. \end{split}$$

Si  $\Omega_1$  est supérieur à  $\frac{1}{T_e}$ ,  $X_e(j\Omega)$  est toujours périodique, de période  $\frac{2\pi}{T_e}$ , mais elle ne coïncide plus avec  $X_a(j\Omega)$  sur  $\left(-\frac{\pi}{T_e}, +\frac{\pi}{T_e}\right)$ .

Remarque : Les Américains appellent fréquence « de pliage », ou « folding frequency » la fréquence  $\frac{1}{2\,T_e}$  correspondant à la pulsation  $\frac{\pi}{T_e}$ .

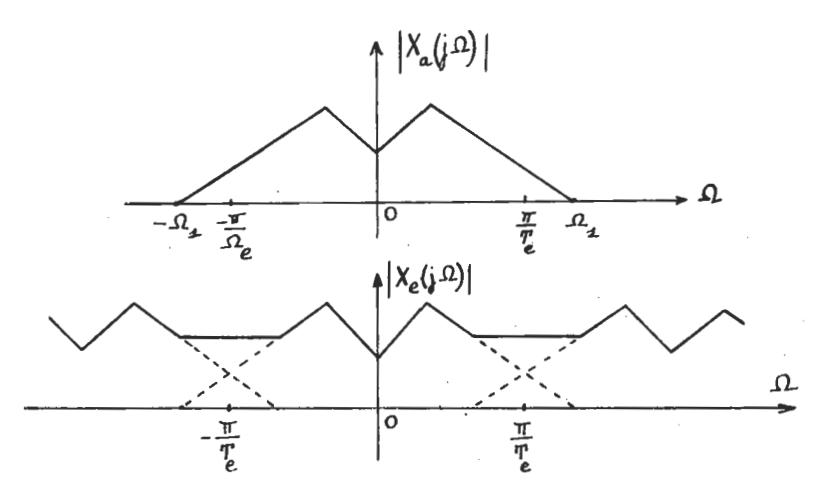


Fig. 3

I.10. 
$$y(0) = \frac{1}{4}$$
;  $y(1) = \frac{1}{2}$ ;  $y(2) = \frac{1}{4}$ ;  $y(n) = 0$   
pour  $n > 2$ .  

$$T_{z} \{y(x)\} = \frac{1}{4} (1 + 2z^{-1} + z^{-2}) = \left(\frac{z+1}{2z}\right)^{2}.$$

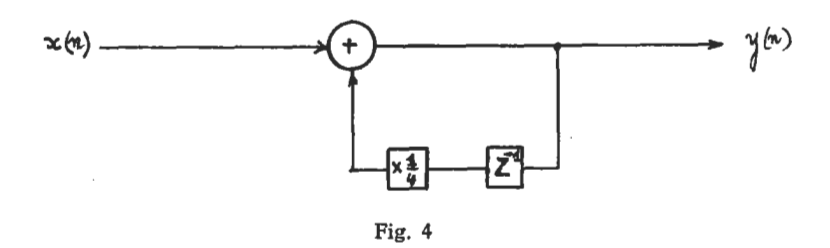
$$[Y(z)]_{z=e^{j\omega}} = \frac{1}{4} (1 + e^{-j\omega})^{2}.$$

$$|Y(e^{j\omega})| = \frac{1 + \cos \omega}{2}; \vartheta = \text{Arg} [Y(e^{j\omega})] : \vartheta = -\frac{\omega}{2}.$$
I.11.  $Y(z) = X(z) \cdot \left[1 + \frac{z^{-1}}{2^{2}} + \frac{z^{-2}}{2^{4}} + \dots + \frac{z^{-k}}{2^{2k}} + \dots\right].$ 

$$Y(z) = X(z) \cdot \frac{1}{1 - z^{-1/4}}.$$
Ou encore :

$$Y(z) = Y(z) \cdot \frac{z^{-1}}{4} + X(z).$$

$$H(e^{j\omega}) = \frac{1}{1 - e^{-j\omega/4}}; |H(e^{j\omega})| = \frac{4}{\sqrt{17 - 8\cos\omega}}.$$



II. FILTRES ECHANTILLONNES

# A REPONSE IMPULSIONNELLE INFINIE

II.A.1. L'atténuation apportée par la fonction de transfert  $\frac{1}{\sqrt{1+(\Omega/\Omega_c)^{12}}}$  est égale à 1 db pour  $\Omega_1=0.8935~\Omega_c.$ 

Pour 
$$\Omega_2 = \frac{3}{2}$$
  $\Omega$ , elle vaut alors 15,39 db.

Nous choisissons donc un filtre d'ordre N=6, et pour que la courbe réelle passe par le point A de la fig. 5 du texte, nous

prenons 
$$\Omega_c = \frac{\Omega_1}{0.8935} = \frac{1}{1.422 \text{ T}_c}$$

Posons  $\omega = \frac{\Omega}{\Omega_c}$ ; le dénominateur de la fonction  $\frac{1}{1 + \omega^{12}}$ 

peut s'écrire  $[s^{12}-(-1)]_{s=j\omega} = \prod_{k=1}^{12} (s-s_k)$  où les  $s_k$  représentent les douze racines complexes de -1, de module unité et d'arguments respectifs  $\frac{\pi}{12} + \frac{2 k \pi}{12}$ .

En constituant la fonction:

$$\frac{1}{(s-s_1)(s-s_2)(s-s_3)(s-s_4)(s-s_5)(s-s_6)}$$

où les six pôles conservés sont, parmi les douze précédents, ceux dont la partie réelle est négative  $(s_1 = -0.2588 + 0.9659 j; s_2 = -0.7071 + 0.7071 j; s_3 = -0.9659 + 0.2588 j; s_4 = s_3^*; s_5 = s_2^*; s_6 = s_1^*)$ , et en faisant  $s = j\omega$ , on montre facilement qu'on obtient bien la fonction de transfert dont le carré du module

vaut  $\frac{1}{1+\omega^{12}}$ , et qui est celle d'un système stable. (Elle est exprimée en fonction de  $\omega$  pulsation réduite).

Cette fonction de transfert se décompose en une somme de 6 éléments simples de la forme  $\frac{B_k}{s-s_k}$ .

On trouve ainsi, par exemple:

$$B_1 = \frac{1}{(s_1 - s_2)(s_1 - s_3)(s_1 - s_4)(s_1 - s_5)(s_1 - s_6)} \dots$$

$$\dots = 0.2041 + 0.3535 i.$$

Pour passer de cette fonction de la variable réduite  $s=j\omega$  à  $H_a(p)$ , il faut tenir compte de la relation  $s=\frac{p}{\Omega_c}=1,422~T_e\,p.$ 

On trouve alors exactement l'expression de H<sub>a</sub>(p) proposée.

II.A.2. La transformation de Laplace fait correspondre à une fonction du temps du type :  $A_k \cdot \exp(p_k \cdot t) \cdot u_a(t)$ , la fonction de la variable  $p : \frac{A_k}{p-p_k}$ .

Cette transformation est réciproque et linéaire, d'où la démonstration de la proposition demandée.

$$h(n) = h_a(nT_e) = \sum_{n=0}^{\infty} \sum_{k=0}^{5} A_k \cdot \exp(n \cdot T_e \cdot p_k).$$

On en déduit :

$$H(z) = \sum_{n=0}^{\infty} \sum_{k=0}^{5} A_k \exp(n \cdot T_e \cdot p_k) \cdot z^{-n} = \sum_{k=0}^{5} \frac{A_k}{1 - e^{-pk \cdot T_e \cdot z^{-1}}}.$$

Dans cette expression,

$$A_0 = \frac{0,14355 - 0,24862 j}{T_e}, \qquad A_1 = \frac{0,14355 + 0,24862 j}{T_e}, \text{ etc...}$$

$$p_0 = \frac{-0,1820 - 0,6792 j}{T_e}; \qquad p_1 = \frac{-0,1820 + 0,6792 j}{T_e}, \text{ etc...}$$

On a donc:

$$H(z) = \frac{1}{T_e} \cdot \left[ \left\{ \frac{0,14355 - 0,24862 j}{1 - \exp(-0,1820 - 0,6792 j) \cdot z^{-1}} + \frac{0,14355 + 0,24862 j}{1 - \exp(-0,1820 + 0,6792 j) \cdot z^{-1}} \right\} + \dots \right]$$

soit : H(z) = 
$$\frac{1}{T_e} \left[ \left\langle \frac{0,14355 - 0,24862 j}{1 - (0,64861 - 0,52365 j) \cdot z^{-1}} + \frac{0,14355 + 0,24862 j}{1 - (0,64861 + 0,52365 j) \cdot z^{-1}} \right\rangle + \dots \right]$$

Cette fonction est à coefficients réels, car, dans les accolades, on effectue la somme de deux termes conjugués (compte non tenu de z).

En multipliant les numérateur et dénominateur de chaque fonction par l'expression conjuguée du dénominateur, on retrouve bien l'expression de H(z) proposée.

Ainsi le numérateur de la première fraction est égal à 2 fois la partie réelle de :

$$[(0,14355 - 0,24862 \ j) \ (1 - 0,64861 \ z^{-1} - 0,52365 \ j \ z^{-1})] = \dots$$
$$\dots 0.2871 - 0.4466 \ z^{-1}.$$

Quant au dénominateur :  $1-1,2971 \ z^{-1}+0,6949 \ z^{-2}$ , il vaut  $(1-0,64861 \ z^{-1})^2+(0,52365 \cdot z^{-1})^2$ .

$$[H(e^{j\omega})]_{\omega=\pi} = H(-1) \simeq \frac{1}{T_e} (0.24522 - 1.3482 + 1.1029) \simeq \frac{10^{-4}}{T_e}.$$

Le résultat n'est pas vraiment significatif car la pulsation  $\Omega$  correspondant à  $\omega=\pi$ , est  $\Omega_p=\frac{\pi}{T_e}$ , alors que, la fréquence d'échantillonnage étant égale à  $\frac{1}{T_e}$ , la pulsation la plus élevée pour laquelle l'échantillonnage garde un sens est justement  $\frac{1}{2}\times\frac{2\pi}{T_e}=\frac{\pi}{T_e}$ .

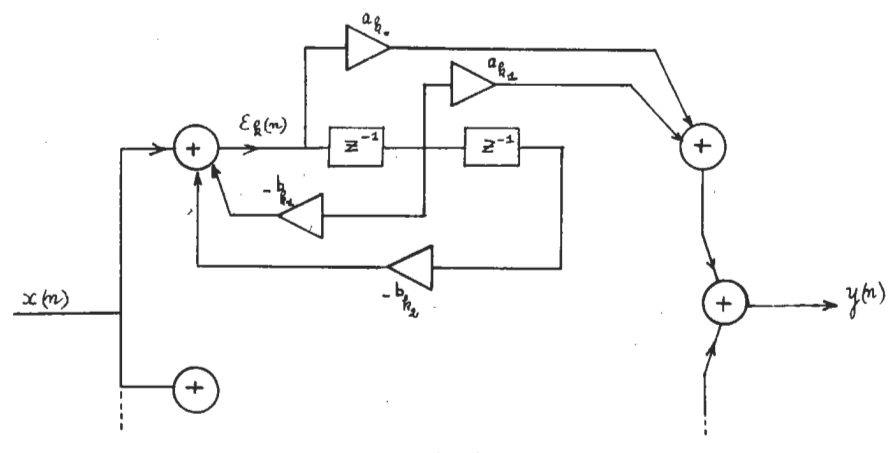


Fig. 5

Nous donnons ci-dessus le schéma d'un module de la forme  $\frac{a_{k_0}+a_{k_1}\,z^{-1}}{1+b_{k_1}\,z^{-1}+b_{k_2}\,z^{-2}}, \text{ permettant, par mise en parallèle, la réalisation de H}(z).$ 

II.B.1. Pour z appartenant au cercle de rayon unité, on peut poser  $z=e^{j\omega}$ . La relation  $p=\frac{2}{T_e}\frac{1-z^{-1}}{1+z^{-1}}$  devient alors :

$$p \,=\, \frac{2}{T_e} \,\, \frac{e^{j\omega/2} - e^{-j\omega/2}}{e^{j\omega/2} + e^{-j\omega/2}}. \,\, \text{Soit} \,: \label{eq:poisson}$$

$$p = \frac{2}{T_e} \cdot \operatorname{th} \left( j \frac{\omega}{2} \right) = \frac{2j}{T_e} \cdot \operatorname{tg} \left( \frac{\omega}{2} \right).$$

On constate que p décrit alors l'axe imaginaire.

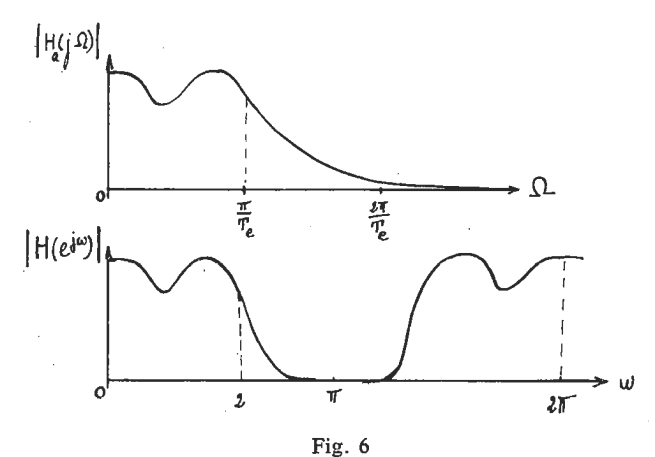
Si 
$$p=j\Omega$$
, on trouve évidemment :  $\Omega=\frac{2}{\mathrm{T}_e}\cdot\mathrm{tg}\left(\frac{\omega}{2}\right)$  .

La correspondance entre  $\Omega$  et  $\omega$  n'est linéaire que pour les faibles valeurs de  $\Omega$  devant  $\frac{\pi}{T_e}$ . Pour ces basses fréquences,

elle est d'ailleurs telle que  $\Omega=\frac{\omega}{T_e}$ , ce qui est parfait. Pour des fréquences plus élevées, elle cesse d'être linéaire, au point que, aux pulsations  $\Omega_p=\frac{\pi}{T_e}$  et  $\Omega_*=\infty$ , correspondent respectivement les pulsations réduites  $\omega_p=2$  Artg  $\left(\frac{\pi}{2}\right)\simeq 2$  et  $\omega_*=\pi$ .

La réponse en fréquence est donc déformée comme l'indique la fig. 6, mais la déformation, par contre, ne vient pas, comme c'était le cas sur la fig. 3, du recouvrement des fonctions

$$X_a \left[ j \left( \Omega - \frac{2 k \pi}{T_e} \right) \right]$$



II.B.2. La transformation  $\Omega = \frac{2}{T_e} \operatorname{tg} \left( \frac{\omega}{2} \right)$  ayant

pour effet de resserrer l'échelle de  $\omega$  par rapport à celle de  $\Omega$ , la fonction de transfert d'un filtre numérique de Butterworth d'ordre 6 passera encore mieux à l'intérieur du gabarit de la fig. 6 du texte qu'un filtre analogique. Cependant, on peut montrer qu'un filtre d'ordre 5 ne conviendrait pas. Nous conservons donc N=6.

On désire que pour  $\omega_2 = 0.3 \pi$ , l'atténuation soit de 15 db.

On doit donc avoir:

$$\frac{1}{\sqrt{1 + (\Omega_2/\Omega_c)^{12}}} = \frac{1}{5,6223}$$
soit  $\frac{\Omega_2}{\Omega_c} = 1,330$ ; avec  $\Omega_2 = \frac{2}{T_e}$  tg  $\left(\frac{\omega_2}{2}\right) = \frac{1,0191}{T_e}$ .

On en déduit :  $\Omega_c = \frac{0,7662}{T_e} = \frac{1}{1,3051 \cdot T_e}$ .

L'atténuation pour  $\omega_1=0.2$   $\pi$  sera la même que pour  $\Omega_1=\frac{2}{T_e} \cdot tg \ (0.1 \cdot \pi)=\frac{0.64984}{T_e}, \ soit \ \frac{1}{1,067} \ correspondant à un affaiblissement de 0.56 db.$ 

Nous avons vu qu'une fois fixé l'ordre du filtre (N=6), on passe de la fonction de transfert exprimée en fonction de la variable réduite s aux différentes fonctions de transferts exprimées en fonction de p en faisant  $p=s \cdot \Omega_c$ .

Ainsi pour  $\Omega_{c_1}=\dfrac{1}{1,422\,T_e}$ , la fonction de transfert normali-

sée : 
$$\frac{0,2041 - 0,3535 j}{s - (-0,2588 - 0,9659 j)} + \dots \text{ est devenue :}$$

$$\frac{0,14355 - 0,24862 j}{T_e \cdot p - (-0,1820 - 0,6792 j)} + \dots$$

Nous avons maintenant  $\Omega_c = \frac{1}{1,3051 \cdot T_e}$ , donc la fonction

de transfert exprimée en fonction de  $p = j\Omega$  devient :

$$H_a(p) = \frac{0,15641 - 0,27089 j}{T_e p - (-0,1983 - 0,7400 j)} + \dots$$

$$-1,1674$$

$$\dots \frac{-1,1674}{T_e p - (-0,5417 - 0,5417 j)} + \dots$$

$$\dots \frac{1,0110 + 1,7511 j}{T_e p - (-0,7400 - 0,1983 j)} + 3 \text{ termes conjugués.}$$

Puis nous faisons 
$$T_e \cdot p = 2 \cdot \frac{1 - z^{-1}}{1 + z^{-1}}$$
.

On peut ensuite regrouper les fractions par groupe de deux, les fractions d'un même groupe possédant des pôles conjugués. Les dénominateurs communs ainsi obtenus sont, à un facteur multiplicatif près, ceux qui figurent en facteurs dans l'expression proposée. Ainsi l'expression  $(1-1,2689\ z^{-1}+0,7055\ z^{-2})$  provient du traitement des fractions ayant pour pôles :

$$(-0.1983 - 0.7400 j) \frac{1}{T_e}$$

et son conjugué.

La réduction finale au même dénominateur conduit effectivement à l'expression proposée, mais comme l'indiquait le texte dans ses avertissements, les résultats des calculs numériques diffèrent légèrement de ceux que propose l'auteur. J'ai toujours obtenu, cependant, les 3 premiers chiffres significatifs proposés par l'auteur.

Pour  $\omega=\pi$ , l'atténuation est infinie, puisque le numérateur de  $H(e^{i\omega})$  est alors nul. Ceci est d'ailleurs nécessaire puisque  $\omega=\pi$  correspond à  $\Omega$  infini pour le filtre analogique, et que la valeur asymptotique de la fonction de transfert analogique  $H_a(j\Omega)$  est bien zéro.

II.C.1. Puisque l'auteur du texte propose de partir d'un filtre passe-bas, notre fonction de transfert initiale sera :

$$H(z) = \frac{0.05 (1 + z^{-1})}{1 - 0.9 z^{-1}}.$$

$$|H(e^{j\omega})| = 0.05 \cdot \sqrt{2} \sqrt{\frac{1 + \cos \omega}{1.81 - 1.80 \cos \omega}}.$$

 $\vartheta = \text{Arg } [H(e^{j\omega})] = -(\vartheta_1 + \vartheta_2);$ 

$$tg\left(\vartheta_{I}\right)=\frac{\sin\omega}{1+\cos\omega},\ tg\left(\vartheta_{2}\right)=\frac{0.9\sin\omega}{1-0.9\cos\omega}$$

La pulsation de coupure à 3 db,  $\omega_c$ , est telle que  $\cos \omega_c = \frac{180}{181}$ ,

ce qui correspond à  $\omega_c = 0.0348 \cdot \pi$  ou encore à une fréquence de

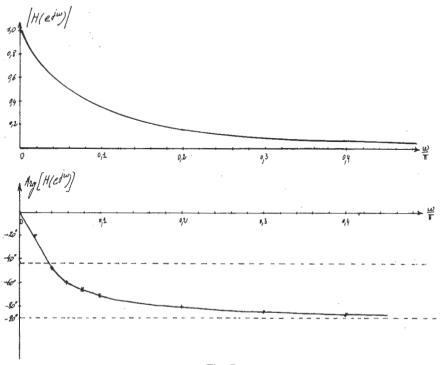


Fig. 7

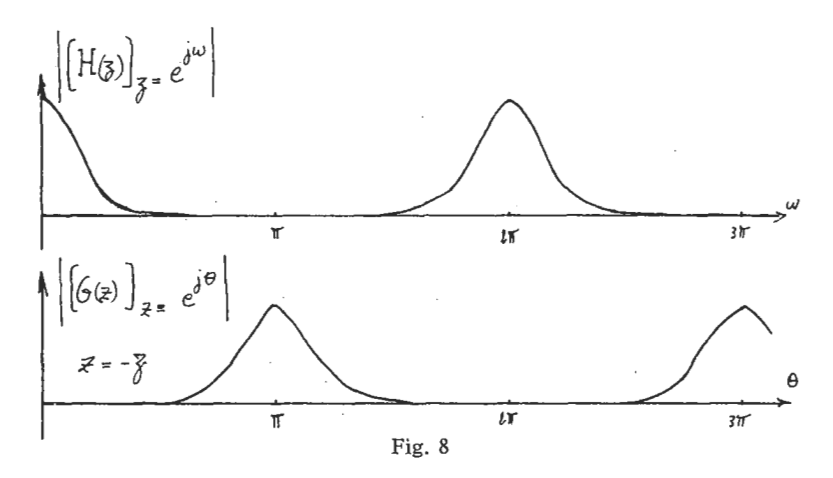
coupure égale à  $\frac{1}{60}$ . Pour cette pulsation, la phase  $\vartheta$  de  $H(e^{i\omega})$  est très proche de  $-\frac{\pi}{4} \cdot (-44,5^{\circ})$ .

II.C.2. Si l'on pose  $z^{-1} = -Z^{-1}$ , la fonction H(z) se transforme en G(Z) =  $\frac{0.05 (1 - Z^{-1})}{1 - 0.9 Z^{-1}}$ .

Si  $z = e^{j\omega}$ ,  $Z = -z = e^{j\vartheta}$  avec  $\vartheta = \omega + \pi$ .

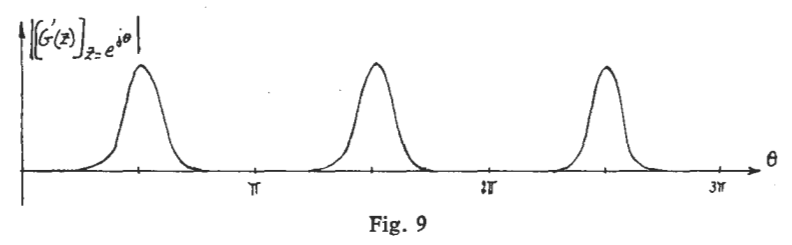
Changer  $z^{-1}$  en —  $Z^{-1}$  revient donc à changer  $H(e^{i\omega})$  en  $H[e^{i(\omega+\pi)}]$ .

Un passe-bas est transformé en passe-bande, comme le montre la fig. 8.



II.C.3. 
$$z^{-1} = -Z^{-2}$$
;  $z = e^{j\omega}$ ;  $Z = e^{j\theta}$ .

On en déduit : 
$$\omega = 2\vartheta + \pi$$
 ou  $\vartheta = \frac{\omega - \pi}{2}$ .



Le filtre dont la fonction de transfert |H(z)| est représentée sur la courbe du haut de la fig. 8, devient, par la transformation  $z = -Z^{-2}$  un filtre de fonction de transfert G'(Z), telle que  $|G'(Z)|_{Z=e^{j\theta}}|$  qui est représentée sur la fig. 9.

II.C.4. Considérons la transformation 
$$z^{-1}=\frac{Z^{-1}-\alpha}{1-\alpha\,Z^{-1}},$$
 avec  $\alpha$  réel tel que  $|\alpha|<1.$ 

Soit M l'image du nombre complexe  $Z^{-1}$  de module unité (fig. 10).

L'image du nombre complexe α·Z-1 est notée M'.

De même A et B sont les images respectives de 1 et de α.

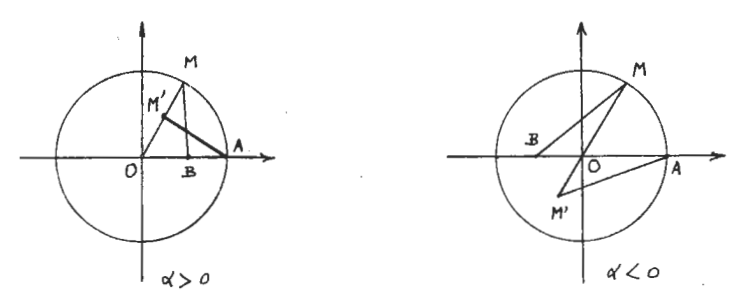


Fig. 10

L'image du nombre complexe  $Z^{-1}-\alpha$  est le vecteur **BM**; de même l'image de  $1-\alpha \cdot Z^{-1}$  est le vecteur **M'A**.

Les vecteurs **BM** et **M'A** ayant même norme, le module de  $z^{-1} = \frac{\parallel \mathbf{BM} \parallel}{\parallel \|\mathbf{M'A} \|}$ , est donc égal à l'unité.

Ainsi la transformation envisagée conserve dans sa globalité le cercle unité. Un produit de transformations du même type le conserve également.

La transformation 
$$z^{-1} = \frac{Z^{-1} - \alpha}{1 - \alpha Z^{-1}}$$
 est holomorphe à l'in-

térieur du cercle unité et sur ce cercle. (Elle est à la fois continue, uniforme et analytique). Cela entraîne que si  $z^{-1}$  décrit le cercle unité qui sépare en deux régions le plan de  $Z^{-1}$ , le cercle unité qui, dans le plan de  $z^{-1}$  correspond au premier, sépare également en deux régions celui-ci. Ces régions se correspondent. Or, il est évident que si  $Z^{-1}=0$  (point 0 à l'intérieur du cercle unité),  $z^{-1}=-\alpha$  qui se trouve également à l'intérieur du cercle unité du plan  $z^{-1}$ .

On voit donc que si  $|Z^{-1}| < 1$ , on a bien  $|z^{-1}| < 1$ .

Le produit de transformations du même type possède évidemment la même propriété.

II.C.5. La transformation proposée possède les propriétés générales d'une transformation homographique  $\left(z = \frac{aZ + b}{cZ + d}\right)$ .

Si Z décrit une courbe C de manière monotone, et si les valeurs successives que prend cette variable,  $Z_1$ ,  $Z_2$ ,  $Z_3$  ..., ont pour images les points  $M_1$ ,  $M_2$ ,  $M_3$ , ..., alors les images  $N_1$ ,  $N_2$ ,  $N_3$  des

points  $z_1 = f_h(Z_1)$ ;  $z_2 = f_h(Z_2)$ ;  $z_3 = f_h(Z_3)$ ..., occupent sur la courbe  $\Gamma$  transformée de C, des positions situées dans le même ordre (fig. 11).

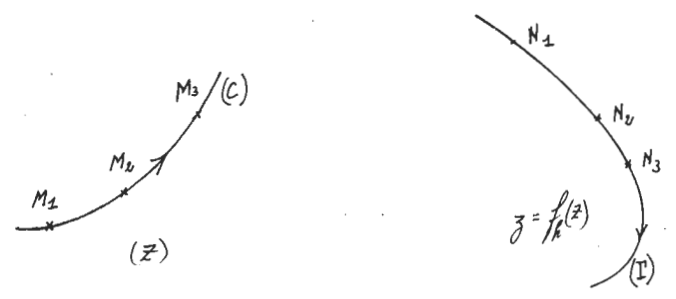


Fig. 11

De plus, la transformation proposée fait correspondre  $z_0=1$  à  $Z_0=1$ .

Un raisonnement graphique du type de celui que nous avons utilisé sur les fig. 6, 7, 8 et 9 montre que ces deux conditions suffisent à assurer que cette transformation change un filtre passe-bas en un autre filtre passe-bas.

Si  $Z^{-1}=e^{-i\theta}$  et  $z^{-1}=e^{-i\omega}$ , il est aisé de montrer que les grandeurs tg  $\frac{\vartheta}{2}$  et tg  $\frac{\omega}{2}$  sont liées par la relation :

$$\operatorname{tg}\left(\frac{\omega}{2}\right) = \frac{1+\alpha}{1-\alpha}\operatorname{tg}\left(\frac{\vartheta}{2}\right)$$

(Dans l'expression de Z<sup>-1</sup> =  $\frac{\cos \vartheta - \alpha - j \sin \vartheta}{1 - \cos \vartheta + j \alpha \sin \vartheta}, \text{ remplacer}$ 

 $\sin \vartheta$  et  $\cos \vartheta$  en fonction de  $t = \operatorname{tg}\left(\frac{\vartheta}{2}\right)$ , soit  $\sin \vartheta = \frac{2t}{1+t^2}$ 

$$\operatorname{et} \cos \vartheta = \frac{1 - t^2}{1 + t^2} \right).$$

On a donc, en particulier:

$$\operatorname{tg}\left(\frac{\omega_c}{2}\right) = \frac{1+\alpha}{1-\alpha}\operatorname{tg}\left(\frac{\vartheta_c}{2}\right).$$

Application:

$$H(z) = 0.05 \frac{1 + z^{-1}}{1 - 0.9 z^{-1}}$$
 et  $z = \frac{Z^{-1} + 0.5}{1 + 0.5 \cdot Z^{-1}}$ .

On trouve : 
$$G(Z) = (H \circ z)_{(Z)} = 0.13636 \frac{1 + Z^{-1}}{1 - 0.72727 Z^{-1}}$$

Cette fonction de transfert correspond à la relation :

$$v(n) = 0.72727 \ v(n-1) + 0.13636 \ [x(n) + x(n-1)].$$

Il s'agit bien d'un filtre passe-bas.

La pulsation de coupure  $\vartheta_c$ , calculée par la relation précédente, et compte tenu du fait que la pulsation de coupure  $\omega_c$  du premier filtre était égale à 0,10517 rad (question II.C.1.), vaut 0,31322 rad.

Cela correspond à une fréquence proche de  $\frac{1}{20}$ .

Ces résultats sont parfaitement conformes à ce que fournit l'étude directe de la fonction

$$|G(e^{i\theta})| = 0.13636\sqrt{2} \cdot \sqrt{\frac{1 + \cos \theta}{1,5289 - 1,4545 \cos \theta}}$$

II.D.1. La probabilité P(e) est constante (et égale à  $2^b$ ) sur l'intervalle  $[-2^{-(b+1)}, +2^{-(b+1)}]$ , et nulle ailleurs.

La valeur moyenne, Me, de cette erreur est nulle, tandis que

sa variance, 
$$\sigma_e^2$$
, vaut  $\frac{2^{-2b}}{12}$ .

Si 
$$\sigma_x = \frac{1}{4}$$
, on a  $\sigma_x^2 = \frac{1}{16}$ .

Le rapport signal sur bruit en puissance vaut alors :

$$\frac{\sigma_{x^2}}{\sigma_{e^2}} = \frac{2^{2b} \times 12}{16} = 0.75 \cdot 2^{2b}.$$

On a donc 10 log 
$$\left(\frac{\sigma_x^2}{\sigma_e^2}\right) = 6.02 \ b - 1.25.$$

Si l'on désire que ce rapport atteigne 70 db, il faut que b soit égal à 12, c'est-à-dire que les signaux d'entrée soient codés sur 13 bits compte tenu du bit de signe.

II.D.2.

$$y(n) = x(n) + y(n-1) \cdot 2r \cos \omega_0 - y(n-2) \cdot r^2$$
.

On en déduit :

$$H(z) = \frac{Y(z)}{X(z)} = \frac{1}{1 - 2r\cos\omega_0 z^{-1} + r^2 z^{-2}}.$$

H(z) =  $\frac{Y(z)}{X(z)} = \frac{1}{1 - 2r\cos\omega_0 z^{-1} + r^2 z^{-2}}$ . Les deux racines du dénominateur sont :  $z_1^{-1} = \frac{e^{i\omega_0}}{r}$  et

 $z_2^{-1} = \frac{e^{-j\omega_0}}{}$ . Elles ont un module supérieur à l'unité, donc le système est stable.

La décomposition en éléments simples proposés s'obtient facilement en remarquant que H(z) peut encore s'écrire, à cause de l'égalité  $z_1^{-1} \cdot z_2^{-1} \cdot r^2 = 1$ :

$$H(z) = \frac{1}{(1-z^{-1}/z_1^{-1}) \cdot (1-z^{-1}/z_2^{-1})}.$$

En appliquant un résultat que nous avons déjà utilisé à la question I.7., on déduit de l'expression proposée la valeur de h(n)constituant la séquence  $\{h(n)\}$ :

Pour  $n \ge 0$  (le filtre est causal).

$$h(n) = \frac{e^{j\omega_0}}{2 i \sin \omega_0} (r e^{j\omega_0})^n - \frac{e^{-j\omega_0}}{2 i \sin \omega_0} (r e^{-j\omega_0})^n.$$

Soit:

$$h(n) = r^n \cdot \frac{\sin[(n+1)\omega_0]}{\sin\omega_0}$$
$$|h(n)|^2 = r^{2n} \cdot \left\{ \frac{\sin[(n+1)\omega_0]}{\sin\omega_0} \right\}^2$$

Avec r = 0.87162 et  $\omega_0 = \frac{\pi}{2}$ , on trouve  $\sum_{n=0}^{\infty} |h(n)|^2 = 3.1339$ .

II.D.3. 
$$\sigma_{sx}^2 = \sigma_x^2 \times 3{,}13 = \frac{1}{16}$$
, d'où  $\sigma_x^2 = \frac{1}{50}$  et

 $\sigma_x = 0.141$ . On a vu que  $\sigma_{e_1}^2 = \frac{z^{-2\sigma}}{12}$ ; on admettra que les erreurs

de troncature interne  $e_2$  et  $e_3$  ont la même variance.

Les bruits dus à  $e_1$ ,  $e_2$  et  $e_3$  étant indépendants; leurs variances s'ajoutent. La variance totale du bruit de sortie vaut donc :

$$(\sigma_{e_1}^2 + \sigma_{e_2}^2 + \sigma_{e_3}^2) \cdot 3,134,$$

soit : 
$$2^{-2b} \times \frac{3,134}{4}$$
.

Le rapport signal sur bruit, en sortie, exprimé en db, vaut donc :

[R.S.B.] = 10 log 
$$\left(\frac{2^{2b}}{4 \times 3.134}\right) = (6.02 b - 11) db$$
.

Sans les erreurs de troncature  $e_2$  et  $e_3$ , on aurait le seul bruit d'arrondi, et le rapport signal sur bruit de sortie s'établirait à :

$$10 \log \left( \frac{2^2 \cdot 3}{4 \cdot 3.13} \right) = (6.02 \, b - 6.2) \, db.$$

On constate donc que les erreurs de troncature interne font chuter le rapport signal sur bruit de 5 db environ et que cela équivaut à peu près à un bit significatif de perdu.

II.D.4. Nous nous placerons dans le cas d'un filtre du deuxième ordre dont les pôles  $z_1$  et  $z_2$  de la fonction de transfert sont, comme précédemment, complexes.

$$z_{1} = \frac{-\alpha + j \sqrt{4\beta - \alpha^{2}}}{2}; \qquad z_{2} = \frac{-\alpha - j \sqrt{4\beta - \alpha^{2}}}{2}$$
$$r = |z_{12}| = \sqrt{\beta}; \qquad \cos \omega_{0} = \frac{-\alpha}{2\sqrt{\beta}}.$$

Si le coefficient  $\alpha$ , compris entre -2 et +2, est codé sur 8 bits, la suite des valeurs de  $\alpha$  possibles est une suite de nombres équidistants, dont le pas est  $\frac{4}{2^8} = \frac{1}{64}$ .

Ainsi la valeur souhaitable pour  $\alpha$ , correspondant à r=0.87162 et  $\omega_0=\frac{\pi}{3}$ , est  $\alpha_0=-0.87162$  et elle ne peut qu'être encadrée par :

$$\alpha'_0 = -\frac{56}{64} = -0.87500$$
 et  $\alpha''_0 = -\frac{55}{64} = -0.85937$ .

La valeur la plus proche de  $\alpha_0$  est  $\alpha'_0$ , telle que :

$$\frac{d\alpha}{\alpha_0} = \frac{\alpha'_0 - \alpha_0}{\alpha_0} = 3.87 \cdot 10^{-3}.$$

De même, la valeur souhaitable pour  $\beta$  et  $\beta_0 = 0,75972$ .

Du fait que  $\beta$  est compris entre 0 et 1, les  $\beta$  réalisables forment une suite discrète, de pas constant, égal à  $2^{-n} = 2^{-8}$  si m = 8.

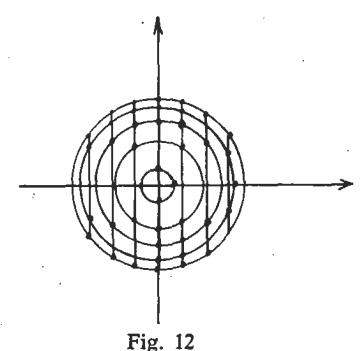
La valeur β<sub>0</sub> ne peut qu'être encadrée par :

$$\beta'_0 = \frac{194}{256} = 0,75781$$
 et  $\beta''_0 = \frac{195}{256} = 0,76172$ .

La valeur la plus proche de  $\beta_0$  est  $\beta'_0$ , telle que :

$$\frac{d\beta}{\beta_0} = \frac{\beta'_0 - \beta_0}{\beta_0} = -2.51 \cdot 10^{-3}.$$

Plus généralement, en codant  $\alpha$  et  $\beta$  sur m bits, les pôles réalisables sont les points d'intersections des 2m cercles concentriques de rayons  $\sqrt{\beta_i}$  et de 2<sup>m</sup> verticales d'abscisses  $\frac{-\alpha_i}{2}$ .



Des relations 
$$r = \sqrt{\beta}$$
 et  $\cos \omega_0 = \frac{-\alpha}{2\sqrt{\beta}}$ , on déduit : 
$$\frac{\delta r}{r} = \frac{1}{2} \frac{\Delta \beta}{\beta} \quad \text{et} \quad \frac{\delta \omega_0}{\omega_0} = \frac{\cot g \omega_0}{\omega_0} \cdot \left(\frac{d\alpha}{\alpha} - \frac{1}{2} \frac{d\beta}{\beta}\right)$$

Si on choisit  $\alpha=\alpha'_0=-0.87500$  et  $\beta=\beta'_0=0.75781$ , les erreurs relatives commises sur r et  $\omega_0$  sont, respectivement :

$$\frac{\delta r}{r} = -1,25 \cdot 10^{-3}$$
 et  $\frac{\delta \omega_0}{\omega_0} = \frac{\sqrt{3}}{\pi} \cdot 5,1 \cdot 10^{-3} = 2,82 \cdot 10^{-3}$ .

Si on choisit  $\alpha = \alpha'_0 = -0.87500$  et  $\beta = \beta''_0 = 0.76172$ , l'erreur relative sur r devient  $\frac{\delta r}{r} = +1,3210^{-3}$ , tandis que :

$$\frac{\delta\omega_0}{\omega_0} = -1.41 \cdot 10^{-3}.$$

Ce choix est certainement le meilleur.

II.D.5. Les deux pôles étant conjugués, nous nous intéressons à  $z_1 = -\frac{\alpha}{2} + j \gamma$ . Cette fois-ci, les positions possibles des pôles sont les nœuds d'un quadrillage formé de 256 verticales d'abscisses  $\frac{\alpha_i}{2}$  (dans le cas où m=8), et d'autant de droites horizontales d'ordonnées  $\gamma_i$ .

Nous avons vu que la valeur souhaitée  $\alpha_0 = -0.87162$  était encadrée par  $\alpha'_0$  et  $\alpha''_0$ . De même, la valeur  $\gamma_0$  souhaitée ( $\gamma_0 = 0.75485$ ) ne peut qu'être encadrée par  $\gamma'_0 = \frac{193}{256} = 0.75391$  et  $\gamma''_0 = \frac{194}{256} = 0.75781$ .

Si l'on approche  $z_1$  par  $\frac{\alpha'_0}{2} + j \gamma'_0$ , l'erreur relative sur r vaut  $4 \cdot 10^{-5}$ , ce qui est excellent, tandis que l'erreur relative sur  $\omega_0$  vaut  $-2.1 \cdot 10^{-3}$ .

Si, au contraire, on choisit d'approcher  $z_1$  par  $\frac{\alpha'_0}{2} + j \gamma''_0$ , l'erreur relative sur r vaut 3,92 • 10<sup>-3</sup>, tandis que l'erreur relative sur  $\omega_0$  est réduite à 1,8 • 10<sup>-5</sup>.

Si l'étude d'un cas particulier ne permet pas de tirer une conclusion, car le pôle souhaité aurait pu, fortuitement, se trouver proche d'un nœud de l'un des deux réseaux et à distance comparable de 4 plus proches voisins de l'autre, il semble évident que la deuxième manière de coder, en assurant une couverture plus régulière de l'intérieur du cercle unité, permette, statistiquement, une réalisation plus fine des coefficients du filtre.

## III. FILTRES ECHANTILLONNES, A REPONSE IMPULSIONNELLE FINIE

III.A.1. Si h(n) = h(-n), on peut écrire H(z) sous la forme :

$$H(z) = h(0) + \sum_{n=1}^{\infty} h(n) \cdot (z^{n} + z^{-n})$$

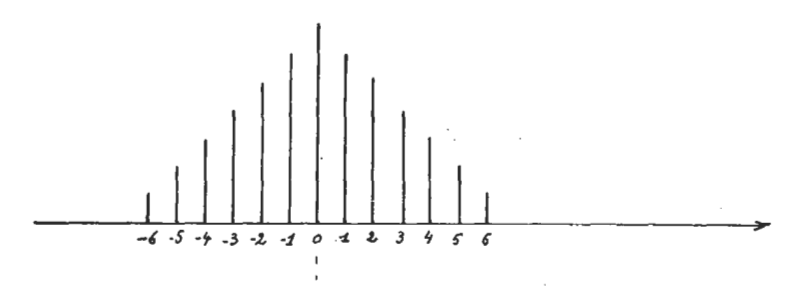
$$H(e^{j\omega}) = h(0) + 2 \sum_{n=1}^{\infty} h(n) \cdot \cos(n\omega).$$

 $H\left(e^{i\omega}\right)$  est une fonction réelle. L'argument de la fonction de transfert d'un filtre non causal à réponse impulsionnelle et symétrique est nul.

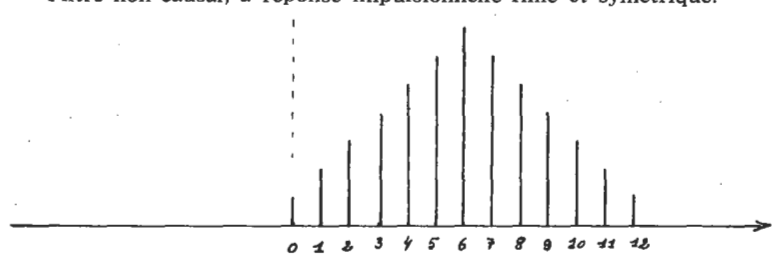
Dans le cas où la séquence  $\{h(n)\}$  se limite à 2N+1 termes centraux, la nouvelle fonction de transfert correspondant à la séquence  $\{h'(n)\}$  obtenue en décalant la première de N périodes d'horloge vaut :

$$H'(z) = \sum_{n=-N}^{+N} h(n) \cdot z^{-(N+n)} = z^{-N} \cdot H(z).$$

 $H'(e^{j\omega})$  a donc même module que H(z); sa phase, —  $N\omega$  varie linéairement avec  $\omega$ .



Filtre non causal, à réponse impulsionnelle finie et symétrique.



Filtre causal; l'argument de la fonction de transfert varie linéairement avec la fréquence.

Fig. 13

III.A.2. La réponse impulsionnelle correspondant à la transformée en z dont le module est représenté sur la fig. 8 du texte, et dont la phase vaut —  $N\omega$ , est la transformée discrète de cette fonction de transfert :

$$x(n) = \frac{1}{2\pi} \int_{-\infty_c}^{+\infty_c} H_0 \cdot e^{-iN\omega} \cdot e^{in\omega} \cdot d\omega = \frac{H_0}{4} \cdot \frac{\sin\left[(n-N)\pi/4\right]}{(n-N)\pi/4}.$$

On constate effectivement que x(2N-n) = x(n), autrement dit la séquence est symétrique de part et d'autre de x(N). Elle est infinie.

III.A.3. 
$$W(z) = \sum_{n=0}^{2N} z^{-n} = \frac{1 - z^{-(2N+1)}}{1 - z^{-1}}$$
.

$$W(e^{j\omega}) = \frac{1 - e^{-j(2N+1)\omega}}{1 - e^{-j\omega}} = e^{-jN\omega} \cdot (2N+1) \frac{\sin[(2N+1)\omega/2]}{(2N+1)\cdot\sin(\omega/2)}.$$

Réponse du filtre à réponse impulsionnelle tronquée :

$$H_s(e^{j\omega}) = \frac{1}{2\pi} \int_{-\infty_c}^{+\infty_c} H_0 e^{-jN\theta} \cdot W[e^{j(\omega-\theta)}] \cdot d\theta$$

soit:

$$\mathbf{H}_{s}\left(e^{j\omega}\right) = \frac{2\,\mathbf{N} + 1}{2\,\pi} \cdot \mathbf{H}_{0} \cdot e^{-j\mathbf{N}\omega} \int_{-\omega_{c}}^{+\omega_{c}} \frac{\sin\left[\left(2\,\mathbf{N} + 1\right)\left(\omega - \vartheta\right)/2\right]}{\left(2\,\mathbf{N} + 1\right) \cdot \sin\left[\left(\omega - \vartheta\right)/2\right]} \cdot d\vartheta.$$

III.A.4.

$$|W(e^{j\omega})| = (2 N + 1) \frac{\sin[(2 N + 1) \omega/2]}{(2 N + 1) \cdot \sin(\omega/2)}$$

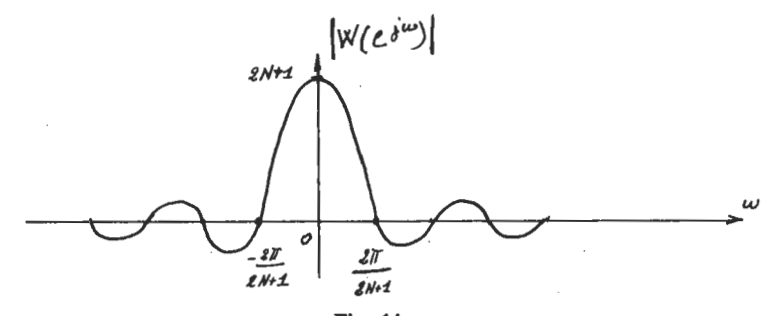


Fig. 14

Pour  $\omega$  légèrement supérieur à  $\omega_c$ , W [ $e^{i(\omega-\theta)}$ ] a une partie non nulle située dans la plage d'intégration (—  $\omega_c$ , +  $\omega_c$ ) de l'intégrale de convolution définissant  $H_s$  (fig. 15).

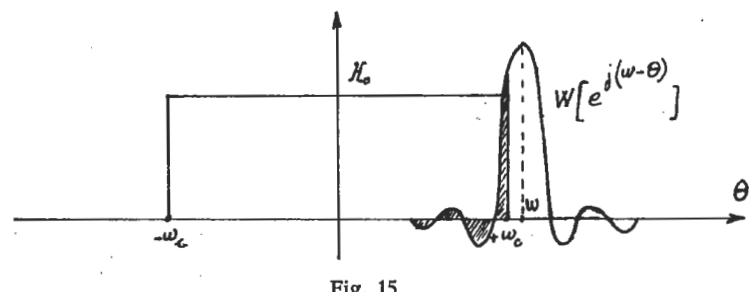


Fig. 15

Ceci explique que le module de  $H_s(e^{i\omega})$  ne passe pas brusquement de la valeur Ho à une valeur nulle.

La largeur de la zone de transition (fig. 15) est voisine de 4 στ

2N + 1

Fig. 16

C'est le même phénomène qui est à l'origine de l'ondulation - et de l'ondulation « négative » en « positive » en  $\omega_c$ -

On voit en effet, sur la fig. 15, que pour  $\omega = \omega_c$ l'aire algébrique négative de la première arche secondaire n'est pas à prendre en considération. Donc  $|H_s| > H_0$ . L'ondulation relative est effectivement de l'ordre de  $\frac{S_2}{2 S_1} \simeq 0,1$ . (Il s'agit, en fait, d'un phénomène tout à fait comparable au phénomène de Gibbs en analyse harmonique).

Pour  $\omega_c = \omega_c + \frac{2\pi}{2N+1}$ , c'est au contraire cette seule aire négative qui intervient, d'où le minimum négatif.

Le rapport  $\frac{S_2}{2 \, S_1} = \frac{1}{3 \, \pi}$  étant indépendant de N, le phénomène subsiste quand N est élevé.

III.B.1. La fig. 17 permet de placer les pôles et les zéros de  $H_{PT}(z)$ .

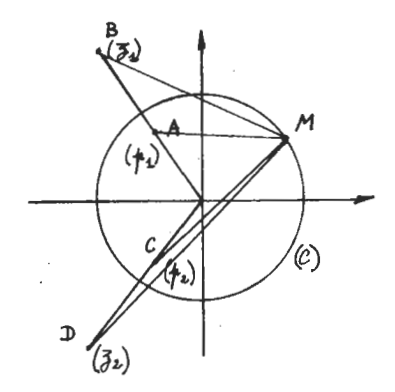


Fig. 17

$$z_1 = \frac{1}{r} e^{ib}; \quad p_1 = r e^{ib}; \quad z_2 = \frac{1}{r} e^{-ib}; \quad p_2 = r e^{-ib}.$$

Les points A et B d'une part, C et D d'autre part, sont conjugués par rapport au cercle (C) de rayon unité. Celui-ci constitue le lieu des points tel que le rapport des distances  $\frac{MB}{MA}$  et  $\frac{MD}{MC}$  soit constant. Ce rapport est égal à  $\frac{1}{r}$ . Par ailleurs :

$$H_{PT}(z) = r^2 \frac{(z-z_1)(z-z_2)}{(z-p_1)(z-p_2)}.$$

On en déduit la relation suivante :

$$|[H_{PT}(z)]_{z=e^{j\omega}}| = r^2 \cdot \frac{MB}{MA} \cdot \frac{MD}{MC} = 1.$$

Le module de  $H_{PT}$  est donc toujours égal à l'unité. C'est un filtre passe-tout. Si l'on « cascade » ce filtre en série avec le filtre de fonction de transfert H(z), on obtiendra un nouveau filtre global, de fonction de transfert  $H_G(z)$  ayant même module que H(z) pour toute pulsation  $\omega$ , mais une phase différente.

REMARQUE: La fonction de transfert d'un filtre passe-tout analogique est de la forme  $\prod_{k=1}^n \left( \frac{p+a_n^*}{p-a_n} \right)$  où  $a_n$  est un nombre complexe à partie réelle négative.

La transformation bilinéaire  $p = C \frac{z-1}{z+1}$  appliquée à une telle fonction conduit bien à une expression du type de  $H_{PT}(z)$ .

III.B.2. Les zéros de H(z) sont les mêmes que les pôles de  $H_{PT}(z)$ , mais ils sont d'ordre 2.

$$H(z) = \frac{1}{r^2} (1 - 2r\cos\theta z^{-1} + r^2 z^{-2})^2 = \dots$$

$$\dots \frac{1}{r^2} (1 - 4r\cos\theta z^{-1} + 2r^2 (1 + 2\cos^2\theta) z^{-2} \dots$$

$$\dots - 4r^3\cos\theta z^{-3} + r^4 z^{-4}).$$

$$h(0) = \frac{1}{r^2} = 3,306; \quad h(1) = -\frac{4}{r}\cos\theta = 3,636;$$

$$h(2) = 2(1 + 2\cos^2\theta) = 2,50; \quad h(3) = -4r\cos\theta = 1,10;$$

Ce filtre à réponse impulsionnelle finie n'a pas une phase variant linéairement avec la fréquence, car sa réponse impulsionnelle ne présente pas d'élément de symétrie.

III.B.3.

 $h(4) = r^2 = 0.302.$ 

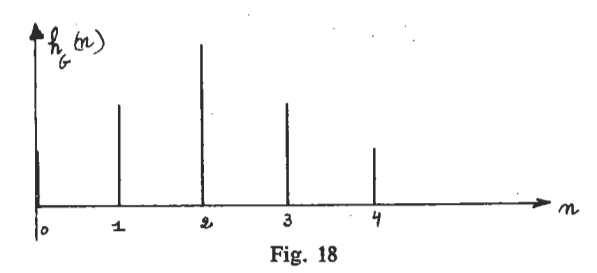
$$H_{G}(z) = (z^{-1} - r e^{-i\theta}) \left(z^{-1} - \frac{e^{-i\theta}}{r}\right) (z^{-1} - r e^{i\theta}) \left(z^{-1} - \frac{e^{i\theta}}{r}\right)$$

Les images des zéros de  $H_G(z)$  sont les points A, B, C, D de la fig. 16. Ils présentent une symétrie quadrantale.

$$\begin{split} H_{G}(z) &= 1 - 2\left(\frac{r^{2} + 1}{r}\right) \cos\vartheta \cdot z^{-1} \dots \\ & \dots + \left(r^{2} + \frac{1}{r^{2}} + 4\cos^{2}\vartheta\right)z^{-2} - 2\left(\frac{r^{2} + 1}{r}\right) \cos\vartheta \cdot z^{-3} + z^{-4}. \end{split}$$

D'où 
$$\{h_{G}(n)\}$$
 ...
$$... = \{1; -2 \cdot \frac{r^{2} + 1}{r} \cdot \cos \theta; ...$$

$$... r^{2} + \frac{1}{r^{2}} + 4 \cos^{2} \theta; -2 \cdot \frac{r^{2} + 1}{r} \cdot \cos \theta; 1\},$$
soit  $\{h_{G}(n)\} = \{1; 2,368; 4,608; 2,368; 1\}$  (fig. 18).



Le module de  $H_G(Z)$  est le même que celui de H(z); sa phase est linéaire : elle vaut  $-2\omega = -2\Omega T_c$ .

La phase de  $\{H_{PT}(z)\}_{z=e^{j\omega}}$  est égale à la phase du numérateur diminuée de celle du dénominateur, si l'on écrit  $H_{PT}(z)$  sous

la forme : 
$$\frac{1}{r^2} = \frac{(z^{-1} - r e^{-jb})(z^{-1} - r e^{jb})}{(z^{-1} - e^{-jb}/r)(z^{-1} - e^{jb}/r)}.$$

Or, la phase du dénominateur est justement égale à la moitié

de celle de H(z). Elle varie peu (entre  $-\frac{\pi}{6}$  et  $\frac{\pi}{20}$ , environ, quand  $\omega$  varie).

Un raisonnement géométrique simple montre que la phase du numérateur varie de zéro à  $-2\pi$  quand  $\omega$  varie de 0 à  $\pi$ .

On en déduit l'allure de la variation de la phase de  $[H_{PT}(z)]_{z=z}^{i\omega}$ .

On peut également calculer cet argument à partir de l'expression de  $H_{PT}(z)$ . Si on note  $\psi$  cet argument, on peut montrer que :

$$\begin{split} \psi &= \text{Arc tg } \left( \frac{0,4733 - \sin \omega}{\cos \omega - 0,275} \right) + \text{Arc tg } \left( \frac{1,5746 + \sin \omega}{\cos \omega + 0,9091} \right) ... \\ ... &- \text{Arc tg } \left( \frac{0,4733 + \sin \omega}{\cos \omega + 0,275} \right) - \text{Arc tg } \left( \frac{1,5746 - \sin \omega}{\cos \omega + 0,9091} \right) \text{.} \end{split}$$

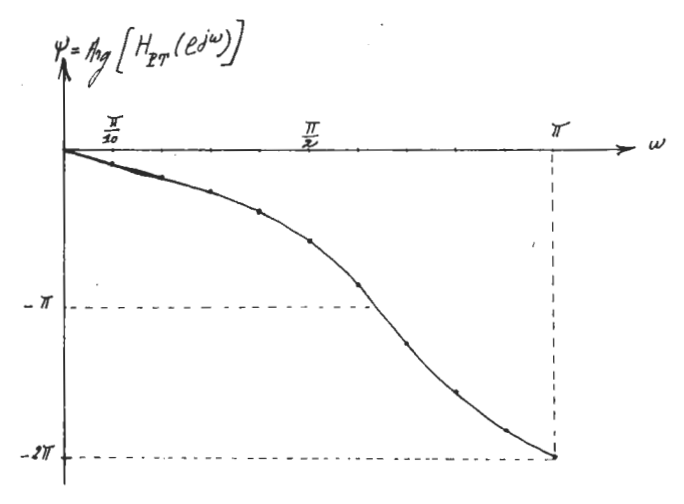


Fig. 19

III.C.1. La réponse impulsionnelle est la transformée de Fourier discrète de la réponse en fréquence.

$$h(n) = \frac{1}{2\pi} \int_{-\pi}^{0} j \cdot e^{jn\omega} d\omega - \frac{1}{2\pi} \int_{0}^{\pi} j \cdot e^{jn\omega} d\omega = \frac{-j}{\pi} \int_{0}^{\pi} e^{jn\omega} d\omega$$

$$h(n) = 0 \quad \text{si} \quad n = 2p; \quad h(n) = \frac{2}{\pi n} \quad \text{si} \quad n = 2p + 1 \text{ (fig. 20)}.$$

$$y(n) = \frac{2}{\pi} \left[ \frac{-x(n)}{5} - \frac{x(n-2)}{3} - x(n-4) + x(n-6) + \dots + \frac{x(n-8)}{3} + \frac{x(n-10)}{5} \right].$$

$$H(z) = \frac{2}{\pi} z^{-5} \left[ z^{-1} - z + \frac{z^{-3} - z^3}{3} + \frac{z^{-5} - z^5}{5} \right]$$

$$H(e^{j\omega}) = -\frac{4j}{\pi} \cdot e^{-5j\omega} \cdot \left[ \sin\omega + \frac{\sin(3\omega)}{3} + \frac{\sin(5\omega)}{5} \right]$$

$$|H(e^{j\omega})| = \frac{4}{\pi} \cdot \left[ \sin\omega + \frac{\sin(3\omega)}{3} + \frac{\sin(5\omega)}{5} \right]$$

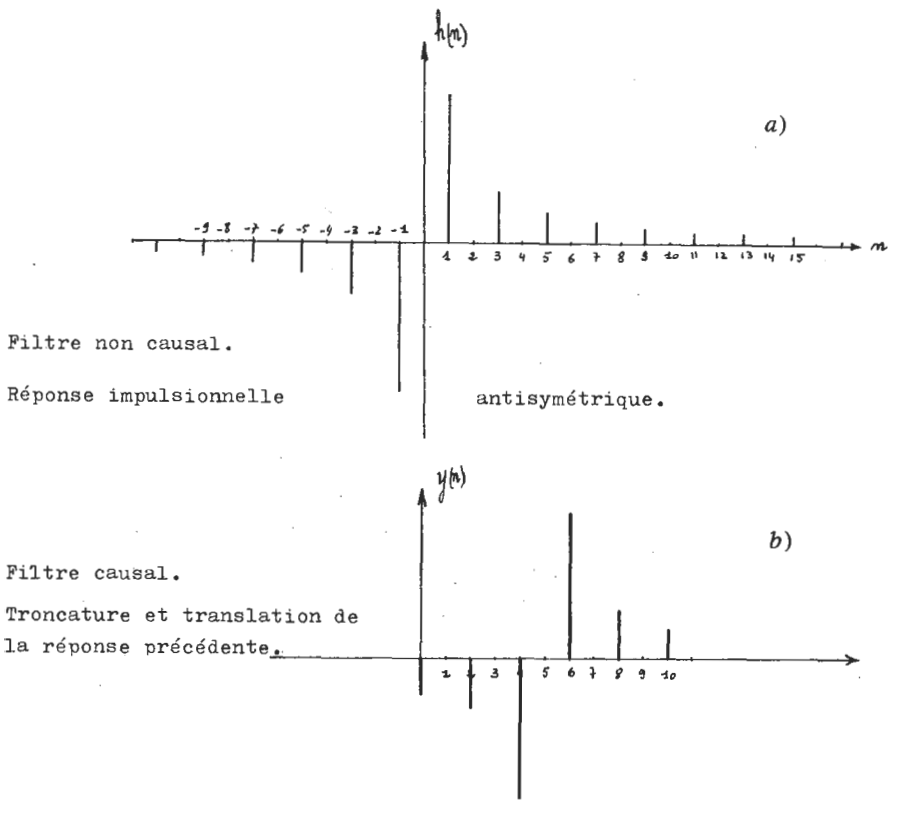
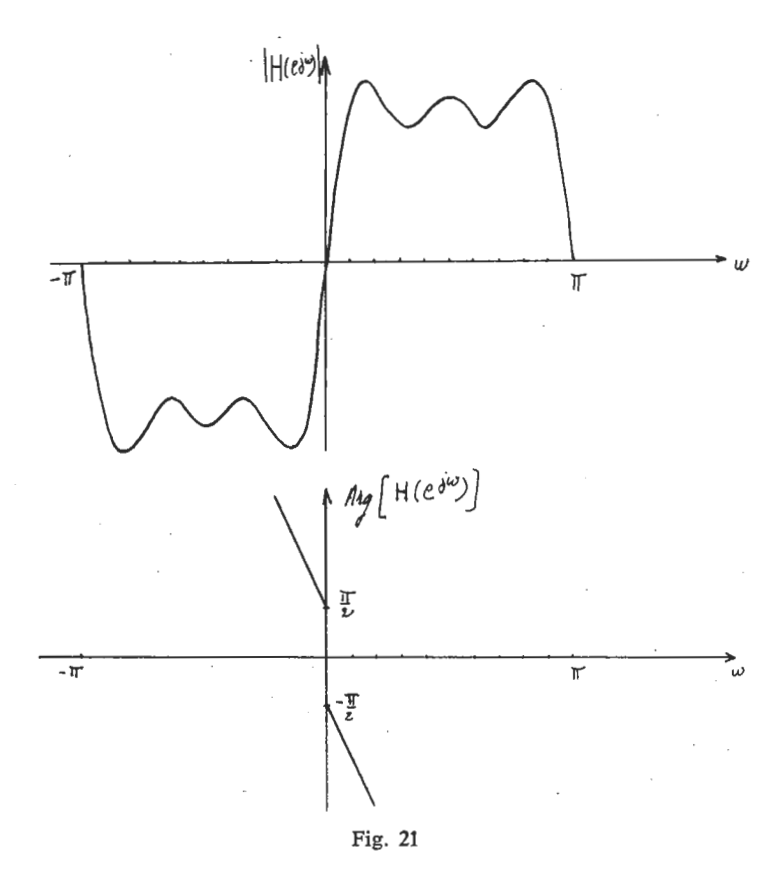


Fig. 20

$$\operatorname{Arg}\left[\operatorname{H}\left(e^{j\omega}\right)\right] = \begin{cases} -\frac{\pi}{2} - 5\omega & \text{pour } \omega \in ]0, \pi[\\ +\frac{\pi}{2} - 5\omega & \text{pour } \omega \in ]-\pi, 0[. \end{cases}$$
(fig. 21).

III.C.3. Le schéma de la fig. 12 du texte suppose que l'on n'a conservé que 4 coefficients non nuls de la réponse impulsionnelle originelle, alors que les fig. 20 b et 21 correspondraient à 6 coefficients non nuls.



En reprenant le cas étudié dans le texte, et en posant :  $Y(z) = H(z) \cdot X(z)$  d'une part,  $W(z) = G(z) \cdot X(z)$  d'autre part, on trouve :

$$H(e^{j\omega}) = -\frac{4j}{\pi} \cdot e^{-3j\omega} \left[ \sin \omega + \frac{\sin(3\omega)}{3} \right]$$
$$G(e^{j\omega}) = k \cdot e^{-3j\omega}.$$

Du fait du changement de signe de l'expression entre crochets pour  $\omega = 0$ , y(n) est en quadrature retard sur  $\omega(n)$  pour  $\omega > 0$ , et en quadrature avance pour  $\omega < 0$ .

La condition de phase souhaitée pour réaliser un filtre de Hilbert est donc parfaitement réalisée.

$$\begin{aligned} F_c &= \frac{1}{4 \, T_e}; \quad F_c - \Delta F = \frac{1}{8 \, T_e} = F_{min}; \quad F_{max} = F_c + \Delta F = \frac{3}{8 \, T_e}. \\ \omega_c &= \Omega_c \, T_e = \frac{{}^e \pi}{2}; \quad \omega_{min} = \frac{\pi}{4}; \quad \omega_{max} = \frac{3 \, \pi}{4}. \end{aligned}$$

Lorsque le coefficient  $\alpha$  vaut  $\frac{1}{3}$ , la variation maximale du module de H, exprimée par  $\eta$ , vaut 0,817.

Pour cette valeur de  $\alpha$ , en effet  $|H_{min}|=0.849$ ; valeur obtenue pour  $\omega=\frac{\pi}{2}\cdot|H_{max}|=1.20$  et cette valeur est obtenue pour  $\omega=\frac{\pi}{4}$ .

III.C.4. Soit  $y = \sin \omega + \alpha \sin 3 \omega$ :

$$\frac{dy}{d\omega} = \cos \omega + 3\alpha \cos 3\omega; \quad \frac{dy}{d\omega} = 0 \quad \text{pour} \quad \alpha = -\frac{\cos \omega_0}{3\cos (3\omega_0)}.$$

$$\frac{d^2y}{d\omega^2} = -(\sin \omega + 9\alpha \sin 3\omega). \text{ Si nous donnons à } \alpha \text{ la valeur qui assure un extrémum en } \omega_0, \text{ on trouve :}$$

$$\left(\frac{d^2y}{d\omega^2}\right)_{\omega = \omega_0} = -\sin\omega_0 \left[1 - 3 - \frac{\operatorname{tg}(3\omega_0)}{\operatorname{tg}\omega_0}\right].$$

Entre  $\frac{\pi}{4}$  et  $\frac{\pi}{2}$ , —  $\sin \omega_0$  est négatif. Le terme entre crochets, lui, est positif sur presque tout l'intervalle. (Pour  $\omega_0$  très proche de  $\frac{\pi}{2}$ , en effet, 3 tg  $(3\,\omega_0)$  devient supérieur à tg  $\omega_0$ , mais ceci n'a lieu que pour  $\omega_0 > \frac{\pi}{2}$   $(1-\epsilon)$  avec  $\epsilon = 1,144 \cdot 10^{-3}$ ). Donc, en général, l'extrémum qui est réalisé en  $\omega_0$  est un maximum.

Dans ces conditions:

$$|H(e^{j\omega_0})| = \frac{4}{\pi} (\sin \omega_0 - \frac{\cos \omega_0}{3} \cdot \operatorname{tg} 3 \omega_0)$$

est la valeur du maximum.

$$|H(e^{j\omega_c})| = \frac{4}{\pi} \left(1 + \frac{\cos \omega_0}{3\cos(3\omega_0)}\right)$$

est la valeur prise par le module

de la fonction de transfert en  $\omega_c$ , au milieu de la bande passante.

$$|H(e^{j\omega_c/2})| = \frac{2\sqrt{2}}{\pi} \left[1 - \frac{\cos \omega_0}{3 \cdot \cos(3\omega_0)}\right]$$
 est la valeur prise

par le module de la fonction de transfert aux extrémités  $\frac{\pi}{4}$ 

et  $\frac{3\pi}{4}$  de la bande envisagée.

Au lieu de représenter les variations de ces trois grandeurs, nous donnerons un tableau de leurs variations simultanées, sur lequel nous avons souligné les valeurs de  $|H|_{min}$ .

| position du maximum.  | a      | valeurs extrè-<br>mes de H.<br>T. H(e <sup>j T</sup> ) | valeur du maximum.  \frac{\pi}{4} \cdot   H(e^{\frac{1}{3}} \times 0) | valeur<br>centrale<br>m/4 (H(e <sup>j/2</sup> ) | facteur d'ondulation |
|-----------------------|--------|--|---|---|----------------------|
| $\sqrt{1/4} = 0,7854$ | 0,3333 | 0,943  | 0,943   | 0,667   | 0,817                |
| 0,90                  | 0,2292 | 0,869 .  | 0,881   | 0,771   | 0,299                |
| 1,0                   | 0,1820 | 0,835  | 0,867   | 0,818   | 0,128                |
| 1,025                 | 0,1734 | 0,830  | 0,8663  | 0,8266  | 0,102                |
| 1,031                 | 0,1718 | 0.828  | 0,8662  | 0,828   | 0,098                |
| 1,037                 | 0,1697 | 0,827  | 0,8661  | 0,830   | 0,101                |
| 1/3= 1,047            | 0,1667 | 0,825  | 0,8660  | 0,833   | 0,106                |
| 1,10                  | 0,1530 | 0,815  | 0,867   | 0,847   | 0,136                |
| 311/8= 1,178          | 0,1381 | 0,805  | 0,871   | 0,862   | 0,174                |
| 517/12= 1,309         | 0,1220 | 0,793  | 0,880   | 0,878   | 0,232                |
| 1,50                  | 0,1119 | 0,786  | 0,888   | 0,888   | 0,273                |
| ·                     |        |  | ^   |   |                      |

Ce tableau fait clairement apparaître que la valeur optimale de  $\alpha$  est 0,1718. Il lui correspond le graphe de la fig. 22.

III.D.1. Notons  $Q_m(n)$  la charge qui se trouve à la date n  $T_e$  sous la cellule m. (Ainsi la charge de la première cellule vaut q à la date  $T_e$ ,  $q_{\rm E}$  à la date 2  $T_e$ , etc.). Entre les dates n  $T_e$  et (n+1)  $T_e$ , la charge  $q_m(n)=(1-\varepsilon)$ .  $Q_m(n)$  est transférée à la cellule suivante tandis que la cellule m reçoit  $(1-\varepsilon)$   $Q_{m-1}(n)$  de la cellule précédente.

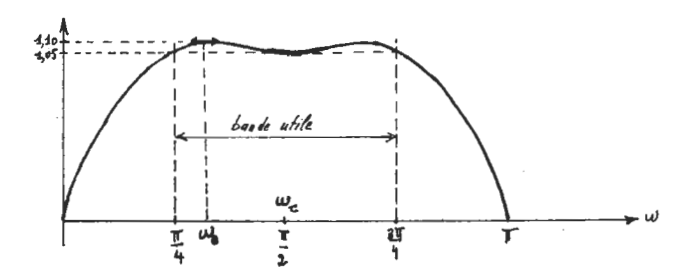


Fig. 22

On a donc  $Q_m(n+1) = \varepsilon Q_m(n) + (1-\varepsilon) \cdot Q_{m-1}(n)$ .

Pour la cellule n° 1, on a, particulièrement :  $Q_1(n) = q \varepsilon^{n-1}$ .

En nous limitant à 4 cellules, et en normalisant à 1 la charge apportée à la cellule n° 1 entre les dates 0 et  $T_e$ , on peut dresser le tableau de charges  $Q_m(n)$  de chaque cellule.

| Date<br>n T <sub>e</sub><br>n | N°<br>de la cellule<br>1 | 2                               | 3                                     | 4                                    |
|-------------------------------|--------------------------|---------------------------------|---------------------------------------|--------------------------------------|
| 1                             | 1                        | 0                               | .0                                    | 0                                    |
| 2                             | ε                        | (1 → ε)                         | 0                                     | 0                                    |
| 3                             | $\epsilon^2$             | 2 ε (1 — ε)                     | $(1-\epsilon)^2$                      | 0                                    |
| 4                             | <sub>Æ</sub> 3           | $3  \epsilon^2  (1 - \epsilon)$ | $3 \varepsilon (1 - \varepsilon)^2$   | $(1-\epsilon)^3$                     |
| 5                             | ε⁴                       | $4  \epsilon^3  (1 - \epsilon)$ | 6 ε <sup>2</sup> (1 — ε) <sup>2</sup> | 4 ε (1 — ε) <sup>3</sup>             |
| 6                             | €5                       | 5 ε4 (1 — ε)                    | $10 \ \epsilon^3 (1 - \epsilon)^2$    | $10 \ \epsilon^2 (1-\epsilon)^3$     |
| 7                             | €6                       | 6 ε <sup>5</sup> (1 — ε)        | $15  \epsilon^4  (1 - \epsilon)^2$    | $20 \ \epsilon^3 (1 - \epsilon)^3$   |
| 8                             | ε7                       | 7 ε <sup>6</sup> (1 — ε)        | $21 \ \epsilon^5 (1 - \epsilon)^2$    | $35  \epsilon^4  (1 - \epsilon)^3$   |
| 9                             | €8                       | $8  \epsilon^7  (1 - \epsilon)$ | $28  \epsilon^6  (1 - \epsilon)^2$    | $56 \varepsilon^5 (1-\varepsilon)^3$ |
| -                             | _                        | _                               | _                                     | _                                    |

Prenons un cas particulier :  $Q_4(9) = 56 \epsilon^5 (1 - \epsilon)^3$ .

Cette expression est de la forme :

$$Q_{N}(N+p) = \frac{(N+p-1)!}{(N-1)! p!} \epsilon^{5} (1-\epsilon)^{N-1}.$$

En effet, N = 4, 
$$p = 5$$
 et l'on a bien  $\frac{8!}{3! 5!} = 56$ .

La formule proposée est donc vraie [en ce qui concerne  $Q_m(n)$  et non  $q_m(n)$ ] pour les faibles valeurs de N et de m.

L'équation traduisant le bilan des charges permet de montrer très facilement qu'elle est vraie pour tout N et pour tout m.

Si  $q_N(n)$  est la charge qui sort du dernier étage entre les dates n  $T_n$  et (n+1)  $T_n$ , elle satisfait à la relation :

$$q_{N}(N+p) = \frac{(N+p-1)!}{(N-1)! p!} \cdot \varepsilon^{p} \cdot (1-\varepsilon)^{N} \cdot q.$$

Pour N = 256 et  $\epsilon$  =  $4 \cdot 10^{-4}$ , la première charge que transfère la dernière cellule est transmise après la date 256 T<sub>e</sub>. Elle vaut 0.902 a.

Au 257e coup d'horloge, la charge transmise vaut 0,092 q.

On peut négliger les suivantes :

Pour N = 256 et  $\varepsilon$  =  $4 \cdot 10^{-3}$ , la première charge transmise correspond, comme précédemment, à p = 0. Elle vaut :

$$(1-\epsilon)^{256} \cdot q = 0.358 \ q = q_N(256).$$

De même : 
$$q_N(257) = 0.367 \ q$$
,  
 $q_N(258) = 0.189 \ q$ ,  
 $q_N(259) = 0.065 \ q$ ,  
 $q_N(260) = 0.017 \ q$ .

Les charges suivantes sont négligeables.

III.D.2. De l'équation :

$$q_m(n) = \epsilon q_m(n-1) + (1-\epsilon) q_{m-1}(n-1),$$

on déduit, en notant  $Q_m(z)$  la transformée en z de la séquence  $\{q_m(n)\}$ :

$$Q_m(z) = \varepsilon \cdot Q_m(z) \cdot z^{-1} + (1 - \varepsilon) \cdot Q_{m-1}(z) \cdot z^{-1}.$$

Soit:

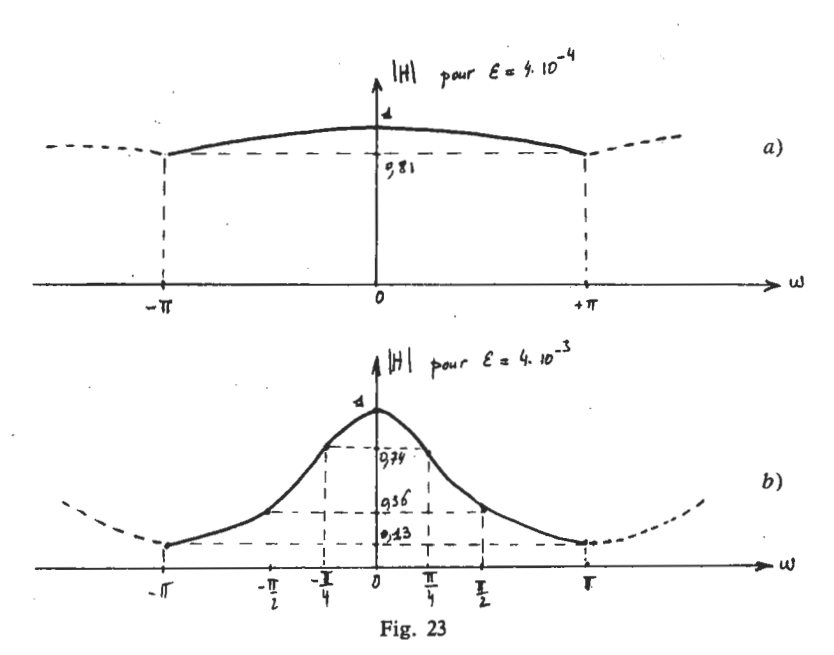
$$Q_m(z) = Q_{m-1}(z) \cdot \frac{(1-\varepsilon) \cdot z^{-1}}{1-\varepsilon \cdot z^{-1}}.$$

Ou encore, pour N cellules:

$$H_{N}(z) = \left[\frac{(1-\epsilon) \cdot z^{-1}}{1-\epsilon \cdot z^{-1}}\right]^{N}$$

$$|H_{N}(e^{j\omega})| = \frac{(1-\epsilon)^{N}}{(1+\epsilon^{2}-2\epsilon\cos\omega)^{N/2}}.$$

La fig. 23 (a et b) représente les variations de cette fonction pour N=256 et pour les deux valeurs de  $\epsilon$  proposées.



Dans ce dernier cas, on peut considérer que la ligne à retard agit comme un filtre passe-bas assez sélectif.

$$Arg [H(e^{j\omega})] = -N\omega - N \cdot Arc tg \left( \frac{\epsilon \sin \omega}{1 - \epsilon \cdot \cos \omega} \right)$$

$$\simeq -N \cdot (\omega + \epsilon \sin \omega).$$

III.D.3. La fonction de transfert  $H_i(z)$  d'un « étireur » idéal vaut :

$$H_{i}(e^{j\omega}) = \sum_{m=1}^{N} e^{-mj\omega} = e^{-j\omega} \cdot \frac{1 - e^{jN\omega}}{1 - e^{-j\omega}}$$
$$|H_{i}(e^{j\omega})| = \frac{\sin(N\omega/2)}{\sin(\omega/2)}.$$

Dans le cas d'un « étireur » réel, d'efficacité de transfert  $\epsilon$ , on a :

$$H_r(e^{j\omega}) = \sum_{m=1}^{N} \left[ \frac{(1-\epsilon)e^{-j\omega}}{1-\epsilon \cdot e^{-j\omega}} \right]^m$$

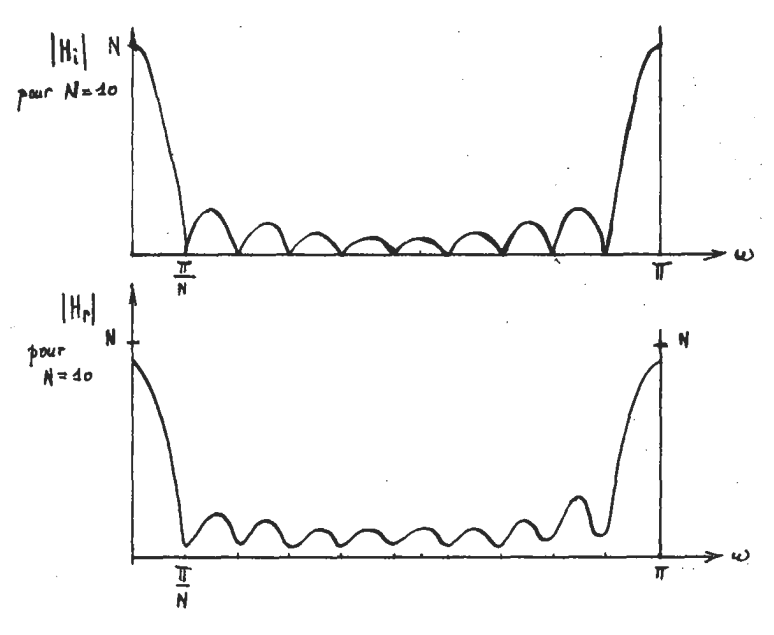


Fig. 24

R. MOREAU (Bordeaux).



## SOMMAIRE du supplément au N° 661

(février 1984)

|   | Pages    |
|---|----------|
| Concours général 1983 :   |          |
| Problème de sciences physiques (Annie REMANDE et les membres du jury) | 1        |
| C.A.P.E.S. 1983 :   |          |
| Problème de physique (R. JULLIEN et AM. QUITTET)                      | 29       |
| Problème de chimie (André DURUPTHY)                                   | 61       |
| Agrégations 1983 :  |          |
| Option physique (H. GIÉ, A. NEVEU)                                    | 91       |
| Option chimie (Mme D. OLIVIER, MM. C. MESNIL, R. PRUNET, J. SARRAZIN) | 129      |
| Option physique appliquée (R. MOREAU)                                 | 177      |
| Renseignements divers   | l à VIII |

Le Directeur de la Publication : D. MAURAS

Imprimerie Hallépée - 169, rue Lecourbe, Paris Dépôt légal : 1<sup>cr</sup> trimestre 1984 Numéro Commission paritaire : 62628

